

**Bericht der Frühjahrstagung der  
Studiengruppe für Elektronische Instrumentierung  
29. bis 31. März 2004 , im DESY Hamburg**



**Herausgeber: Dr.-Ing. F. Wulf  
HMI-B 599 Berlin, Mai 2004**

**ISSN 0936 - 0891**

Bericht der Frühjahrstagung der  
Studiengruppe für Elektronische Instrumentierung  
29. bis 31. März 2004, im DESY Hamburg



**Herausgeber: Dr.-Ing. Friedrich Wulf**  
**HMI-B 599 Berlin, Mai 2004**

**ISSN 0936 - 0891**

**Hahn-Meitner-Institut Berlin,  
Abteilung Experimentssysteme / DS  
Glienicker Str. 100**

**14109 Berlin**



# S

## Teilnehmerliste

<b>Name</b>	<b>Institut</b>
Badura, Dr. Eugen	GSI Darmstadt
Beck, Dr. Dietrich	GSI Darmstadt
Becker, Heinz	Privat
Bloenningen, Dr. Fred	Bustec Computer GmbH
Borutta, Dr. Hans	TÜV Thüringen
Brand, Dr. Holger	GSI Darmstadt
Brandt, Bernd-August	Privat
David, Dörte	DESY Hamburg
Dickinson, Andrew	Racal Instruments GmbH
Drochner, Dr. Matthias	Forschungszentrum Jülich GmbH, ZEL
Düring, Arp Nico von	Plein & Baus GmbH
Gemmeke, Prof.Dr. Hartmut	Forschungszentrum Karlsruhe IPE
Goettmann, Walter	Hahn-Meitner-Institut Berlin GmbH
Grimm, Bernhard	Max-Planck-Institut für Astronomie
Haeupke,	Struck Innovative Systeme SIS GmbH
Hering, Stephan	powerBridge Computer Vertriebs GmbH
Hermes, Normen	Forschungszentrum Jülich GmbH
Hoffmann, Hans-Jürgen	Forschungszentrum Jülich GmbH
Holler, Dr. York	DESY Hamburg
Hombach, Thomas	Forschungszentrum Jülich GmbH
Hürttlen, Werner	Forschungszentrum Jülich GmbH
Jamal, Rahman	National Instruments
Kammering, Raimund	DESY Hamburg
Kiel, Dr.	Lenze AG
Kleines, Harald	Forschungszentrum Jülich GmbH
Koch, Karsten Dr.	Gesellschaft für Schwerionenforschung
Kordtmeikel, Dirk	Beckhoff Industrie Elektronik
Krause, Helmut	Universität Hamburg II Inst. f. Experimentalphysik
Leich, Dr. Holger	DESY Hamburg
Meier	Schulz - Electronic GmbH
Müller, Dr. Klaus	Forschungszentrum Jülich GmbH
Nelkner, Jürgen	Schulz - Electronic GmbH
Notz, Dr. Dieter	DESY Hamburg
Nowack, Dr. Ing. Gerd	Ruhr-Universität Bochum
Przybilla, Waldemar	Hahn-Meitner-Institut Berlin GmbH
Rausch, Rainer	Forschungszentrum Jülich GmbH
Reinecke, Matthias	DESY Hamburg
Richter, Dr. Mathias	Gesellschaft für Schwerionenforschung
Richter, Günter	Hahn-Meitner-Institut Berlin GmbH
Rönpage, Thomas	National Instruments Germany GmbH
Rüschmann, Gustav	Johann Wolfgang Goethe-Universität, Institut .f. Kernphysik
Schoeneburg, Bernd	DESY Hamburg
Schütt, Jürgen	Universität Hamburg II Inst. f. Experimentalphysik
Simrock, Stefan	DESY Hamburg

# S

## Teilnehmerliste

Spelthann, Hans Dieter  
Stolper, Matthias  
Stork, Raimund  
Thierner, Uwe  
Vetrov, Dr. Petr  
Walter von, Peter  
Wulf, Dr. Friedrich  
Wüstner, Dr. Peter  
Zillikens, Hans-Peter

Acqiris Data Conversion Instruments  
DESY Hamburg  
Powerbridge Computer Vertriebs GmbH  
GSI Darmstadt  
DESY Hamburg  
Universität Heidelberg, Physikalisches Institut  
Hahn-Meitner-Institut Berlin GmbH  
Forschungszentrum Jülich GmbH, ZEL  
Forschungszentrum Jülich GmbH











# Vorträge

	<b>Kapitel</b>	<b>Seite</b>
<b>Begrüßung und Organisatorisches</b> Dr. Friedrich Wulf	<b>0</b>	<b>I - XV</b>
<b>Ein elektronisches Logbuch – Entwicklung und Erfahrungen</b> Raimund Kammering, DESY	<b>1</b>	<b>1 - 11</b>
<b>Architektur eines Interlok - Systems für TTF2 / XFE</b> H. Leich, DESY	<b>2</b>	<b>12 - 27</b>
<b>Hermes Recoil Detektor</b> Mathias Reinecke, DESY	<b>3</b>	
<b>Digitale Hochfrequenzregelung für den UV-FEL</b> Stefan Simrock, DESY	<b>4</b>	<b>28 - 58</b>
<b>Temperaturmessung unter 5K, Cryokontroller</b> Bernd Schoeneburg, DESY	<b>5</b>	<b>59 - 70</b>
<b>Die Historie der SEI-Tagungen</b> Bernd-August Brandt	<b>6</b>	<b>71 - 85</b>
<b>Professional Data Acquisition And Control</b> Fred Blönnigen, RACAL / BUSTEC	<b>7</b>	<b>86 - 98</b>
<b>Maximale Skalierbarkeit mit LabVIEW</b> <b>Von der einfachen Datenerfassungsapplikation bis hin zur FPGA-Lösung</b> Thomas Rönpage, National Instruments	<b>8</b>	<b>99 -114</b>
<b>EtherCat</b> Dirk Kordtomeikel, Beckhoff	<b>9</b>	<b>115-133</b>
<b>Ethernet Powerlinks Übersicht</b> Wolfgang Schnurbusch, Ethernet Powerlink, Firma Lenze	<b>10</b>	<b>134-146</b>
<b>Neue Busstandards, PCI-X, Infiniband, VME 2eSST</b> Stefan Hering, Thomas Holzapfel, powerbridge Computer	<b>11</b>	<b>147-167</b>
<b>„Neue Produkte“</b> Raymond Chevalley, Acqiris	<b>12</b>	<b>168-176</b>
<b>Messung des Echtzeitverhaltens von Simatic S7 Steuerungen im Kontext physikalischer Experimente</b> Harald Kleines, FZJ ZEL	<b>13</b>	<b>177-195</b>
<b>Roadmap und Grenzen der Halbleitertechnik</b> Prof. Dr. H. Gemmeke, FZK IPE	<b>14</b>	<b>196-209</b>
<b>Messplatz für Laserinduzierte HF-Leitfähigkeit</b> Günter Richter, HMI-Berlin	<b>15</b>	<b>210-213</b>
<b>Parallelsregelung schneller, mobiler Roboter</b> Dr. Gerd Nowack, Ruhr-Universität Bochum	<b>16</b>	<b>214-222</b>
<b>Serielle Datenübertragung zeitkritischer Signale für Multidetektoren</b> Waldemar Przybilla, HMI-Berlin	<b>17</b>	<b>223-234</b>

# Einleitung

F. Wulf, HMI-Berlin

Der Bericht der Studiengruppe für Elektronische Instrumentierung von der Frühjahrstagung 2004 enthält 17 Vorträge, die vom 29. bis 31. März 2004 am DESY in Hamburg gehalten wurden. Ich danke allen Vortragenden und Autoren für die ausgezeichneten Beiträge und deren Dokumentationen. Mein besonderer Dank gilt Herrn Dr. D. Notz und Kollegen für die ausgezeichnete Organisation und interessante Gestaltung des Rahmenprogramms.

Dank der intensiven Recherche von Herrn Bernd-August Brandt (Sekretär dieser Tagung von 1967 bis 1994) konnte die Entstehung und der Beginn dieser Tagungsreihe genau belegt werden. Die SEI Tagung am DESY in Hamburg ist somit die 88. Tagung der Studiengruppe. Herr Brandt hat in seinem Vortrag "Historie der SEI-Tagungen" mit großer Sorgfalt die einzelnen Aspekte seit Beginn dieser Tagung zusammengestellt. Zu beachten sind auch die weiteren Aktivitäten die aus der "Keimzelle" der 60er Jahre entstanden sind. Bemerkenswert ist weiterhin die Tatsache, dass im Mittel die Beteiligung an den Sitzungen sich von 1961 bis heute kaum geändert hat. An dieser Stelle nochmals meinen Dank an Herrn B.-A. Brandt für die umfassende und sorgfältige Zusammenstellung über die Historie der SEI-Tagungen.

Neben den spezifischen Fachthemen wurden die derzeitigen und zukünftigen Lösungen zur schnellen Übertragung von Daten über Kabel- und Backplaneverbindungen vorgestellt. Hierbei sind die seriellen Verbindungen mit ihren hohen Datenraten (u.a. Infiniband 12x ermöglicht eine Bruttodatenrate von 60 Gb/s) stark im Vormarsch. PCI-Express vereinheitlicht die I/O Struktur für Grafik, Netzwerk und Massenspeicher mit einer Bandbreite von derzeit 8 GB/s.

Ethernet für Echtzeitanwendungen führt immer weiter zur Ablösung der unterschiedlichen Feldbussysteme, wobei es auch hierbei mehr als 11 Varianten auf dem Markt gibt. Ethernet Powerlink bietet mit der fortgeschrittenen Standardisierung (Version 2.0, Nov. 2003) und der starken Industriebeteiligung eine zukunftssträchtige Lösung. Durch EtherCAT wird eine kostengünstige Lösung für den Anschluss einzelner I/O Module/Kanäle an das Ethernet mit hoher Datenrate und geringem time jitter ermöglicht. Die EtherCAT Cips sind für Ende 2004 angekündigt. Die Skalierbarkeit von LabVIEW wird durch die FPGA-Programmierung weiter vorangetrieben. Einen Ausblick über die zukünftige Entwicklung der Mikro-Nano Technologie zeigt, dass die Grenzen in den nächsten 10-20 Jahren noch nicht erreicht werden. Es gibt also weiterhin viel zu tun.

Für die kommende Herbsttagung vom 27.9. - 29.9.2004 im Forschungszentrum Rossendorf (Zentralabteilung Forschungstechnik) ist geplant, die Themen EMV und CE-Zeichen sowie bleifreies Lötten in den Vordergrund zu stellen.

Berlin, Juni 2004



**Ausstellung**



**Eröffnungsrede Friedrich Wulf**



**Raimund Kammering**



**H. Leich**



**Mathias Reinecke**



**Stefan Simrock**





**Bernd Schoeneburg**



**Bernd-August Brandt**



**Fred Blönnigen**



**Thomas Rönpage**



**Wolfgang Schnurbusch**



**Stefan Hering**



**Thomas Holzapfel**

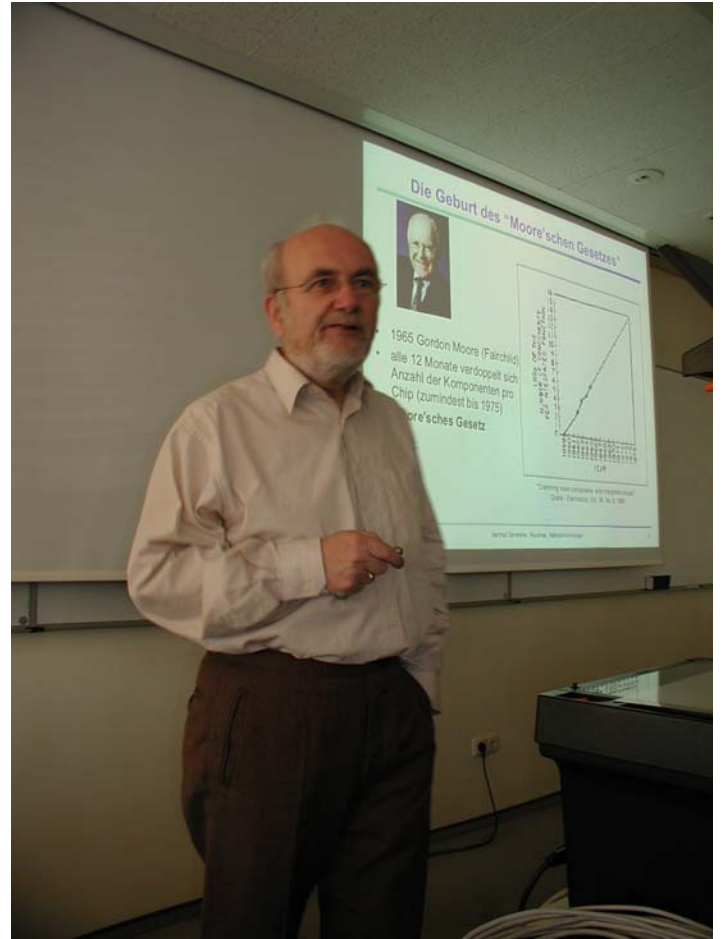


**Raymond Chevalley**





Harald Kleines



H. Gemmeke



Günter Richter



Gerd Nowack



**Waldemar Przybilla**



**Abschlussrede Friedrich Wulf**



**Gruppenbild**

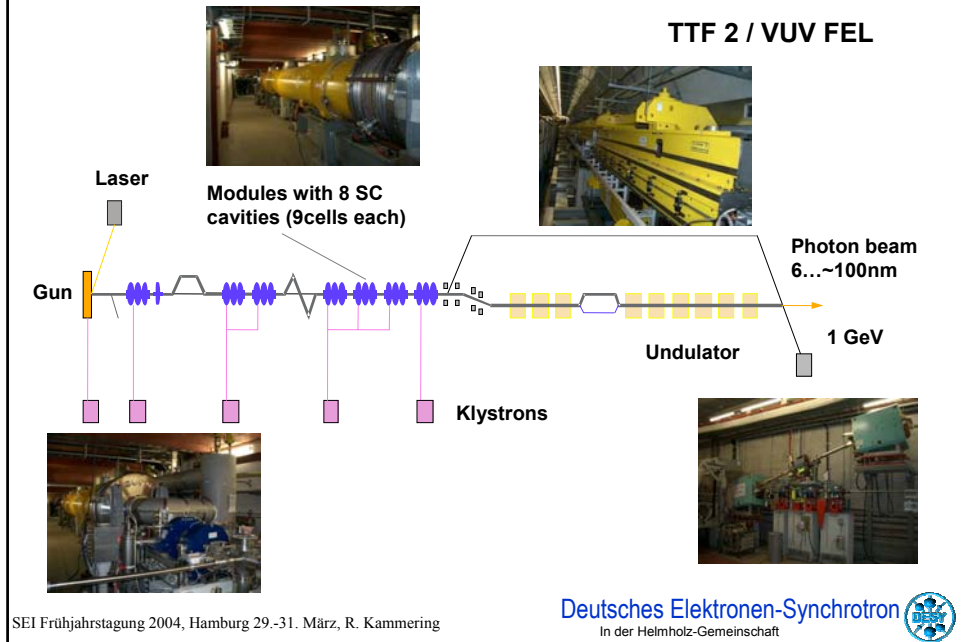


# Ein elektronisches Logbuch - Entwicklung und Erfahrungen

Raimund Kammering  
-MVP- DESY Hamburg

- Die TESLA Test Facility (TTF)
- Das TTF Logbuch
- Die e-Logbuch Technology
  - Architektur
  - XML, XSL etc.
  - Die Benutzeroberfläche (GUI)
- Einige Statistik
- Ausblick und Zusammenfassung





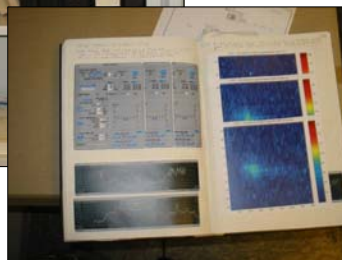
Hiermit haben wir angefangen!



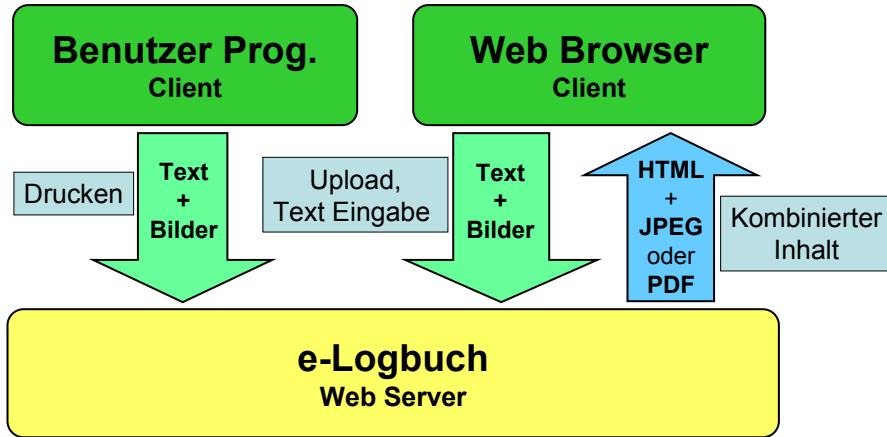
### TTF Logbücher

1998 ... 2001

- keine Suche
- *Remote operation?*
- Lesbarkeit ...?

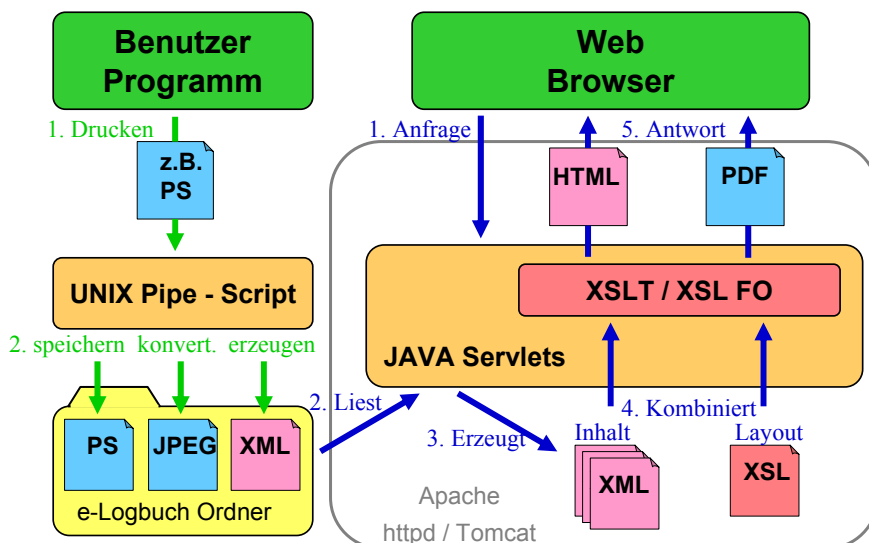


### Klassische Client – Server Architektur:



SEI Frühjahrstagung 2004, Hamburg 29.-31. März, R. Kammering

Deutsches Elektronen-Synchrotron  
In der Helmholtz-Gemeinschaft



SEI Frühjahrstagung 2004, Hamburg 29.-31. März, R. Kammering

Deutsches Elektronen-Synchrotron  
In der Helmholtz-Gemeinschaft



## Ein typischer Logbuch Eintrag

```
<?xml version="1.0" encoding="iso-8859-1"?>
<list>
  <entry>
    <text>This is the text field of the logbook!</text>
    <title>This is a new logbook</title>
    <isodate>2003-02-07</isodate>
    <time>19:24</time>
    <severity>NONE</severity>
    <category>USERLOG</category>
    <keywords>Linac Status</keywords>
    <author>Kay Rehlich</author>
    <file>new_file.jpeg</file>
    <link>new_file.ps</link>
    ..
  </entry>
  ..
</list>
```

```
<?xml version="1.0"?>
<xsl:stylesheet version="1.0" xmlns:xsl="http://www.w3.org/1999/XSL/Transform">
  <xsl:template match="list">
    <html>
      <body BGCOLOR="#cccccc">
        <TABLE>
          <xsl:apply-templates select="entry">
            <xsl:sort order="descending",
              select="time"/>
          </xsl:apply-templates>
        </TABLE>
      </body>
    </html>
  </xsl:template>

  <xsl:template name="entry">
    <TR>
      <TD BGCOLOR="#99ffff">
        <xsl:value-of select="substring(time,1,5)"/>
      </TD>
      <xsl:apply-templates select="author"/>
      <xsl:apply-templates select="title"/>
    </TR>
  </xsl:template>
  ..
</xsl:stylesheet>
```

### Template 'list' :

- erzeugt HTML Seite
- erzeugt Tabelle
- ruft 'entry' Template für jeden 'entry' in 'list'
- sortiert 'entries' absteigend nach 'time'

### Template 'entry' :

- erzeugt Tabellenzeile
- erzeugt Tabellenzelle
- fügt Zeit ein
- ruft weitere Templates

```

<?xml version="1.0" encoding="iso-8859-1"?>
<list>
  <entry>
    <title>This is a new logbook</title>
    <isodate>2003-02-07</isodate>
    <time>19:24</time>
    <author>Kay Rehlich</author>
  </entry>
  <entry>
    <title>A second title</title>
    <isodate>2003-02-07</isodate>
    <time>10:17</time>
    <author>Raimund Kammering</author>
  </entry>
</list>

```

XML

```

<?xml version="1.0"?>
<xsl:stylesheet version="1.0,"
xmlns:xsl="http://www.w3.org/1999/XSL/Transform">
  <xsl:template match="list">
    <html>
      <body BGCOLOR="#cccccc">
        <TABLE>
          <xsl:apply-templates select="entry">
            <xsl:sort order="descending,"
              select="isodate"/>
          </xsl:apply-templates>
        </TABLE>
      </body>
    </html>
  </xsl:template>
  <xsl:template match="entry">
    <TR>
      <TD BGCOLOR="#99ffff">
        <xsl:value-of select="substring(time,1,5)"/>
      </TD>
      <xsl:apply-templates select="author"/>
      <xsl:apply-templates select="title"/>
    </TR>
  </xsl:template>
  ...
</xsl:stylesheet>

```

XSL



## Änderungen seit der ersten Stunde

- Verwendung von *JSP* (JAVA server pages) statt HTML
- ermöglicht Benutzung von *JSTL* (JAVA standard tag library)
- somit ist dynamische Konfiguration eines Logbuches möglich

→ Eine zentrale Konfigurationsdatei pro e-Logbuch

```

<!-- define the name of the logbook, displayed on each page -->
<name>TTF eLogBook</name>
...
<!-- period to create a new shift -->
<!-- formats are: Y = year, M = month, W = week, D = day, 3 = 3 shifts a day -->
<new_shift>M</new_shift>

<!-- language code, possible values: en, de -->
<lang_code>en</lang_code>

<!-- date formatting, possible formats are: -->
<!-- date_fmt>MM/dd/yyyy</date_fmt -->
<!-- date_fmt>yyyy-MM-dd</date_fmt -->
<date_fmt>dd.MM.yyyy</date_fmt>

<!-- title string for each shift in strftime(3C) format -->
<title_date>%B %Y</title_date>

<!-- Shall text be 'above' or 'beside' the images -->
<!-- text_pos>above</text_pos -->
<text_pos>beside</text_pos>

...
<!-- Background color for overall style of the HTML pages (standard rgb notation)-->
<bgcolor>ffffff</bgcolor>

```

**Logbuch name**

**Schichtrythmus**

**Darstellungssprache**

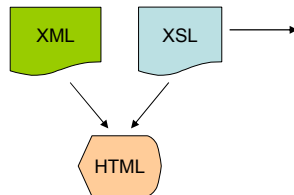
**Datumsformat**

**Datumsformat (Titel)**

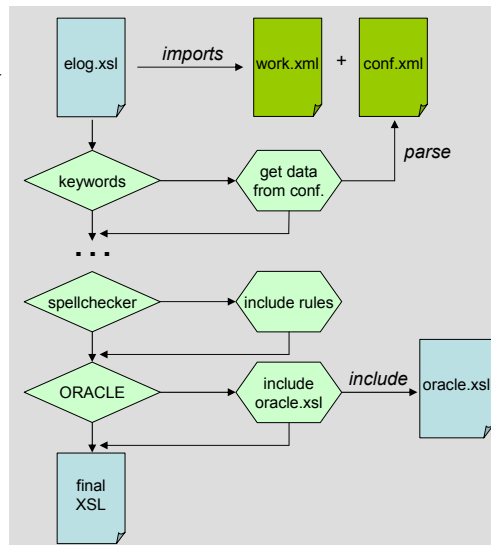
**Text layout**

**Hintergrundfarbe**

SEI Frühjahrstagung 2004, Hamburg 29.-31. März, R. Kammering

Deutsches Elektronen-Synchrotron  
In der Helmholtz-Gemeinschaft

Konfiguration per  
Logbuch erlaubt  
modulares XSL Design



SEI Frühjahrstagung 2004, Hamburg 29.-31. März, R. Kammering

Deutsches Elektronen-Synchrotron  
In der Helmholtz-Gemeinschaft

## Hauptfenster

Navigation

Suchen

Eintrag ändern

Erzeuge neuen Eintrag

Erzeuge PDF Datei

Automatisches Markup

Status Info.

SEI Frühjahrstagung 2004, Hamburg 29.-31. März, R. Kammering

Deutsches Elektronen-Synchrotron  
In der Helmholtz-Gemeinschaft

## Editierfenster

Datei Upload

Rechtschreibhilfe

Mail an Experten

Setzen von (konfigurierbaren) Standard Informationen

SEI Frühjahrstagung 2004, Hamburg 29.-31. März, R. Kammering

Deutsches Elektronen-Synchrotron  
In der Helmholtz-Gemeinschaft

### Natürliche Integration von Dokumentationen in d. e-Logbuch

**Komplexe Baumstruktur möglich**

**Mehrseitige Dokumentationen**

**Kurze Kommentare (für Suche)**

The screenshot shows the 'TTF Logbook IP\_Digital' interface. On the left is a complex tree view with categories like 'Cordons', 'Arbeits', 'Network', 'Electronics', 'VME\_Crate', 'Timing', 'Wire', 'Integrator', 'F\_Stepper', 'F\_Digital', 'F\_DAC', 'F\_Carrier', 'F\_ADC', 'Logway', 'Computer', and 'ADC'. The main area displays a log entry from '13.02.2004 17:36 Kay Rehlich' about 'Opto22 output modules for IP\_Digital'. It includes text: 'SNAP digital output modules from Opto22. These modules provide a digital interface.' Below this is another entry for 'Opto22 input me'. A separate window titled 'OPTO 22 I/O MODULES SNAP DATA SHEET' is overlaid on the right, showing a technical table with columns for 'Description', 'Part number', 'Voltage', 'Current', 'Power', 'Weight', and 'Dimensions'.

SEI Frühjahrstagung 2004, Hamburg 29.-31. März, R. Kammering

Deutsches Elektronen-Synchrotron In der Helmholtz-Gemeinschaft

**Die Mutter aller E-Logbücher**

**...und so sieht es heute aus**

The collage consists of several overlapping screenshots from the TTF Logbook system. One screenshot shows a scatter plot with a blue background. Another shows a table of data. A third shows a line graph with a green curve. There are also screenshots of search results and various menu options. A red arrow points from the text 'Die Mutter aller E-Logbücher' to one of the screenshots. A light blue box contains the text '...und so sieht es heute aus'. Logos for DESY and INFN are visible at the bottom of the collage.

SEI Frühjahrstagung 2004, Hamburg 29.-31. März, R. Kammering

Deutsches Elektronen-Synchrotron In der Helmholtz-Gemeinschaft

Dank an: S. Karstensen, D. Sertore, P. Krejcik und J. Tsai für d. Snapshots

## Statistik für das TTF e-Logbuch:

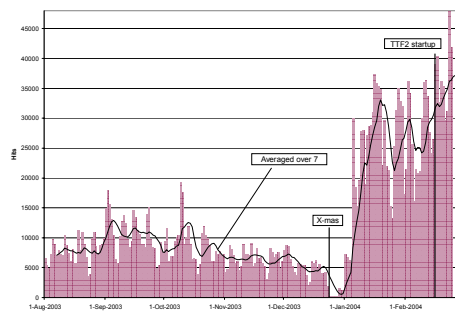
- In Betrieb seit: **15. Okt. 2001** bis ??
- ~ **20000** Einträge insgesamt
- ~ **8Gb** Graphische Daten / ~14Mb ASCII Text

Bis heute laufen **27** e-Logbücher auf **12** verschiedenen Servern



SEI Frühjahrstagung 2004, Hamburg 29.-31. März, R. Kammering

Deutsches Elektronen-Synchrotron  
In der Helmholtz-Gemeinschaft



SEI Frühjahrstagung 2004, Hamburg 29.-31. März, R. Kammering

Deutsches Elektronen-Synchrotron  
In der Helmholtz-Gemeinschaft

## Das elektronische Logbuch:

- ermöglicht vielen Programmen direkte Eingabe
- ist besser lesbar als handschriftliche Aufzeichnungen
- involviert mehr Menschen in d. Maschinenoperation
- ermöglicht Experten (schnell), Kommentare, Tipps, etc. zu geben
- bietet Suchfunktion
- ist **der** Platz für alle Messergebnisse
- ist ein **muss** für *remote operation*
- bringt Erfahrung mit den Web Technologien

→ **Das e-Logbuch ist ein wichtiges GAN Werkzeug**

## Mögliche Erweiterungen

- Erweiterung d. Authentifizierung und Autorisierung (LDAP, NIS, ...)
- Weiteres Markup zur Textformatierung (*Wiki* Style z.B.: **bold** wird als: **bold** gedruckt)
- Ausbau des e-Logbuch zu vollwertigem *web service* (SOAP, WSDL, UDDI - um z.B. über nicht lokale e-Logbücher zu suchen)
- ...

## Vielen Dank für Ihre Aufmerksamkeit

- **Online Quellen:**
- e-logbook @ TTF:  
<http://tesla.desy.de/doocs/elogbook>
- e-logbook zum testen:  
<http://gan.desy.de/guestelog>
- Das TTF e-logbook (DESY intern):  
<http://ttfinfo.desy.de/TTFelog>



# TTF2/XFEL Interlock Architecture

**Holger Leich**

DESY Zeuthen

⇒ **Joint project: DESY Hamburg and DESY Zeuthen**

⇒ **People involved:**

**DESY Hamburg:**

**S. Choroba, H.J. Eckoldt, T. Grevsmuehl, O. Hensler, J. Kahl,  
F.R. Kaiser,**

**K. Rehlich, S. Simrock**

**DESY Zeuthen:**

**A. Kretschmann, H. Leich, U. Schwendicke, R. Wenndorff**

5/5/2004

TTF2/XFEL Interlock Architecture

1

## Main Task of the Interlock System

- > Guarantee operator /other persons safety
- > to prevent any damage from the cost expensive components of the RF station
- > also to prevent any damage from other environment

## Sources of Interlock Error Signals

- hard component failures (non-reversible hardware malfunction)
  - > broken cable or damaged contact, dead sensor, ...
- soft errors (e.g. sparks in the klystron or wave guide system, temperature above a threshold, ...)
- error conditions caused by transient noise from the RF station itself

5/5/2004

TTF2/XFEL Interlock Architecture

2

## Components of a TTF2/XFEL RF Station

### HV Power Supply

- Provide the input voltage of 0-12 KV to the capacitor bank of the Modulator

### Modulator

- Discharges a fraction of the energy stored in the capacitor bank into the pulse transformer. A bouncer circuit will ensure that the 120 kV high voltage output pulse will be flat i.e. voltage drop will not exceed some predefined level.

### HV Transmission Line

- Connects the Modulator with the pulse transformer.

### Pulse Transformer

- Transforms the 12 kV, 1200 A pulse generated by the Modulator into a 120 kV, 120 A pulse driving the Klystron cathode voltage.

### Persons and machine safety systems

- Several personnel and machine safety systems are interacting together to provide a safe operation of the whole system

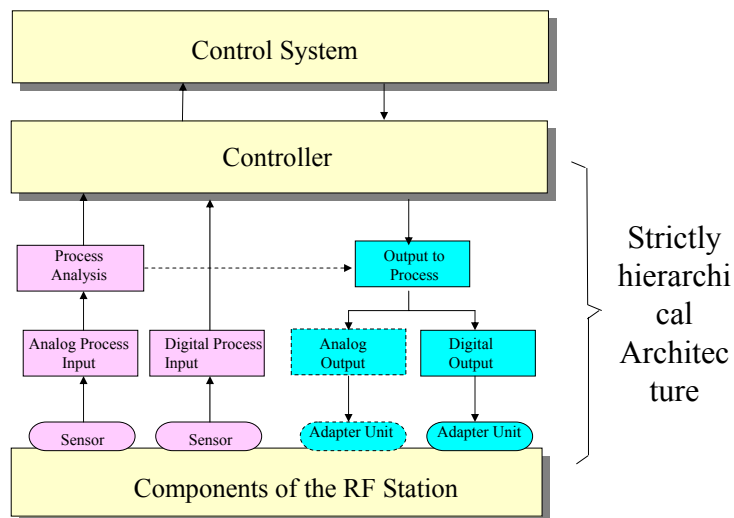
### Low Level RF System (LLRF)

5/5/2004

TTF2/XFEL Interlock Architecture

3

## Interlock System Architecture

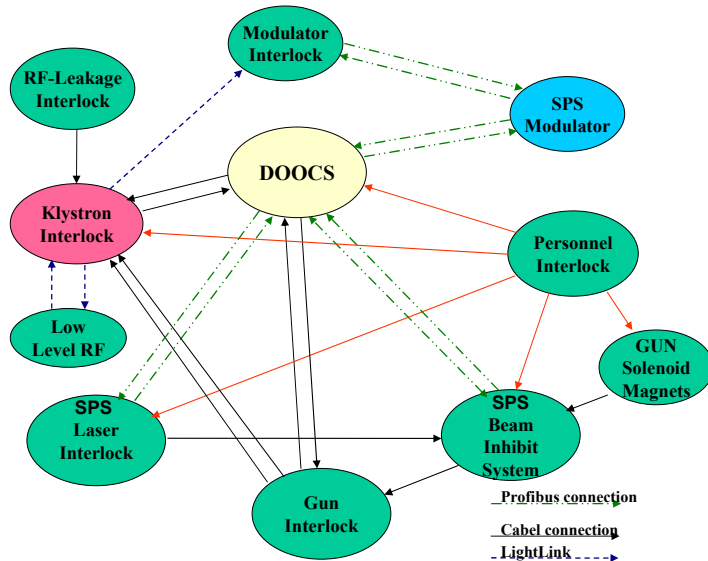


5/5/2004

TTF2/XFEL Interlock Architecture

4

## TTF2/XFEL Interlock Subsystems



5/5/2004

TTF2/XFEL Interlock Architecture

5

## Interlock Inputs

- Digital Inputs
  - Oil levels
  - Cooling water flow
  - Vacuum pump current
- Analog Inputs
  - Oil temperature
  - Cooling water temperature
  - Klystron Filament voltage & current
  - Solenoid voltage & current
  - SF6 gas pressure

5/5/2004

TTF2/XFEL Interlock Architecture

6

## Interlock Inputs / Outputs

- Inputs from other Subsystems
  - Persons interlock
  - RF leakage detector
  - Modulator ready
  - Gun interlock
  - RF system ready
- Interlock Outputs
  - Modulator on
  - Heater power supply on
  - Klystron solenoid power supply on
  - RF enable

5/5/2004

TTF2/XFEL Interlock Architecture

7

## Response Times

- Ultra Fast (UF):  $R_t < 1 \mu\text{s}$
- Fast (F):  $R_t = 1 \dots 5 \mu\text{s}$
- Normal (N):  $R_t > 5 \mu\text{s}$

--> Actual implementation only N and F

--> ca. 70 signals to process, number increasing

5/5/2004

TTF2/XFEL Interlock Architecture

8

## The Implementation

→ 19" 4U System with dedicated backplane optimized to the application

→ 3U-Eurocard board format with 2 5-Row connectors (CPCI like ): → 125 + 110 = 235 pins

⇒ enough pin resources per slot and to backplane to build a compact interlock/control system

⇒ Front-to-rear connections:

	40 Pins
• Control Bus:	50 Pins
• Time Multiplex Bus:	16 Pins
• Service Request lines:	20 Pins (one per slave slot)
• Direct Digital Out:	24 Pins
• Service Request Lines:	20 Pins

### Data throughput:

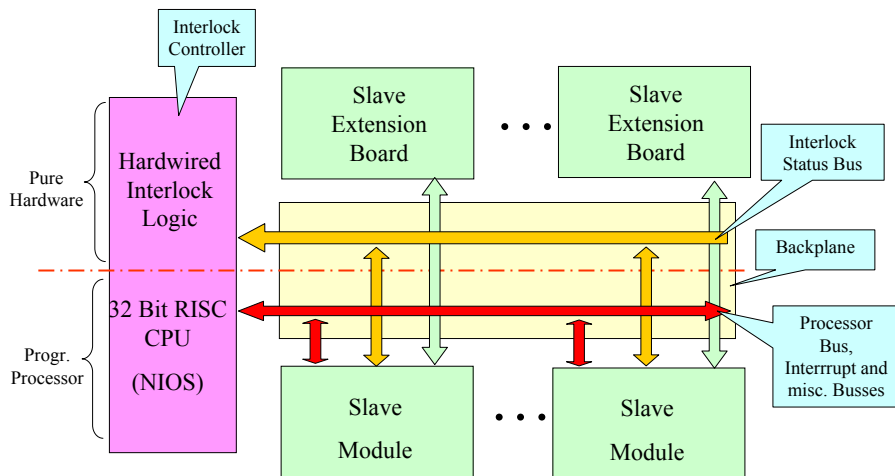
• Control Bus:	15 MBytes/s
• Time Mux Bus:	updates 125 Status signals within 1µs

5/5/2004

TTF2/XFEL Interlock Architecture

9

## Architecture Overview

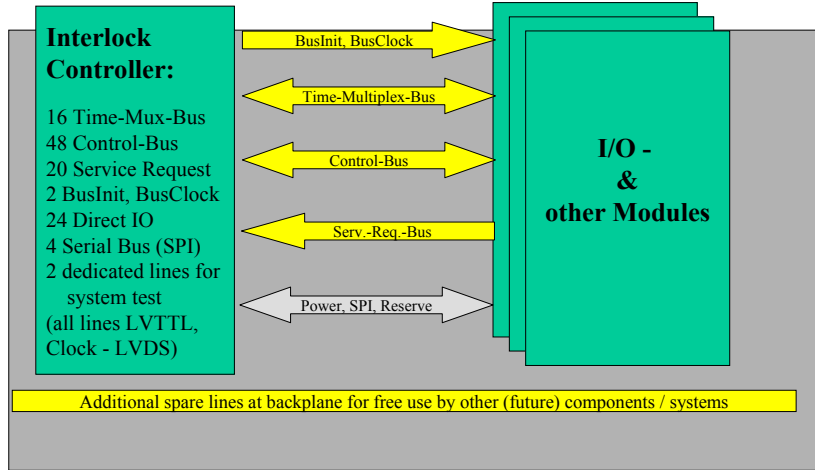


5/5/2004

TTF2/XFEL Interlock Architecture

10

## Structure of the Interlock Crate Bus System



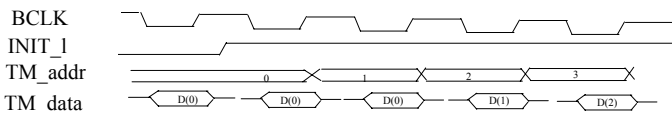
5/5/2004

TTF2/XFEL Interlock Architecture

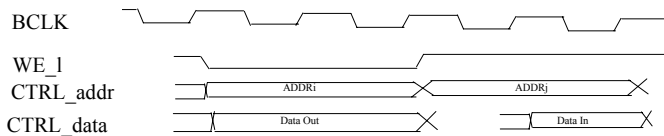
11

## Bus Timing

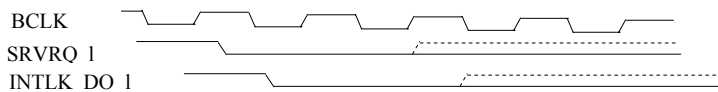
### • Time Multiplex Bus



### • Control Bus



### • Service Request/Direct IO Bus

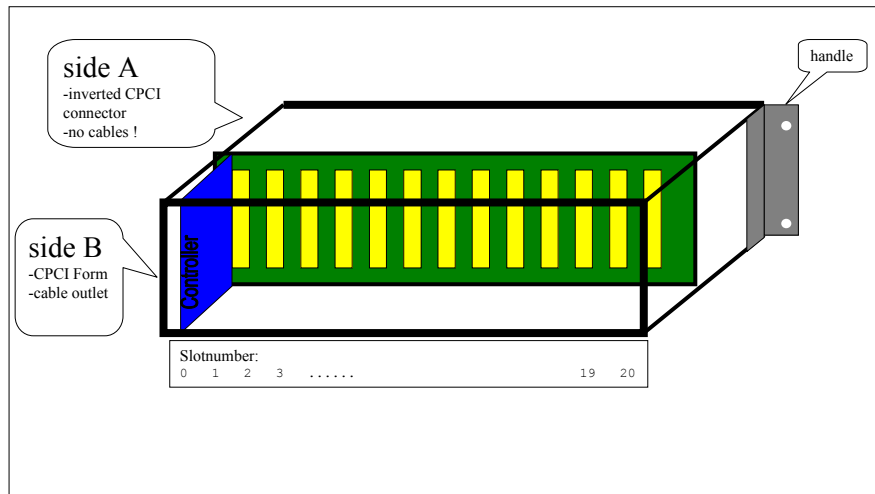


5/5/2004

TTF2/XFEL Interlock Architecture

12

## Interlock Crate: Layout



5/5/2004

TTF2/XFEL Interlock Architecture

13

## Interlock Selftest

Zu testende Komponenten:

- Controller
- Backplane
- Slaves (alle vorhandenen)
- Netzteil- und Lüfterlogik

5/5/2004

TTF2/XFEL Interlock Architecture

14

## Prämissen

- Test der Komponenten in einem speziellen Mode (Systemtest) nach RESET
- Übergang in Interlock-Mode nach fehlerfreiem Test
- Im Interlock-Mode nur noch Test der Komponenten, die der Controller-CPU zugänglich sind (zeitzyklisch, Plausibilität, Watchdog zum Interlock)
- Einfache Logik – möglichst viel von der Controller-CPU erledigen lassen

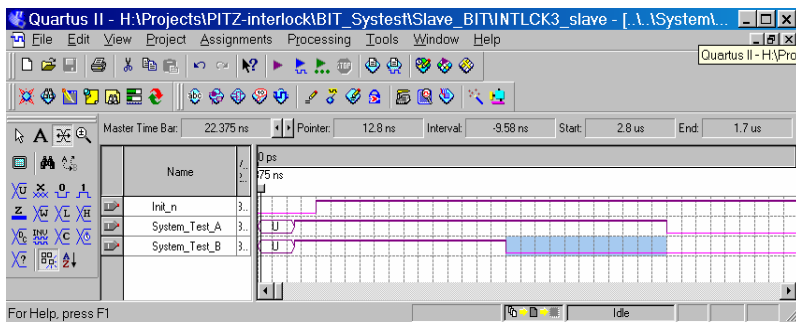
5/5/2004

TTF2/XFEL Interlock Architecture

15

## Realisierung (I)

- Controller steuert System\_Test\_A und System\_Test\_B
- Slaves erkennen, daß getestet wird, sperren die Freigaben des Interlock



TM-Bus-Test

Rest

5/5/2004

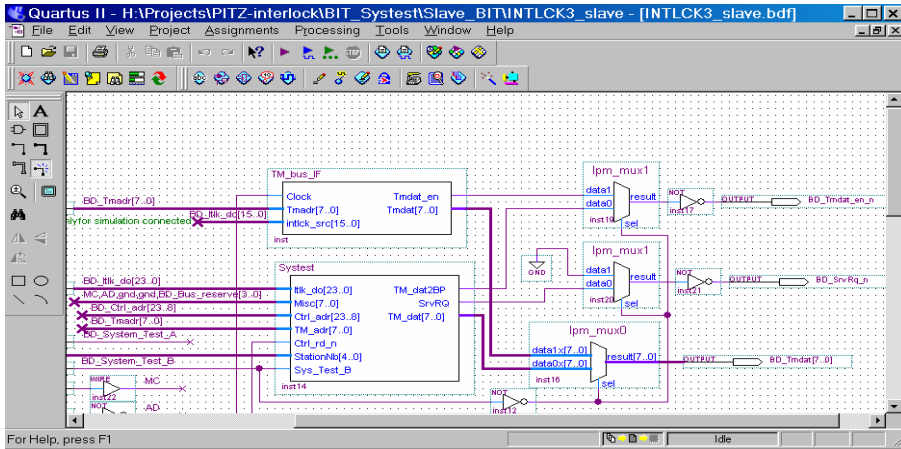
TTF2/XFEL Interlock Architecture

16



## Realisierung (II)

- System\_Test\_A schaltet per MUX TMDat und TMadr in den Control-Adressraum so daß sie vom Controller getestet werden können.



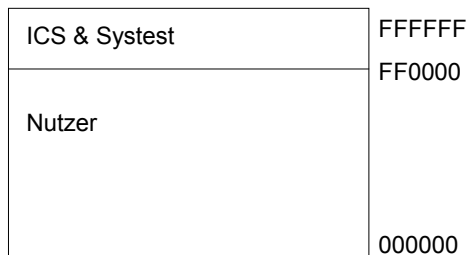
5/5/2004

TTF2/XFEL Interlock Architecture

17

## Randbedingungen (I)

- Memory-Map der Slaves muß einheitlichen Regeln folgen, damit sie getestet werden können:
- Adressraum 0-FFFFFF wird aufgeteilt in Nutzer- und ICS (Identification Control and Status) & Systest-Adressraum



5/5/2004

TTF2/XFEL Interlock Architecture

18

## Randbedingungen (II)

- Jeder Modul erhält eine feste Stationsnummer (im FPGA-Design oder per Drehschalter) und darf **nur** auf der Station (Slot) im Crate stecken, für die er programmiert ist.
- A[23..19] == Stationsnummer im Nutzerbereich
- A[23..13] == 1111 1111 110, A[12..8] == Stationsnummer im ICS-Bereich

System Test space of Module @ Station 20	FFF400-FFF4FF
...	
System Test space of Module @ Station 2	FFE200-FFE2FF
System Test space of Module @ Station 1	FFE100-FFE1FF
reserved for future use	FFE000-FFE0FF
free	
ICS space of Module @ Station 20	FFD400-FFD4FF
...	
ICS space of Module @ Station 2	FFC200-FFC2FF
ICS space of Module @ Station 1	FFC100-FFC1FF
reserved for future use	FF0000-FFC0FF
reserved for special applications	B00000-FEFFFF
address space for Slaves	080000-AFFFFFFF
reserved for future use	000000-7FFFFFFF

5/5/2004

TTF2/XFEL Interlock Architecture

19

## Modul ID Structure

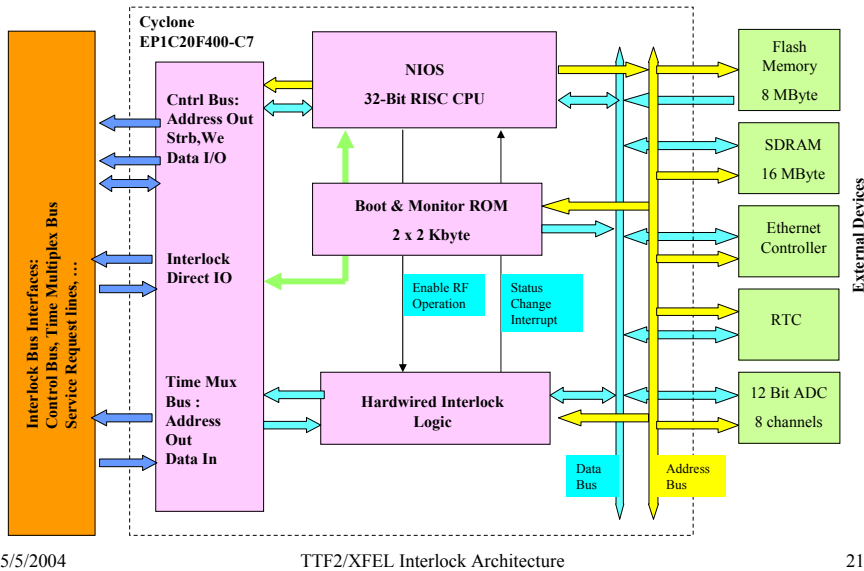
Field type	Field name	Field length (byte)	example
Binary	Station number	1	18
Binary	A/B-side flag	1	1 (B-side)
ASCII	module name	24	controller
ASCII	Version #	8	1.2
ASCII	Prog. File name	24	Controller1.pof
ASCII	Prog. File date	8	051103

5/5/2004

TTF2/XFEL Interlock Architecture

20

## Controller Architecture



## Interface to the Control System

The 32-bit RISC processor of the Controller performs all necessary control functions to all slave modules in the interlock crate. The interface to the DOOCS Control System is implemented via Ethernet. A TINE server runs on the NIOS processor and provides an interface to a DOOCS client.

- All status information and all mask data will be implemented as properties in the context of TINE
- All actual values of analog input channels are implemented as properties
- All commands to the interlock crate (to the controller) are implemented as DOOCS properties and may be issued by a DOOCS server
- The actual values of the data mentioned above are stored in the DOOCS History Format

## Slave Module Overview

### ➤ Digital IO LightLink

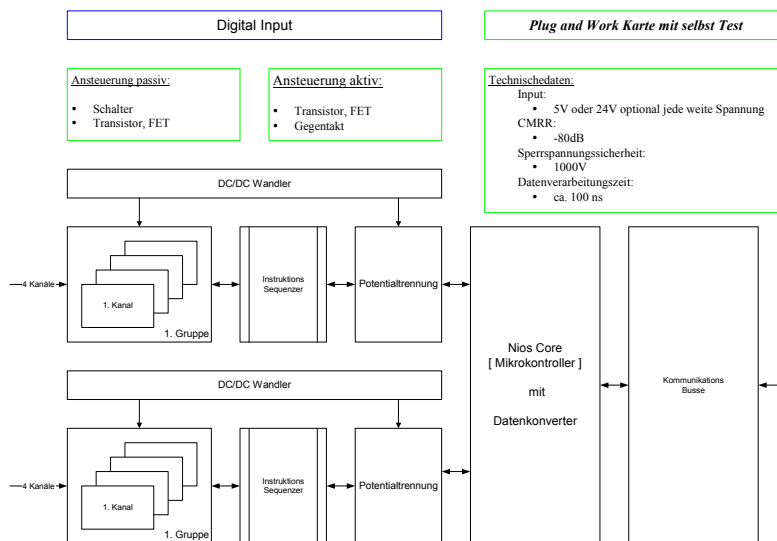
- Versatile Link (VL)- or ST- Connectors
- Basic card: 4x Input + 4x Output + max. 2 piggyback's
- piggyback: either 8x Output (VL)
- or 8x Input (VL)
- or 4x Input & 4x Output (VL)
- or 3x Input & 3x Output (ST)

5/5/2004

TTF2/XFEL Interlock Architecture

23

### ➤ Digital Input Module

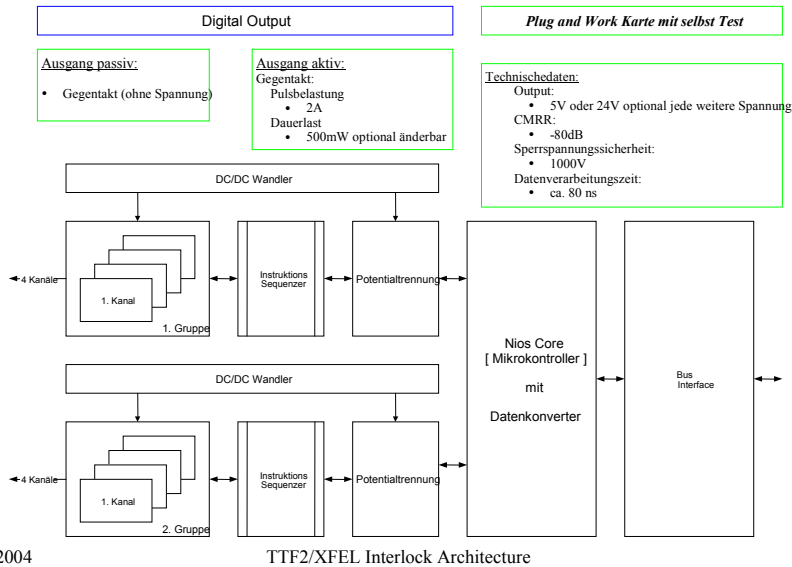


5/5/2004

TTF2/XFEL Interlock Architecture

24

## ➤ Digital Output Module



## ➤ Analog Input Module (Temperature & precise Voltage)

Spezifikation	Technische Daten	Einheiten / Zusatzdaten	
<b>Karte allgemein</b>			
Kanäle pro Gruppe	Anzahl	4	
Gruppen	Anzahl	2	
Gruppen	Potentialfrei	2	
Selbstkalibrierung	alle Kanäle	8	
Selbst-Test	alle Kanäle	8	
Sensoren	Pt-100		
	Pt-1000		
	Pt-1000 Ultra Low		
Abtastrate	Sampels/s	100	
Direkte spannungsmessung	Wahlweise	8	
<b>Kanal</b>			
	$U_{max}$	$U_{max} = U_{imp} \cdot PGR_{1.128}$	1..128
	$U_{imp}$	V	+/- 1.25
	Genauigkeit $U_{imp}$	$\mu$ V	+/- 2
	CMRR	dB	-70
	max. Kabellänge	m	bis 200
	Sperrspannung	V	1000
<b>Temperatur Messung</b>			
<b>Pt-100</b>			
	Meßbereich min	$^{\circ}$ C	- 200
	Meßbereich max	$^{\circ}$ C	+ 800
	Genauigkeit	$^{\circ}$ C	+/- 0.01
	Meßstrom	mA	1
<b>Pt-1000</b>			
	Meßbereich min	$^{\circ}$ C	- 200
	Meßbereich max	$^{\circ}$ C	+ 800
	Genauigkeit	$^{\circ}$ C	+/- 0.01
	Meßstrom	mA	1
<b>Pt-1000 Ultra-Low*</b>			
	Meßbereich min	$^{\circ}$ C	- 273
	Meßbereich max	$^{\circ}$ C	+ 800
	Genauigkeit	$^{\circ}$ C	+/- 0.01
	Meßstrom	mA	1

5/5/2004

TTF2/XFEL Interlock Architecture

26

## ➤ Analog Input Fast

Spezifikation	Technische Daten	Einheiten / Zusatzdaten	
<b>Karte allgemein</b>			
Kanäle pro Gruppe	Anzahl		2
Gruppen	Anzahl		4
Gruppen	Potentialfrei		4
Selbstkalibrierung	alle Kanäle		8
Selbst-Test	alle Kanäle		8
Abtastrate max	Sampels/s		1 Meg
<b>Kanal</b>			
	$U_{Meo}$	$U_{Meo} = U_{Exp} \cdot PGA_{1..128}$	1..8
	$U_{Exp}$	V	+/- 10
	Genauigkeit $U_{Exp}$	$\mu V$	+/- 152
	CMRR	dB bei 1 MHz	-80
	Eingangsimpedanz	$\Omega$	50 oder 10 Meg
	Kabellänge 10 M $\Omega$	m	20
	Kabellänge 10 M $\Omega$	m	ca. 7
	Abtastrate normal	Sampels/s	800k
	Abtastrate low	Sampels/s	200k
	Eingangssignal		DC to 1 MHz
	Speerspannung	V	1000
	Datentransfer	Bit Parallel	8
	ADC → Signalkonditioner		

5/5/2004

TTF2/XFEL Interlock Architecture

27

## ➤ Analog Output

Spezifikation	Technische Daten	Einheiten / Zusatzdaten	
<b>Karte allgemein</b>			
Kanäle pro Gruppe	Anzahl		4
Gruppen	Anzahl		2
Gruppen	Potentialfrei		2
Selbstkalibrierung	alle Kanäle		8
Selbst-Test	alle Kanäle		8
Output	Strom		50
<b>Kanal</b>			
	Genauigkeit	$\mu V$	+/- 152
	CMRR	dB bei 1 MHz	-80
	Ausgangsimpedanz	$\Omega$	200
	Kabellänge	m	20
	Update rate	update/s	100
	Ausgangssignal	V	0..5V
	Ausgangssignal	V	0..10V

5/5/2004

TTF2/XFEL Interlock Architecture

28

### Task Matrix

	Task	Responsibility	Status
Hardware	Crate design (mechanics)	Z	done
	Backplane design (Schematics, Layout)	Z	done
	Modul design:		
	– Schematics	Z/HH	done
	– Layout	Z/HH	Partly done
	– FPGA design	Z/HH	Partly done
	– Emb. Processor design	Z/HH	Partly done
Firmware	Power up & periodic system check	Z	done
	Programs for emb. 8051 processors	HH	Partly done
	Subroutines for modul-specific tasks:		
	–SPI routines	Z	done
	–Interlock status readout	Z	done
	–ADC / DAC routines	HH	
Software	RTOS ( $\mu$ COS-II)	Z	done
	TCP/IP and UDP Stack	Z/HH	Ongoing tests
	DOOS interface (TINE server)	Z/HH	tbd

5/5/2004

TTF2/XFEL Interlock Architecture

29

### New Interlock Crate with Backplane



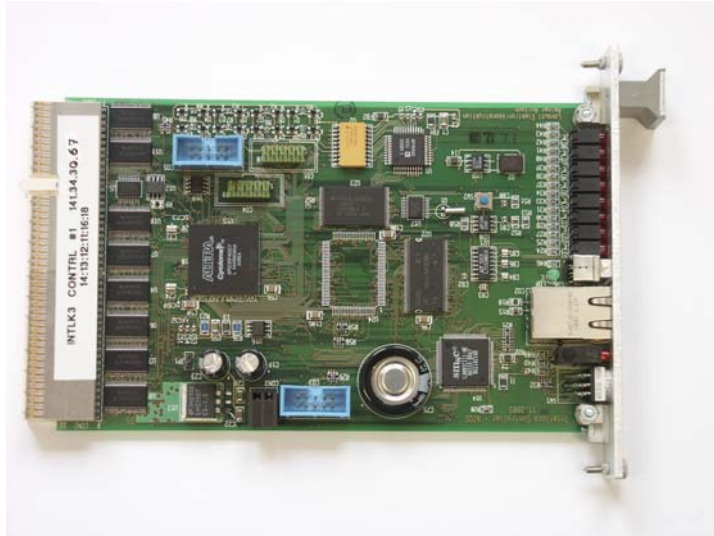
5/5/2004

TTF2/XFEL Interlock Architecture

30



## New Interlock Controller Board (Prototype)

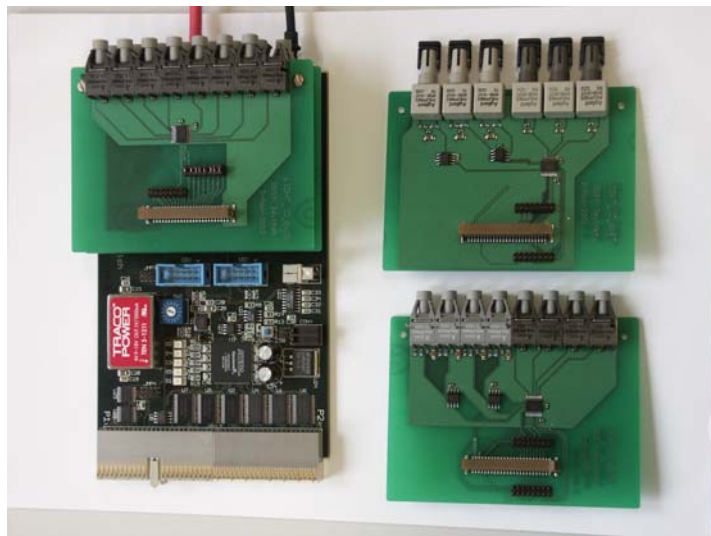


5/5/2004

TTF2/XFEL Interlock Architecture

31

## Light Link IO Board (Prototype)



5/5/2004

TTF2/XFEL Interlock Architecture

32

---

# Digitale Hochfrequenzregelung für den UV-FEL

Stefan Simrock

DESY

---

SEI Tagung 2004

Stefan Simrock



---

## Outline

- UV-FEL and European X-FEL
- RF Requirements and Control Issues
- RF Control Design Choices
- UV-FEL RF Control
- Conclusion

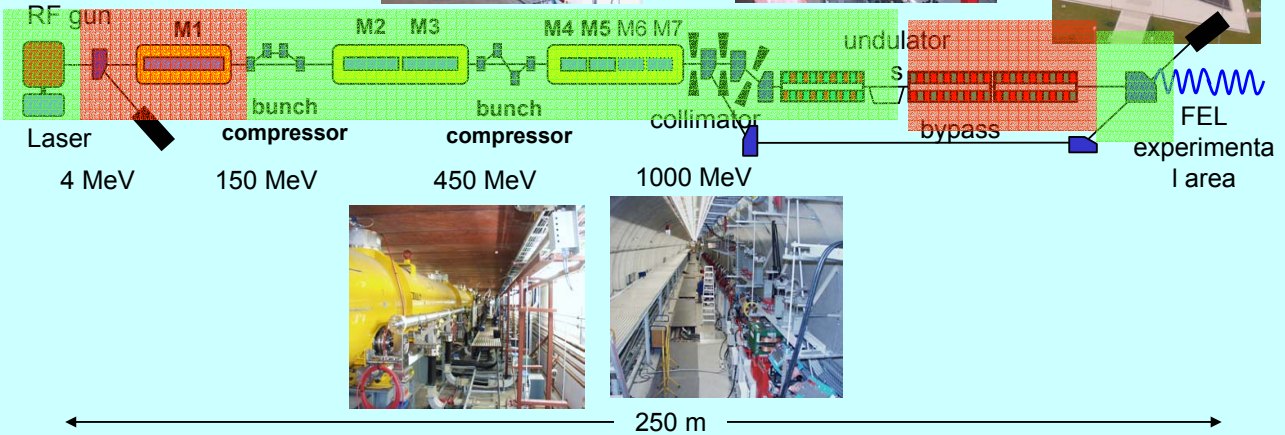
---

SEI Tagung 2004

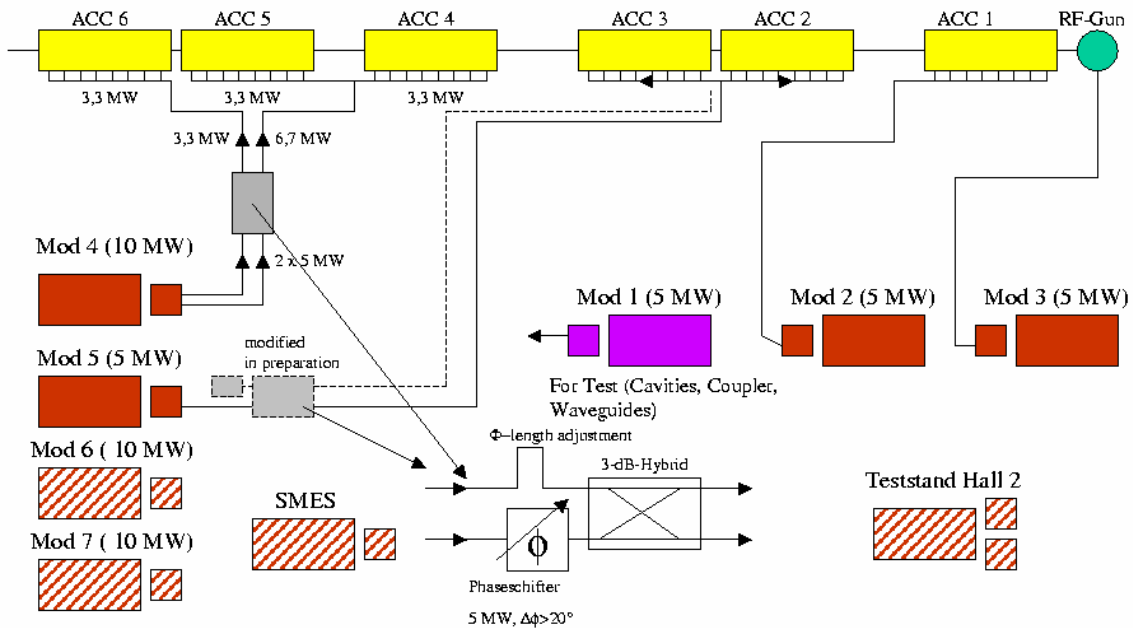
Stefan Simrock



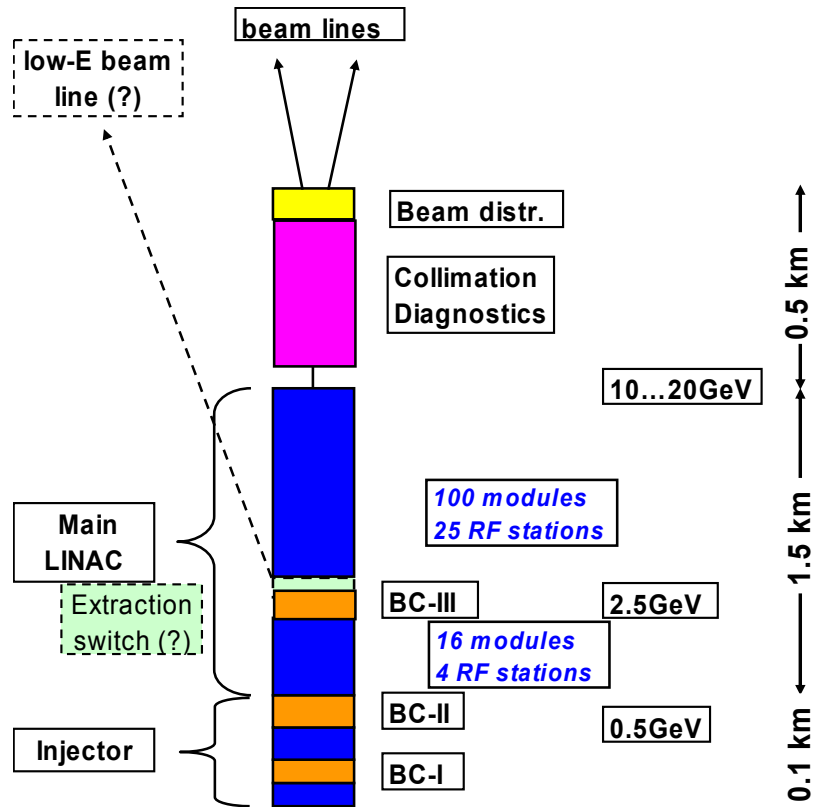
## Status of beamline installations



## TTF2 RF System

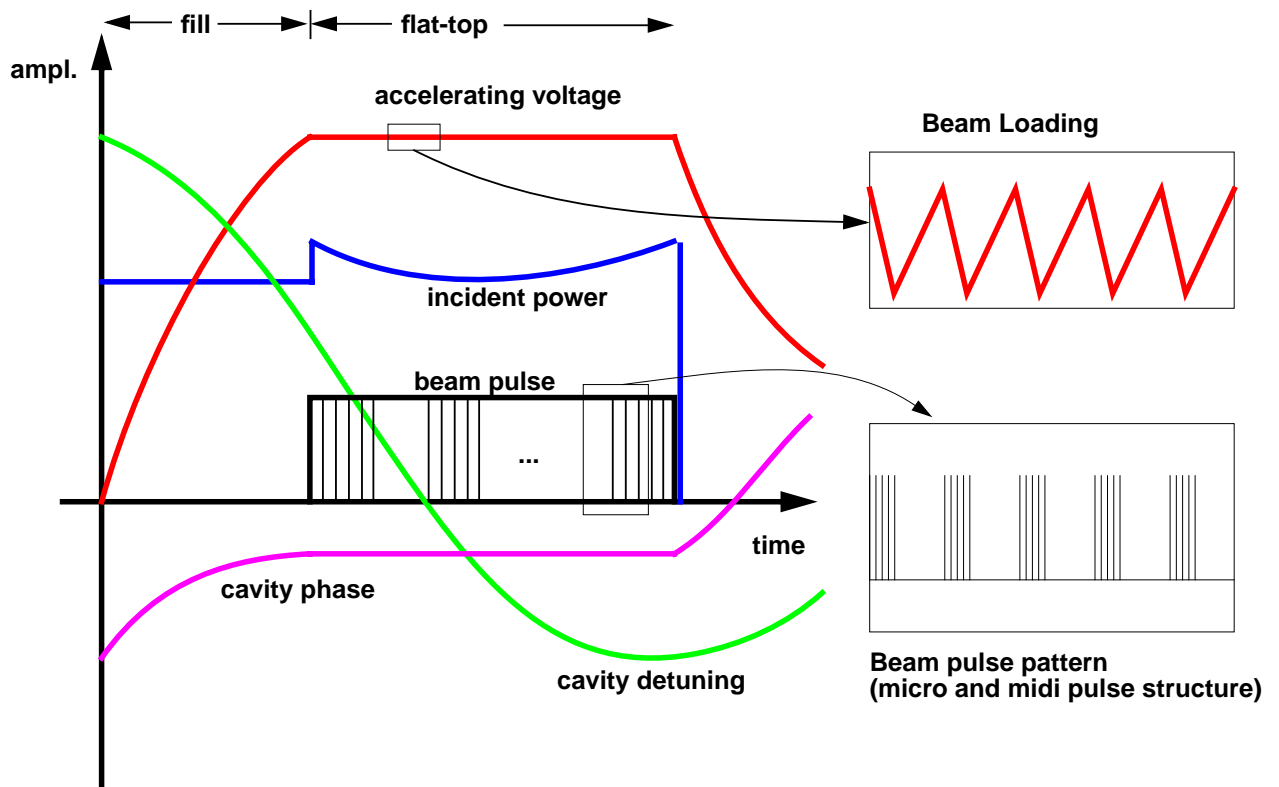


# Possible XFEL Layout



18

## Typical Parameters in a Pulsed Linac



---

# Requirements for LLRF Controls

- Maintain **Phase** and **Amplitude** of the accelerating field within given tolerances to **accelerate** a charged particle beam
- Minimize **Power** needed for control
- RF system must be **reproducible**, **reliable**, **operable**, and **well understood**.
- Other performance goals
  - **build-in diagnostics** for calibration of gradient and phase, cavity detuning, etc.
  - provide **exception handling** capabilities
  - meet performance goals over wide range of operating parameters



---

## Amplitude and Phase Stability

- Typically requirements for  $\sigma_E/E < 10^{-4}$  are
  - correlated fast amplitude error :  $\sigma_A/A < 10^{-4}$
  - correlated fast phase error (@-3 deg.):  $\sigma_\phi < 0.1$  deg.

Note: Must distinguish correlated and uncorrelated errors, intra-pulse, inter-pulse, and long-term (thermal > minutes). Long term stability of better than 1 deg. is difficult to achieve.



# Sources of Perturbations

## o Beam loading

- Beam current fluctuations
- Pulsed beam transients
- Multipacting and field emission
- Excitation of HOMs
- Excitation of other passband modes
- Wake fields

## o Cavity drive signal

- HV- Pulse flatness
- HV PS ripple
- Phase noise from master oscillator
- Timing signal jitter
- Mismatch in power distribution

## o Cavity dynamics

- cavity filling
- settling time of field

## o Cavity resonance frequency change

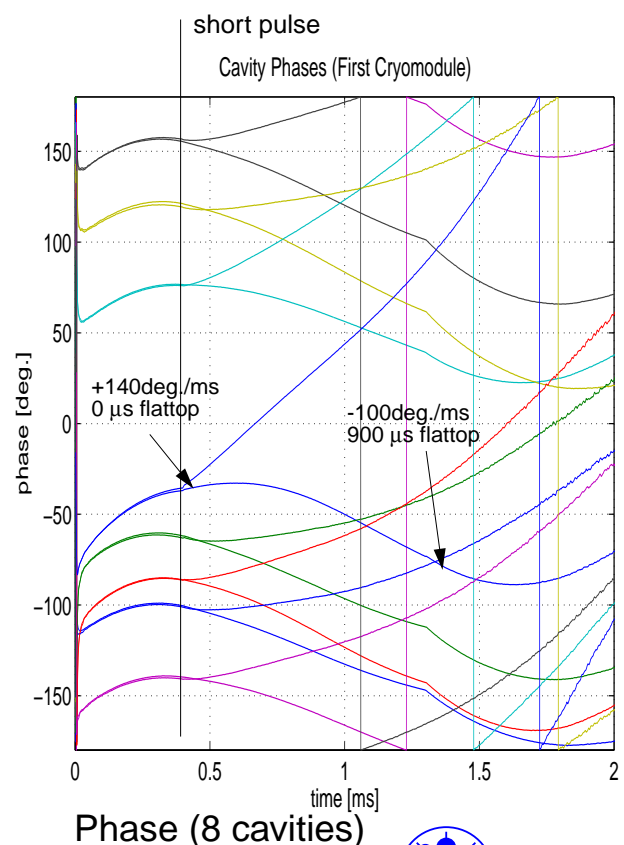
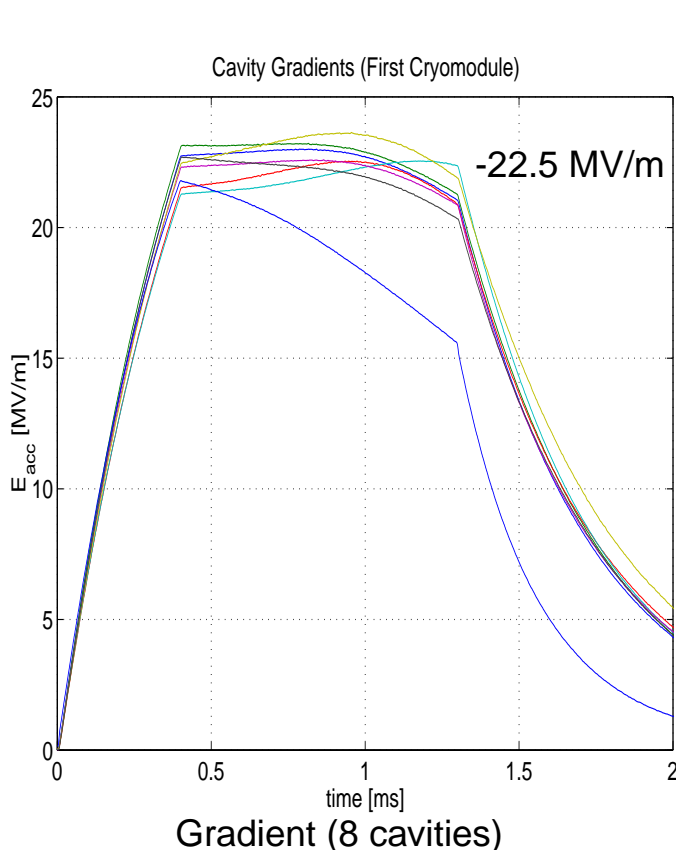
- thermal effects (power dependent)
- Microphonics
- Lorentz force detuning

## o Other

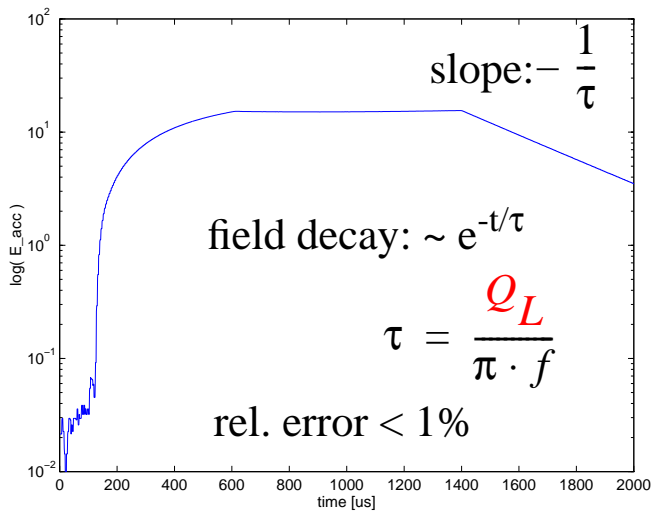
- Response of feedback system
- Interlock trips
- Thermal drifts (electronics, power amplifiers, cables, power transmission system)



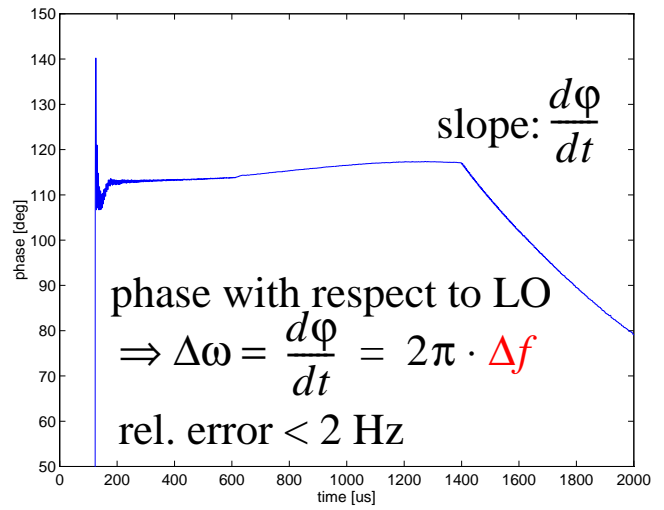
# Pulsed Operation at High Gradients



# Measurement of Cavity $Q_L$ and Detuning



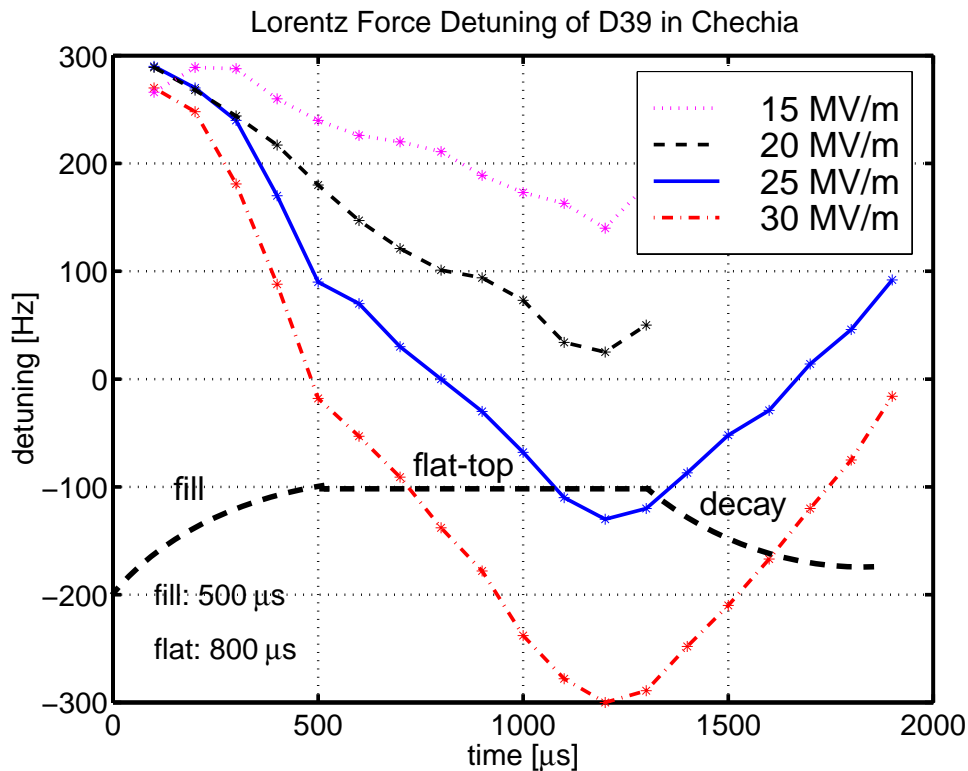
**Loaded Q**



**Detuning**

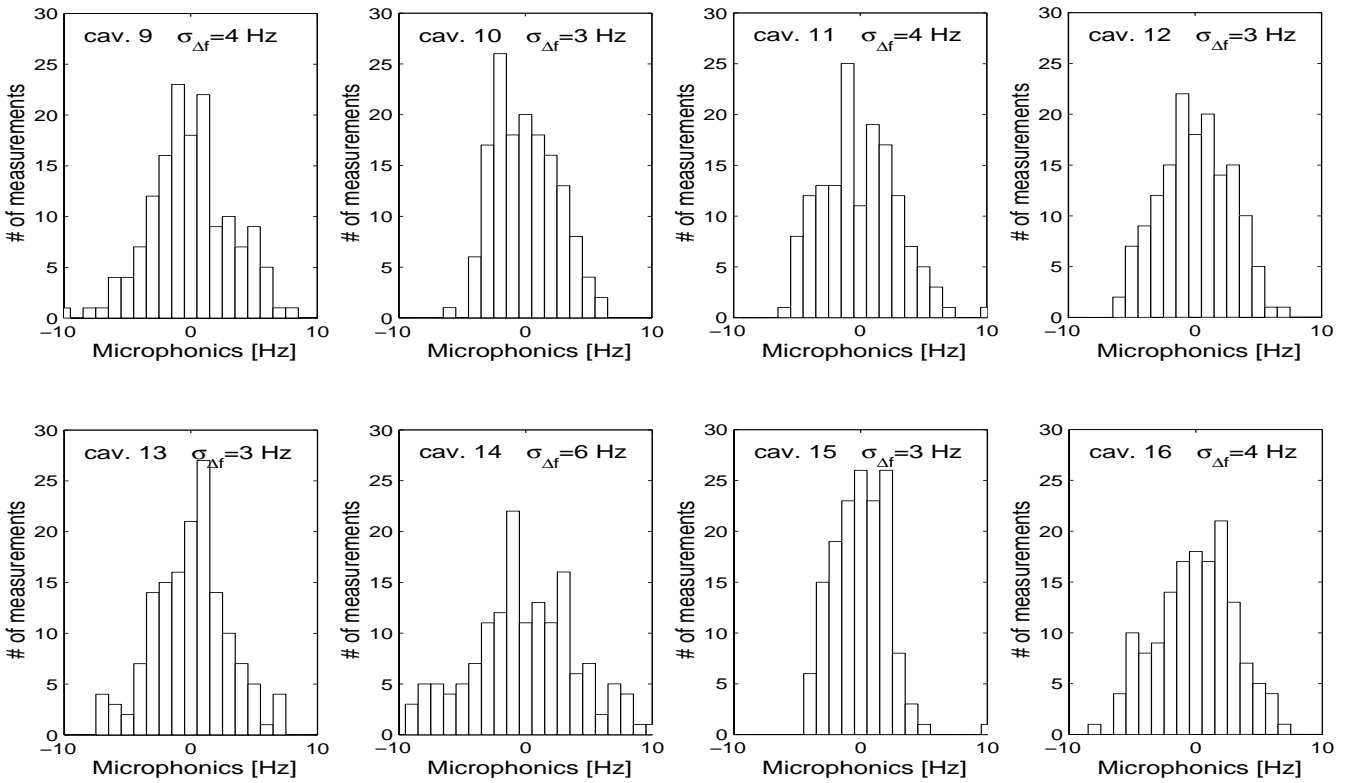


# Lorentz Force Detuning





# Microphonics at TTF

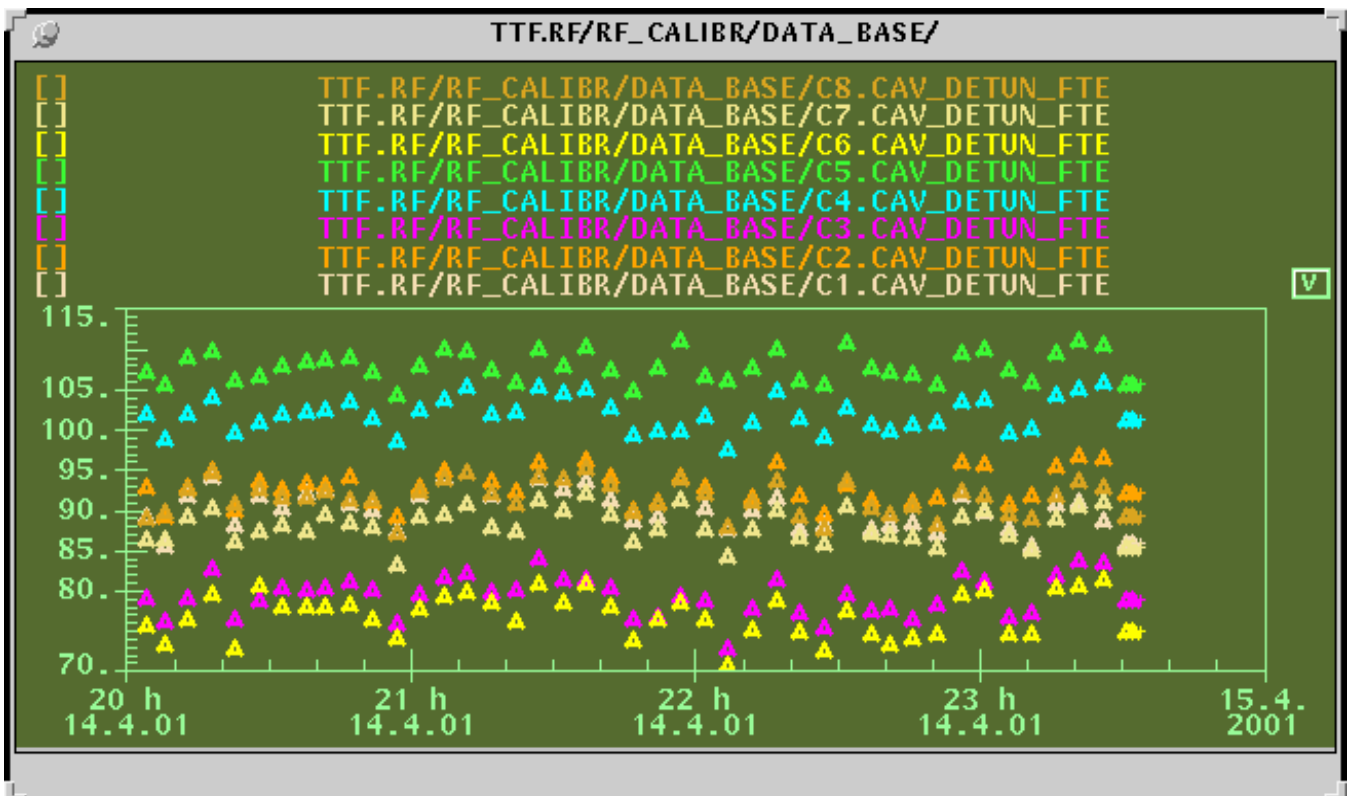


BFACT2001

Stefan Simrock



# Long Term Drift of Resonance Frequency

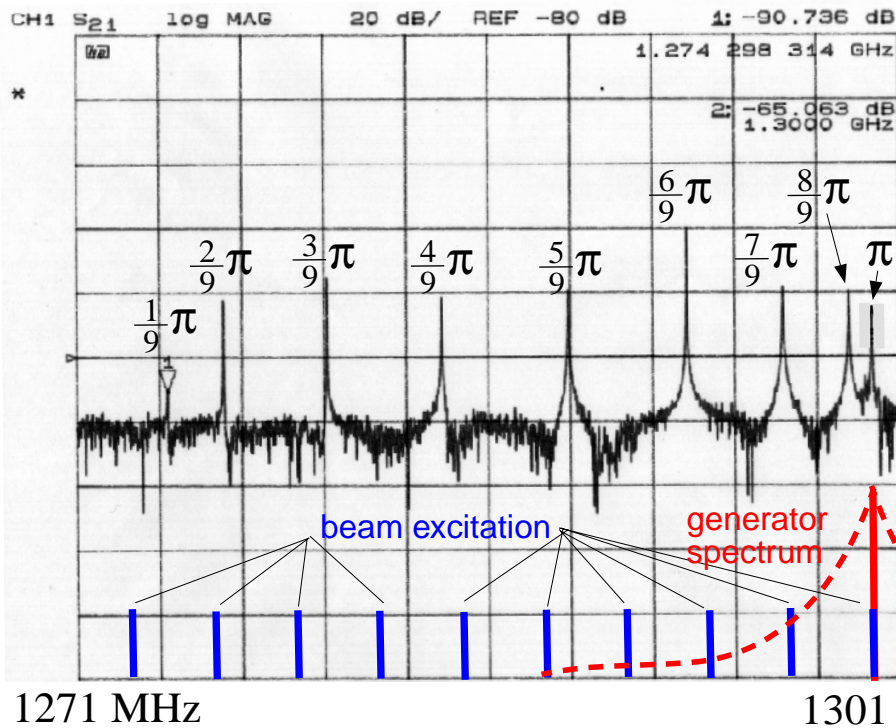


SEI Tagung 2004

Stefan Simrock



# Excitation of other Passband Modes



$f_{\pi}$	=	1300.091 MHz
$f_{8/9\pi}$	=	1299.260 MHz
$f_{7/9\pi}$	=	1296.861 MHz
$f_{6/9\pi}$	=	1293.345 MHz
$f_{5/9\pi}$	=	1289.022 MHz
$f_{4/9\pi}$	=	1284.409 MHz
$f_{3/9\pi}$	=	1280.206 MHz
$f_{2/9\pi}$	=	1276.435 MHz
$f_{1/9\pi}$	=	1274.387 MHz

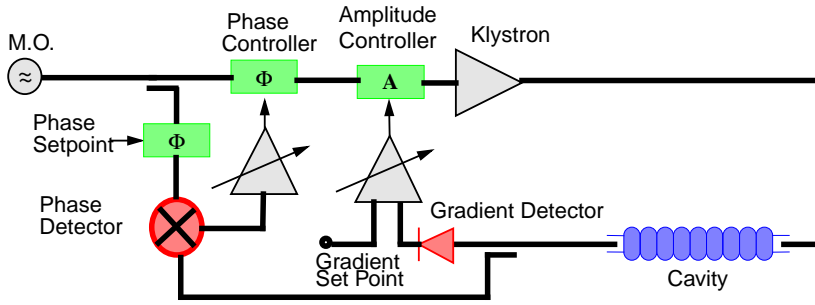


## Control Choices (1)

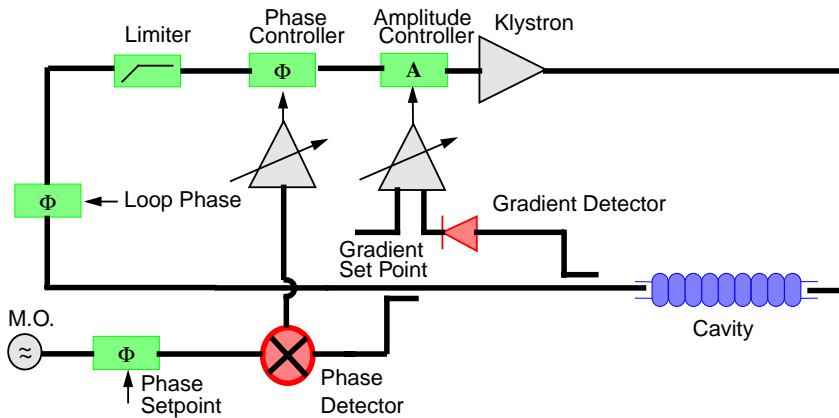
- Self-excited Loop (**SEL**) vs Generator Driven System (**GDR**)
- **Vector-sum** (VS) vs **individual** cavity control
- **Analog** vs **Digital** Control Design
- Amplitude and Phase (**A&P**) vs In-phase and Quadrature (**I/Q**) detector and controller



# Control Choices (2)



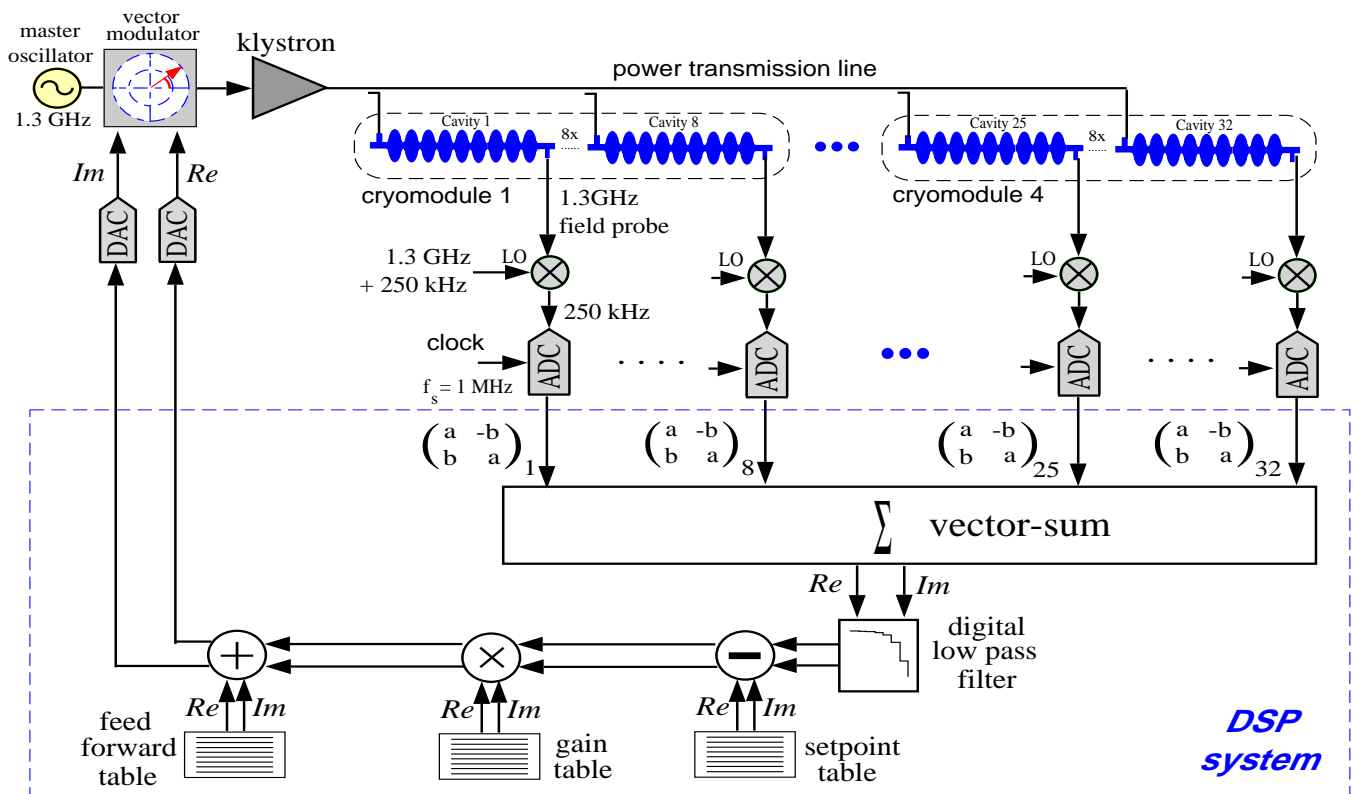
**Generator Driven Resonator**



**Self Excited Loop**



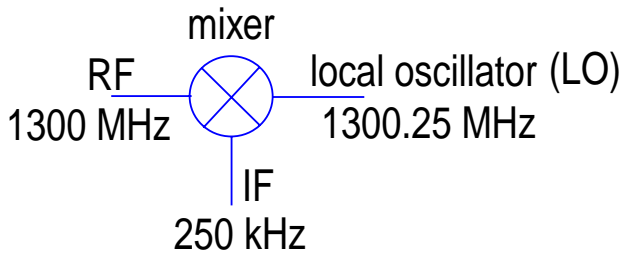
# Digital Control at the TTF



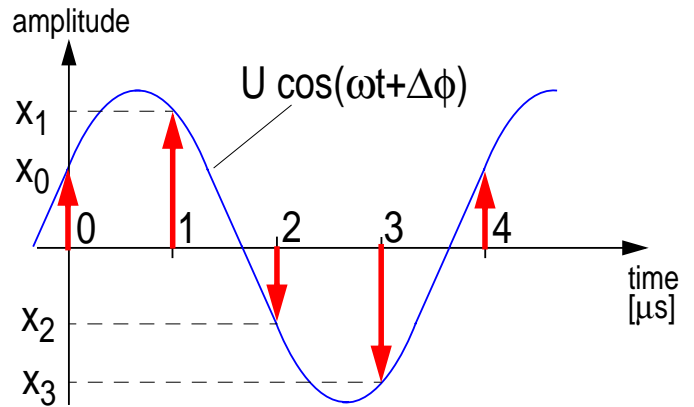
**DSP system**



# Digital I/Q Detection



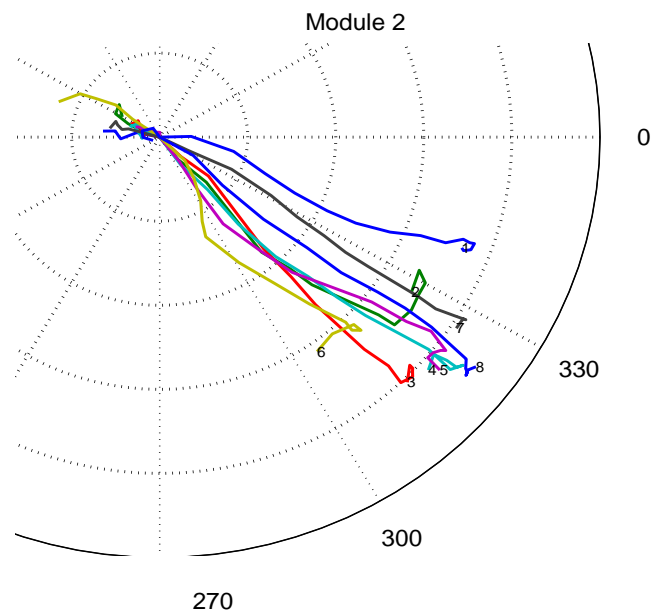
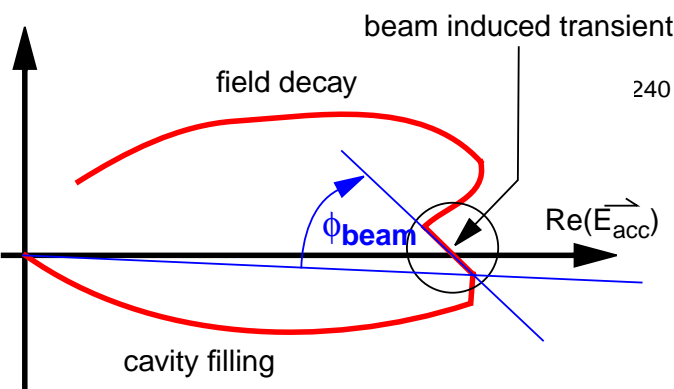
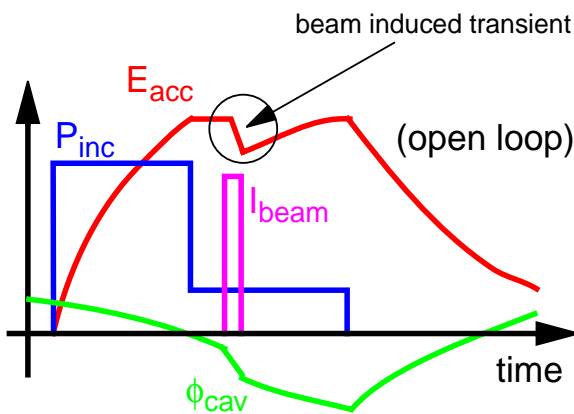
- downconversion of cavity field to IF frequency at 250 kHz
- complete phase and amplitude information of the accelerating field is preserved.



- sample IF signal at 1MHz rate
- subsequent samples describe real and imaginary component of the cavity field.



# Beam Transient based Phase and Gradient Calibration

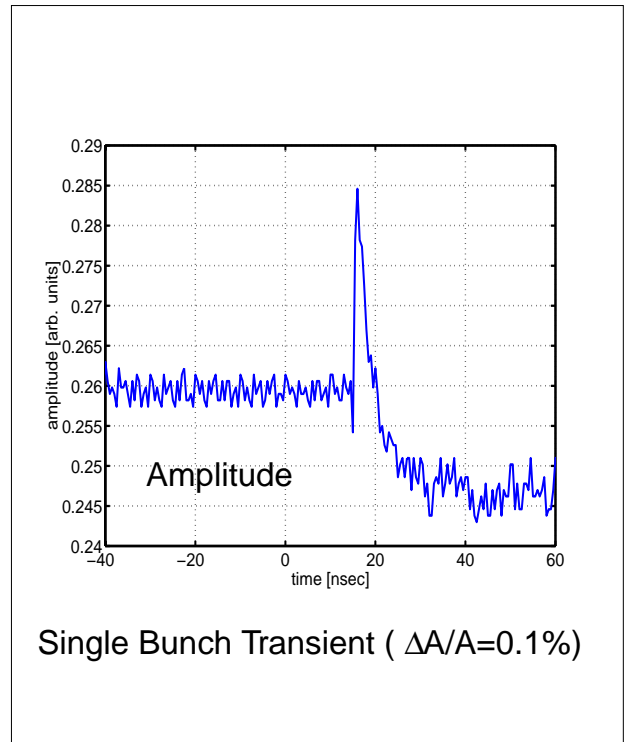
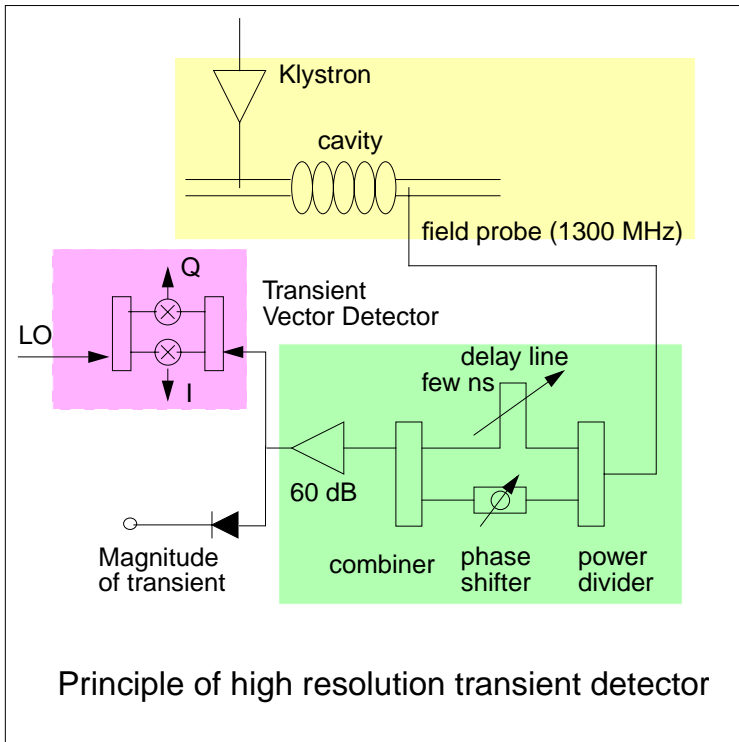


for  $\Delta t \ll \tau_{cav}$ :

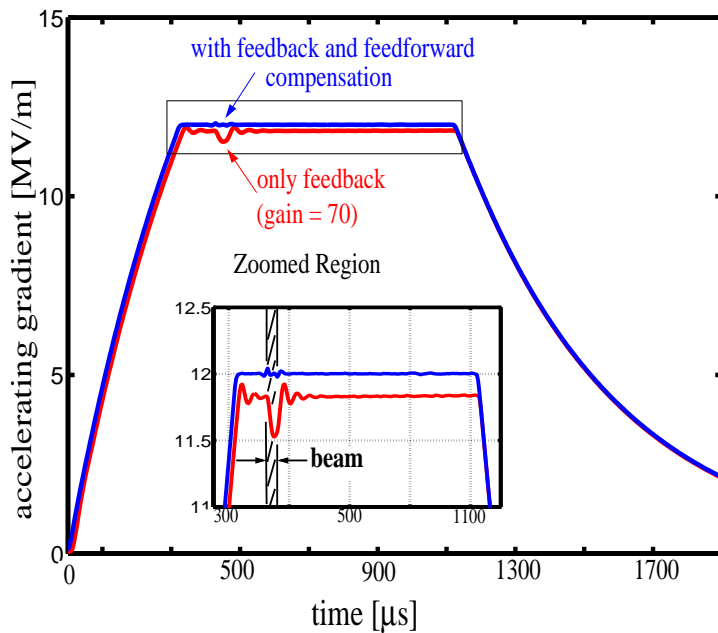
$$\Delta V_{ind} = I \cdot \Delta t \cdot \left(\frac{r}{Q}\right) \cdot \pi \cdot f$$



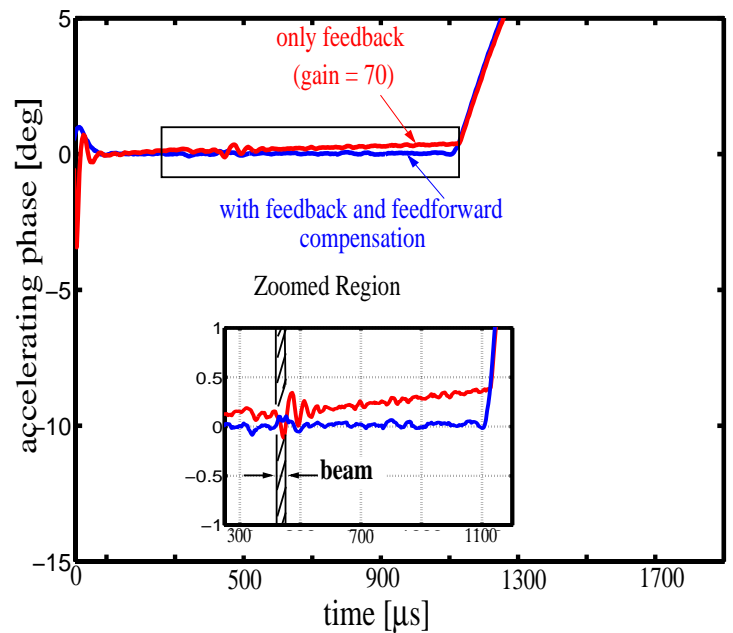
# Single Bunch transient Detection



# Performance at TTF (1)



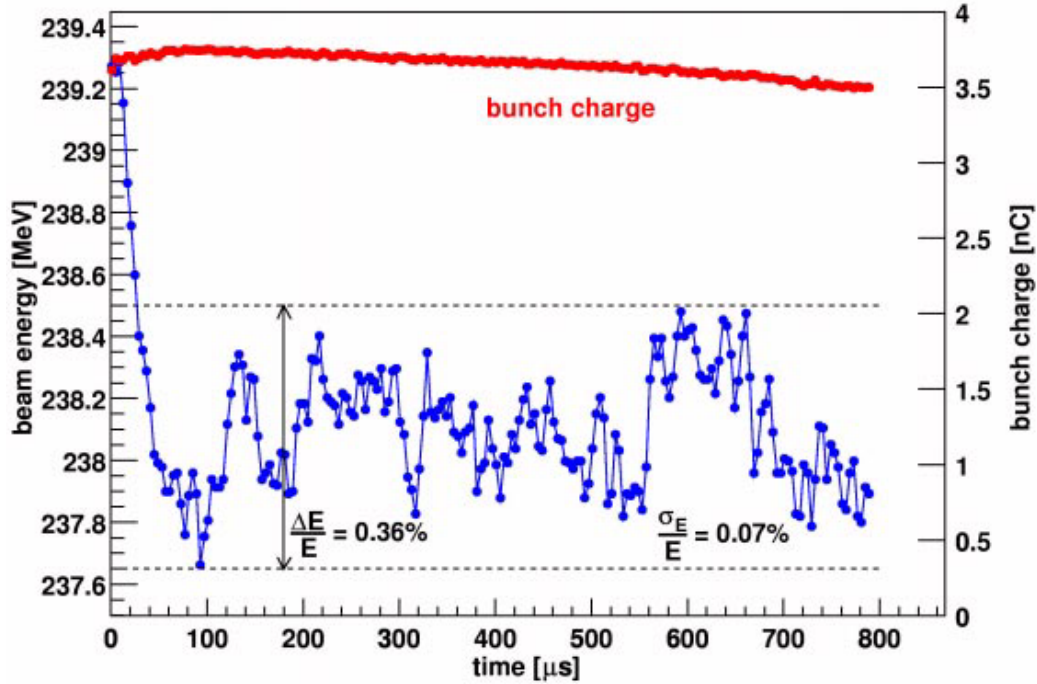
Amplitude



Phase



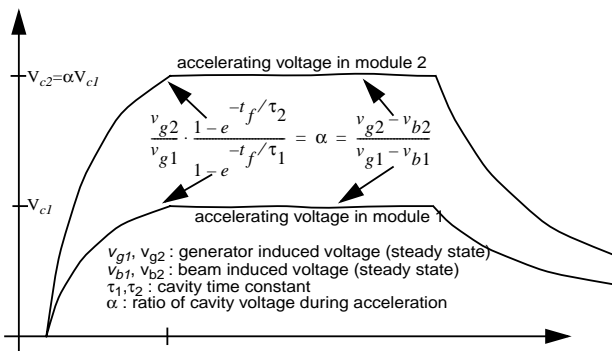
# Performance at TTF (2)



Operation with long beam pulses



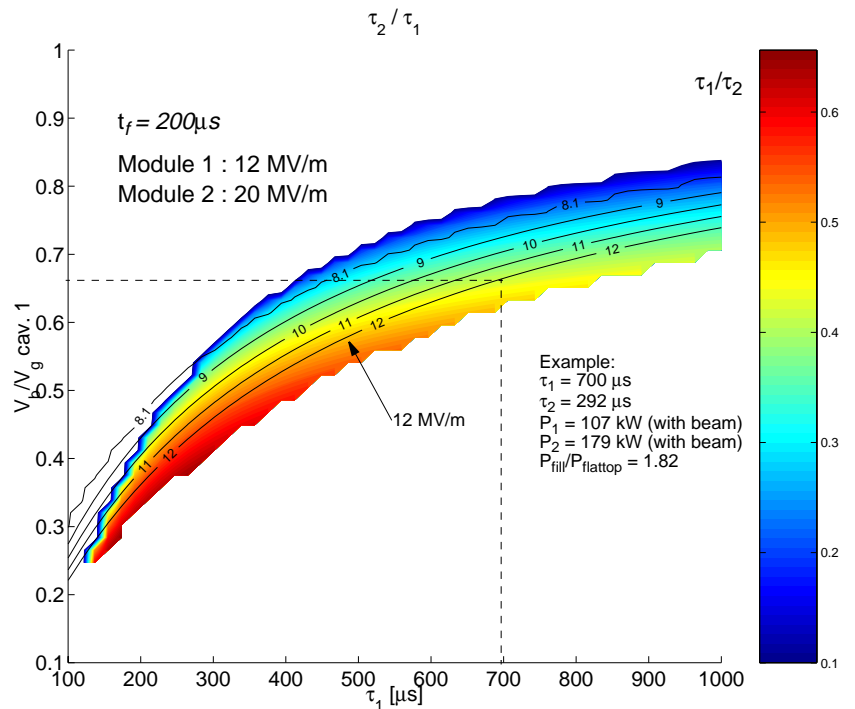
# Operation at Different Gradients



Operation at different gradients is only possible in narrow parameters range:

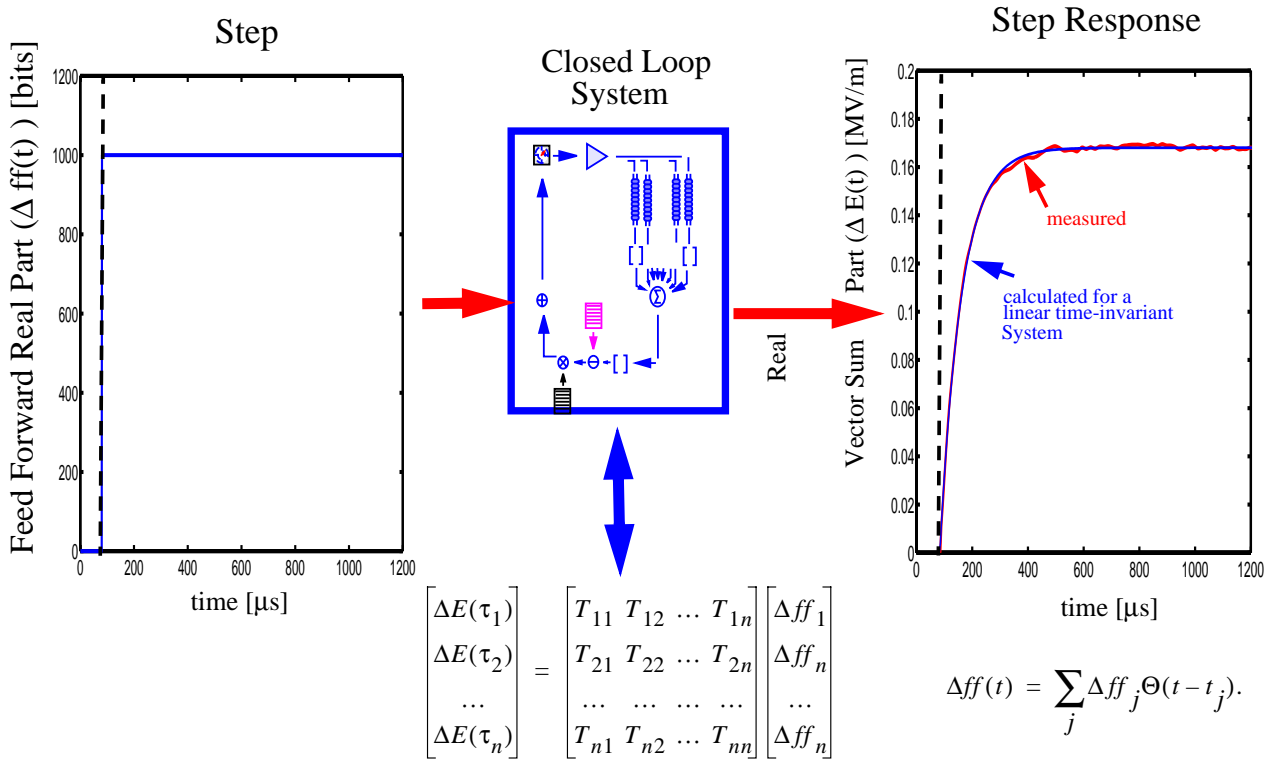
- gradient
- beam current

Deviation from this conditions leads to slopes on individual gradients.





# Adaptive Feedforward

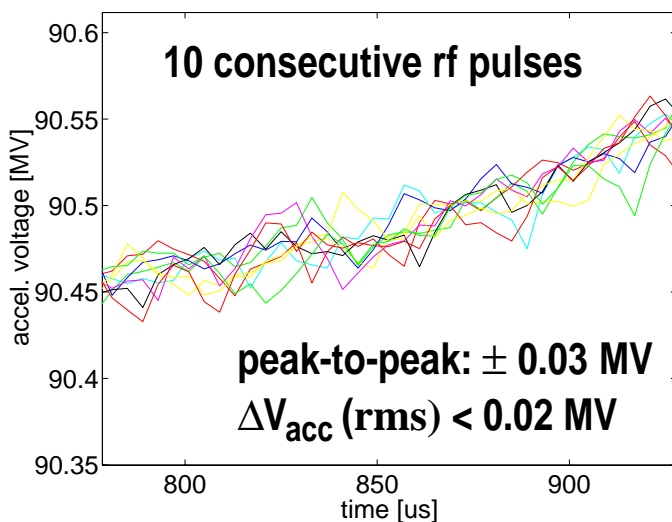


SEI Tagung 2004

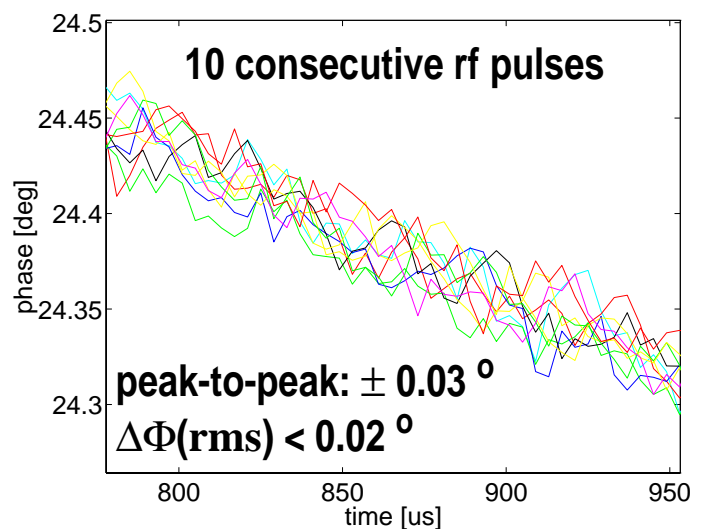
Stefan Simrock



## Reproducibility of Subsequent Pulses of Vector-Sum



**Gradient**



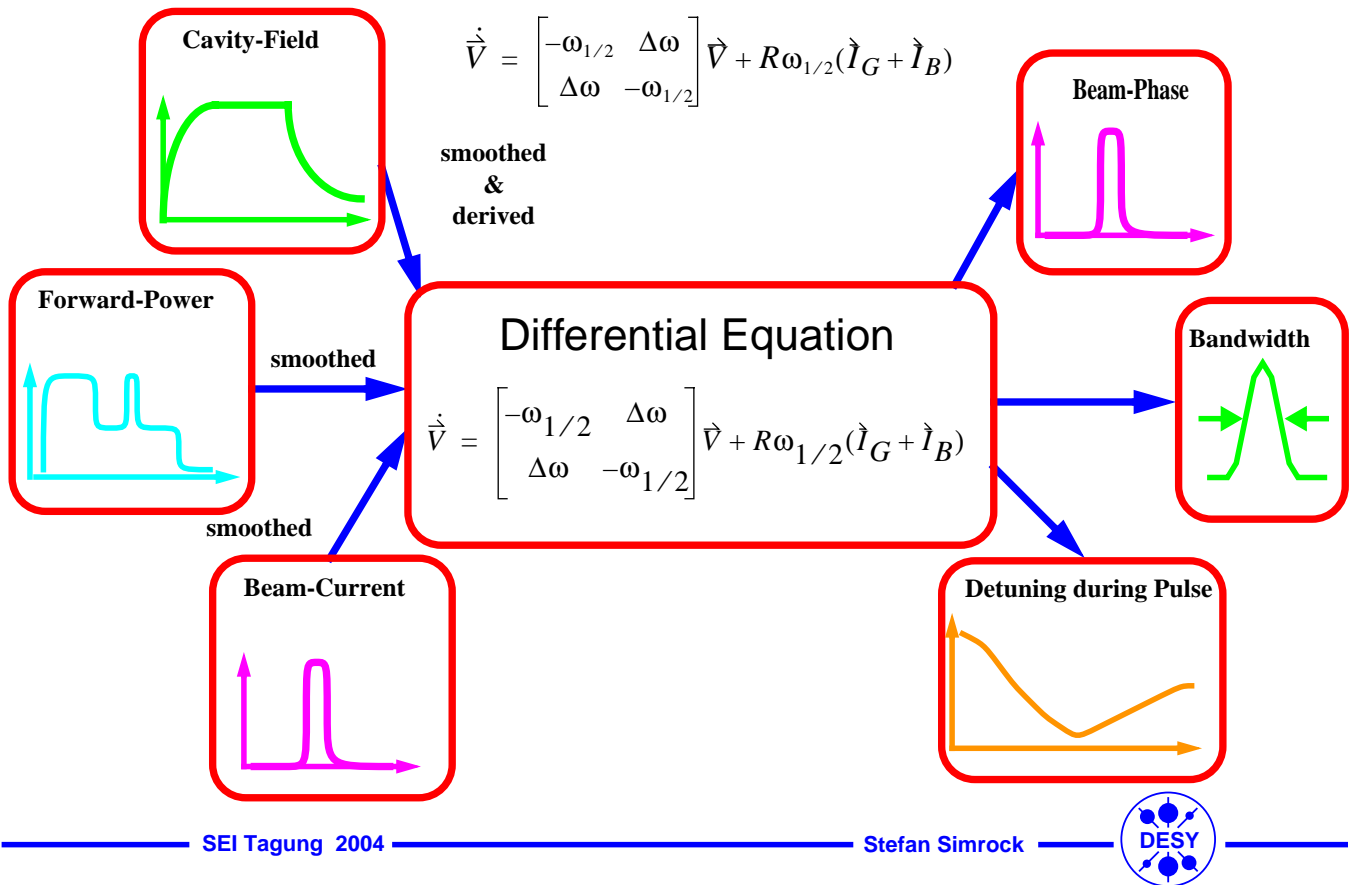
**Phase**

SEI Tagung 2004

Stefan Simrock



# System Identification (1)

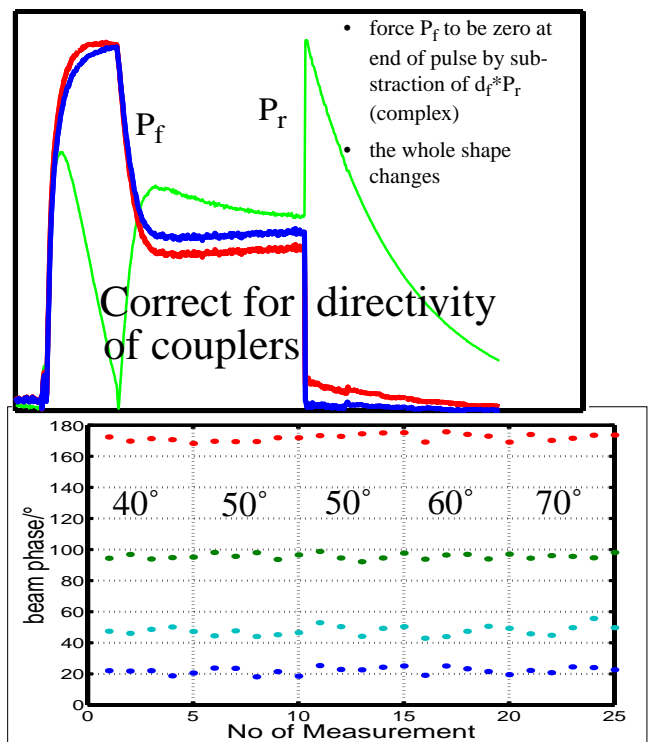
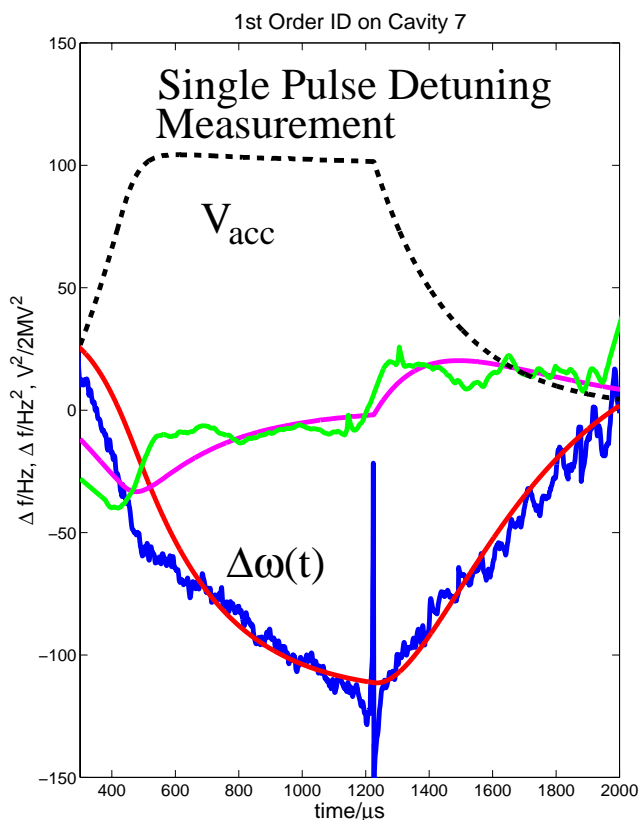


SEI Tagung 2004

Stefan Simrock



# System Identification (2)



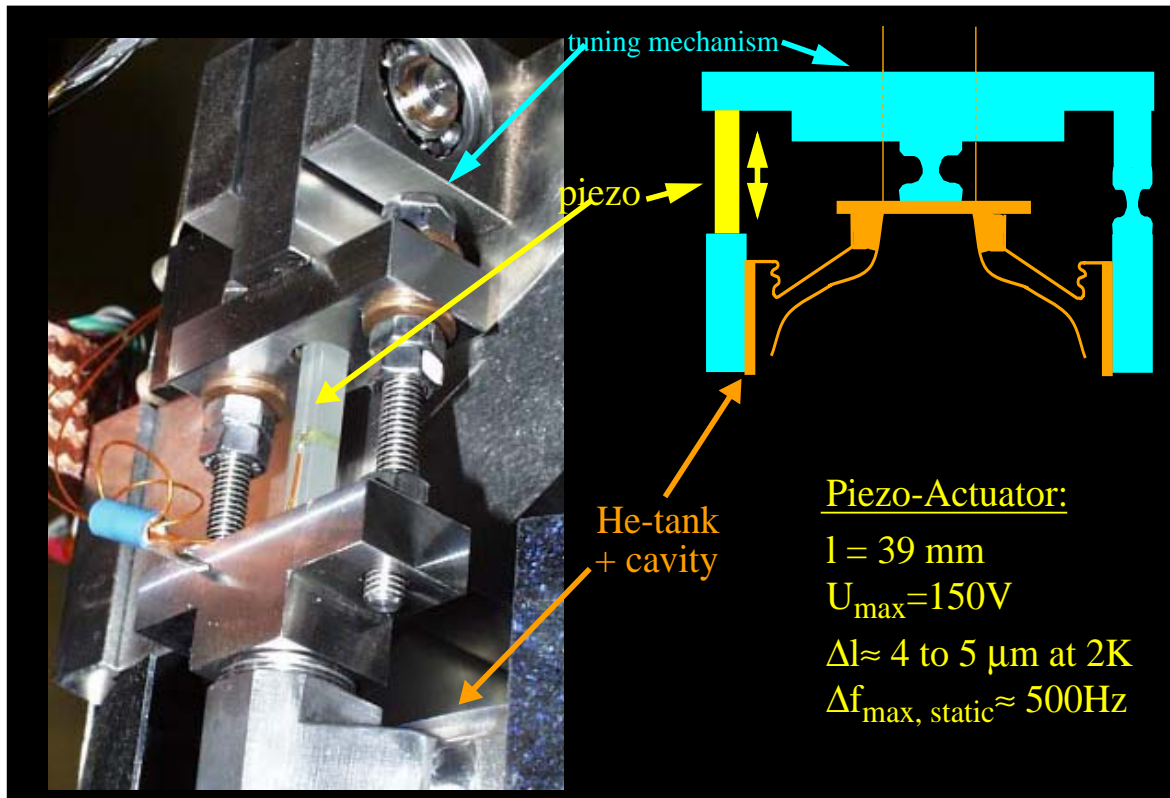
Beam phase of 4 cavities for different phase of  $V_{acc}$

JLAB, Nov. 2001

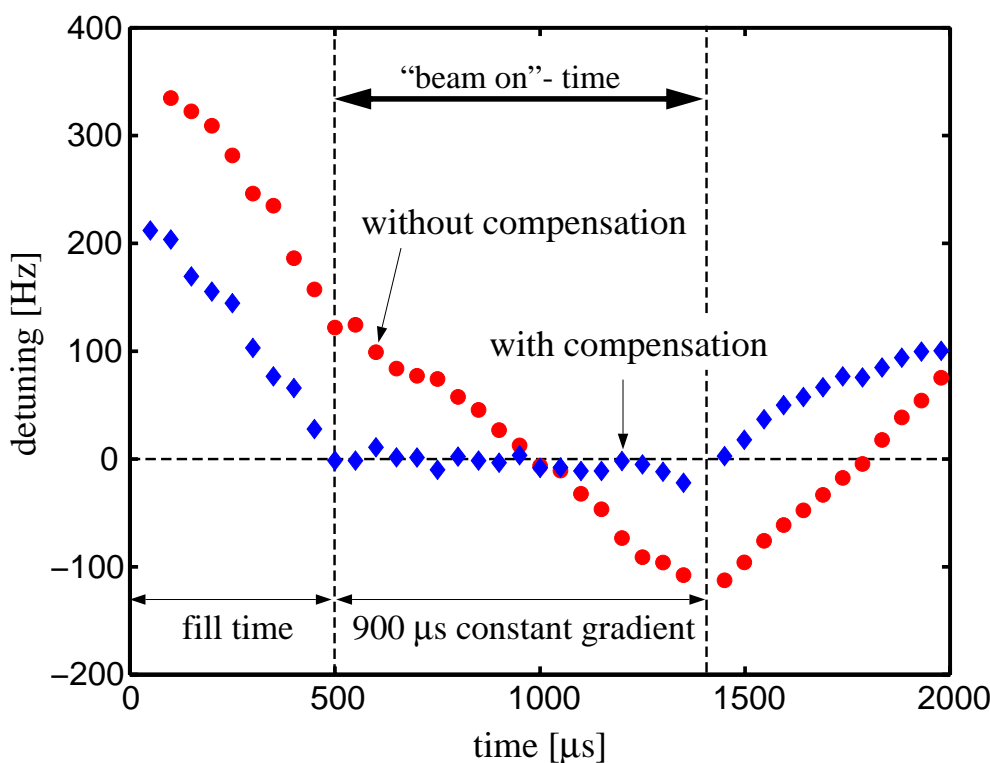
Stefan Simrock



# Active Compensation of Lorentz Force Detuning (1)



# Active Compensation of Lorentz Force Detuning (2)

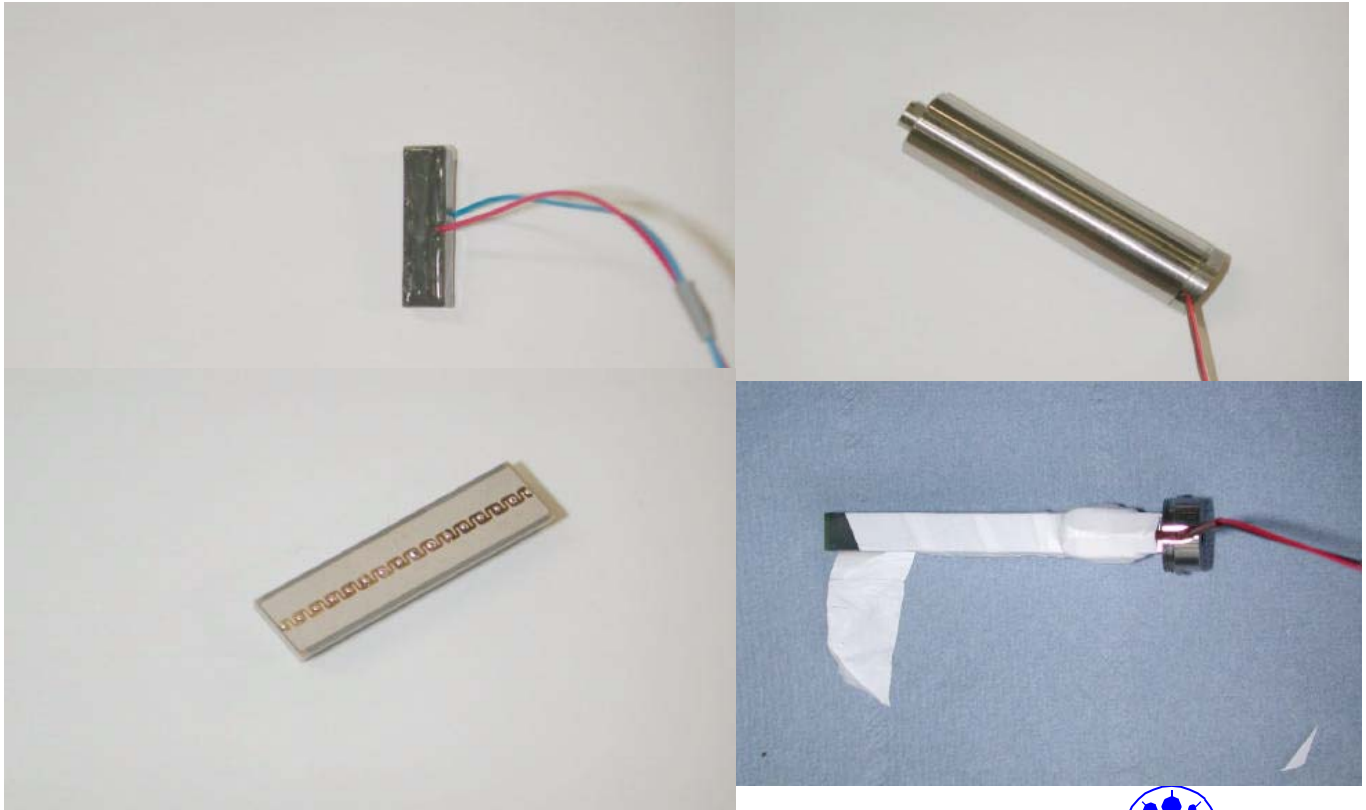


**9-cell cavity  
operated at  
23.5 MV/m**

**Lorentz force  
compensated  
with fast  
piezoelectric  
tuner**



# Actuators for Detuning Control Actuators

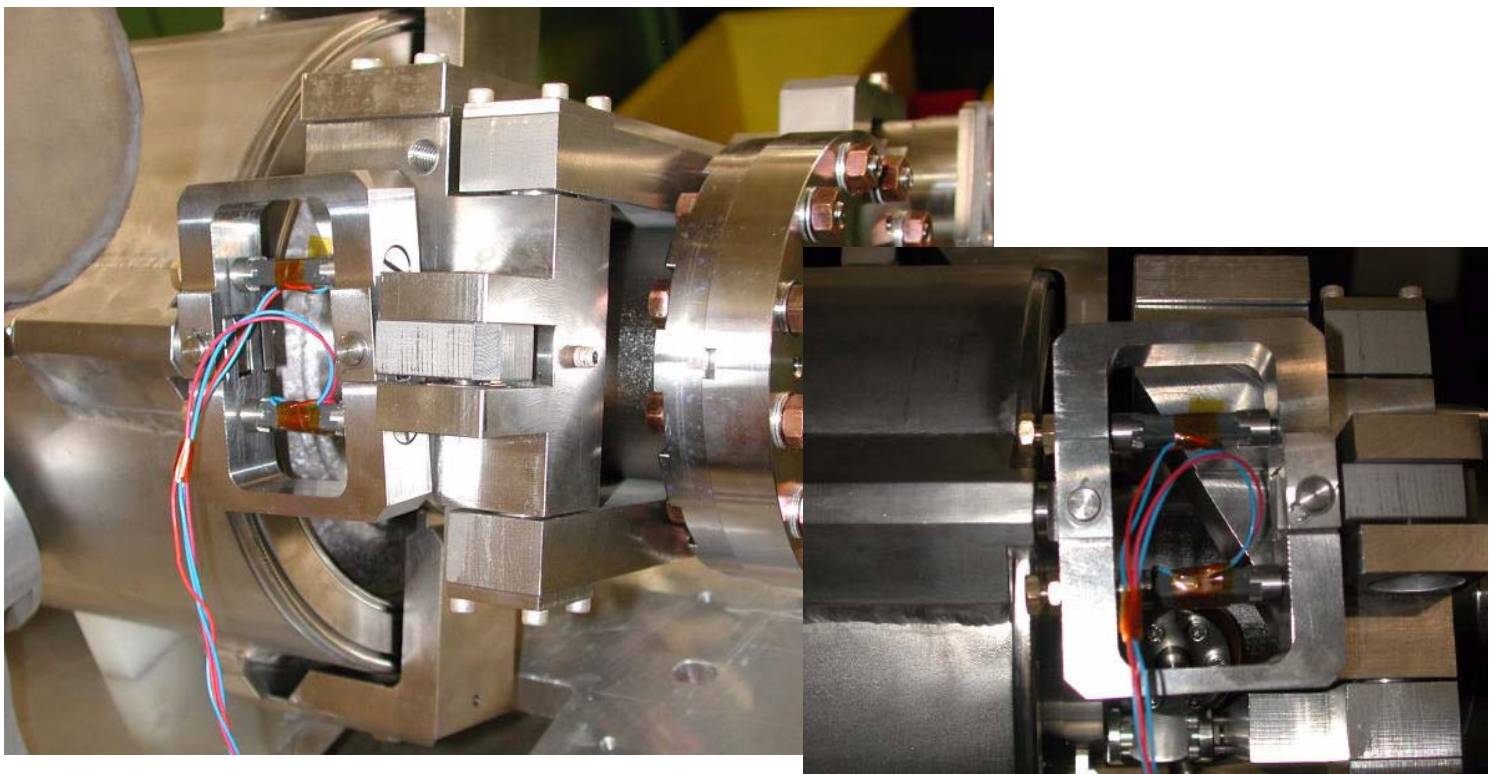


11th SRF Workshop, 2003

Stefan Simrock



# Integration of Piezo Tuner for TTF



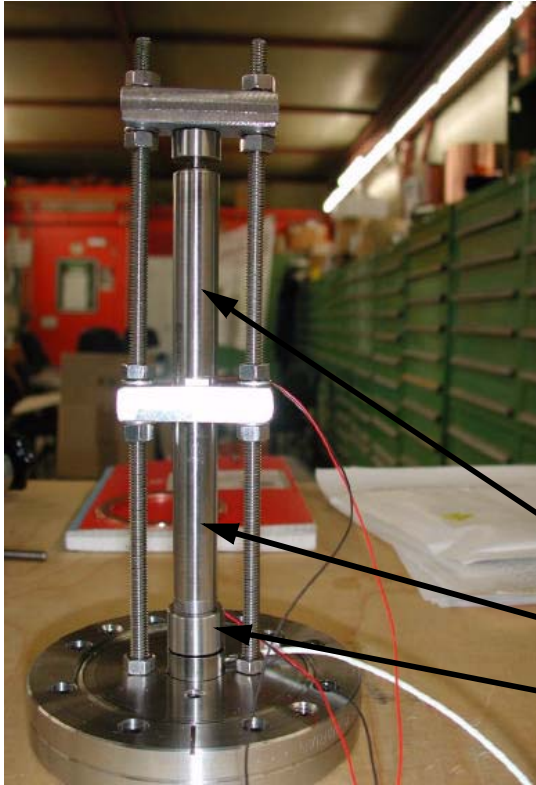
11th SRF Workshop, 2003

Stefan Simrock

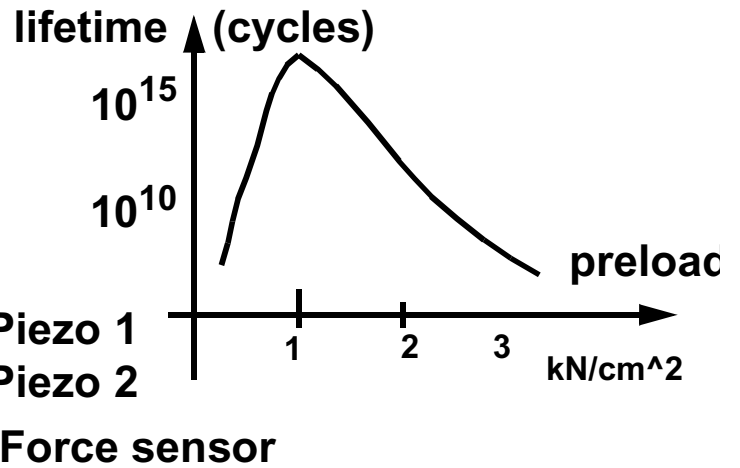




# Measurement of Mechanical Preload



Lifetime of piezo depends strongly on mechanical preload. Optimum around  $1 \text{ kN/cm}^2$ .



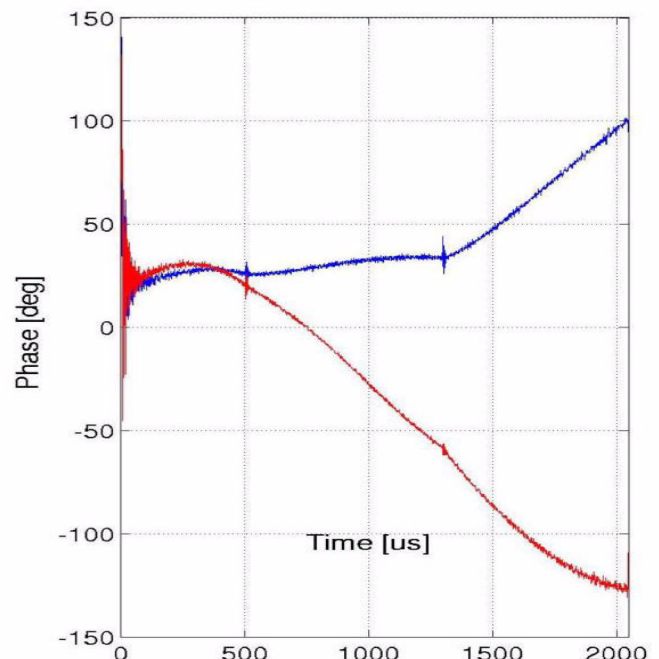
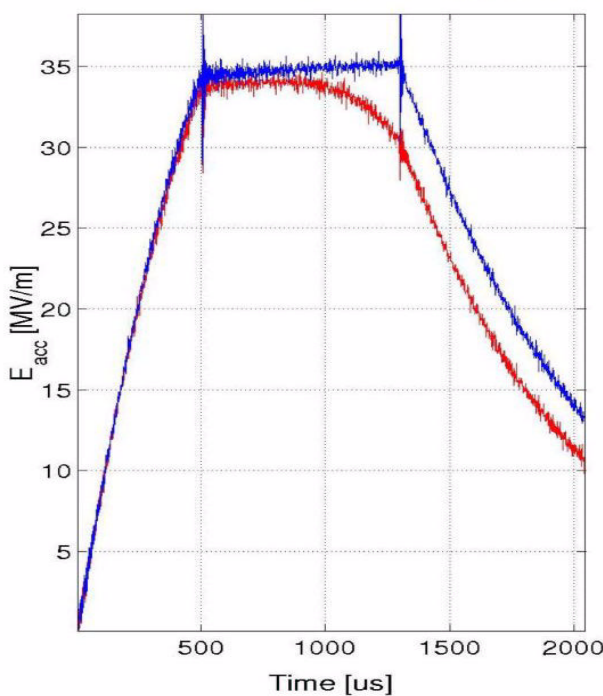
11th SRF Workshop, 2003

Stefan Simrock



# Control of Lorentz Force Detuning Control

RF signals at  $35 \text{ MV/m}$



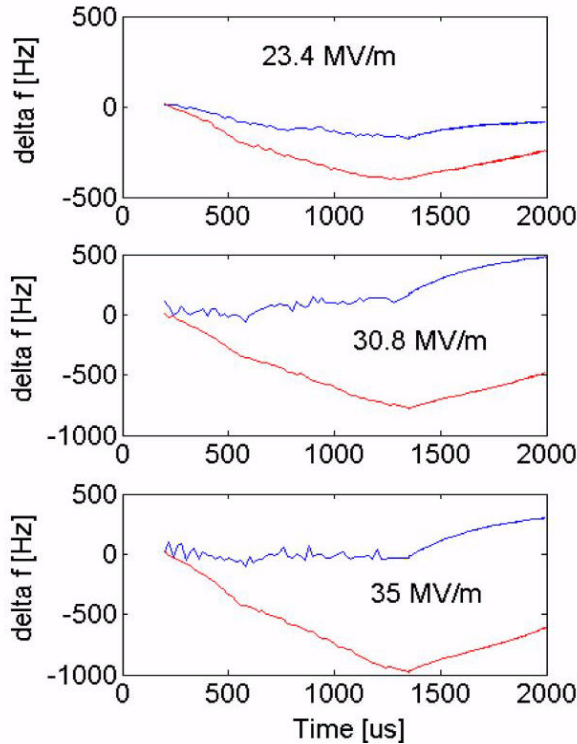
courtesy: L. Lilje, DESY

11th SRF Workshop, 2003

Stefan Simrock



# Control of Lorentz Force Detuning (TTF)



## Frequency stabilization at 35 MV/m

Blue: With piezo

Red: Without piezo

Frequency detuning of  $\sim 1000$  Hz compensated with resonant excitation of a mechanical cavity resonance at 230 Hz.

**NOTE:** This is rather an demonstration of the capability of active tuning. Application in a real machine is probably difficult/impossible.

courtesy: L. Lilje, DESY

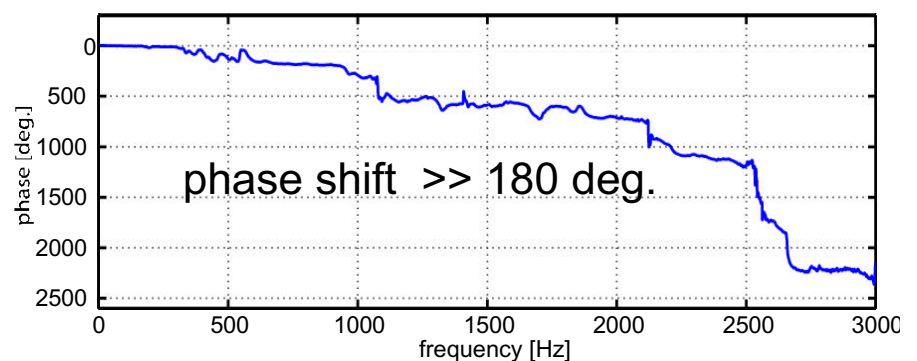
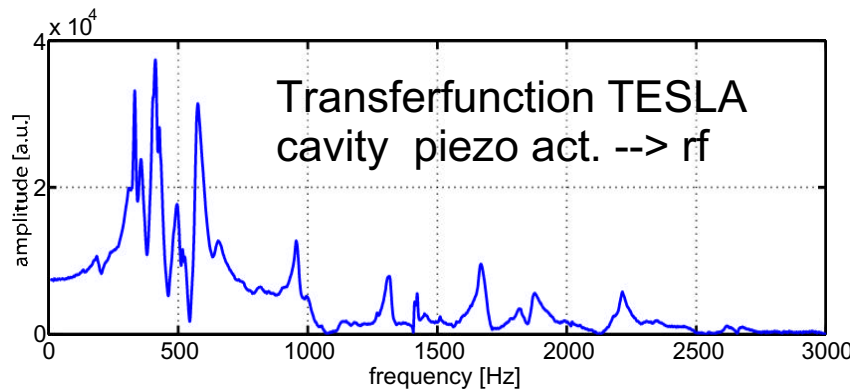
11th SRF Workshop, 2003

Stefan Simrock



# Microphonics Control Problem

- Feedback is required due to stochastic nature of microphonics
- Transfer function piezo actuator  $\rightarrow$  cavity detuning shows many mechanical resonances from cavity
- Stability of Feedback loop ?



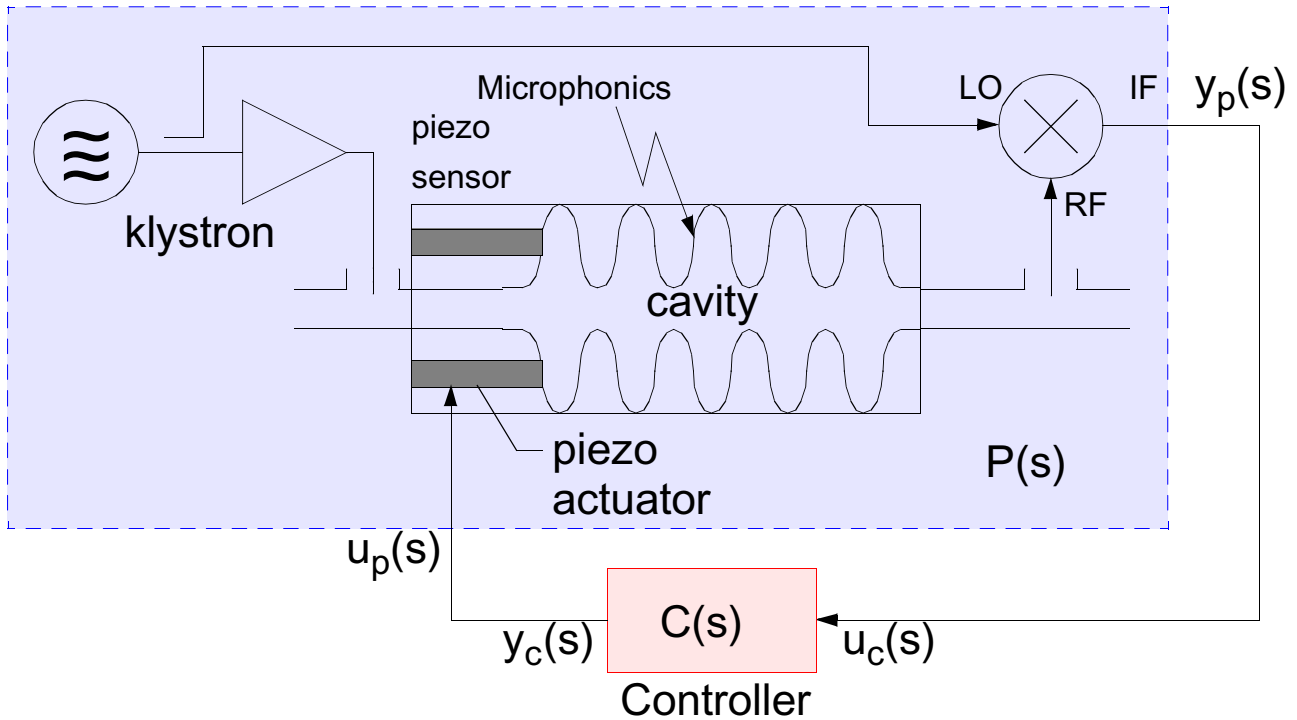
11th SRF Workshop, 2003

Stefan Simrock

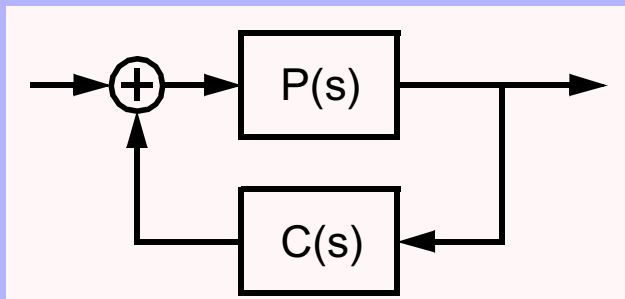




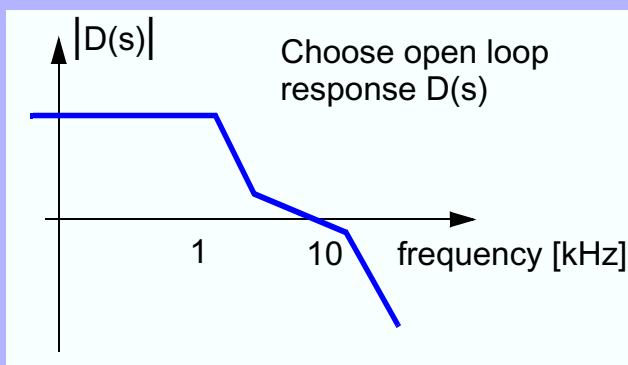
# Microphonics Control



## Controller Design



$$\Rightarrow C(s) = \frac{D(s)}{P(s)}$$



$D(s)$  : stability criteria fulfilled  
 high gain at low freq.  
 fast roll-off at high freq.

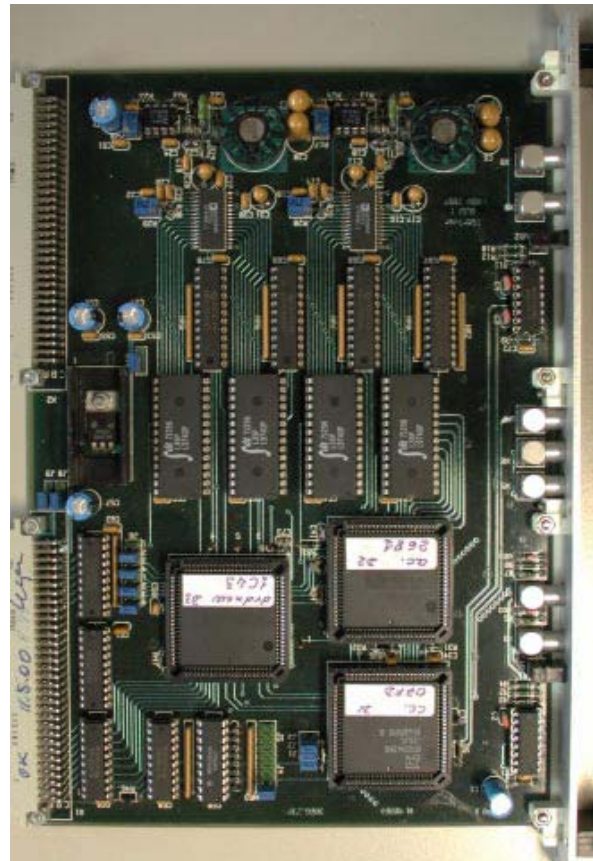


# LLRF Subsystems/Components susceptible to failure

- |  |  |
|--|--|
| <ul style="list-style-type: none"><li>o RF phase reference<ul style="list-style-type: none"><li>- from main driveline</li><li>- LO for downconverter</li></ul></li><li>o Timing System</li><li>o Vector modulator</li><li>o Downconverter</li><li>o Digital Control (Fdbck + FF)<ul style="list-style-type: none"><li>- ADC, DSP, DAC</li><li>- includes exception handling</li></ul></li><li>o Redundant simple feedforward</li><li>o Redundant monitoring system</li><li>o Transient detection</li><li>o Interfaces to other subsystems<ul style="list-style-type: none"><li>- includes interlocks</li></ul></li></ul> | <ul style="list-style-type: none"><li>o Waveguide tuner and controls</li><li>o Cavity resonance control<ul style="list-style-type: none"><li>- slow (motor) tuner</li><li>- fast (piezo) tuner</li></ul></li><li>o CPU in VME crate</li><li>o Network to local controls</li><li>o Cabels and connectors</li><li>o Power supply for electronics</li><li>o Airconditioning in racks</li><li>o Software<ul style="list-style-type: none"><li>- DSP (FPGA) code</li><li>- Server programs</li><li>- Client programs</li><li>- LLRF Parameters</li><li>- Finite State Machine</li></ul></li></ul> |
|--|--|



## DSP and ADC board LLRF for TTF I

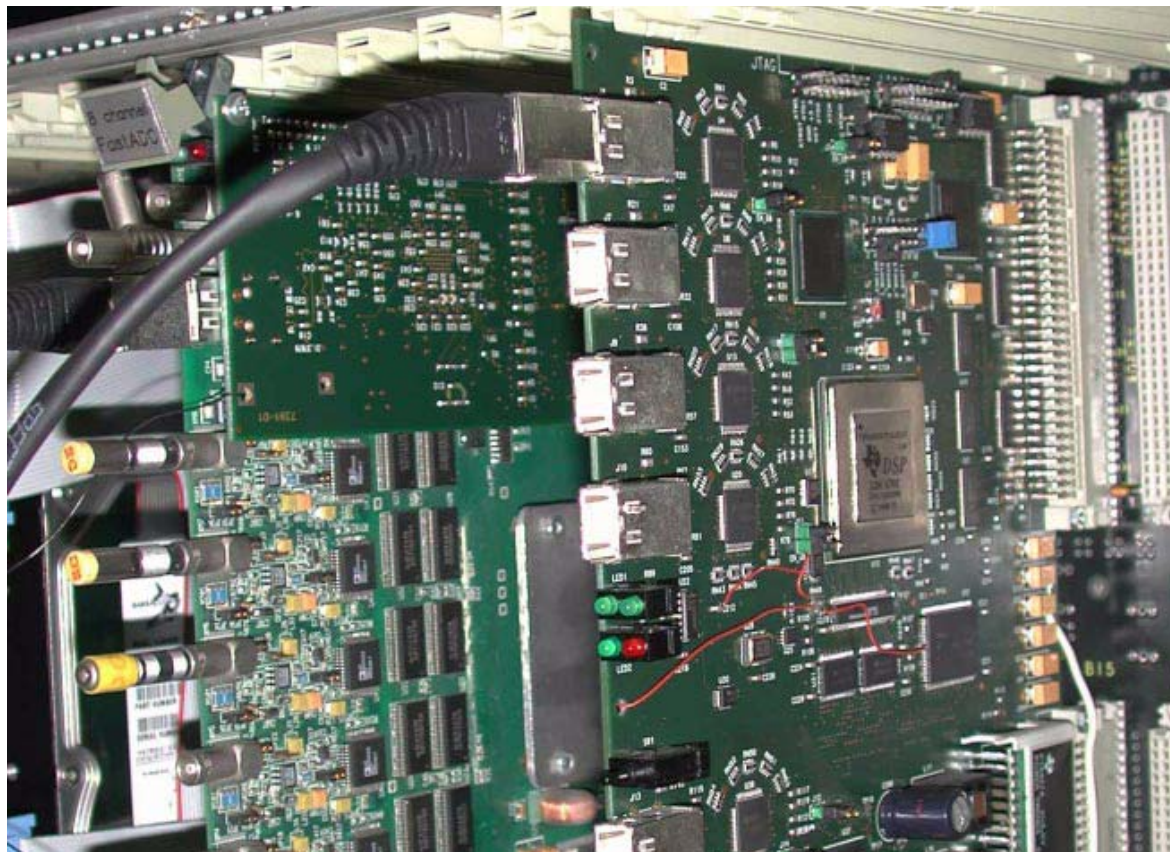




# C67 DSP board

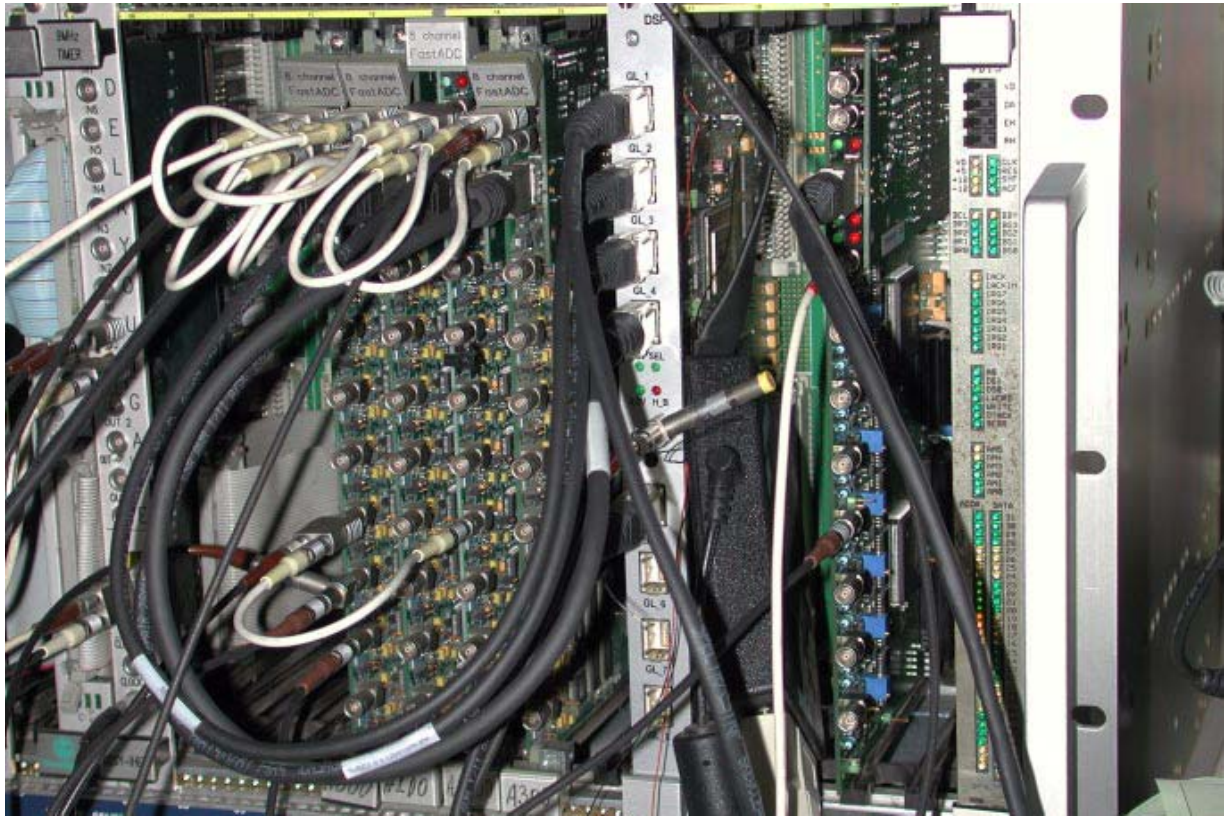


# C67 DSP board

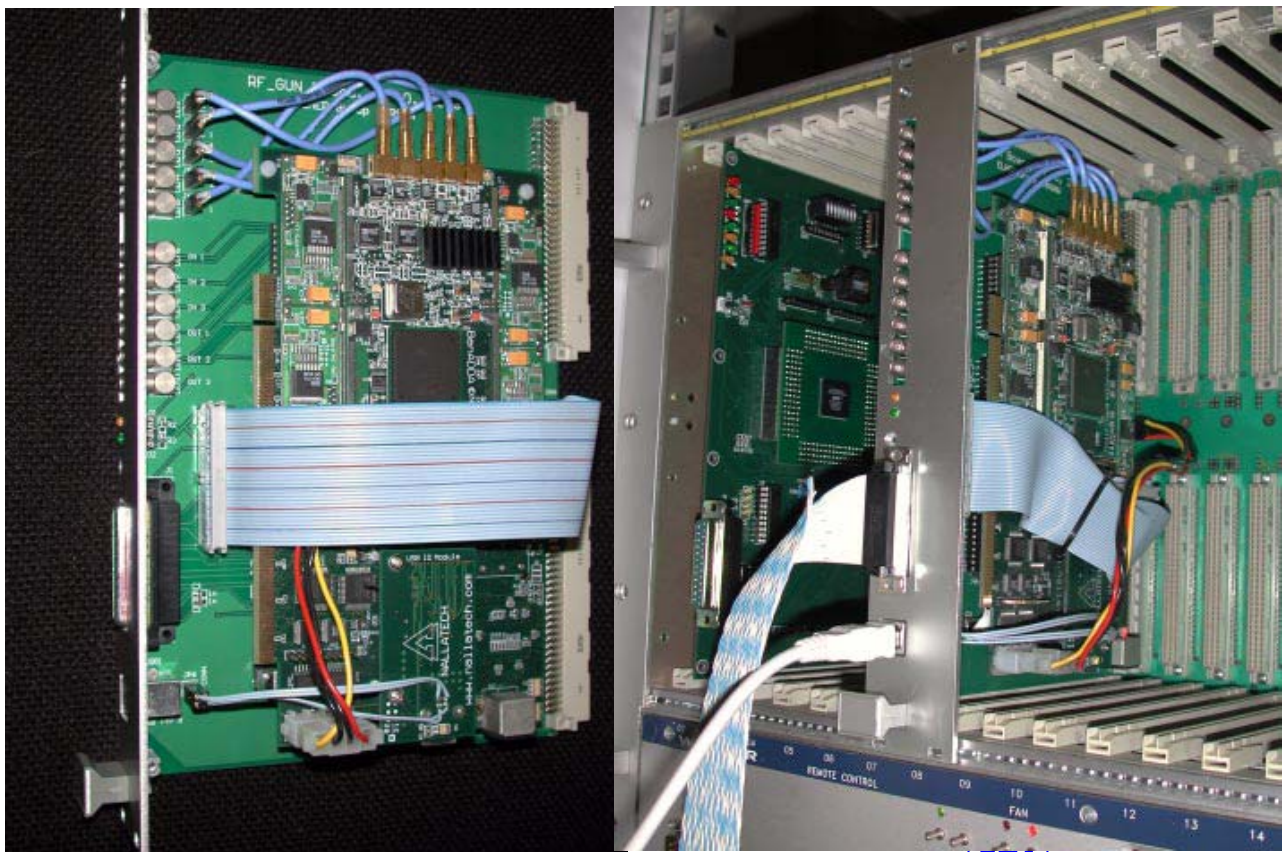




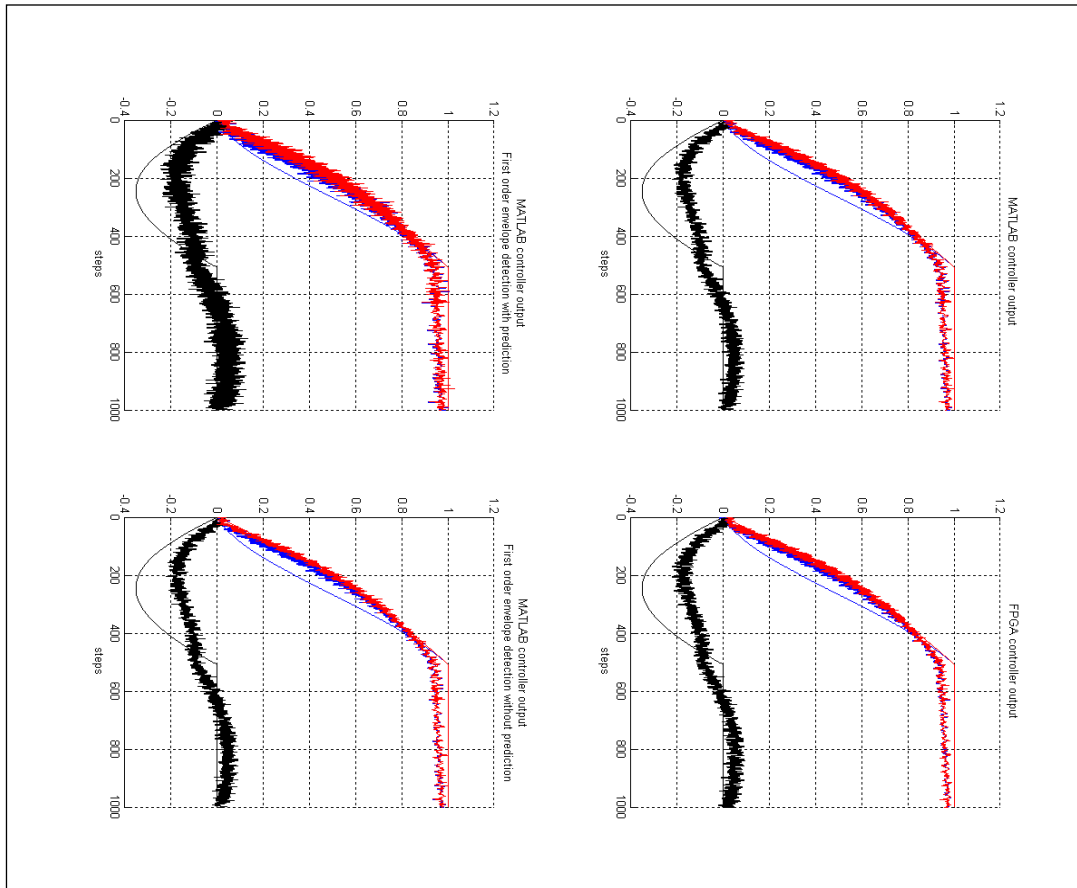
# C67 DSP board



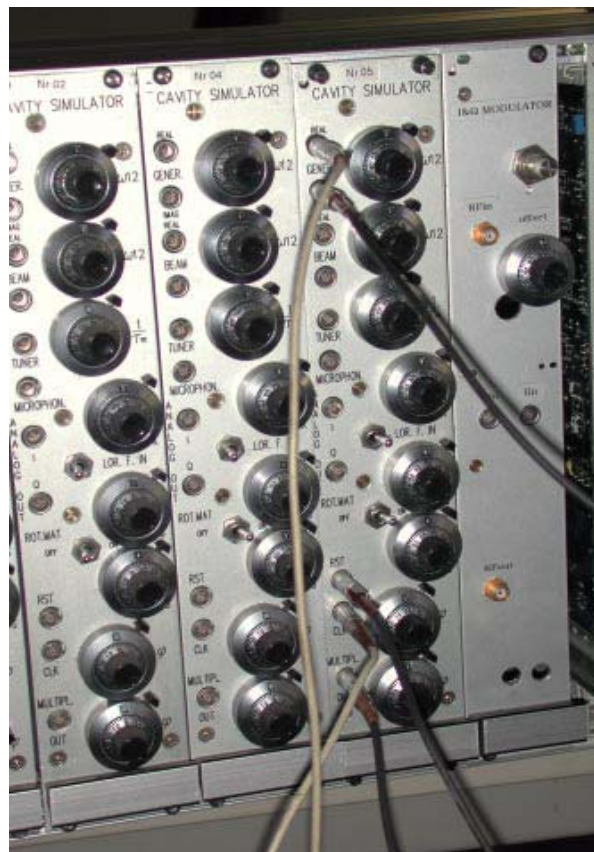
# FPGA based RF Gun Controller FPGA



Controller output for cavity real signal.  
 Amplitude – red, I-component – blue, Q-component – black.

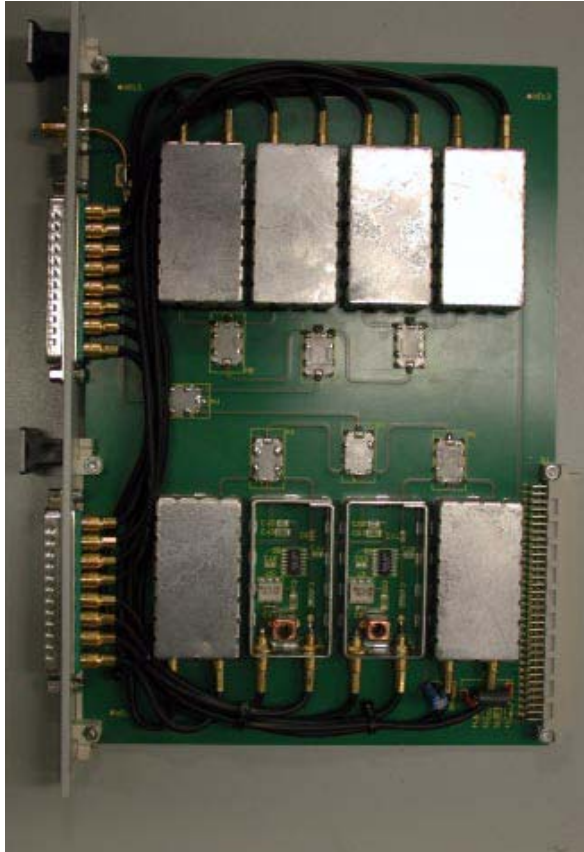


## Cavity Simulator

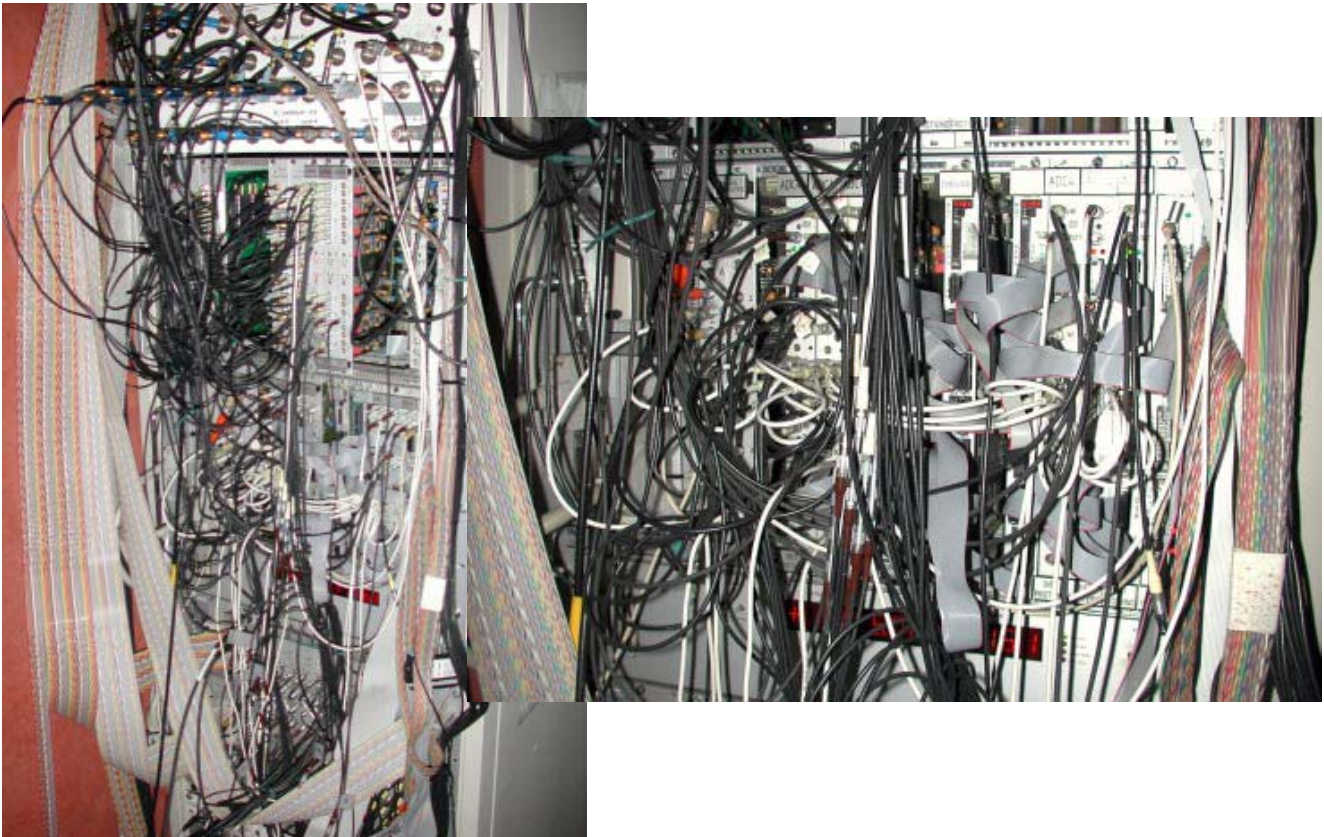




# Downconverter



# Rack Layout and Cabling for TTF I





## Installation Status of LLRF for ACC 2-6



SEI Tagung 2004

Stefan Simrock



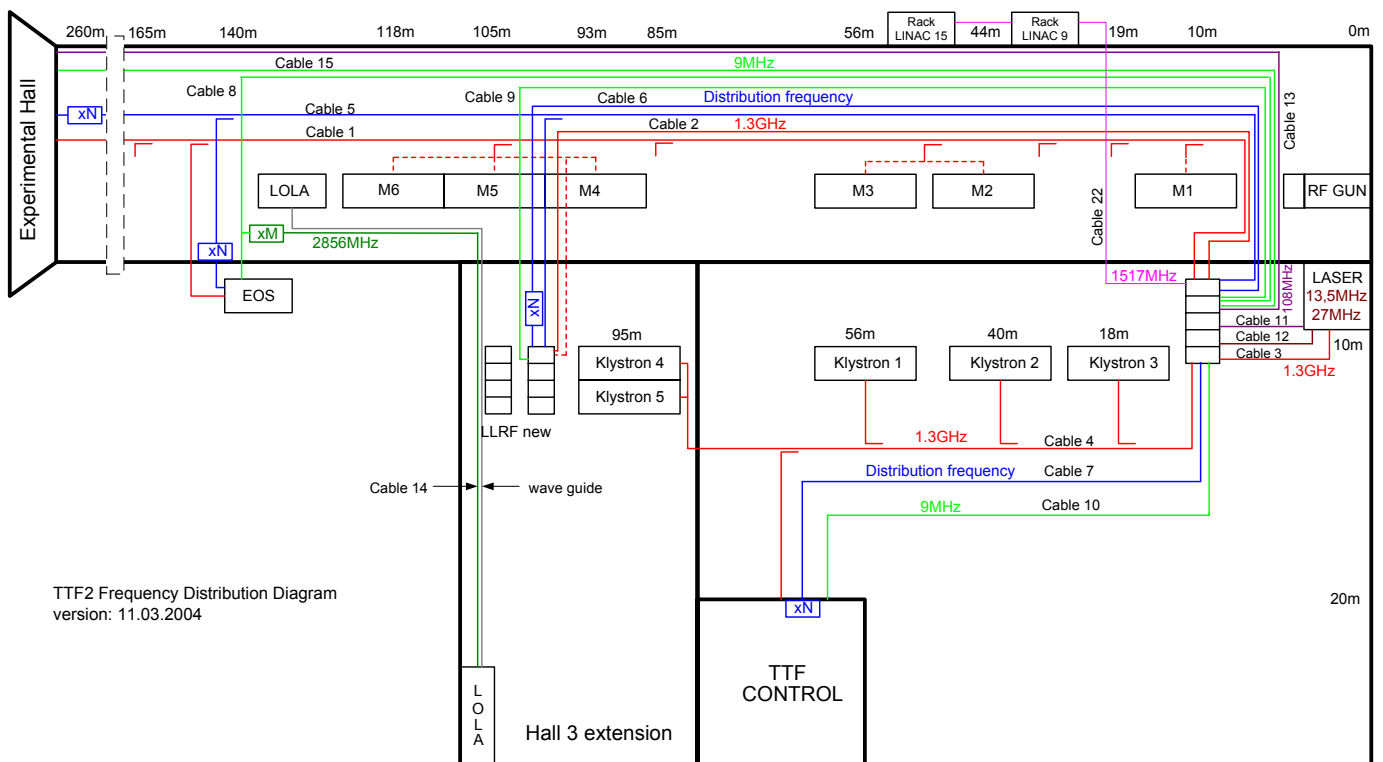
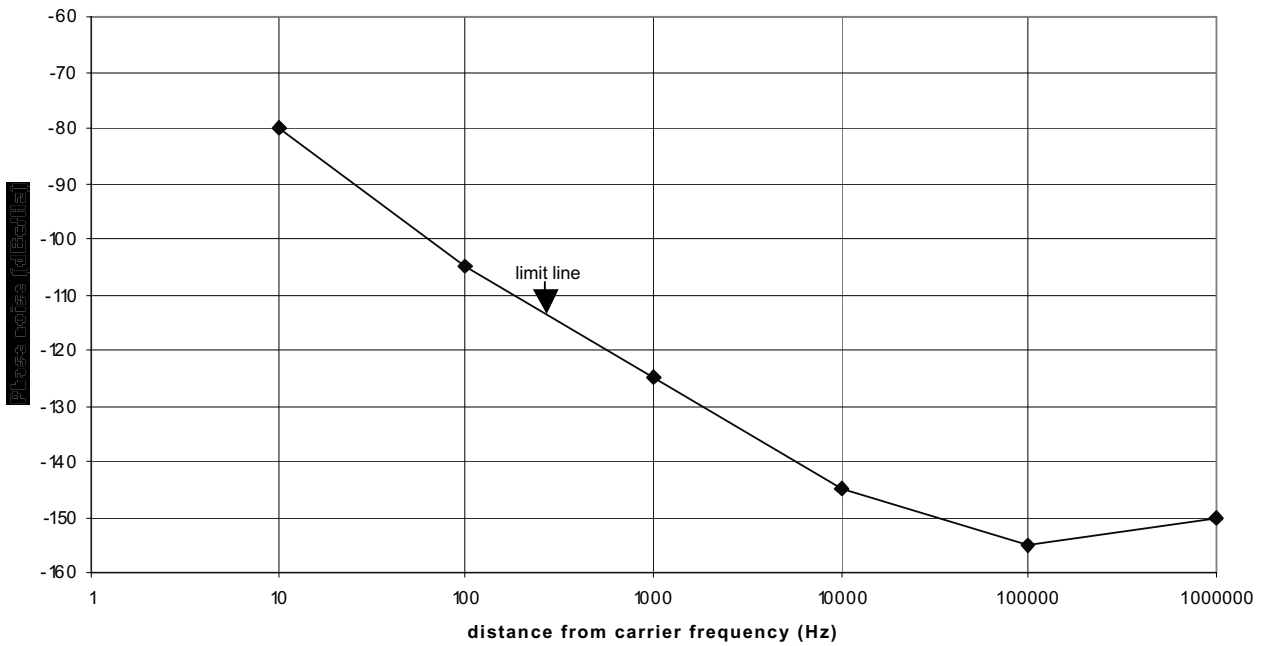
## Requirements for the M.O. for TTF2

- Required frequencies: 50Hz, 50Hz(TTL), 1MHz, 9MHz, 13.5MHz, 27MHz, 81MHz, 108MHz, 1.3GHz, 1.517GHz, 2.856GHz
- Required stability:
  - within macropulse (1ms): 0.1ps
  - integrated timing jitter ( $f=1\text{MHz}$ ): 1ps
  - long term: 1ps (minutes)
  - 2ps (hours)
  - 10ps

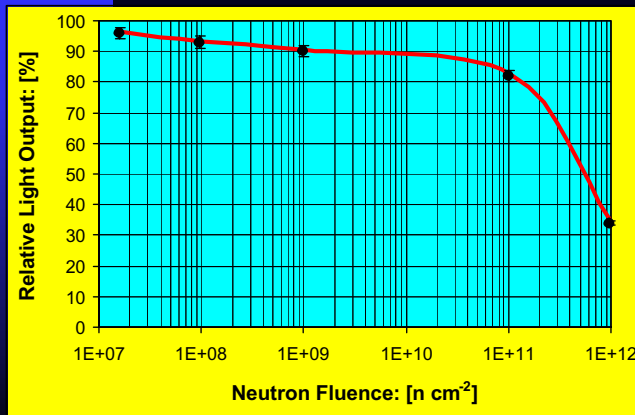
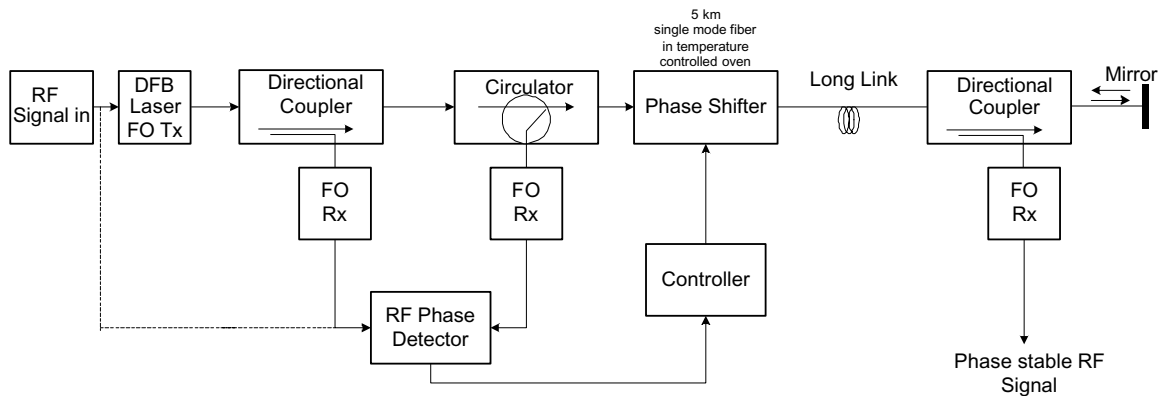
K.Czuba, B.Lorbeer, S.Simrock, H.Weddig

# Required Phase Noise Spectrum:

Phase noise limit line 1.3 GHz multiplier



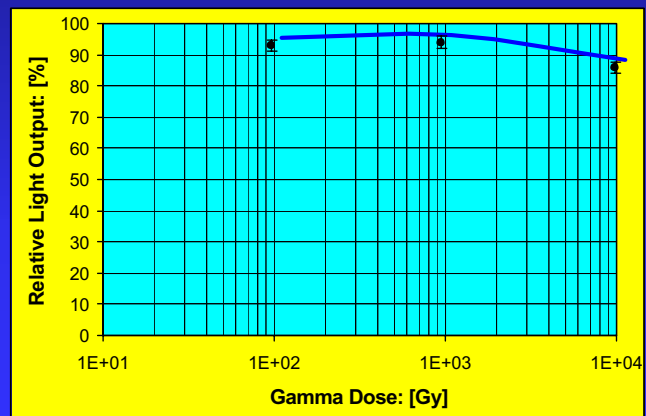
# Fiber-optic Distribution System



**Figure 1:**

Relative light output of the GaAs-LED shown as a function neutron fluence. The LEDs were irradiated with mono-energetic fast neutrons (ca. 60 MeV) at Harper Hospital Medical Cyclotron, Detroit, USA.

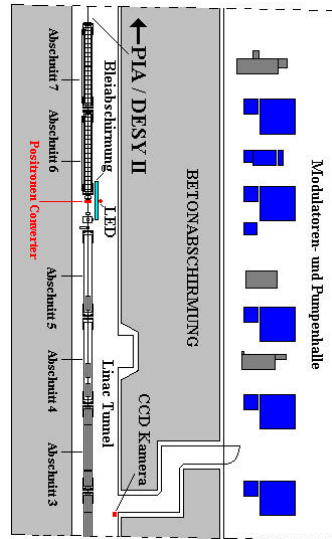
**Figure 2:**  
Relative light output of the GaAs-LED shown as a function of gamma dose. The LEDs were irradiated with (<sup>60</sup>Co) gamma rays at Hahn Meitner Institute Berlin.



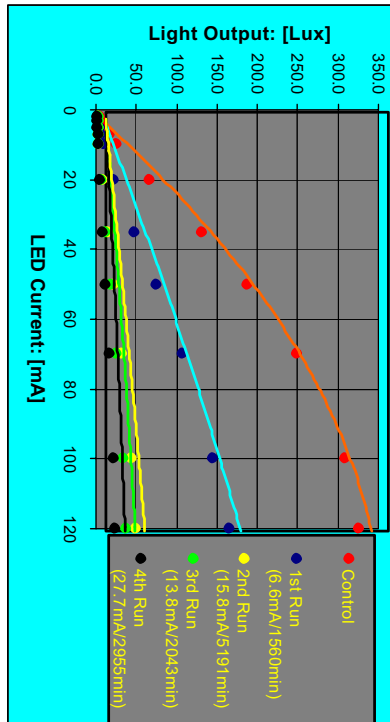
## A COST EFFECTIVE FAST NEUTRON DOSIMETER BASED ON DISPLACEMENT DAMAGE OF LED

*Bhaskar Mukherjee, Dominik Rybka and Stefan Simrock*

We have successfully tested the prototype of a **Fast Neutron Dosimeter** using the parasitic neutron field produced by the e<sup>+</sup> Converter (450 MeV electrons hitting a thick Tungsten plate) situated in the LINAC II Tunnel.



Results are summarized as follows:



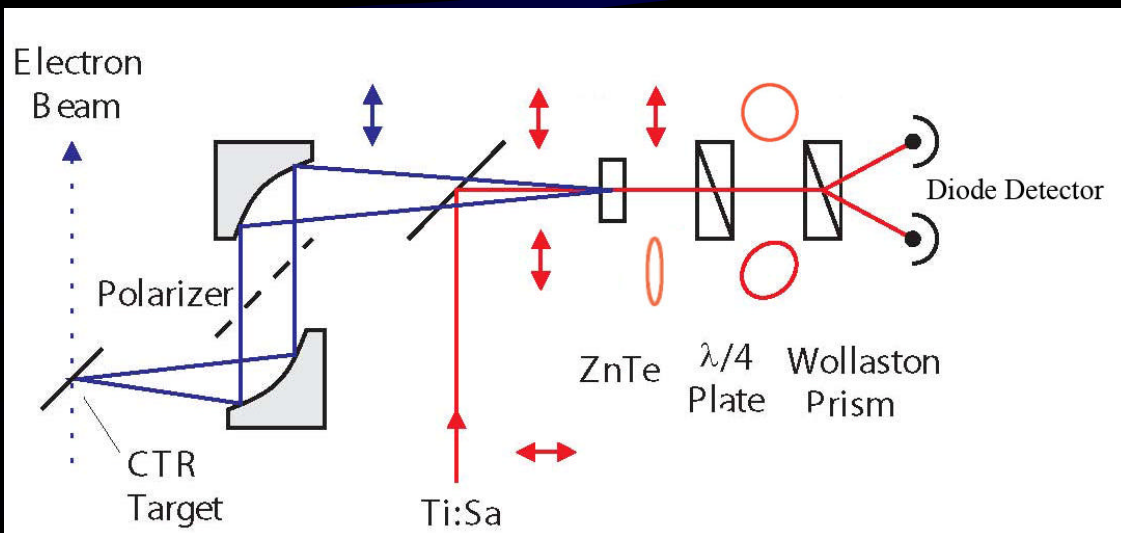
### Main Purpose:

- A reliable device for monitoring Neutron Equivalent Dose
- Assessment of Neutron / Charged particle induced damage in the electronic components of future High Energy Linacs (i.e. TTF2)
- Prediction of catastrophic failure of electronic devices located in the Linac radiation environment

### Immediate Action Plan:

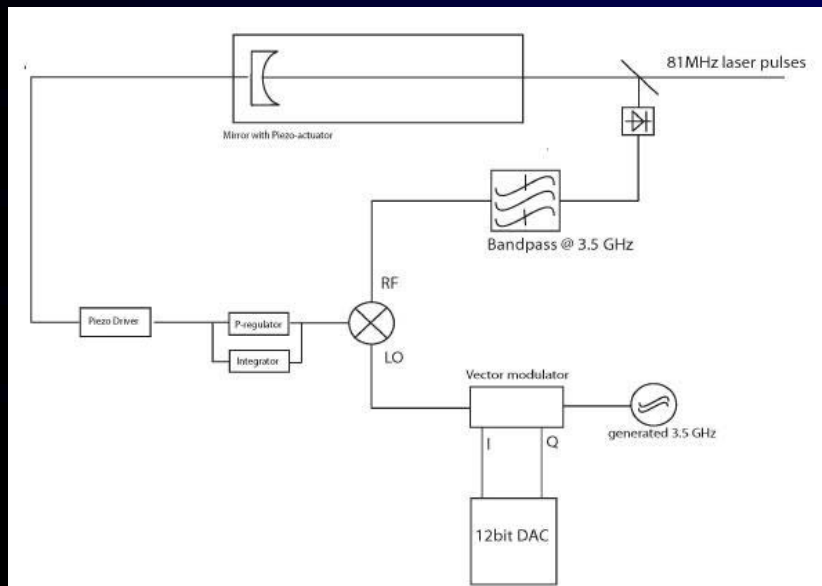
Calibration of the LEDs at CERN-EU Reference Field using HE Neutrons

## Polarization of Laser and CTR



- Laser and CTR are horizontally polarized
- laser polarisation is slightly elliptical after crystal
- elliptical part of laser polarisation is converted to an elliptical polarisation by quarter wave plate

# Synchronisation Scheme



phase-locked loop (PLL)

$$f_{\text{laser}} = 81 \text{ MHz}$$

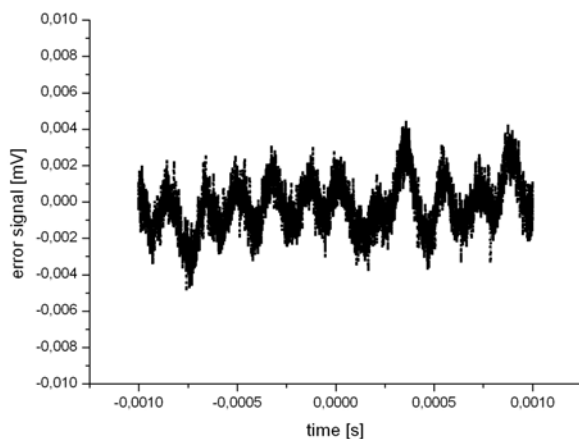
$$f_{\text{RF}} = 500 \text{ MHz}$$

$$f_{\text{dm}} = 3.5 \text{ GHz}$$

scanning done by phase shift of the 3.5GHz local oscillator (LO) with a vector modulator

# Synchronisation Accuracy

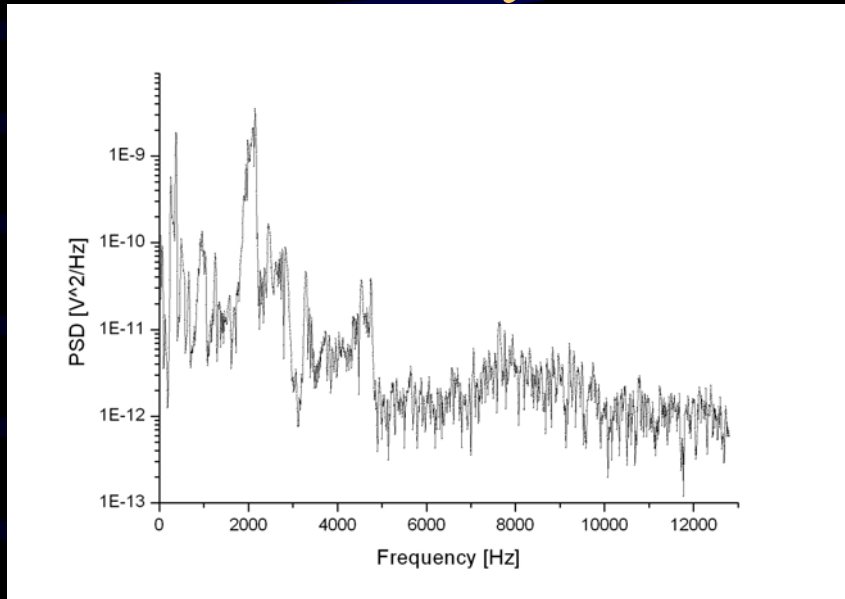
- open loop: 250mV rms for 45° phase shift that is 5.6mV per degree phase shift at 3.5 GHz 1°=793fs, so 1mV per 143fs jitter



measured rms value: 1.4 mV

accuracy of 200fs reached

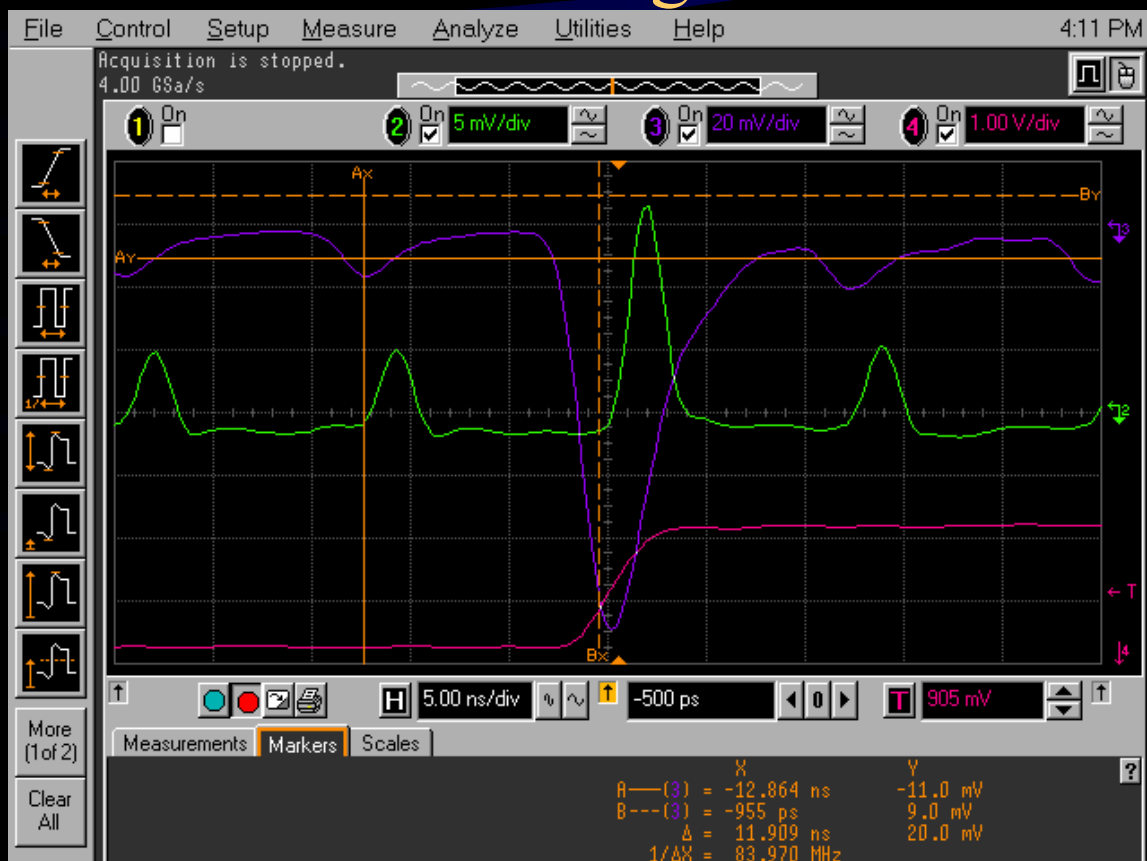
# Measurement of Synchronisation



spectrum shows dominant peaks at 300Hz; 2kHz and 5kHz (piezo resonance in laser)

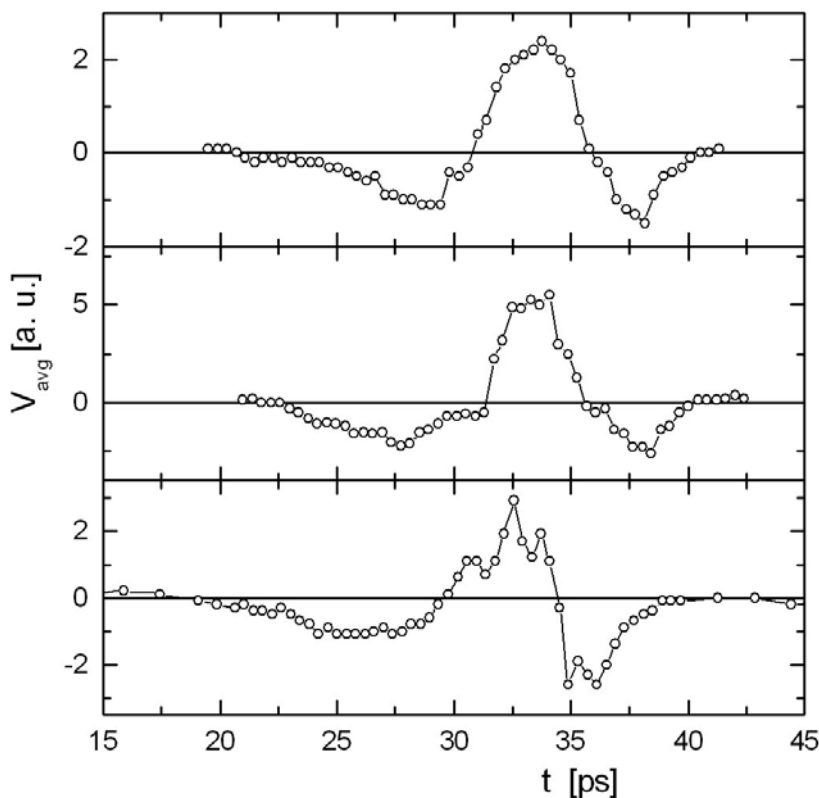
Integration yields jitter of 153 fs

# First Signal





# EOS scans for different linac settings



• preliminary data !

• scanning resolution: 396fs

• jitter through gun: 1ps

• improvements will be made during next shutdown

• measurements in good agreement with expected bunch length of ~6ps FWHM

## Conclusion

- **Superconducting linacs are the state-of-the-art technology** to generate high quality charged particle beams for a variety of applications such as X-Ray FELs and Linear Colliders
- The performance of the rf system is critical to produce high quality beam. **Control Issues** are **beam loading, microphonics and Lorentz force detuning**
- RF Control can be accomplished with **high speed digital signal processing** including DSPs and FPGAs
- Large scale accelerator benefit from a **high level of automation** and implementation of sophisticated procedures, and algorithms.
- Much more future work needs to be done to explore all of the potential of this technology to fulfill the requirements with respect to **operability, reliability, maintainability**, and technical performance

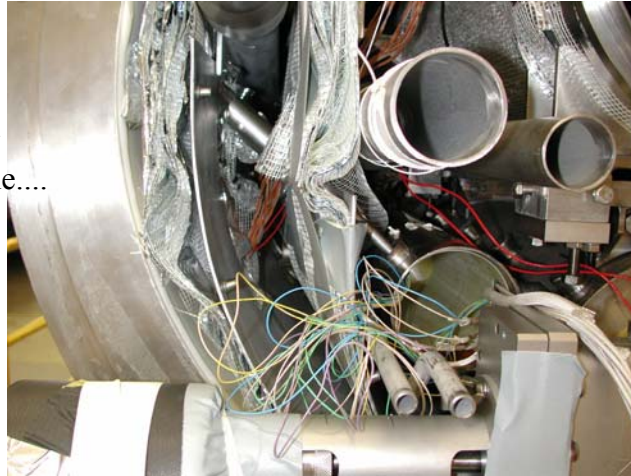


# Temperaturmessung unter 5 K

Bernd Schoeneburg DESY MKS-2

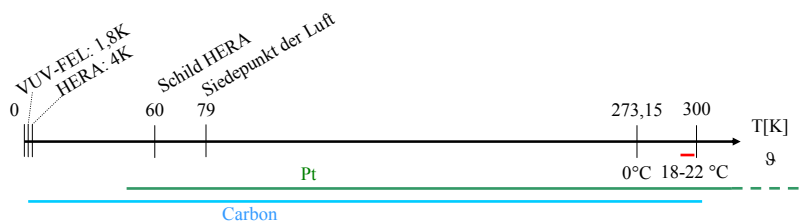


Vom Sensor  
zur Leitebene....



1

## Messung tiefer Temperaturen mit hoher Genauigkeit



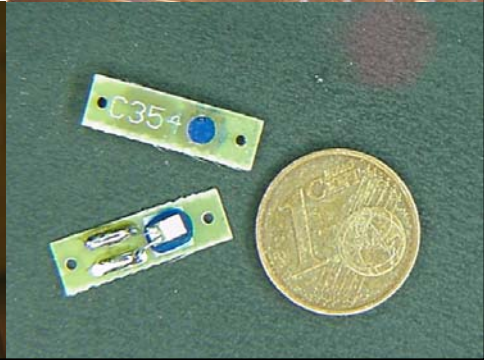
Welche Sensoren können verwendet werden?

- Thermocouple → Referenz nötig, Genauigkeit sinkt mit fallender Temperatur
- Resonatoren → Magnetfeldabhängigkeit? Kabelkapazität?
- Platinsensoren → Sättigungseffekt bei kleinen Temperaturen
- Dioden → Hohe Auflösung, Unipolare Messung, HF-Gleichrichtung
- Carbonsensoren → Hohe Auflösung bei kleinem T, geringe Auflösung bei hohem T

2

# Cernox

- Individuelle Kalibrierung
  - +/- 5 mK @ T < 10 K
  - +/- 140 mK @ T = 300 K



## Temperatur-Mess-Elektronik

### Anforderungen

- Hohe **Genauigkeit**
- Hohe Stabilität im **Umgebungstemperaturbereich**
- Auflösung angepasst an Carbonsensoren
- Sehr geringe **Sensoraufheizung**
- Immunität gegenüber **HF-Störungen**
- **CAN-Bus** Auslese
- **Konfigurierbare** Parameter
- Geringe **Kosten** je Kanal
- **Lange Kabel** zum Sensor (>100 m) möglich
- Eingebaute **Diagnosemöglichkeiten**
- **Absicherung gegen Sensorzerstörung** bei Fehlfunktion

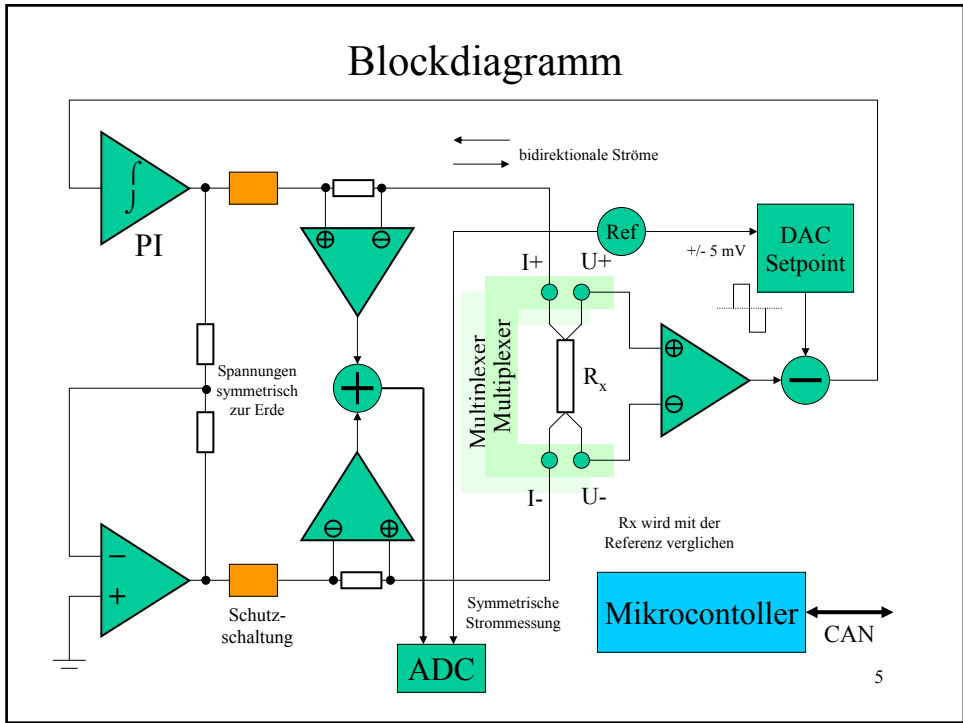
### Lösung

- Rauscharme Verstärker und Präzisions-Referenz-Widerstand (→ ratiometrische Messung)
- Erdsymmetrischer Aufbau
- Strommessung bei konstanter Sensorspannung
- Kurze Messzeiten um ein Aufheizen zu verhindern
- Wechselnde Polaritäten um unipolare Offsets zu eliminieren
- Algorithmus um Ladungsinjektion zu kompensieren
- HF-Filter
- Mikroprozessor mit eingebautem CAN-Controller
- 32 Eingangskanäle multiplexed in 4-Draht
- Extra Hardware für Sensor-Diagnose
- Sicherheits-Schaltung um den Sensor zu schützen falls der PI-Regler ausfällt

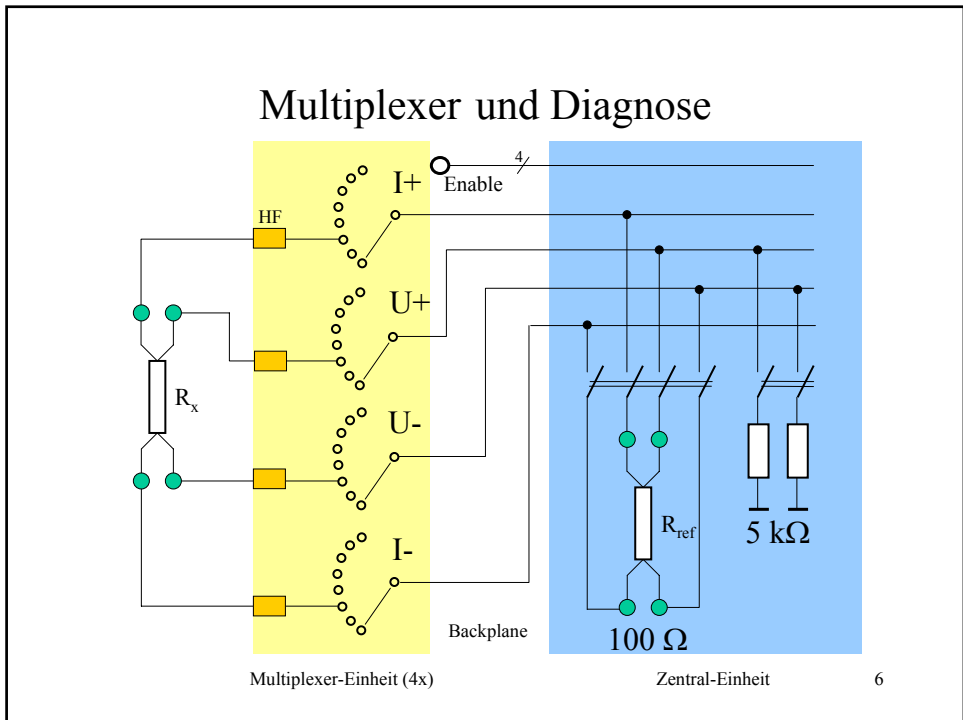
„fertig“

4

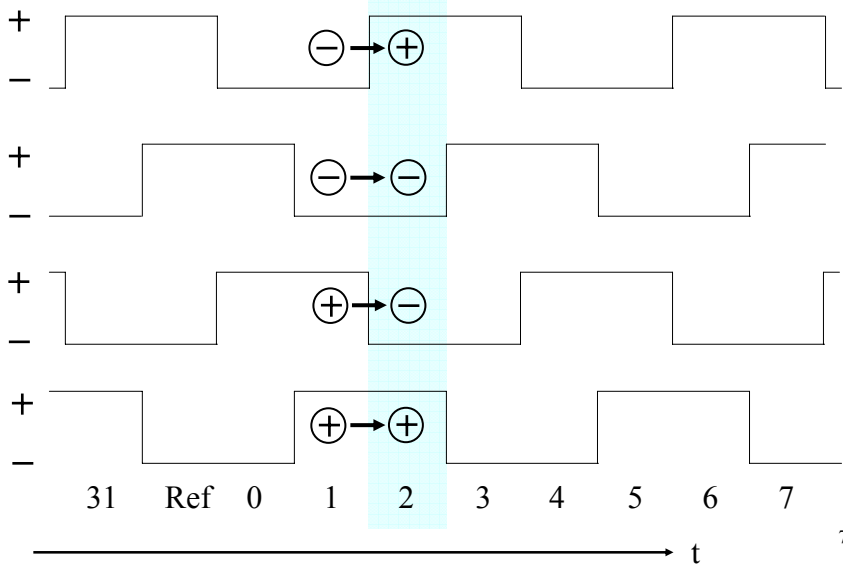
# Blockdiagramm



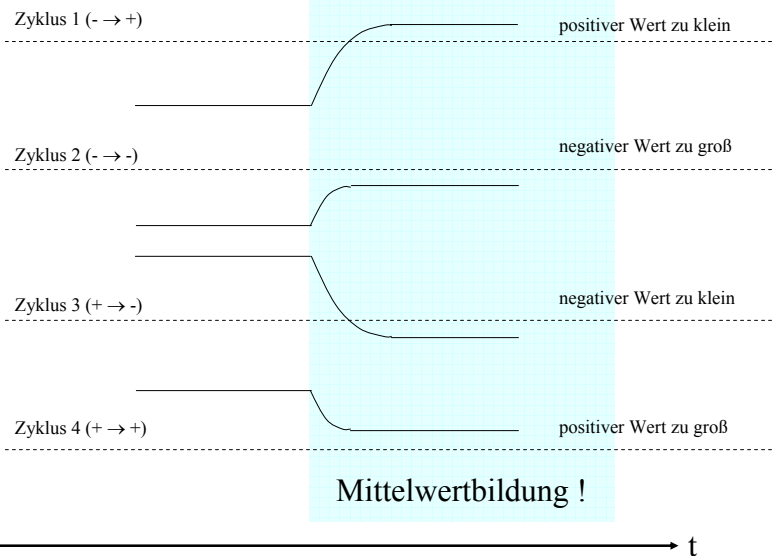
# Multiplexer und Diagnose

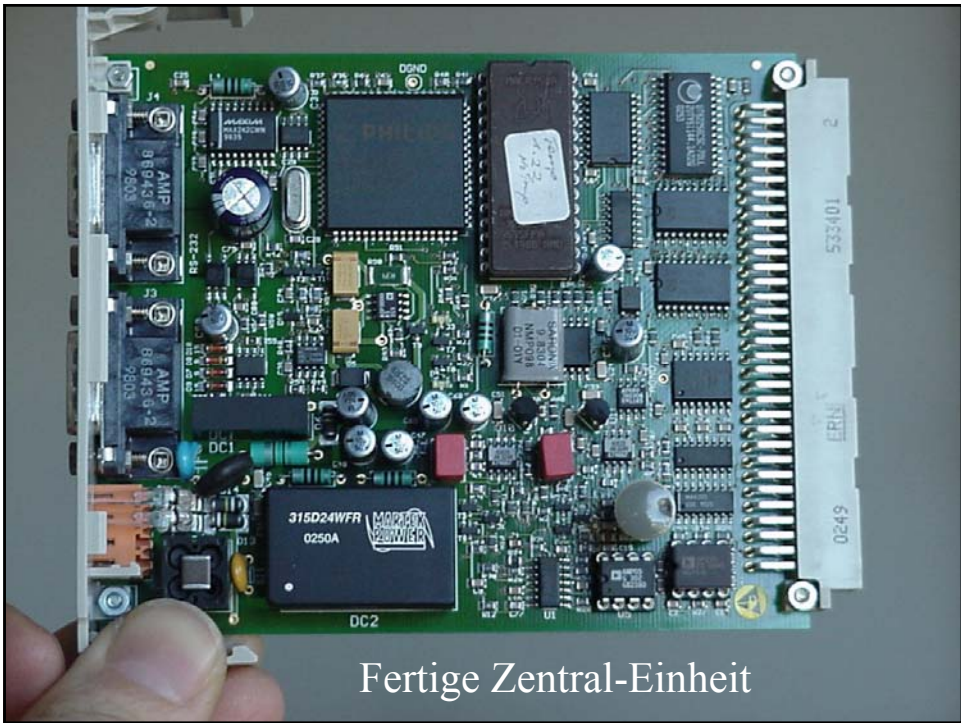


## Ausleseverfahren: Zeitlicher Ablauf

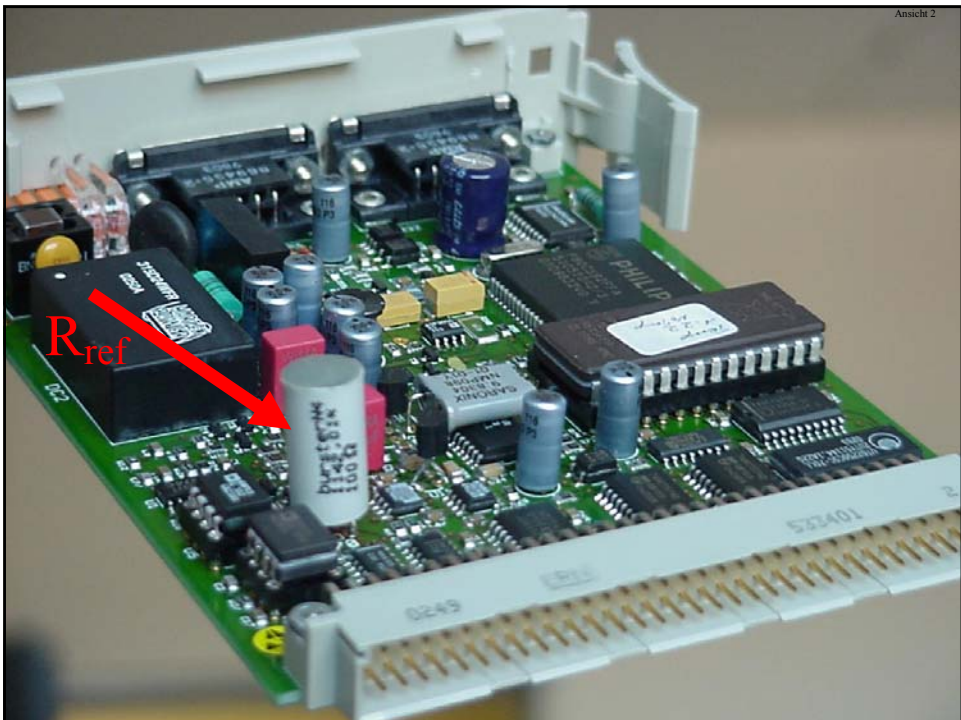


## Ausleseverfahren: Spannungsverlauf

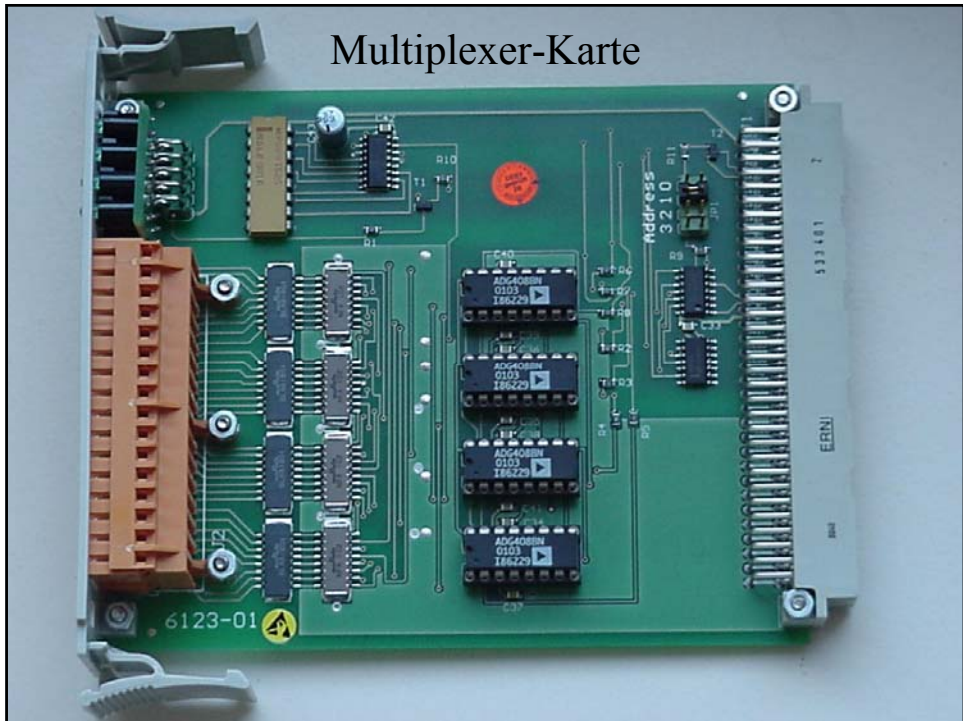




Fertige Zentral-Einheit



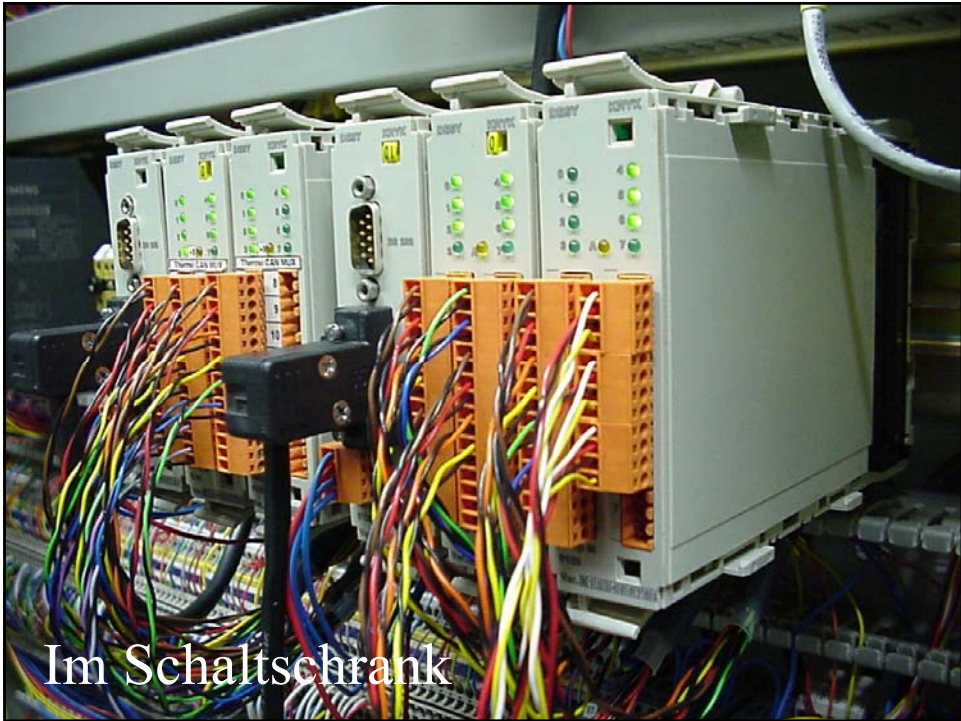




Multiplexer-Karte

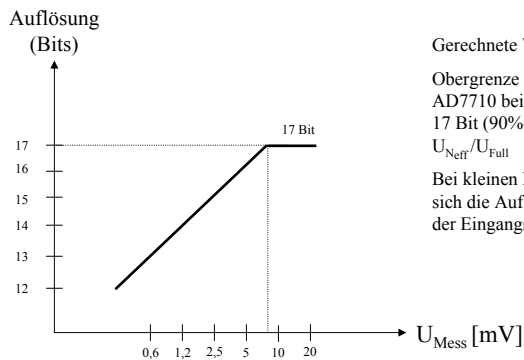


Einheit für 32 Kanäle



Im Schaltschrank

## Nutzbare Auflösung



Gerechnete Werte.

Obergrenze laut Datenblatt des ADC  
AD7710 bei 20 ms Samplezeit, G=8:  
17 Bit (90%-Band) entsprechend 19,5 Bit  
 $U_{Neff}/U_{Full}$

Bei kleinen Messspannungen reduziert  
sich die Auflösung infolge des Rauschens  
der Eingangsstufe.

Die Auflösung ( $\Delta R$ ) ergibt sich aus

$I = U/R$  differenziert

$$dI/dR = -U/R^2$$

für kleine  $\Delta I$  (1 digit) gilt:

$$\Delta I = -\Delta R U/R^2 \Rightarrow |\Delta R| = \Delta I * R^2 / U$$

Da  $U = I_{max} * R_{min}$  ergibt sich

$$|\Delta R| = \Delta I / I_{max} * R^2 / R_{min}$$

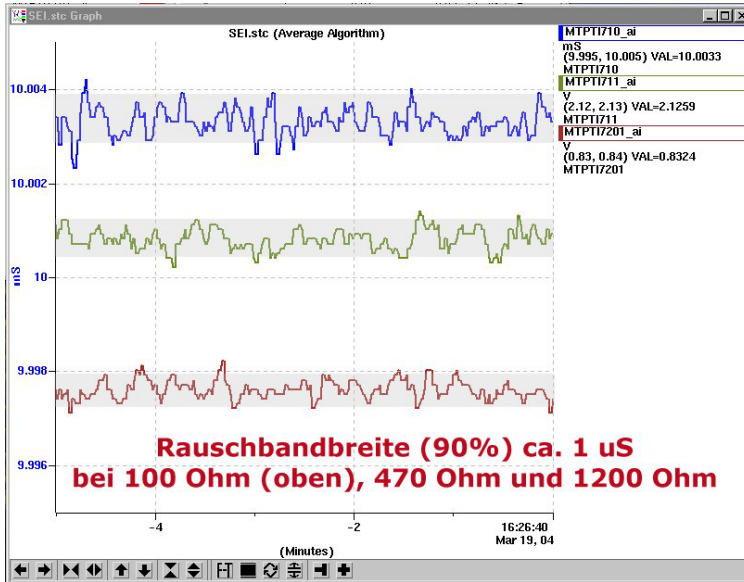
$R_{min}$  ergibt sich aus der Gesamtverstärkung der Schaltung,  $U$  und  $G_{ADC}$  (hier 38  $\Omega$ ).

Bei  $U = 5$  mV,  $G_{ADC} = 8$  sollte sich für  $R = 100 \Omega$  ergeben (siehe Grafik oben):

$$|\Delta R| = 1 / 2^{16} * (100^2 / 38) \Omega = 4 \text{ m}\Omega$$

14

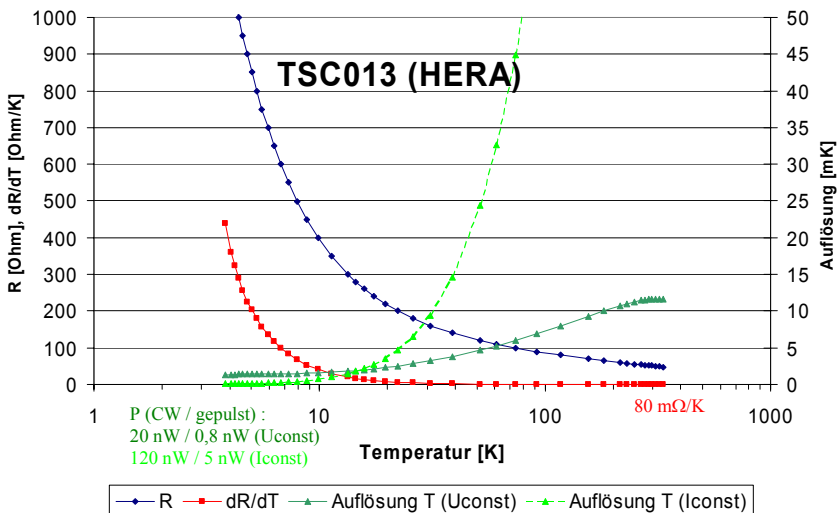
# Messungen



Bei 100  $\Omega$  (blaue Kurve) entsprechen die 1  $\mu\text{S}$  10  $\text{m}\Omega$  (+/- 5  $\text{m}\Omega$ ).

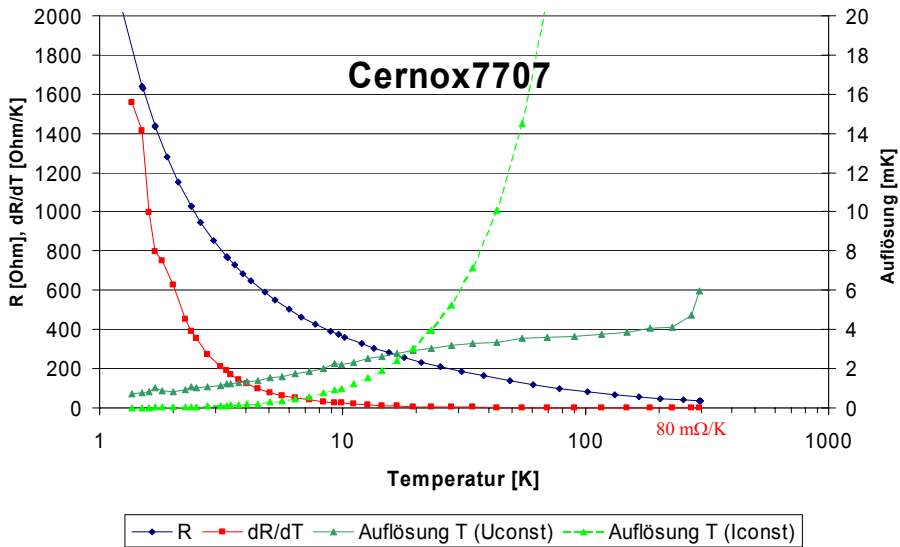
15

## Auflösung mit TSC II (Rivac/NL)



16

## Auflösung mit Cernox1030 (Lake Shore)



1/1

## Technische Daten

Anzahl der Kanäle pro Einheit	32 (8 minimum, erweiterbar auf 16, 24, 32)
Messmethode	4-Draht, wechselnde Gleichspannung
ADC	AD7710 Sigma-Delta 24 Bit, digitaler FIR-Filter
Messspannung	0 .. 25 mV
Sensor OVP	1 V
Brauchbare Auflösung	$4 \cdot 10^{-7} \text{ S @ } 5 \text{ mV}^*)$
Temperaturdrift	< 1 ppm/K (Referenz)
Messzeit	80 ms Pulse
Zykluszeit	0,8 ... 3,1 Sekunden

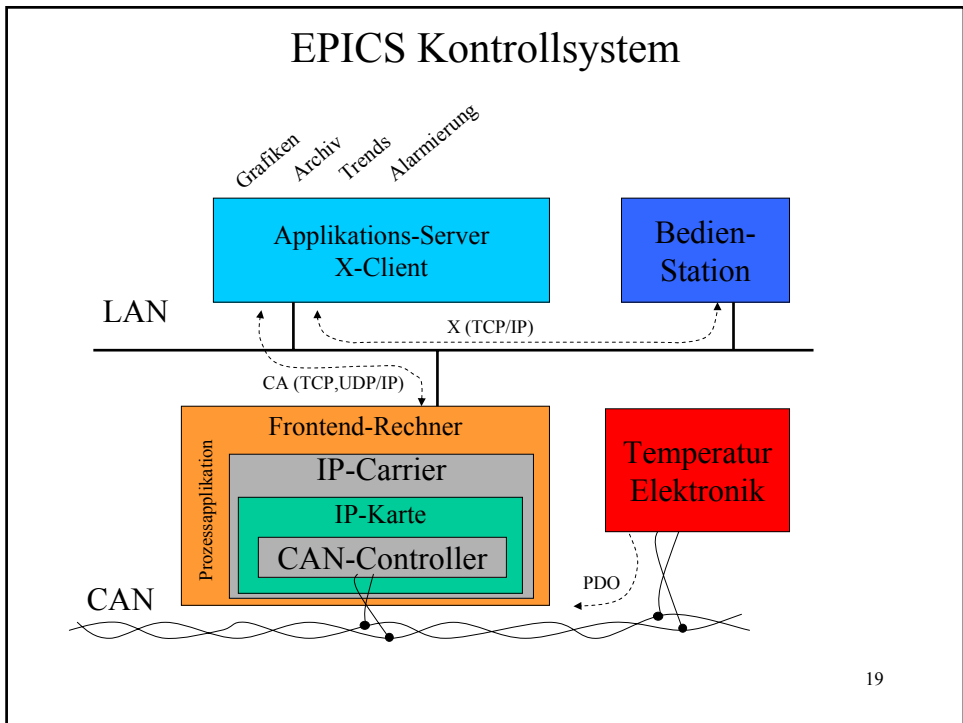
\*) z.B.: 0.0004 Ohm bei 30 Ohm

In Verbindung mit einem kalibrierten Carbon-Sensor kann bei Temperaturen von 4,2 bzw. 1,8 K erreicht werden:

Absolute Genauigkeit	0,005 K
Auflösung	< 0,001 K (1 mK)
Bus	CAN 2.0A ISO 11898, isoliert, 10..1000 kBaud
Datenformat	CMS 32-Bit Integer multiplexed (5 Bytes)

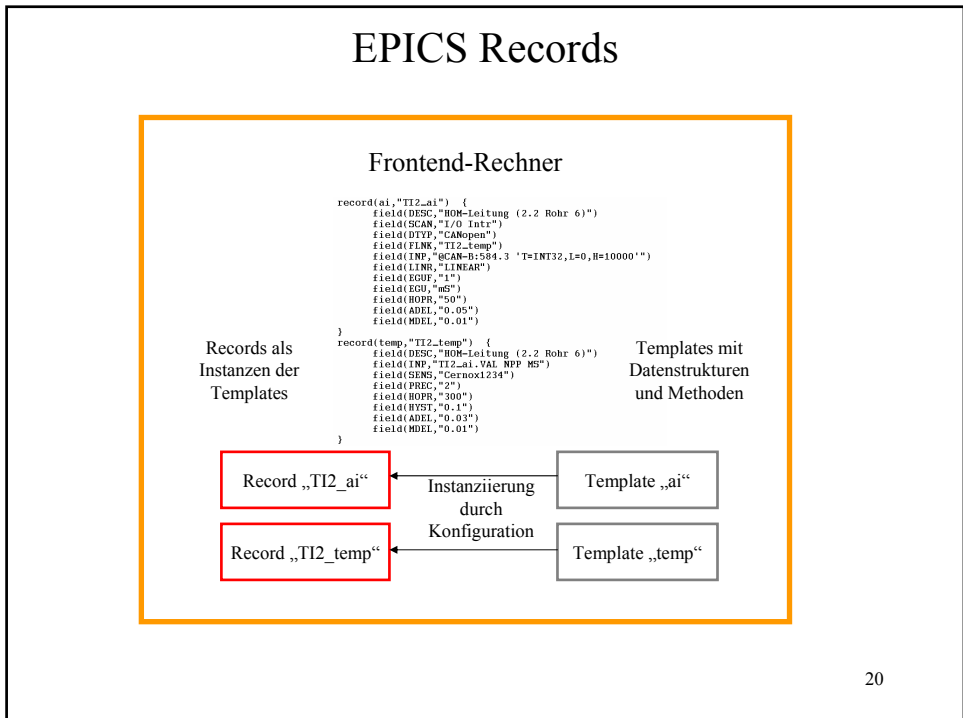
18

# EPICS Kontrollsystem



19

# EPICS Records

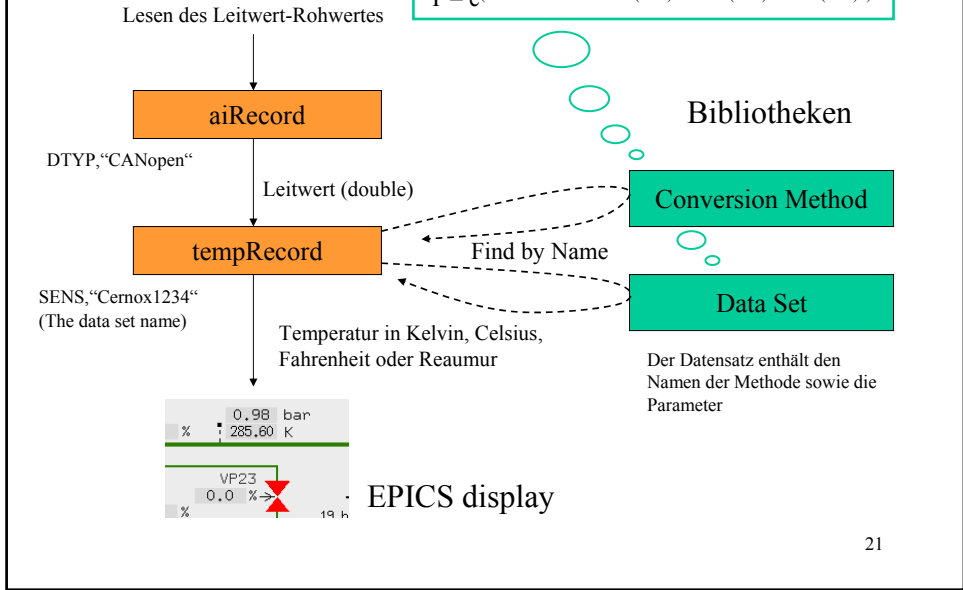


20



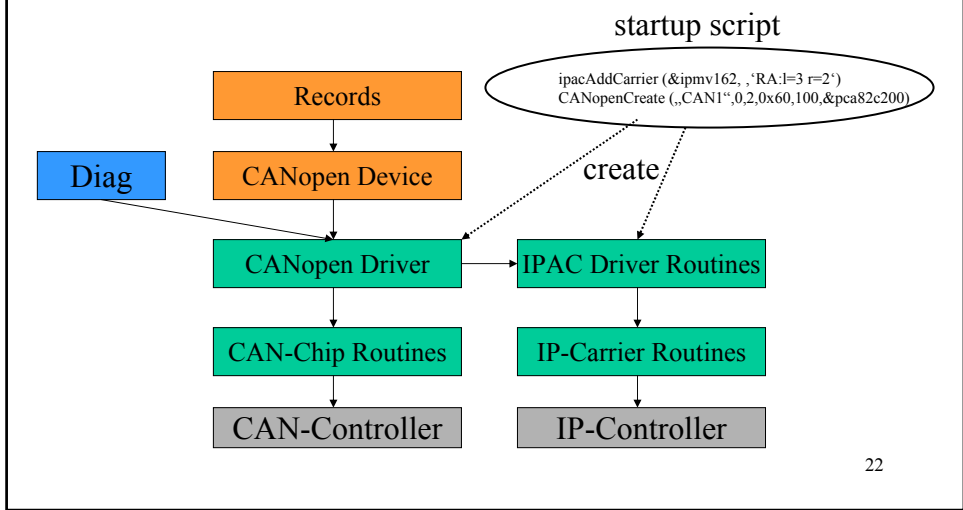
# Berechnung der Temperatur

$$T = e^{(4.31 + 44.9 \ln R - 37.9 (\ln R)^2 + 22.6 (\ln R)^3 - 10.4 (\ln R)^4)}$$



# Zugriff auf die Hardware

- Die Daten aus der Temperaturmessung werden mit Hilfe eines modularen Treiberkonzepts in den Frontend-Rechner eingelesen
- Der Protokoll-Treiber ist unabhängig vom verwendeten CAN-Controller, dem IP-Träger und der verwendeten Plattform



# Pläne

1. Temperature Modul-Firmware
  - Noch flexiblere Messmöglichkeiten, Spannungsmessung (alle Parameter programmierbar)
  - Automatische Bereichswahl für große Widerstandsbereiche
  - CANopen Objekt-Verzeichnis
  - SDO (service data object)
  - CANopen „predefined connection set“
  - Node guarding
2. EPICS record / device support
  - Diagnose in EPICS

23

# Ende

24



# Historie der SEI-Tagungen

Bernd-August Brandt\*

Immer wieder wird die Frage nach der Entstehung bzw. nach dem Entstehungsdatum der Studiengruppe gestellt. In den Akten gibt es nur spärliche Informationen über die ersten Sitzungen der Studiengruppe. Aber ich habe in meinen persönlichen Papieren Unterlagen, die ich 1994 für ein kurzes Anschreiben zur Einladung zur Frühjahrssitzung in Berlin bereits verwendete: Demnach fand im Physikalischen Institut der Universität Hamburg in der Jungius-Straße vom 25. bis **26. März 1960** eine Diskussionstagung statt, in der unter Punkt 12 der Tagesordnung „**Gedanken über die Möglichkeiten der Zusammenarbeit der Institute bei der Vorbereitung der Experimente und Diskussion über die Bildung der Studiengruppen**“ zur Debatte standen. Durch Zuruf der Namen von potentiellen Teilnehmern bzw. Instituten wurden die Studiengruppen gebildet. Neben anderen entstand so die **Studiengruppe Hochenergiephysik –Elektronik–**. Danach tat sich –nach außen sichtbar– nichts, aber es wurde ein Fördervorhaben beim BMat FN 5.058 (für 1961?) beantragt: „**Studiengruppen für Hochenergiephysik im Rahmen des Fachausschusses Kernphysik der Deutschen Physikalischen Gesellschaft**“.

Wohl erst angeregt durch eine private Initiative einer Gruppe (von 11) Personen<sup>1,2</sup> im Januar 1961 erfolgten Einladungen zu einer ersten Sitzung in Heidelberg. Zu dieser Sitzung bei Dr. B. Stadler im Tandem-Labor des MPI in Heidelberg gibt es keine Belege in unseren Akten. Einen konkreten Hinweis habe ich durch ein Schreiben von Prof. P. Stähelin vom 20.4.1961 in meinen persönlichen Unterlagen<sup>3</sup>.

Studiengruppen Hochenergiephysik  
im Rahmen des Fachausschusses Kernphysik  
des Verbandes Deutscher Physikalischer Gesellschaften

Herrn  
Dipl.-Phys. B. A. Brandt  
Physikal. Inst. d. Univ. Marburg

Hamburg, 20.4.61

Marburg / Lahn  
Renthof 5

Betr.: Diskussionstagung über die Möglichkeiten einer  
Zusammenarbeit auf dem Gebiet der Elektronik  
für die experimentelle Kernphysik  
am 25. April 1961 in Heidelberg

Sehr geehrter Herr Brandt!  
Unter Bezugnahme auf Ihren Brief ...

\* Bis Februar 1995 Fachbereich Physik der Philipps-Universität Marburg

<sup>1</sup> Siehe H.-J. Stuckenberg Transistorsabendblatt Nr. 5, 2.64, S.6

<sup>2</sup> Siehe atomwirtschaft atomtechnik, Jhrg. X, Nr. 6, Juni 1965, S. 298-302: W. Becker, Ispra, H.-J. Stuckenberg, Hamburg, K. Zander, Berlin. ESONE – ein System für die nukleare Elektronik.

<sup>3</sup> R. Thielmann hat die Tagesordnung in seiner Unterlagensammlung, die ich erst am 24.3.2004 erhielt.

... die tatsächlichen Reisekosten bis maximal zu den Fahrtkosten der Bundesbahn I. Klasse einschließlich Zuschlägen sowie ein Tagegeld erstattet werden.

...um telefonische Mitteilung an das

II. Inst. F. Experimentalphysik  
Hamburg-Barenfeld, Luruper Chaussee 149  
Tel. 89 69 81, App. 270

Mit freundlichem Gruß

gez. Prof. P. Stähelin

**Wolf**

(Sekretärin)

Hier wird Bezug genommen auf einen Brief, der sich auf eine vorangegangene Einladung zu einem ersten Treffen der (benannten Mitglieder) der Gruppe bezieht.

Am **25. April 1961** in Heidelberg hat also die **erste Sitzung stattgefunden**.

Dieses Datum ist offenbar auch zugrunde gelegt worden, als das 20-jährige Bestehen der Studiengruppe im März 1981 feierlich begangen wurde, (zu der Zeit bereits unter dem Namen „Studiengruppe Nukleare Elektronik“). Der oben angegebene Briefkopf zeigt jedoch, dass die Studiengruppe zum Zeitpunkt dieser Einladungen mindestens formal existiert haben muss. Deshalb können wir mit voller Berechtigung die Veranstaltung vom **26.3.1960** als **Gründungsakt** ansehen.

Auch die anderen am 26. März 1960 gegründeten „Studiengruppen Hochenergiephysik“: *-Zählerexperimente-*, *-Visuelle Methoden-*, *-Auswerteverfahren-* und *-Theorie-* haben erst ab Januar 1961 ihre Arbeit aufgenommen. Die Beschäftigung mit Szintillations-Detektoren hat wohl einige Jahre überdauert. Dr. Stanek, München, hat nach vielen Jahren (1968 oder 1970) einen neuen Anlauf versucht (mit mir unbekanntem Ergebnis).

**Von allen Gruppen hat nur unsere bis heute überlebt.**

Soweit einstweilen zum Beginn der Studiengruppe.

Über die Ziele unserer Gruppe brauche ich an dieser Stelle nichts zu sagen, das steht in unzähligen Zusammenfassungen (und Variationen), Tagungsberichten, Anträgen und nun auch im Internet<sup>4</sup>. Sehr treffend ist die Situation in dem o.g. Artikel<sup>2</sup> von W. Becker, H.-J. Stuckenberg und K. Zander formuliert.

#### Wie sah die Arbeit der Gruppe aus?

Zunächst waren die Diskussionen konzentriert auf die Experimente und Anwendungen am DESY. Dabei zeigte sich sehr schnell, dass grundlegende Fragen zu klären waren, um mehrheitsfähige Empfehlungen geben zu können. Es musste erst eine gemeinsame Sprechweise gefunden werden, genormte Begriffe und Größen bekannt gemacht werden, angefangen bei Schaltzeichen, Flussschaltbildern und bestehenden DIN-Vorschriften. Es diskutierten ja nicht nur Ingenieure, sondern auch Physiker<sup>5</sup>. Oft wurde formuliert, wir müssten etwas „normen“, was zu Recht den FNA auf den Plan rief. Wir konnten nur Richtlinien und Standards erarbeiten.

In Hausaufgaben wurden Entwürfe erarbeitet, die dann in den Gruppen diskutiert wurden,

<sup>4</sup> [www.hmi.de/bereiche/II/DS/sei/index.html](http://www.hmi.de/bereiche/II/DS/sei/index.html)

<sup>5</sup> Wie im Tagungsbericht 30.6./2.7.1965 so schön formuliert ist: „Einen guten Ingenieur stört Normung nur wenig, einem echten Physiker ist sie ein Greuel.“

bis einvernehmliche Lösungen auf dem Tisch lagen. Sehr starke Impulse kamen von den beiden DESY-Elektronik-Abteilungen (Krolzig / Stuckenberg), die unter dem größten Druck standen, fertige Geräte vorzuweisen.

Damals wurde harte Arbeit in den Studiengruppentreffen und in kleinen Untergruppen geleistet, die um die Spezifikationen für Mechanik, Stecker, Versorgungsspannungen, elektrischen Pegel für Analog-Elektronik und Digital-Elektronik, sowie um entsprechende Prüfvorschriften rangen – und zum Teil geradezu kämpften.

Unsere ersten Treffen waren Diskussionssitzungen. Ich erinnere mich noch genau, wie Dr. Zander zu Beginn eines Treffens in Hamburg sagte, „wir sitzen doch nicht im Hörsaal zu einer Vorlesung“, und uns aufforderte unsere Stühle im Kreis aufzustellen, damit jeder sehen könne, wer gerade redet.

Die Untergruppen tagten oft im 14-tägigen Rhythmus. Zunächst fanden deren Treffen überwiegend in Hamburg statt, später dann an den Heimatinstituten der Gruppenleiter.

Die Studiengruppensitzungen fanden nach Bedarf auch mehrmals im Jahr statt. Erst später spielten sich Herbst- und Frühjahrstermine (vor Beginn der Semester) ein. Bis in die 70-iger Jahre hinein lagen Sitzungstermine übrigens „mittwochs bis freitags“.

Sehr bald wurde beschlossen, die Plenarsitzungen an den Dienstorten der Teilnehmer im Wechsel zu organisieren, damit man nach und nach die Institute der Beteiligten kennen lernen könnte. Ein schöner Brauch, der sich bis heute erhalten hat (s. Abbildung 1).

<b>Häufigkeit der Tagungen</b>											
Ort	1	2	3	4	5	6	7	8	9	10	11
Hamburg	05.1962 <sup>1</sup>	11.1962	07.1963	10.1963	06.1965	09.1972 <sup>**</sup>	05.1974	03.1981	03.1988	03.1998	03.2004
Berlin	10.1965	03.1970	04.1973	09.1974	03.1990	03.1994	09.1996 <sup>*</sup>	09.2000			
Jülich	03.1965	09.1969	03.1977	10.1982	03.1985	04.1995	09.1998	03.2003			
Frankfurt	12.1964	12.1966	10.1977	10.1983	05.1987	09.1997	09.2002				
Karlsruhe	01.1964 <sup>2</sup>	03.1978	09.1986	03.1996	04.2001						
Bochum	03.1980	09.1990	03.1999	09.2003							
Graz	09.1980	10.1987	10.1995	10.2001							
Heidelberg	04.1961	10.1964 <sup>2</sup>	09.1993	03.2000							
Marburg	04.1964	03.1968	03.1982	09.1994							
Wixhausen	09.1975	09.1991	04.1997	03.2002							
Erlangen	10.1971	09.1985	03.1989								
Martinsried	03.1979	10.1981	03.1992								
Würzburg	09.1968	09.1970	10.1988								
Braunschweig	11.1978	03.1993									
Freiburg	03.1972	03.1983									
Garching	02.1966	03.1975									
Mainz	03.1969	03.1984									
Rosendorf	09.1992	09.1999	9.2004								
Basel	12.1961										
Geel	10.1989										
Göttingen	10.1979										
Grenoble	04.1986										
Ilmenau	03.1991										
Köln	10.1976										
Konstanz	10.1984										
Münster	09.1973										
Stuttgart	03.1976										
Wien	05.1971										

\* Zeuthen  
 \*\*Duhnen  
<sup>1</sup> Tagungsbericht von E.v.Goeler  
<sup>2</sup> Tagung im Jahresbericht 1964 erwähnt

Abb. 1: Häufigkeit der Studiengruppensitzungen an den Tagungsorten mit Tagungsdaten



Entsprechend fand die zweite Sitzung der Studiengruppe in Basel, im Institut von Prof. E. Baldinger statt, die dritte allerdings wieder in Hamburg.

Die Teilnehmerzahl der ersten Sitzungen lag bei 20 bis 30, die der Untergruppen bei 6 bis 18 Personen. Teilnehmer waren Physiker und Elektroniker und Techniker aus Universitäts- und Forschungslabors aus dem gesamten deutschsprachigen Raum, und sehr früh auch Vertreter der Industrie. Die Teilnehmerlisten der ersten Sitzungen sind in unseren Akten leider nicht erhalten.

Berücksichtigt man die 81 (Plenar-) Sitzungen, von denen Teilnehmerlisten erhalten sind, ergibt sich eine mittlere Teilnehmerzahl von 59.

In späteren Jahren wurden zunehmend Ergebnisse und (s.u.) Statusberichte vorgetragen, oder Teilnehmer (besonders der einladenden Institute) berichteten über Arbeiten in und aus ihrem Hause. Daraus ergab sich dann die frontale Vortragsform (wohl auch weil in den meisten Instituten für die Sitzungen nur Hörsäle zur Verfügung standen). Eine aktuelle Liste der Sitzungen unserer Studiengruppe gibt die Abbildung 2 wieder.

1964 wurden 4 „ständige“ Arbeitsgruppen zu 5 Themenbereichen gebildet (indem die Anwesenden einfach in 4 Gruppen aufgeteilt wurden):

- |   |             |
|---|-------------|
| 1. Strahlungsdetektoren und deren Ausrüstung ( 6 Pers.) | Gruppe I    |
| 2. Analog arbeitende Geräte                             | } Gruppe II |
| 3. Analog-Digital-Wandler                               |             |
| 4. Digitale Information verarbeitende Geräte ( 7 Pers.) | Gruppe III  |
| 5. Energieversorgungsgeräte ( 4 Pers. )                 | Gruppe IV   |

Inzwischen hatte sich gezeigt, dass die Probleme und Fragen der Austauschbarkeit von Mess- und Experimentgeräten nicht nur in der Hochenergiephysik, sondern allgemein in der Kernphysik relevant waren. Das führte **1962 / 1963** zur Umbenennung der Gruppe in **Studiengruppe Nukleare Elektronik**, für die sich die Abkürzung **SGNE** durchsetzte<sup>6</sup>.

Alle diese Diskussionen und Aktivitäten fanden nicht nur im deutschen Sprachraum, sondern überall auf der Welt statt. In ganz Europa standen nach Überwindung der ersten Kriegsfolgen die Physiker und Elektroniker vor dem gleichen Problemen: Wie kann man die Möglichkeiten der entstehenden Großforschungseinrichtungen nutzen? Wie macht man das am besten? Alle wünschten sich ein einheitliches System. Das führte bereits 1961<sup>7</sup> zu einer europaweiten Verabredung, das **ESONE-System**<sup>8</sup> zu entwickeln.

Die Vertreter deutscher Institutionen in diesem europäischen Vorhaben waren alle Mitglieder der Studiengruppe. Die Vorarbeiten der Studiengruppe konnten direkt in die Arbeit der ESONE Working groups eingebracht werden.

Mit diesen Entwicklungen bekam die Arbeit der Studiengruppe eine neue Bedeutung und eine enorme Erweiterung: Das ESONE-System wurde vom ESONE-Committee betreut, das aus einigen Einzelmitgliedern und den interessierten Forschungseinrichtungen gebildet wurde. Dort fanden sich die Mitglieder der Studiengruppe als persönliche Mitglieder oder als Repräsentanten ihrer Heimat-Mitglieds-Institute wieder. Das Committee setzte eine (kleinere) ESONE-Executive-Group ein, die schnell auf Veränderungen oder Neuerungen reagieren und notwendige Entscheidungen treffen konnte. Auch hier wurden Studiengruppenmitglieder delegiert. Umgekehrt lernten ESONE-Leute die Studiengruppe kennen und wurden dort ihrerseits aktiv (Dres. W. Becker, H. Meyer, E. Sattler u.a.).

<sup>6</sup> Auf Vorschlag unserer österreichischen Freunde, jedenfalls habe ich die Abkürzung erstmals von Herrn Dr. Attwenger gehört.

<sup>7</sup> EURATOM-Zentrum Ispra, Juli 1961.; 16 Teilnehmer, davon 7 Deutsche (2 noch nicht als Studiengruppen-Mitglieder)

<sup>8</sup> European Standart of Nuclear Electronics System

Sitzungen der Studiengruppe			Teil-		Teil-		
Lfn.	Ort	Datum	nehmer	Lfn.	Ort	Datum	nehmer
	Gründung:			44	Marburg	22. März 1982	53
	Hamburg	26. März 1960		45	Jülich	11. Oktober 1982	56
1	Heidelberg	25. April 1961		46	Freiburg	21. März 1983	46
2	Basel	1. Dezember 1961		47	Frankfurt	3. Oktober 1983	50
3	Hamburg <sup>1</sup>	29. Mai 1962		48	Mainz	19. März 1984	62
4	Hamburg	30. November 1962		49	Konstanz	8. Oktober 1984	41
5	Hamburg SGNE	11. Juli 1963	23	50	Jülich	18. März 1985	72
6	Hamburg	15. Oktober 1963	44	51	Erlangen	23. September 1985	44
7	Karlsruhe <sup>2</sup>	23. Januar 1964	50 <sup>3</sup>	52	Grenoble SEI	14. April 1986	40
8	Marburg	27. April 1964	32	53	Karlsruhe	29. September 1986	47
9	Heidelberg <sup>2</sup>	21. Oktober 1964		54	Frankfurt	11. Mai 1987	40
10	Frankfurt	10. Dezember 1964	50	55	Graz	5. Oktober 1987	37
11	Jülich	31. März 1965		56	Hamburg	21. März 1988	56
12	Hamburg	30. Juni 1965	54	57	Würzburg	3. Oktober 1988	44
13	Berlin	27. Oktober 1965	58	58	Erlangen	13. März 1989	52
14	Garching	28. Februar 1966	85	59	Geel	2. Oktober 1989	34
15	Frankfurt	1. Dezember 1966	87	60	Berlin	19. März 1990	96
16	Marburg	4. März 1968	68	61	Bochum	24. September 1990	40
17	Würzburg	23. September 1968	78	62	Ilmenau	18. März 1991	63
18	Mainz	17. März 1969	76	63	Wixhausen	30. September 1991	42
19	Jülich	22. September 1969	141	64	Martinsried	23. März 1992	48
20	Berlin	16. März 1970	132	65	Rosendorf	28. September 1992	66
21	Würzburg	21. September 1970	75	66	Braunschweig	22. März 1993	55
22	Wien	12. Mai 1971	104	67	Heidelberg	27. September 1993	43
23	Erlangen	13. Oktober 1971	110	68	Berlin	21. März 1994	66
24	Freiburg	15. März 1972	123	69	Marburg	26. September 1994	46
25	Duhnen	20. September 1972	54	70	Jülich	3. April 1995	47
26	Berlin	4. April 1973	100	71	Graz	2. Oktober 1995	25
27	Münster	26. September 1973	74	72	Karlsruhe	25. März 1996	37
28	Hamburg	15. Mai 1974	111	73	Zeuthen	30. September 1996	45
29	Berlin	9. September 1974	83	74	Wixhausen	7. April 1997	42
30	Garching	19. März 1975	58	75	Frankfurt	29. September 1997	37
31	Wixhausen	24. September 1975	106	76	Hamburg	30. März 1998	40
32	Stuttgart	22. März 1976	117	77	Jülich	28. September 1998	38
33	Köln	4. Oktober 1976	94	78	Bochum	22. März 1999	27
34	Jülich	28. März 1977	140	79	Rosendorf	27. September 1999	40
35	Frankfurt	3. Oktober 1977	48	80	Heidelberg	27. März 2000	36
36	Karlsruhe	6. März 1978	70	81	Berlin	25. September 2000	30
37	Braunschweig	6. November 1978	55	82	Karlsruhe	2. April 2001	36
38	Martinsried	19. März 1979	72	83	Graz	1. Oktober 2001	27
39	Göttingen	1. Oktober 1979	68	84	Wixhausen	4. März 2002	46
40	Bochum	24. März 1980	62	85	Frankfurt	23. September 2002	38
41	Graz	29. September 1980	28	86	Jülich	24. März 2003	35
42	Hamburg	23. März 1981	67	87	Bochum	22. September 2003	44
43	Martinsried	19. Oktober 1981	53	88	Hamburg	29. März 2004	53
	<sup>1</sup> Tagungsbericht v. E.v.Goeler		Übtr. Ø		<sup>3</sup> 18 Teilnehmer aus dem KfK		Sum: Ø
	<sup>2</sup> Tagung im Jahresbericht 1964 erw.		2800 76				4809 59

Abb. 2: Chronologische Auflistung der Studiengruppensitzungen (mit Teilnehmerzahlen)

Die **Studiengruppe** entwickelte sich zu einem **Pool von Experten** für die Beschickung von allen möglichen Gremien, bzw. zum unabhängigen Treffpunkt für Vertreter dieser

Gremien; denn überall auf der Welt schossen geradezu nationale und internationale Gruppen aus dem Boden, die sich mit den messtechnischen Fragen der rasanten Entwicklung im gesamten Feld der (Kern-) Physik, Chemie und weiteren Disziplinen (z.B. Biologie und Medizin) befassten. Die Sitzungen der Studiengruppen wurden zu einem **Forum für Statusberichte** über alle möglichen nationalen und internationalen (Gremien-) Aktivitäten.

### Organisation der Studiengruppe

Das alles funktionierte ohne Statuten, Vereinsvorschriften und Satzungen. Es gab und gibt keine offizielle Mitgliedschaft! Es gibt nur eine Adressenliste, und wer will, kann darin aufgenommen werden<sup>9</sup>. Die Damen und Herren aus der Industrie nehmen eine gewisse Sonderstellung ein: Sie haben Gastrecht aber kein Mitwirkungsrecht in Bereichen, die die Studiengruppe selbst angehen. Die Adressenliste enthielt in den 70- und 80-er Jahren ca. 200 Einträge: Anschriften von Einzelpersonen, Institutionen und Firmen aus Deutschland, Österreich, Italien, Schweiz, Frankreich, Belgien, England und Dänemark!

Auch die Leitung der Studiengruppe unterliegt keinen fixierten Regeln. Zunächst wurde die Leitung der Gruppe vom DESY-Direktorium übernommen, dann an DESY-Mitarbeiter delegiert. Heute bestimmen die Mitglieder der Studiengruppe die Leiter selbst durch Wahl und auf Vorschlag aus den Reihen der Mitglieder. Bisher ging das „einvernehmlich“ durch Akklamation. Die Bezeichnung der Gewählten war zunächst „wissenschaftlich-technischer Leiter“. Heute gelten sie als „Sekretär“ der Gruppe.

### Wie sah die Leitung der Studiengruppe im Einzelnen aus?

Bei Gründung der Gruppe lag die Verantwortung bei Prof. P. Stähelin, einem Mitglied des DESY-Direktoriums. Wohl von Anfang an wurde er von Dr. H.-J. Stuckenberg unterstützt, der alsbald die Leitung übernahm und de facto bis 1966 innehatte. Ihm zur Seite stand zunächst Dr. E. v.Goeler, und ab 1964 Dr. H. Nentwich.

Im Jahr 1966 kündigte sich eine Krise an: Das BMWF, Ministerium für wissenschaftliche Forschung, konnte (mangels gültigem Haushalt) die Mittel für 1966 nur sehr verspätet und gekürzt bereitstellen. 1967 blieben –nach 15 erfolgreichen Sitzungen– die Mittel völlig aus. Es konnten keine Sitzungen stattfinden. Zusätzlich gab es beim DESY offenbar Personalengpässe, sodass ein erneuter Anlauf ausblieb.

Ende 1967 fragte mich mein damaliger Chef, Prof. W. Walcher<sup>10</sup>, der ebenfalls dem DESY-Direktorium angehörte, ob „wir uns von Marburg aus um die Studiengruppe kümmern könnten“. Die nötigen Anträge beim Ministerium würde er dann gegenzeichnen. Was antwortet man, wenn man so von seinem Chef gefragt wird? Die Leitung der Gruppe wurde zu einem Teil meiner Dienstaufgaben, und Frau E. Völker wurde mir nach und nach mit 5% ihrer Dienstzeit für die Büro-Arbeiten zugeordnet.

Um unser Institut der Gruppe vorzustellen und uns den Einstieg zu erleichtern, luden wir die Studiengruppe zum 4. März 1968 nach Marburg ein.

Als sich 1994 das Ende meiner Dienstzeit anbahnte, stellte sich die Frage: Wie geht es weiter? Die Studiengruppe hatte sich soweit vom DESY-Bezug gelöst, dass dessen

---

<sup>9</sup> Unausgesprochene Voraussetzung ist allerdings die „Bindung“ an ein staatliches oder privates Institut mit entsprechenden elektronischen Einrichtungen oder Anwendungen.

<sup>10</sup> Er lebt mit bald 94 Jahren noch rüstig in Marburg und hat mir Grüße an alle, die sich an ihn erinnern, aufgetragen.

Direktorium wohl nicht mehr zu bemühen war. Also beschloss die Studiengruppe, einen neuen „Sekretär“ aus ihrer Mitte zu wählen.

Wer den Vorschlag machte, Dr. Frank Gabriel aus Rossendorf zu fragen, weiß ich nicht mehr. Aber ich finde, es war eine glückliche Idee, einen Kandidaten aus den neuen Bundesländern zu nehmen, und ein Glücksfall, dass Dr. Gabriel bereit war, sich (für eine Periode von max. 4 Jahren) der Wahl zu stellen. Auf der Frühjahrssitzung 1994 in Berlin wurde er mit Akklamation gewählt. Aber erst 5½ Jahre später bat er um Ablösung. 2000 wurde –wieder in Berlin und per Akklamation– Dr. Friedrich Wulf vom HMI zu seinem Nachfolger gewählt. Wie sich zeigt, ebenfalls kein schlechter Griff!

Nicht direkt zur Leitung der Gruppe gehörend aber vom 1. Tag an als steter Anreger, Förderer und Mahner hat Prof. K. Zander große Verdienste am Gelingen der Arbeit der Studiengruppe. Das sollte hier ausdrücklich und in Dankbarkeit genannt sein. Ihm bzw. der Einweihung seines „Elektronik“ - Gebäudes zu Ehren fand übrigens am 6./7. Dezember 1965 ein hochkarätiges besetztes „Symposium“ unter dem „Patronat“ der Studiengruppe im HMI in Berlin statt.

### Wie waren die Einbindungen der Gruppe?

Die eingangs erwähnte Einbindung der Studiengruppe in den „Fachausschuß Kernphysik des Verbandes Deutscher Physikalischer Gesellschaften“ bestand nur formal. Im Rahmen der Physikertagung unsere Treffen abzuhalten, erwies sich (Bad Nauheim 1964 oder 1965?), als nicht sinnvoll; denn im Tagungsgeschehen der Physikertagung ging unsere kleine Gruppe unter, da wir keine eigene „Sitzung“ bekamen. Einfluss auf die Termine hatten wir natürlich auch nicht. Es gibt dazu übrigens keine Unterlagen in unseren Akten. Problematisch war hier auch der Begriff **Physiker-„Tagung“**; denn das bedeutete im Allgemeinen eine erhebliche Reduzierung der Reisekostenerstattungen. Darum haben wir stets von „**Sitzungen**“ und **nicht** von „**Tagungen**“ der Studiengruppe gesprochen haben.

Der erste Kontakt mit überregionalen Organisationen war für unsere Gruppe –wie oben gezeigt– das ESONE-Committee. Die deutschen Vertreter in den ESONE Working groups haben –wie ebenfalls schon gesagt– nahtlos die Ergebnisse unserer Arbeitsgruppen einbringen können. Die Studiengruppe wurde Mitglied im ESONE-Committee. Viele unserer Mitglieder wurden in den ESONE-Gruppen aktiv als member oder auch als chairman. Entsprechend fanden auch viele gemeinsame Veranstaltungen statt, bzw. trafen sich Mitglieder der Studiengruppe zu ihren Sitzungen im Zusammenhang mit ESONE-Veranstaltungen. Z.B. im Sommer 1964 in Karlsruhe, wie Bild 3 zeigt<sup>11</sup>.

Aber ESONE war nur ein erster gemeinsamer Schritt zur Lösung der Probleme in der Mess- und Experiment-Elektronik. In einem zweiten Schritt ging es um die Auswertung der in riesigen Mengen anfallenden Messdaten. Die Computerindustrie brachte gerade die ersten Prozess - Rechner auf den Markt. Also hieß es nun, die Experimentdaten in die Prozessrechner hineinzubekommen – und die Experimente vom Computer her zu beeinflussen, d.h. zu steuern.

Bereits 1965 wurde im Ministerium für wissenschaftliche Forschung auf Empfehlung der Studiengruppe ein **ad hoc Ausschuß Projekt Koppелеlektronik** eingerichtet, dessen Mitglieder von verschiedenen deutschen Institutionen gestellt wurden. Als der Ausschuss sich konstituierte, waren wiederum 70% der Teilnehmer Studiengruppenmitglieder, so auch der Vorsitzende Dr. H.-J. Stuckenberg.

---

<sup>11</sup> Leider finden sich keine Unterlagen, weder bei den Studiengruppen- noch bei (unseren !) ESONE- Akten.



Abb. 3: Werksfoto GfK 1017/4021: „ESONE-Treffen“, Karlsruhe 17.7.1964 (oder 16.6.1964)



Abb. 4: 22 Jahre später, auf derselben Treppe: SEI-Tagung, Karlsruhe 29.9.1986

Der Ausschuss erarbeitete ein detailliertes Konzept mit dem Arbeitsnamen **RESY** (Rechner-Experiment System). Gegen Ende der Beratungen einigte man sich mit geladenen Industrievertretern<sup>12</sup> auf eine schnelle Realisierungsmöglichkeit im D3K-System, das in den Prozessrechnern der Firma Siemens verwendet wurde. (Spötter sprachen deshalb vom *RESI*-System).

<sup>12</sup> AEG-Telefunken, Labor Dr. Berthold, Frieseke & Hoepfner GmbH und Siemens AG (7.Juni 1968);  
Quelle: Protokoll der 1.Sitzung der ESONE Executive Group, 17./18.Juni 1968 von H. Klessmann.



Dazu kam es aber nicht; denn über die ESONE-Beziehungen wurde bekannt, dass die Briten ein ganz ähnliches System in Arbeit hatten. Diese Parallelentwicklungen wollte man verhindern und beschloss zusammenzuarbeiten. Dabei zeigte sich, dass die Briten auf keinen Fall die Siemens-Mechanik akzeptieren würden. Im ESONE-Committee entstand der Kompromiss mit Namen **JANUS**: Ein System mit der Mechanik der Briten und der Elektronik des ad hoc Ausschusses. Als der Name des zweigesichtigen römischen Gottes sich als „geschützt“ herausstellte, wurde das (in beiden Richtungen lesbare) Kunstwort **CAMAC** (**C**omputer **A**ided **M**esurement **A**nd **C**ontrol) als Bezeichnung kreiert.

Das CAMAC-System prägte für einige Jahre die Arbeit der Studiengruppe. Die Zusammenarbeit auf europäischer Ebene war wohl noch intensiver als bei der Entwicklung des ESONE- Systems. Einerseits wurde am System selbst weitergearbeitet, andererseits wurden Geräte entworfen, beschrieben und vorgestellt, die die Experimentseite abdeckten und als Einschübe in die CAMAC-Überrahmen eingesteckt werden sollten. In dem Zusammenhang tauchte eine ganz neue Qualität auf für die Studiengruppe: Man musste sich nun mit der **Programmierung** beschäftigen. Alles dies geschah jetzt in CAMAC-working-groups aber auch in Untergruppen der Studiengruppe. Besondere Bedeutung hatte die CAMAC Dataway working group, deren chairman Dipl.-Ing. Horst Klessmann vom HMI war.

Die Software-Gruppe der Studiengruppe beschäftigte sich insbesondere mit den Fragen der „Echtzeit-Programmierung“. In sehr kurzer Zeit wurde ein Entwurf für **PEARL**, eine **P**rocess and **E**xperimenta **A**pplication **R**ealtime **L**anguage erarbeitet. Die Ideen dieser Gruppe flossen wiederum in die wenig später entstandene CAMAC- Software-working-group ein.

CAMAC bekam eine solche Bedeutung, dass eine „European CAMAC Association“, **ECA**, gegründet wurde, die auf europäischer Ebene ein Diskussionsforum für alles, was mit CAMAC zusammenhängt, sein sollte, wie die Studiengruppe im deutschen Sprachbereich ein Forum für Elektronik-Fragen im weitesten Sinne geworden war.

Die obersten Gremien bildeten das „CAMAC Management Board“ (3 Personen, chairman: Prof. K. Zander), und das „CAMAC Council“ mit Vertretern aller Mitgliedsinstitutionen, in denen natürlich wieder etliche Studiengruppenmitglieder vertreten waren.

ECA teilte sich in lokale Untergruppen auf, die Studiengruppe wurde die „**Regionale CAMAC Vereinigung (Association)**“, **RCA Deutschland**. mit engen Verbindungen -in den 70-er Jahren eine politische Sensation- auch zu den osteuropäischen Regionalgruppen<sup>13</sup>.

Zwei besondere Aktivitäten von Studiengruppenmitgliedern sollten hier noch genannt werden:

- Das CAMAC Management Board hat einen Verbindungsmann bestellt, der sich für die Verbreitung und die Einhaltung der CAMAC-Standards einsetzten und vor allem die Verbindung zur Industrie pflegen sollte.  
Dieser „**Mr. CAMAC**“ wurde unser Dr. J. Trebst aus Erlangen.

- Um den Wust von CAMAC-Geräten halbwegs überblicken zu können, vor allem um die Produkte der Firmen vergleichen zu können, wurden alle CAMAC - Geräte - Hersteller um Produkt-Listen und -Spezifikationen gefragt, die dann zu einem **CAMAC Product Guide** zusammengefasst in 5 Auflagen erschienen<sup>14</sup>.

Die europäischen Entwicklungen gingen natürlich nicht an den Wissenschaftlern in den USA vorbei. Die Amerikaner hatten ihr NIM-System (**N**uclear **I**nstruments for **M**esurements), das -dem ESONE-System vergleichbar- auch an vielen Stellen in Europa

<sup>13</sup> Mit Tagungen in der UDSSR, Ungarn u.a.; Slogan: **CAMAC**, „**C**an **A**rrange **M**eetings in **A**ny **C**ountry“.

<sup>14</sup> Herausgegeben 1978 bis 1988, zusammengestellt und bearbeitet von B.-A. Brandt im Fachbereich Physik, Marburg, gedruckt von EURATOM im schönen grünen Umschlag als ECA-Report.

zum Einsatz gekommen war. Aber die Einschübe passten nicht in die CAMAC-Überrahmen. An dem CAMAC-System waren die Amerikaner zwar interessiert, aber eine Übernahme war nicht möglich. Sollten sie nun eine CAMAC-Parallele entwickeln? Nach zähen Verhandlungen gab es den Kompromiss, einen Übergangsstecker zu entwickeln, durch den NIM-Einschübe in einem CAMAC-Crate zum Einsatz kommen konnten.

Einen Eindruck von den Verflechtungen der Studiengruppe mit anderen Gremien und Instituten mag die Abbildung 5 vermitteln.

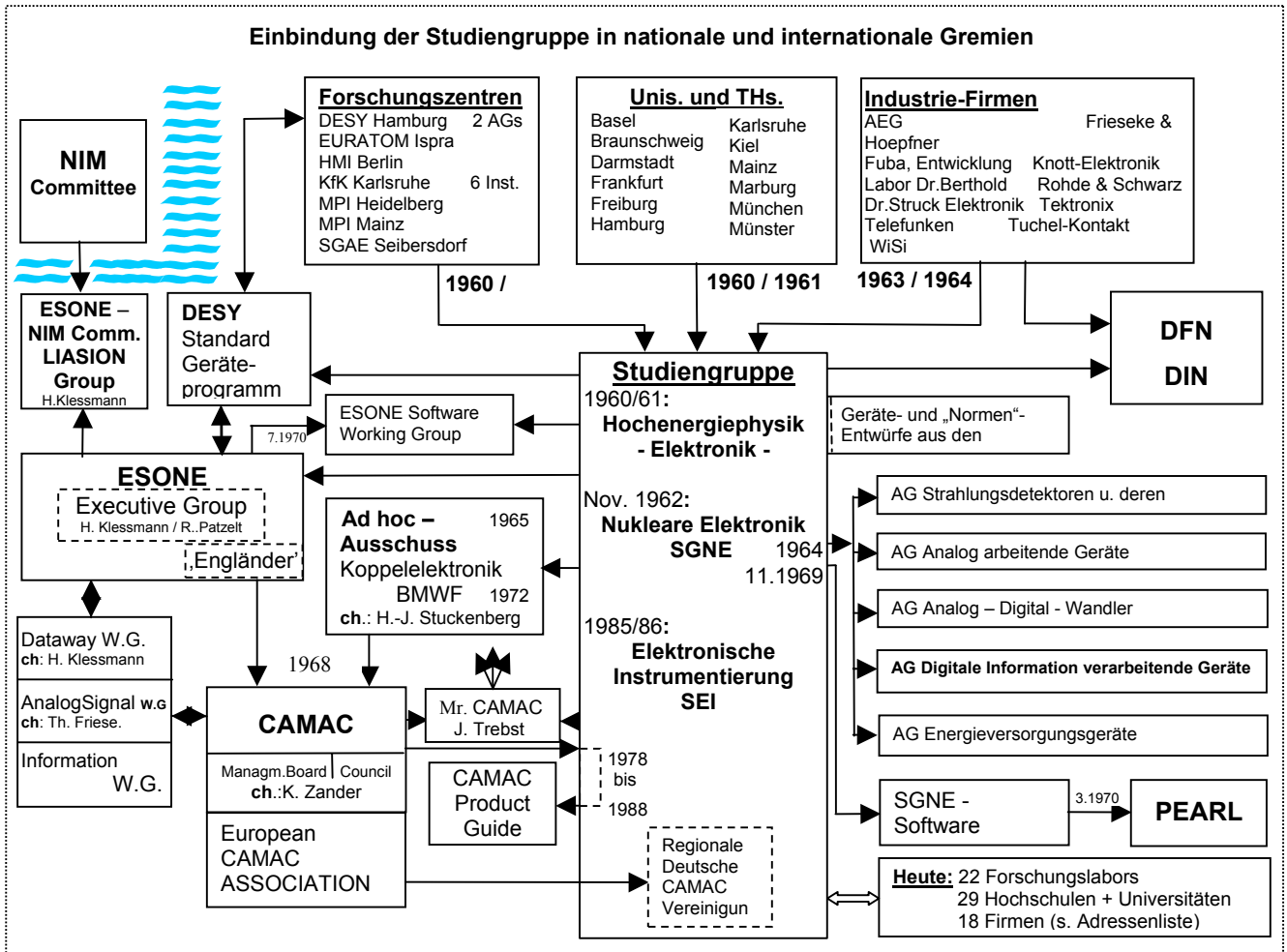


Abb. 5: Einbindungen der Studiengruppe

Aber es gab auch viel Kritik, dass die Studiengruppe sich so sehr auf ESONE und vor allem CAMAC geworfen hat; denn für grundsätzliche Fragen der Elektronik-Entwicklungen schien nicht genug Platz zu bleiben, und die Programmier-Probleme, die der Einsatz von CAMAC mit sich brachte, waren vielen Teilnehmern zu speziell. Deshalb wurden diese Fragen auch überwiegend in den Untergruppen behandelt. Deren Obmänner trugen dann aber ihre Statusberichte in den Studiengruppensitzungen vor - und entfachten dort nicht selten lebhaft (und tendenziell längliche) Diskussionen – wie in den Anfangsjahren der Studiengruppe die Diskussionen um die „Nukleare Elektronik“ hochschlugen.

Es wurde aber auch immer wieder zurückgesteuert, insbesondere durch Vorträge aus den Gastgebenden Instituten, in denen verstärkt die Physik und die Hintergründe für die Entwicklungsaufgaben der Elektroniker und Ingenieure erläutert und damit neue inhaltliche Schwerpunkte gesetzt wurden.

In den 80-er Jahren schoben sich zunehmend Elektronik-Probleme aus nicht nuklearen Bereichen in den Vordergrund. Und wie bekannt, geriet das „Nukleare“ in der Öffentlichkeit ziemlich heftig in Verruf. In der Suche nach einem neuen Namen fand der Vorschlag von Prof. H. Leopold aus Graz den meisten Beifall. In Erlangen wurde 1985 beschlossen, die „Studiengruppe für Nukleare Elektronik“ in „**Studiengruppe für elektronische Instrumentierung**“, **SEI** umzubenennen. Um die Abkürzung gab es noch einige Diskussionen. Schließlich wurde aber die ontologische Semantik geradezu als Programm akzeptiert.

An dieser Stelle wird es Zeit, etwas zu sagen über die

#### Finanzierung der Studiengruppe.

Mir ist nicht bekannt, welches Ministerium 1961 die Finanzierung der Studiengruppe übernommen hat. 1966 jedenfalls wurden die Finanzen vom BMWF (Bundesministerium für wissenschaftliche Forschung) zurückgefahren, aufgrund unserer Anträge von Marburg aus aber erneut bewilligt. Die Gesamtkosten lagen bei ca. 30.000 DM pro Jahr.

Im Zusammenhang mit den starken internationalen Einbindungen der Studiengruppe, konnten die Beträge gesteigert werden. In den besten Jahren (ca. 1969 bis 1977) hatten wir über 75.000 DM pro Jahr zur Verfügung, um internationale Kontakte, z.B. auch USA-Aufenthalte, von Studiengruppenmitgliedern zu finanzieren. Seit 1984 war das BMFT für uns zuständig, und wir wurden von der Fachgruppe „Nuklearphysik“ betreut. Die Finanzen wurden wieder knapper. Unsere Anträge wurden sehr restriktiv behandelt<sup>15</sup>. Neben unseren Verwaltungskosten (Papier, Druck und Porto) durften nur noch einer Person aus jeder Institution Reisekosten finanziert werden.

Als unser Name nicht mehr „nuklear“ war, wurde die Studiengruppe sofort aus dem Förderprogramm „Nuklearphysik“ herauskatapultiert. Für etwas so Exotisches, wie diese Gruppe, von dem man nicht einmal sagen konnte, „wie viel durch ihre Arbeit gespart würde“, gab es keinen anderen Förderungstopf im Ministerium.

Auch der Fachbereich Physik der Uni Marburg ebenso die Philipps-Universität selber wollten oder konnten (nicht einmal für die Verwaltungskosten) einspringen.

#### Die Rolle der Industrie

Wie bereits erwähnt, hat die Studiengruppe fast von Beginn ihrer Arbeit an engen Kontakt zur Industrie gehabt. Das war für beide Teile nicht immer einfach. Insbesondere in den Bauteile- und Geräte-Informationen der ersten Jahre mussten sich die Herren<sup>16</sup> der Industrie oft sehr harsche Kritik anhören. Z.B., wenn die Geräte die Angaben in den Datenblättern nicht einhielten. Andererseits wollten Studiengruppenmitglieder sich nicht zu früh von der Industrie über die Schulter gucken lassen. Aber das hat sich alles im Laufe der Jahre gegeben. Jahrelang (mit kleinen Unterbrechungen bis heute) hat die Industrie mit der Ausstellung ihrer neuesten Produkte unsere Sitzungen bereichert. Umgekehrt haben die Industrievertreter immer wieder betont, wie wertvoll ihnen die Fachgespräche mit den Gruppenmitgliedern sind.

Oft bin ich von den Herren gefragt worden, ob sie ein Standgeld für ihre Ausstellung zu zahlen hätten. Wir haben verneint. Wie hätten wir es denn auch verbuchen sollen?

In der Stunde der Geldnot aber kam die rettende Idee: Das Standgeld kann in Form von Spenden an die Philipps-Universität überwiesen und der Studiengruppe zur „freien“ Verfügung gestellt werden. Damit haben sich alle Beteiligten einverstanden erklärt, und so

---

<sup>15</sup> D.h. unsere Anträge mussten immer detaillierter und minutiös begründet, also immer umfangreicher sein.

<sup>16</sup> In den ersten Jahren gab es keine Damen aus der Industrie als Sitzungsteilnehmerinnen, aus den Instituten nahm sehr früh Frau Barthel aus der GfK Karlsruhe regelmäßig teil.

war das Überleben der Studiengruppe 8 Jahre lang gesichert. Dafür gilt allen unseren Ausstellern ein ganz großer Dank.

Die Erstattung von Reisekosten der Teilnehmer war ab dem Zeitpunkt Sache der jeweiligen Institutionen. Letztendlich hat auch das geklappt. Aber bei einigen Teilnehmern stellte sich jedes Mal die Frage: „Fahre ich zu einer Sitzung, oder kaufe ich ein Gerät?“

Inzwischen hat sich die Frage der Verwaltungskostenfinanzierung entschärft, es braucht niemand mehr Angst zu haben, die Studiengruppe sei von der Industrie abhängig.

### Publikationen der Studiengruppe

Aus der Feder der beiden Herren v.Goeler und Nentwig fanden sich bisher unbeachtete Tagungsberichte für einige der ersten Studiengruppensitzungen und Jahresberichte für 1964 und 1965<sup>17</sup>, Aus diesen Berichten wissen wir von **drei Studiengruppensitzungen**, die **bisher unbekannt** waren und deshalb in unseren Listen bis zum heutigen Tage nicht enthalten sind<sup>18</sup>.

Herr Stuckenberg seinerseits war der Autor von „internen“ Mitteilungsblättern, die er „Transistors Abendblatt“ nannte. Sechs Ausgaben erschienen von Juli 1962 bis Mai 1965. In ihnen waren die neuesten Informationen aus der „Elektronik- und Studiengruppen-Welt“ zusammengestellt und – in seiner unnachahmlichen und beliebten Art – humoristisch aufgelockert.

### Bauelemente-Information

Die erste richtige „Publikation“ unserer Gruppe war die Bauelemente Information von unserem Ehren-Doktor Th. Friese. Wie schon erwähnt, fanden bereits in den ersten Studiengruppensitzungen intensive Diskussionen über Geräte und Bauelemente statt. Treibende Kraft und Moderator war Th. Friese. Ab 1969 wurden Listen der behandelten Bauelemente, Ergebnisse der Diskussionen und Ergänzungen in schriftlicher Form festgehalten und an unsere Mitglieder verschickt. Herrn Friese gelang es obendrein, durch „passende“ Randbemerkungen, die dröge Lektüre erfreulich aufzulockern. Diesen Stil übernahm dann auch Herr Götze, der Herrn Friese zunehmend unterstützte und ablöste. Später wurde auch der Tagesordnungspunkt „Bauelemente-Information“ von Frieses Mitarbeitern bestritten. Aber seine Handschrift blieb unverkennbar. Wir können Herrn Friese gar nicht genug dafür danken. Aber auch Frau Völker sei Dank, die Verpacken, Adressieren, Frankieren und Versand zusätzlich zu besorgen hatte.

Die Bauelemente-Informationen bildeten den Anfang, überhaupt Informationen über die Sitzungen an die Mitglieder zu versenden (zur Erinnerung bzw. für die, die nicht teilnehmen konnten).

### Tagungsberichte

Ab 1970 wurden Kurzfassungen der Vorträge zusammengestellt und -(aus Personal- und Infrastruktur-Gründen) nur einfach „geheftet“- verschickt. Ein besonderer Mangel war dabei, dass die „Veröffentlichungen“ in dieser Form nicht zitierfähig waren.

Das änderte sich mit dem Übergang der Leitung an Dr. Gabriel. Das **Forschungszentrum**

---

<sup>17</sup> Offenbar als interne Papiere gedacht, z. B. für Finanzierungsanträge; denn ich kann mich nicht erinnern, einen dieser Berichte früher gesehen oder gar gelesen zu haben.

<sup>18</sup> Wiederentdeckte Sitzungen: 3. Sitzung: DESY Hamburg, 29.5.1962, Tagungsbericht E.v.Goeler  
7. Sitzung: KfK Karlsruhe, 23./24.1.1964, Jahresbericht 1964, H.Nentwich  
9. Sitzung: MPI Heidelberg, 21./23.10.1964, Jahresbericht 1964, H.Nentwich

**Rossendorf** konnte die „gebundenen“ Tagungsberichte mit einer FZR-Nummer versehen und damit **zitierfähig** machen. Ein wichtiger Punkt; denn so kann man auch neueste Forschungsergebnisse oder entsprechende Pläne –und die möchten wir ja gerade hören– bekannt machen, ohne den Urnehmerschutz zu verlieren.

Seit der Leitung durch Dr. Wulf ist entsprechend die Vergabe von ISSN-Nummern möglich – und die Berichte sind nun im Internet, auf CD oder als Hochglanzbroschüre verfügbar.

### Die D-Programme

Ein wesentliches Anliegen der Studiengruppe war stets das gegenseitige Kennen lernen. Das betraf nicht nur die Personen, sondern auch ihre Heimat-Institutionen. So war mit jeder Sitzung auch der Tagesordnungspunkt „Besichtigung“ des ausrichtenden Instituts bzw. der Labors. Die Rundgänge waren stets informativ –und oft hochinteressant–, aber wenn mehrfach an einem Institut getagt wurde, war es schwer, etwas Neues zu zeigen. Deshalb entstand die Idee, über den Rand der Institute hinaus zu sehen. Das Eis war ja gebrochen, als wir das erste, und bisher einzige Mal, nicht in einem Institut getagt haben: 1972 in Dunes. Einziges „technisches“ Besichtigungsobjekt war dort ein „Dampfer“ – und mit dem sind wir dann nach Helgoland gefahren.

Nach und nach entwickelte sich der **Dienstagnachmittag** zum Besichtigungstermin, immer wieder in unseren Instituten, aber gelegentlich mehr oder weniger weit entfernt vom Institut und (auch) „elektronischen“ Fragen: Ein breites und hoch interessantes Spektrum von der Technik bis zur Kultur<sup>19</sup>:

- 9 1972 Helgoland, Duhnen
- 3 1975 Flugerprobungsstelle Manching: MRCA-Tornado, Garching
- 3 1981 Elektronikzentrum der Post im Fernsehturm München, Martinsried
- 3 1982 Leiterplattenfertigung, Marburg
- 3 1983 Sonnenobservatorium Schauinsland, Freiburg
- 10 1983 Deutsches Wetteramt Offenbach, Frankfurt
- 3 1984 Gutenberg Druckerei, Mainz
- 3 1985 Tagebau Hambach, Jülich
- 4 1986 Sternwarte GAP, Pic de Bure, Grenoble
- 9 1986 Kernkraftwerk Philippsburg, Karlsruhe
- 10 1987 AMI Halbleiterfertigung, Graz
- 3 1989 Umwelt-Waldschäden, Erlangen
- 10 1989 Plantin-Moretus: MA Druckerei (Antwerpen), Geel
- 3 1991 Gickelhahn, Ilmenau
- 3 1994 Einsteinturm (Babelsberg), Berlin
- 3 1994 MA Kornmühle (Brückermühle) / Friedensstein / Sprengstoffgelände (Stadtallendorf), Marburg
- 9 1997 Flugsimulator, Frankfurt
- 9 1998 AVAX –Stützpunkt (Geilenkirchen), Jülich
- 3 1999 Opelwerke, Bochum
- 9 1999 Sächsische Schweiz: Burg Breitenstein, Rossendorf
- 3 2000 ESA / Heidelberger Druckmaschinen, Heidelberg
- 9 2000 Ernst-Reuter-Kraftwerk, Berlin
- 4 2001 Ägypten-Ausstellung, Karlsruhe
- 9 2003 Planetarium / Bergbaumuseum, Bochum

Hier ist eine gute beste Stelle, auch unsere Damen zu erwähnen. Ehefrauen, Verwandte und Bekannte, nahmen die Gelegenheit wahr, an den Tagungen teilzunehmen, bzw. die jeweiligen Städte zu besichtigen. Zunächst waren die örtlichen Veranstalter bemüht, ein „Damenprogramm“ zu organisieren, später haben das unsere (inzwischen befreundeten)

---

<sup>19</sup> Die Liste ist leider nicht vollständig; da keine Dokumentation darüber existiert; denn die Tagesordnungen sind fast nie in den Sitzungsberichten enthalten.



Damen selbst in die Hand genommen. Meist haben sie auch an unseren Instituts-Besichtigungen teilgenommen, und erst recht bei den externen Besichtigungen mitgemacht.

Zum Schluss:

Ich habe immer wieder Namen genannt. Das bringt mich am Ende in eine schwierige Situation: Viele Namen von weiteren Damen und Herren wären zu nennen, die sich um die Studiengruppe verdient – zum Teil sehr verdient – gemacht haben. Jede Aufzählung wäre aber unvollständig; denn letztlich haben alle „Mitglieder“ der Gruppe und auch die Vertreter aus der Industrie ihren Teil zum Gelingen und Leben der Gruppe beigetragen. Um alle zu nennen, wären über 400 Namen mit Bemerkung und Erklärung aufzuzählen. Das würde den Rahmen meiner Ausführungen sprengen und ich würde auch dann nicht allen gerecht werden können. Deshalb bitte ich, alle Genannten jeweils als pars pro toto zu sehen. Allen Nichtgenannten gilt unser vielfältiger Dank und unser aller Anerkennung in gleicher Weise.

Mit besonderem Dank möchte ich an unsere verstorbenen Mitglieder denken, die fast alle zu den aktivsten der frühen Jahre gehört haben. Auch hier kann ich nur die nennen, von deren Tod ich gehört habe. In ehrendem Gedenken nenne ich hier ihre Namen:

**Dipl.-Phys. Akolk, TU Braunschweig / DESY Hamburg**  
**Dr. Wolfgang Attwenger, RZ Seibersdorf**  
**Prof. Dr. Ulrich Cappeller, Phys. Inst. Marburg**  
**Dipl.-Ing. Gerhard Ebeling, PTB Braunschweig**  
**Prof. Dr. Werner Kessel, IKF Frankfurt / TU Berlin**  
**Dr. Gerd Klasmeier, Phys. Inst. Würzburg**  
**Dipl.-Ing. Horst Klessmann, HMI Berlin**  
**Dipl.-Ing. Alfred Krolzig, DESY Hamburg**  
**Dr. Rainer Kurz, KfA Jülich**  
**Dr. Horst Meyer, EURATOM Geel**  
**Dipl.-Ing. Rainer Staudte, IKF Frankfurt**  
**Dr. Hans-Joachim Stuckenberg, DESY Hamburg**

### Zusammenfassung und Ausblick:

Ich hoffe, ich konnte Ihnen vermitteln, dass heute die 88. Sitzung der Studiengruppe SEI stattfindet.

Wenn ich in die Zukunft blicke, habe ich keine Zweifel, dass die Gruppe noch etliche Jahre erfolgreich weiterarbeiten kann. Wenn es dabei mit zwei Sitzungen pro Jahr weiter geht, wird im

## **Frühjahr 2010**

die

### **100. Sitzung**

stattfinden. Das könnte ein großes Fest werden.

Folgt man meinen Überlegungen zum Gründungsdatum mit März 1960, ist gleichzeitig das

## **50-jährige Bestehen**

der Studiengruppe

### **SEI**

zu feiern.

Dazu wünsche ich viel Glück und nachhaltigen Erfolg.

Aufhören möchte nicht, ohne einen herzlichen Dank an alle auszusprechen, die mich beim Zusammentragen des Materials für diesen Rückblick unterstützt haben:

**Fr. Kriesten, Dr. Th. Friese, Dr. F. Wulf; Berlin  
Fr. E. Völker, Dr. R. Thielmann; Marburg  
Fr. H. Breitenstein, Dr. F. Gabriel; Rossendorf**



28.75  
27.62 43.6%  
27.01 42.1%

22.68  
10100000

19.78 61.45 23.56 45.63  
75.34 45.53 56.37 34.58  
98.37 34.58 54.32 36.85  
45.83 74.36 58.65 78.54  
31.64 56.36 56.83 34.53  
23.32 45.37 56.28 59.47

76.34 23.53 56.07 34.58  
56.37 34.58 54.32 36.85  
45.83 74.36 58.65 78.54  
31.64 56.36 56.83 34.53  
23.32 45.37 56.28 59.47

26 23 45 31 36  
34 25 53 58 31 36  
37 34 58 58 31 36  
83 56 56 56 56 56 56  
66 45 53 53 53 53 53  
32 25 53 53 53 53 53

24 78

000011010111

010  
1010  
0100

**bustec**

# Einführung zu Bustec

**ProDAQ**



- Bustec wurde im Februar 97 in Shannon gegründet
- Bustec Inc. im September 2000 in Cleveland
- ISO 9001 im Oktober 2000
- ProDAQ Boards von Siemens in Deutschland gefertigt
- Kunden:
  - Bosch
  - VDO
  - Eurofighter
  - Airbus Industries
  - Alcatel
  - Alstholm
  - Peugeot
  - Daimler Chrysler
  - EDF
  - PSI
  - LRBA
  - Boeing Rocketdyne
  - Hughes Aircraft
  - Los Alamos
  - Northrop Grumman
  - TRW
  - Lockheed Martin
  - Honeywell Space-Systems
  - NASA
  - General Electric
  - General Dynamics
  - IBM

28.75  
27.62 43.6%  
27.01 42.1%

22.68  
10100000

19.78 61.45 23.56 45.63  
75.34 45.53 56.37 34.58  
98.37 34.58 54.32 36.85  
45.83 74.36 58.65 78.54  
31.64 56.36 56.83 34.53  
23.32 45.37 56.28 59.47

76.34 23.53 56.07 34.58  
56.37 34.58 54.32 36.85  
45.83 74.36 58.65 78.54  
31.64 56.36 56.83 34.53  
23.32 45.37 56.28 59.47

26 23 45 31 36  
34 25 53 58 31 36  
37 34 58 58 31 36  
83 56 56 56 56 56 56  
66 45 53 53 53 53 53  
32 25 53 53 53 53 53

24 78

000011010111

010  
1010  
0100

**bustec**

# Was ist der ideale Bus?

**ProDAQ**

- Bussauswahl
  - Wofür ?
  - Was sind Ihre Bedürfnisse ?
  - Viel Rechenleistung
  - Schnelle Regelung
  - Hohe Messgenauigkeit
  - Viele Mess- und/oder Steuerkanäle
  - Wie sind diese verteilt ?

# Vergleich verschiedener Busse

**ProDAQ**

	GPIB	USB 2.0	IEEE1394 "Firewire"	VME	VXI	PXI	CPCI	PCI
<b>Data throughput</b>	Cable connections			Backplane Busses				
- theoretical [MBytes/sec]	1	60	100	320	160	132	132, 264	132
- achievable [MBytes/sec]	0.5	40	80	200	100	40	40, 80	40
<b>Real-time Capability</b>	yes	yes	yes	yes	yes	limited	limited	no
<b>Synchronisation</b>	no	yes	yes	no	yes	yes	no	no
<b>Analog Accuracy</b>	high	high	high	middle	high	middle	middle	small
<b>Defined SW Drivers</b>	no	yes	yes	no	yes	yes	no	no
<b>Open SW Platform</b>	yes	yes	yes	yes	yes	no	yes	no
<b>Size</b>	large	small	small	small-middle	middle	small-middle	small-middle	small
<b>Nb. of vendors</b>	> 500	< 30	< 5	> 100	> 100	8	< 30	> 1.000
<b>IEEE Standard</b>	yes	no	yes	yes	yes	no	no	no
<b>Price</b>	high	low	low-middle	middle	middle	middle	middle	very low

# Gründe für den VXIbus

**ProDAQ**

als Mess- und Instrumentierungsbus

- Gut etablierter IEEE Standard
- Über 100 bekannte Hersteller
- Über 2000 verschiedene Module
- Standardisierte SW Treiber mit jedem Produkt
- Gute analoge Genauigkeit





## Gründe gegen den VXIbus

**ProDAQ**

- Historisch zum Teil zu teuer
- Historisch zu wenig Daten-Bandbreite, weniger wie VME



## Was bringt Bustec/ProDAQ

**ProDAQ**

- Sehr hohe Datenbandbreite
- VXIbus 3.0 dank Bustec
- Erfüllt sehr harte Echtzeitanforderungen
- Sehr hohe analoge Genauigkeit
- Sehr hohe, skalierbare Kanalzahlen/Slot
- Bis zu 8 verschiedene Funktionen/Slot
- Dadurch kleine Systeme mit hoher Kanaldichte
- DSP's/Slot => sehr schnelle Steuerung
- Kostenersparnisse bis zu 50%

28.75  
27.62 43.6%  
27.01 42.1%

22.68  
1010000

49.74	61.45	73.56	45.63
75.34	45.53	56.37	34.58
98.37	34.58	54.32	36.86
45.83	74.36	58.65	78.54
33.64	56.36	56.83	34.53
23.32	45.37	56.28	59.47
76.34	25.93	56.07	34.58
56.27	34.58	54.32	36.86
45.83	74.36	58.65	78.54
33.64	56.36	56.83	34.53
23.32	45.37	56.28	59.47

26 23 45 31 36  
34 25 53 56 37  
37 74 36 58 65 78 54  
83 56 36 56 83 34 53  
66 45 37 56 28 59 47

000011010111

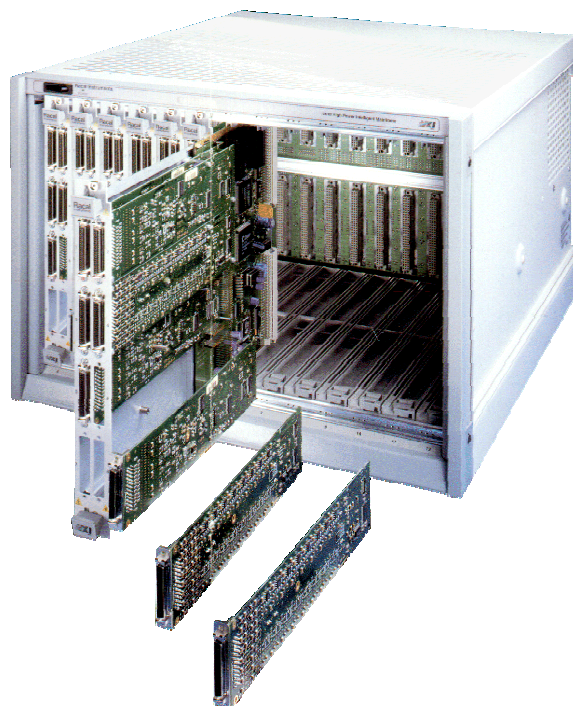
010  
1010  
0100

**bustec**

# ProDAQ Konzept

**ProDAQ**

Mutterkarte -  
Funktionskarten  
Ansatz



28.75  
27.62 43.6%  
27.01 42.1%

22.68  
1010000

49.74	61.45	73.56	45.63
75.34	45.53	56.37	34.58
98.37	34.58	54.32	36.86
45.83	74.36	58.65	78.54
33.64	56.36	56.83	34.53
23.32	45.37	56.28	59.47
76.34	25.93	56.07	34.58
56.27	34.58	54.32	36.86
45.83	74.36	58.65	78.54
33.64	56.36	56.83	34.53
23.32	45.37	56.28	59.47

26 23 45 31 36  
34 25 53 56 37  
37 74 36 58 65 78 54  
83 56 36 56 83 34 53  
66 45 37 56 28 59 47

000011010111

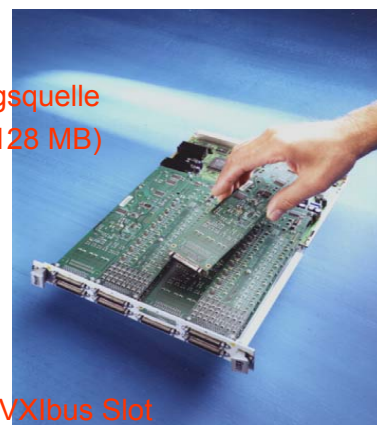
010  
1010  
0100

**bustec**

# ProDAQ Konzept

**ProDAQ**

- Modulares Konzept
  - Mutterkarte & Funktionskartenansatz
  - Optionale onboard programmierbare Spannungsquelle
  - Optionales onboard Dual - ported Memory (128 MB)
  - Optionale onboard DSP's
- Vorteile
  - Bis zu 8 beliebig versch. Funktionskarten pro VXIbus Slot
  - Bis zu 384 Kanäle pro Slot (192 differentielle Kanäle)
  - 20 - 25 MB/sec kontinuierlicher Datendurchsatz
  - Weniger wie 200 nsec "Interrupt Response Time"
  - Kompletter PID-Loop in weniger wie 2 µsec
  - Einfache Entwicklung spezieller Funktionskarten
  - "On the Fly" Kalibrierung (mit bis zu 0.001% Genauigkeit)









28.75  
27.62 43.6%  
27.01 42.1%

22 68 1 8  
1 0 1 0 0 0 1 1 1 1 1 1  
0 0 0 0 1 1 0 1 0 1 1 1 1 1

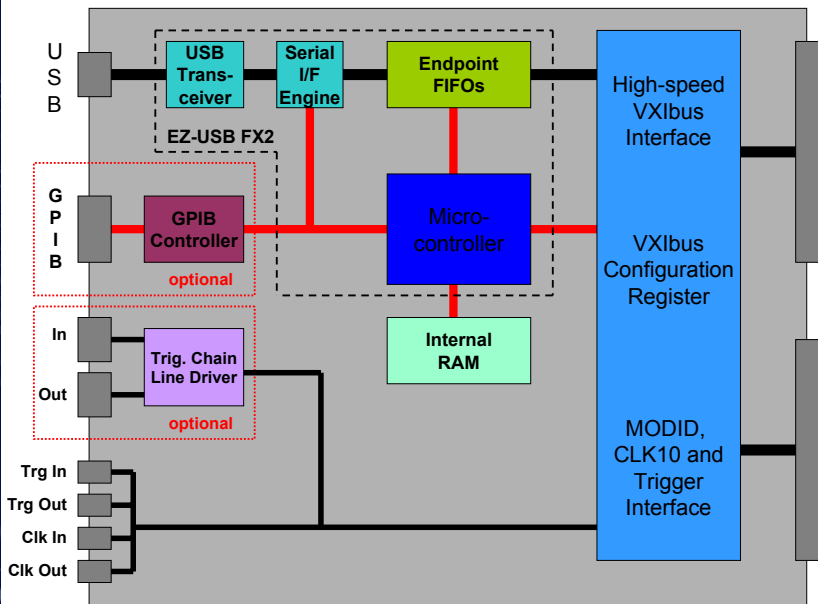
0010  
1010  
0100

**bustec**

# ProDAQ 3020

## USB2.0 Slot-0 Controller

**ProDAQ**



- C-Size, single slot
- USB 2.0 Port
- Trigger In/Out
- Clock In/Out
- Complete Trigger I/O for Trigger Chaining, in the 3020-BA version
- With optional GPIB port
- 32 MB/sec sustained incl. SW
- Configurable Slot-0/ non-Slot-0 operation

Besteht Bedarf für solch ein VME-board?

28.75  
27.62 43.6%  
27.01 42.1%

22 68 1 8  
1 0 1 0 0 0 1 1 1 1 1 1  
0 0 0 0 1 1 0 1 0 1 1 1 1 1

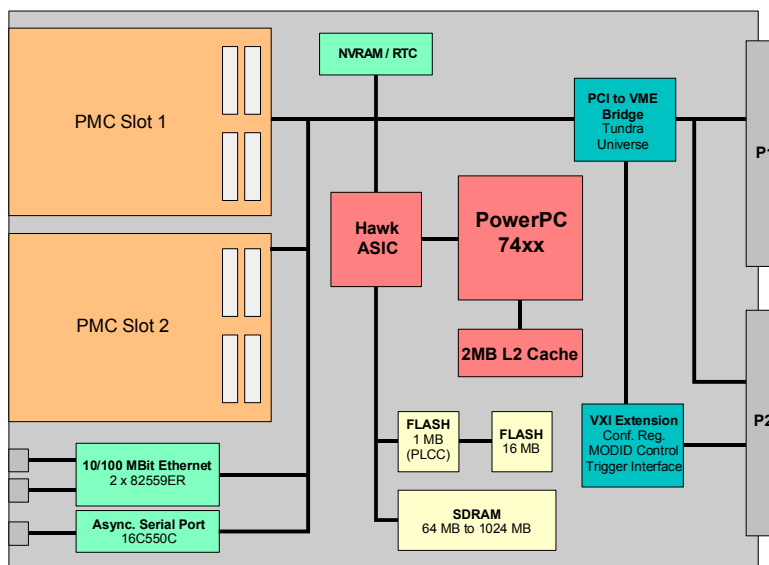
0010  
1010  
0100

**bustec**

# ProDAQ 3042/3

## PowerPC-based Embedded Slot-0 Controller

**ProDAQ**



- C-Size, single slot
- 500/1000 MHz G4 PowerPC with up to 2MB cache
- 27MB/sec throughput
- 512 MB to 1GB on-board ECC-protected DRAM
- 16 + 1 MB FLASH
- Two 10/100/1000 Mbit Ethernet Interfaces
- Configurable Slot-0/ non-Slot-0 operation
- Two PMC slots for expansions

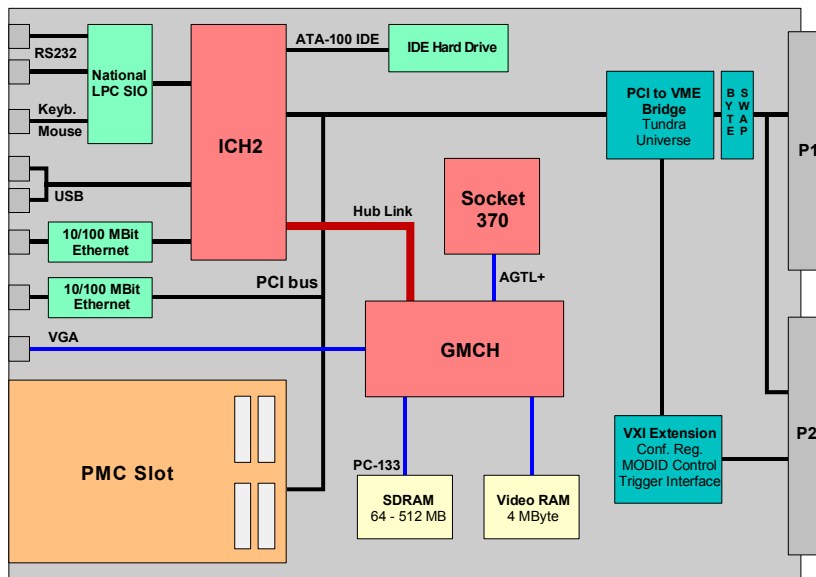




# ProDAQ 3045/6

Pentium-based Embedded Slot-0 Controller

**ProDAQ**



- C-size, single slot
- 1.3/2.2 GHz Pentium III/IV processor with 133/400 MHz system bus
- Up to 512 MB/1GB SDRAM
- 23MB/sec throughput
- Two 10/100/1000 Mbit ethernet interfaces
- Keyboard, Mouse, USB, RS232 I/O via front panel
- IDE Hard Drive
- PMC expansion slot
- Slot-0/non-Slot-0 operation (progr.)



# Software Support

**ProDAQ**

**Bustec Slot-0 Controller are shipped with:**

- Standard VXI *plug&play* compatible VISA-Library
- VXI Resource Manager

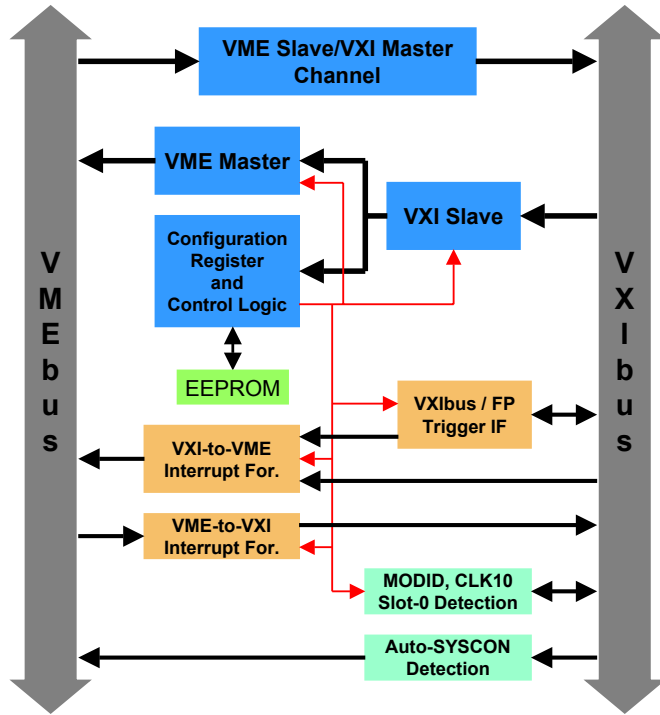
**Supported Operating Systems:**

- Linux all Slot0's
- Windows 2000/XP (ProDAQ 3045/6 and 3020)
- VxWorks (ProDAQ 3042/3 and 3045/6)



# ProDAQ

## ProDAQ 3040 6U VME to C-Size VXI Adapter

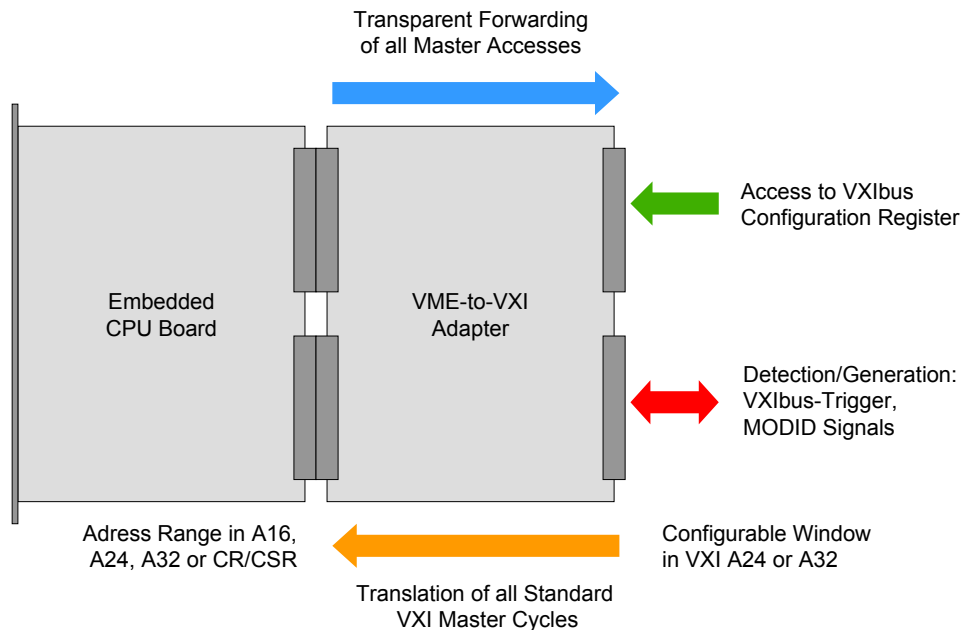


- VME64x compatible VME-Interface
- VXIbus Spec. Rev. 2.0 compatible VXI-Interface
- Transparent forwarding of all VMEbus Master-Accesses to the VXIbus
- Integration of the VME Slave Access into the VXIbus Resource Management
- VXI-to-VME and VME-to-VXI Interrupt Forwarding and Vector-Translation
- VXIbus-compatible Configuration Register
- VXIbus and Front-panel Trigger Interface, MODID Support, CLK10 Generation
- Auto-SYSCON Detection and Forwarding



# ProDAQ

## ProDAQ 3040 6U VME to C-Size VXI Adapter

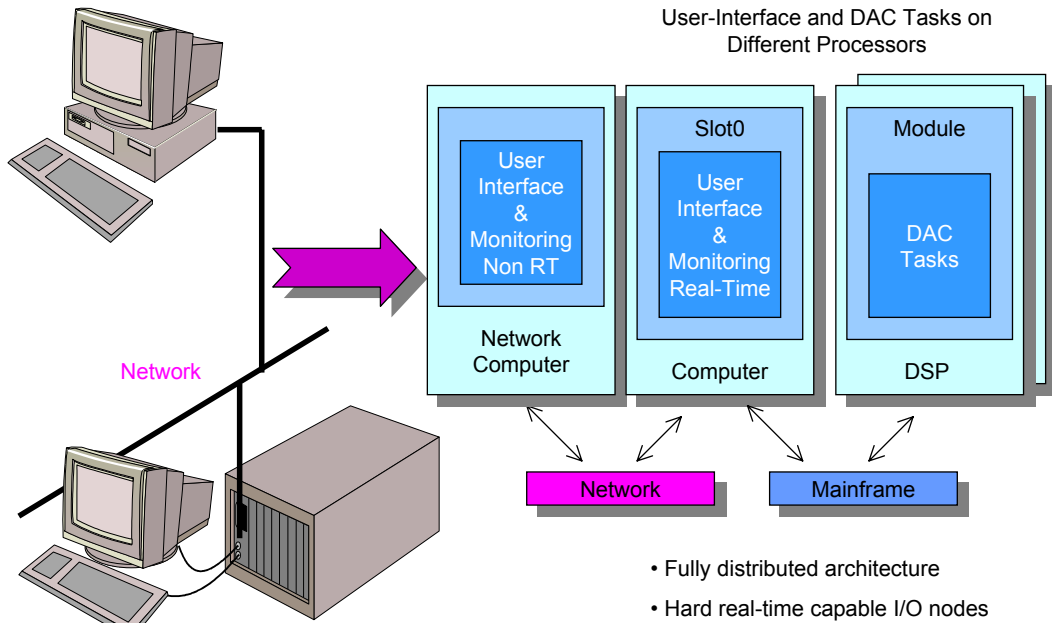






# ProDAQ Software

**ProDAQ**



# Was ist der Bus der Zukunft

**ProDAQ**

- Die Ära der parallelen Backplanebusse ist vorbei
- VXIbus war der letzte **gute** Mess- und Instrumentierungsbus
- Es werden serielle Busse mit/ohne "Crossbar Switchen" kommen
- Wann ?
- Weiss ich nicht !! Frühestens in 3-5 Jahren
- Welcher ?
- Time will show !! (Rapid I/O, 3GIO)
- Glaube ich an PXI?
- **Nein**, denn das bringt dem Anwender keinen Vorteil!!!
- Aber man sollte die Marketingmacht von NI nicht unterschätzen



# Zusammenfassung

- VXIbus ist in der Messtechnik die beste Lösung für Anwendungen die hohe Messgenauigkeiten bei gutem Datendurchsatz erfordern
- Die ProDAQ **Produktpalette ist ständig am Wachsen**
- ProDAQ Produkte werden von **Siemens** für Bustec produziert
- ProDAQ wurde für **hohen Datendurchsatz, hohe Kanalzahlen** and **sehr hohe analoge Genauigkeit** entwickelt
- ProDAQ ist ein idealer Fit für **Echtzeitanwendungen**
- ProDAQ ist **30 – 50%** preiswerter wie Konkurrenzprodukte
- Der Bus der Zukunft wird serieller Natur sein



# Maximale Skalierbarkeit mit LabVIEW

Von der einfachen Datenerfassungsapplikation  
bis hin zur FPGA Lösung

Dipl.-Ing.(FH) Thomas Rönpage – National Instruments Germany

[ni.com](http://ni.com)



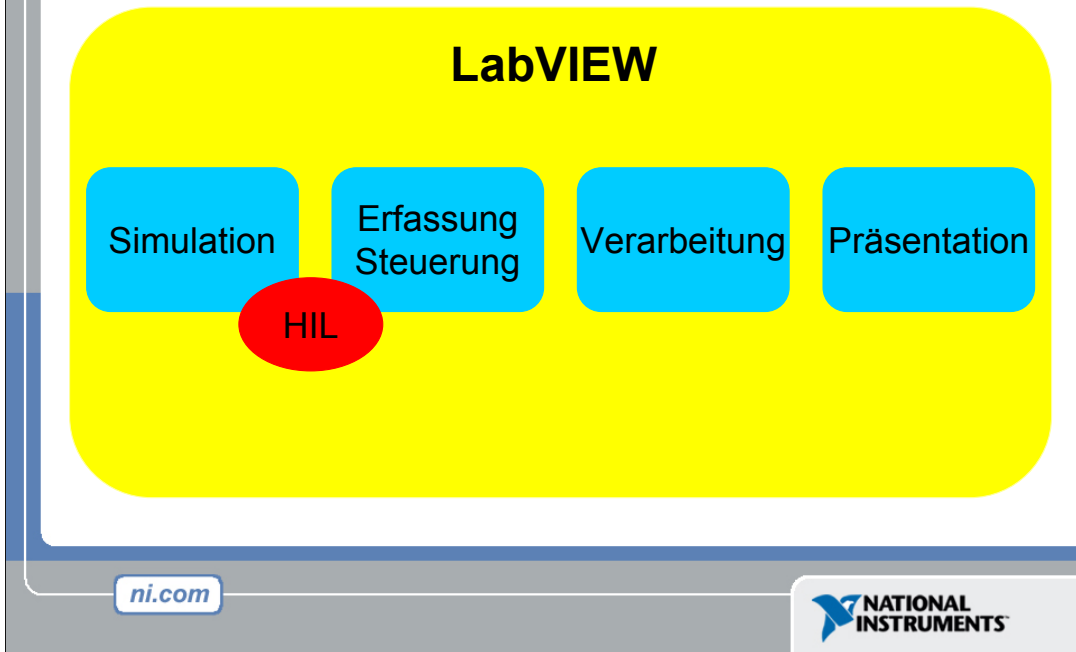
# Inhalt

- LabVIEW – die Integrationsplattform
- Simulation mit LabVIEW
- Erfassung und Steuerung mit LabVIEW
- Datenverarbeitung mit LabVIEW
- Präsentation mit LabVIEW und DIAdem

[ni.com](http://ni.com)



# LabVIEW – die Integrationsplattform



Die graphische Programmiersprache LabVIEW, die seit nunmehr 18 Jahren die Meß- Prüf- und Automatisierungstechnik revolutioniert hat, ist die Integrationsplattform für einen breiten Anwendungsbereich.

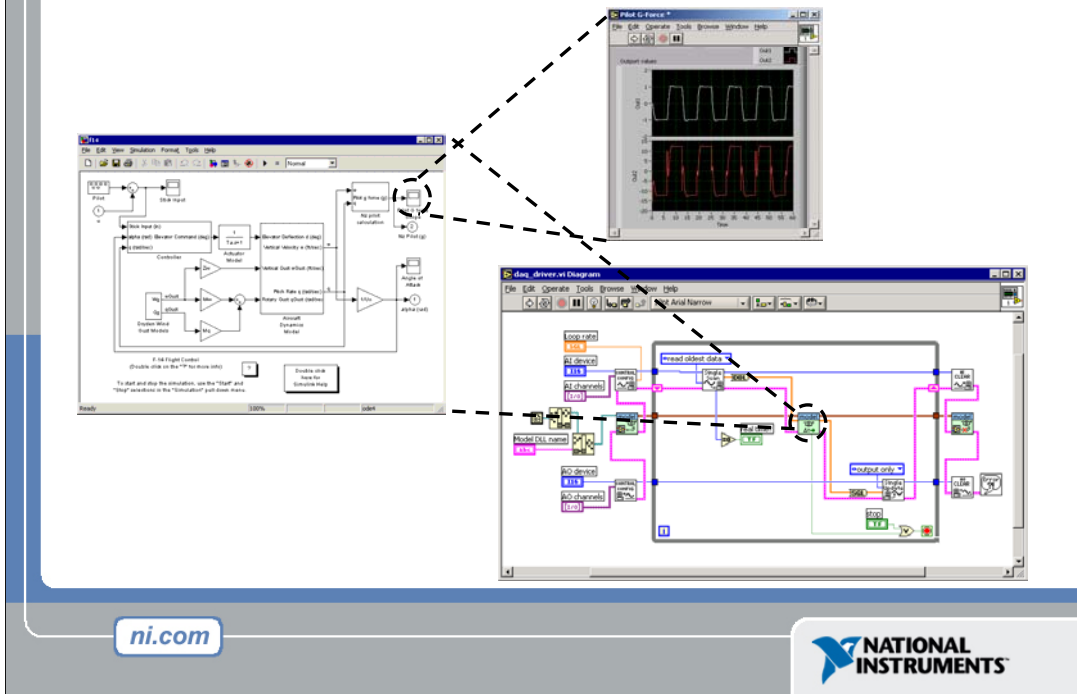
Im obigen Bild sind die Funktionseinheiten der Entwicklungsumgebung dargestellt. Neben den klassischen Aufgaben der Erfassung/Steuerung, Verarbeitung und Präsentation, ist in den letzten Jahren mit der Simulation ein neuer Aufgabenbereich herangereift.

Die Funktionseinheit der Simulation stellt dabei eine perfekte Ergänzung des klassischen Funktionsumfangs dar, die speziell von den vorhandenen Funktionen profitiert.

Der Austausch von simulierten Größen gegen reale Meßwerte wird durch LabVIEW zum Kinderspiel. Speziell durch die breite Hardwareplattform, die von National Instruments angeboten wird, lassen sich sehr leistungsfähige HIL Prüfstände realisieren.

Auch den Bereich der Datenpräsentation konnte National Instruments durch die Akquisition der Fa. GfS mit ihrem DIAdem deutlich ausbauen. Skalierte Ausdrucke, Höhenliniendiagramme und Schriftfelder sind nur einige Beispiele der leistungsfähigen Reporterstellung von DIAdem.

# Simulation mit LabVIEW



Da die Simulation im heutigen Produktentstehungsprozeß eine zentrale Rolle spielt und der Übergang von der Simulation zum realen Objekt einfach möglich sein soll, war die Integration in LabVIEW die logische Konsequenz.

LabVIEW bietet derzeit verschiedene Integrationsmöglichkeiten:

Es gibt ein Simulation-Interface-Toolkit, das eine Integration mit dem Simulink® von The MathWorks erlaubt. Hierbei ist es zum Einen möglich die Ein- und Ausgänge des Simulink®- Modells auf einer LabVIEW Oberfläche darzustellen und somit eine geeignete Visualisierung zu erzielen, und zum Anderen läßt sich ein Simulink®- Modell direkt in ein LabVIEW-VI konvertieren. Die Möglichkeit ein Simulationsmodell als LabVIEW-VI zur Verfügung zu haben ist besonders attraktiv, da über die Parameter des LabVIEW-VI's auf alle Prozeßparameter und Ein- und Ausgänge des Modells zugegriffen werden kann und somit die gesamte Hardware von National Instruments für dieses Modell zur Verfügung steht. An dieser Stelle kann LabVIEW seine Stärke der Skalierbarkeit voll ausspielen und dieses Modell VI auch unter dem LabVIEW-RT unter Echtzeitbedingungen laufen lassen.

Weiterhin bietet LabVIEW mit dem Math Interface Toolkit auch den umgekehrten Weg. Mit diesem Toolkit lassen sich LabVIEW-VI's in MEX-Funktionen integrieren, so daß beliebige LabVIEW-VI's auch aus dem MATLAB® aufgerufen werden können.

Mit der nächsten LabVIEW-Version wird National Instruments einen weiteren großen Schritt zur Integration von Simulationsanwendungen anbieten.

# Erfassung/Steuerung mit LabVIEW

- Großes Spektrum an Schnittstellen
  - Seriell, GPIB, CAN, Profibus, LIN...
- Dezentrale Komponenten
- Riesige Bandbreite an Datenerfassungskarten
  - DC ... 2,7 GHz
- Bilderfassung – Machine Vision
- Motorensteuerung – Motion
- Echtzeit / FPGA

ni.com



Die Erfassung und Ausgabe von Daten sowie die Kommunikation über Schnittstellen, stellt sicherlich die Kernfunktionalität einer Entwicklungsumgebung für die Meß- Prüf- und Automatisierungstechnik dar.

Es ist von entscheidender Bedeutung, dass die Entwicklungsumgebung flexibel und offen ist, damit alle notwendigen Daten eingelesen bzw. ausgegeben werden können. Dieser Punkt ist sei jeher eine der großen Stärken von LabVIEW, da National Instruments selbst mit über 1000 Produkten ein sehr breites Angebot bereithält und zusätzlich die Offenheit der Software eine Integration von 3rd Party Komponenten ermöglicht.

Die ständig wachsende Leistungsfähigkeit von PC's hat immer neue Applikationen ermöglicht. So sind heute Einsteckkarten im Bereich von 100 MHz oder sogar bis zu 2,7 GHz verfügbar, und es ist möglich geworden Bilddaten zu erfassen und mit einem Standard PC zu verarbeiten.

Da es im technischen Anwendungsbereich eine Vielzahl von Applikationen gibt, bei denen ein Echtzeitverhalten gefordert ist, was mit einem Windows basierten System nicht zu erreichen ist, hat National Instruments ein LabVIEW-Real Time im Angebot. Auch hier spielt die Skalierbarkeit wieder eine entscheidende Rolle. Der gleiche LabVIEW-Code der unter der Windows Entwicklungsumgebung läuft, kann auf ein Echtzeitsystem heruntergeladen werden.

Die aktuellste Ausprägung für die Realisierung von Echtzeitanwendungen stellt die LabVIEW FPGA Technologie dar, mit der es möglich ist direkt LabVIEW-Code in ein FPGA zu laden.



# Dezentrale Messstellen mit LabVIEW



ni.com

NATIONAL  
INSTRUMENTS

In der dezentralen Messtechnik kommen die Komponenten der Fieldpoint- oder Compact-Fieldpoint-Familie zum Einsatz. Diese Komponenten bieten Eingänge für übliche Sensoren, wie PT-100, DMS, Thermoelement, usw, sowie digitale Ein- und Ausgänge in der üblichen 24V-Technik.

Die Ankopplung dieser Fieldpoint-Bänke erfolgt über die Ethernet Schnittstelle, wobei es intelligente und passive Kommunikationsmodule gibt.

Bei diesen unterschiedlichen Konfigurationen kann LabVIEW seine Skalierbarkeit voll ausspielen. Das gleiche Programm, das bei den rein passiven Kommunikationsmodulen auf dem PC läuft, kann in die intelligenten Kommunikationsmodule heruntergeladen werden und läuft dort autark unter einem Echtzeit-Betriebssystem.

Ein spezieller Real-Time-Kommunikationsassistent ermöglicht die Verteilung der Applikation auf Knopfdruck.

# Klassische Instrumente mit LabVIEW

- NI 4070 – 6,5 digit DMM und 1,8MS/s Digitizer
- NI 5122 – 100MHz 14 Bit Digitizer
- NI 6552 – 100MHz Digital Waveform Analyser/Gener.
- NI 5404 – 100MHz Clock and Frequency Generator
- NI 5660 – 2,7 GHz RF Signal Analyser
- NI 5670 – 2,7 GHz RF Vector Signal Generator

[ni.com](http://ni.com)



Selbst der Bereich der klassischen Box-Instrumente für den Hochfrequenzbereich bleibt LabVIEW nicht länger verschlossen. Auch wenn es schon immer möglich war existierende Geräte über die entsprechenden Bus-Anbindungen (RS-232 oder GPIB) zu integrieren, gibt es nun eine Reihe von PXI-Einsteckkarten, die deutlich höhere Messgeschwindigkeiten und spezielle Funktionen anbieten.

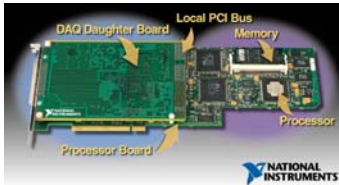
Ein gutes Beispiel für die Funktionsvielfalt ist die NI 4070. Diese Karte kann als hochgenaues DMM mit 6,5 Digits Genauigkeit bis zu 100Hz betrieben werden oder aber als High Speed Digitizer mit 1,8MS/s und 10Bit Auflösung.

Auch der 100MHz Messbereich ist mit drei neuen Karten gut besetzt. Es gibt einen zweikanaligen Digitizer mit einer Bandbreite von 100 MHz und einer Auflösung von 14Bit.

Für den Test von digitalen Bussen und Leitungen hält der 100MHz digitale Logikanalysator/Generator einige spezielle Funktionen bereit. Bei diesem Gerät läßt sich der Spannungspegel von -2V bis 5.5V in 10mV Schritten einstellen und die Zustände an den Ausgängen können zurückgelesen werden, um ein elektrisches Fehlverhalten des Busses zu erkennen.

Sogar der Gigahertz-Bereich ist mit zwei PXI-Einschüben besetzt und bietet sowohl einen Signal Analysator als auch einen Vektor Generator.

# Echtzeit mit LabVIEW



Einsteckkarte



PXI-System



Fieldpoint



Compact Vision System

[ni.com](http://ni.com)



Es gibt eine Vielzahl von Anwendungen, bei denen das Betriebssystem Windows aufgrund seiner nicht-deterministischen Eigenschaften ungeeignet ist. Zwar gibt es auch spezielle Echtzeitbetriebssysteme sowie Echtzeiterweiterungen für Windows, jedoch stehen dafür meist nur sehr spezielle und komplizierte Entwicklungssysteme zur Verfügung und die Investitionssicherheit ist aufgrund fehlender Zukunftsperspektive nicht gegeben.

Bei National Instruments war von Beginn an klar, dass man einem Anwender den Komfort, den er von Windows gewohnt ist, auch auf dem Echtzeitsystem bieten muss. Deshalb war das Ziel den ganz normalen LabVIEW-Code auf ein Echtzeit-Target herunterzuladen. Diese Lösung wurde Ende der neunziger Jahre erstmals angeboten.

Mittlerweile sind vier Klassen von Echtzeit-Zielsystemen entstanden:

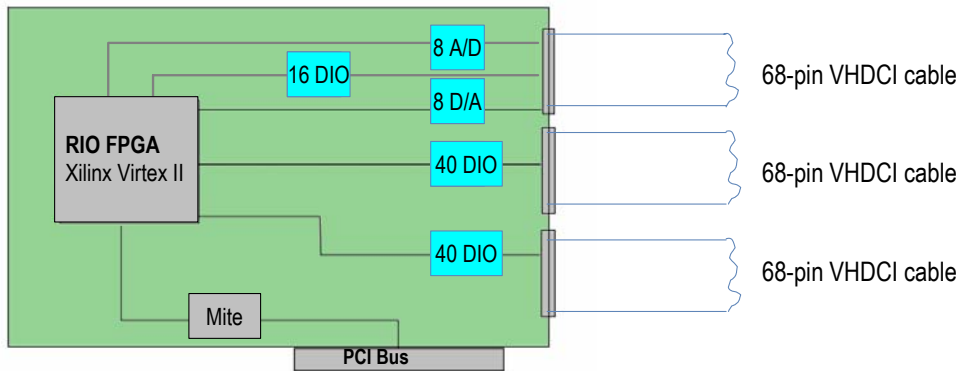
Die Einsteckkarte ist eine Datenerfassungskarte mit lokaler Intelligenz. Hier läuft das Echtzeitbetriebssystem auf dieser Einsteckkarte die zusätzlich über Analoge Ein- und Ausgänge, sowie digitale I/O's verfügt.

Für eine größere Skalierbarkeit bietet das PXI-System eine Lösung. Hier läuft LabVIEW-RT auf dem Controller, der über das Netzwerk an einen Windows-PC angeschlossen ist. Für das PXI-System gibt es neben den Datenerfassungskarten auch eine Echtzeitunterstützung für die Schnittstellen, CAN, IMAQ sowie 3rd Party-Komponenten.

Auch das dezentrale Fieldpoint System erlaubt den Download von LabVIEW-Programmen.

Die aktuellste Ausprägung der Realtime-Zielsysteme ist das Compact-Vision-System, welches den Betrieb von drei IEEE1394 Kameras erlaubt und als Machine-Vision-System autark arbeiten kann.

# LabVIEW im FPGA



ni.com

NATIONAL  
INSTRUMENTS

Mit der Möglichkeit LabVIEW-Code in ein FPGA zu laden wird die Skalierbarkeit von LabVIEW erst richtig deutlich.

Die erste Karte dieser Technologie wird als Rekonfigurierbare-I/O-Karte bezeichnet und verfügt über 96 digital I/O-Leitungen sowie acht analoge Eingänge und acht analoge Ausgänge.

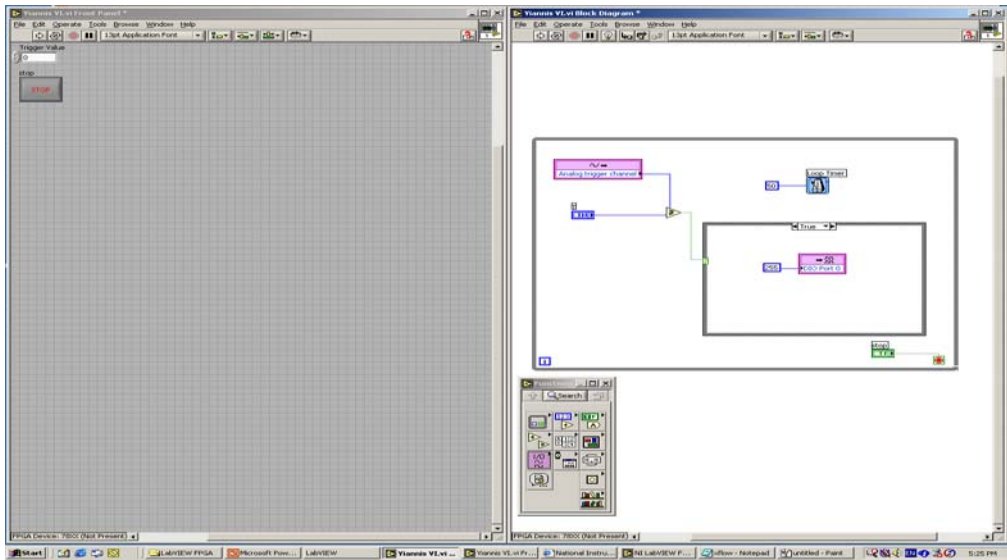
Die A/D- bzw. D/A-Wandler können bis zu einer Abtastrate von 200KS/s betrieben werden und erreichen eine Auflösung von 16-Bit. Die digitalen I/O's hingegen sind direkt mit dem FPGA verbunden und werden in Ihrer Verarbeitungsgeschwindigkeit nur durch die Gatterlaufzeiten des FPGA begrenzt, die fünf Nanosekunden bei einer Taktung mit 200MHz beträgt.

Dadurch das auf dem FPGA keinerlei Betriebssystem läuft braucht man sich auch keinerlei Gedanken um ein Sheduling zu machen. Die Schleifen, die in LabVIEW parallel laufen, werden auf dem FPGA wirklich parallel realisiert. Da die Funktionalität des FPGA frei programmiert wird, sind der Flexibilität keine Grenzen gesetzt. Es können Telegramme erzeugt werden, 80 Zähler parallel laufen oder 8 Regler mit 10KHz parallel implementiert werden.

Die einzige Einschränkung ist derzeit die ausschließliche Unterstützung der Integer-Arithmetik. Eine Fließkomma-Operation würde sehr viel Platz auf dem FPGA verbrauchen.

Mit dieser Technologie wurde beispielsweise ein HIL Prüfstand zur Kurbel-Nockenwellensimulation realisiert, wobei die benötigten PWM-Signale nicht nur vom FPGA erzeugt, sondern auch zur Laufzeit verändert werden können.

# LabVIEW FPGA Programmierung



ni.com

NATIONAL  
INSTRUMENTS

Auch für die FPGA-Programmierung gelten die gleichen Überlegungen wie für die Realtime-Programmierung. Während normalerweise die Kenntnis der VHDL-Sprache eine Voraussetzung für die Programmierung von FPGA-Bausteinen ist, sollte der LabVIEW-Anwender in die Lage versetzt werden direkt seinen LabVIEW-Code in ein FPGA herunterzuladen. Dieser Herausforderung stellten sich National Instruments und das National Propulsion Lab in Kalifornien. Im Jahr 2003 kam mit der Rekonfigurierbaren I/O-Karte das erste Produkt auf den Markt.

Der LabVIEW-Anwender installiert einfach das FPGA-Modul für LabVIEW und erhält damit die Möglichkeit seinen LabVIEW Code per Mausklick für das FPGA zu kompilieren und automatisch herunterzuladen.

Die Funktionspalette für die FPGA-Programmierung unter LabVIEW ist gegenüber der Windows-Palette eingeschränkt. Es fehlen die Bibliotheken wie Stringbearbeitung, Datei-I/O, Datenerfassung, ActiveX, usw, die auf dem FPGA keinen Sinn ergeben.

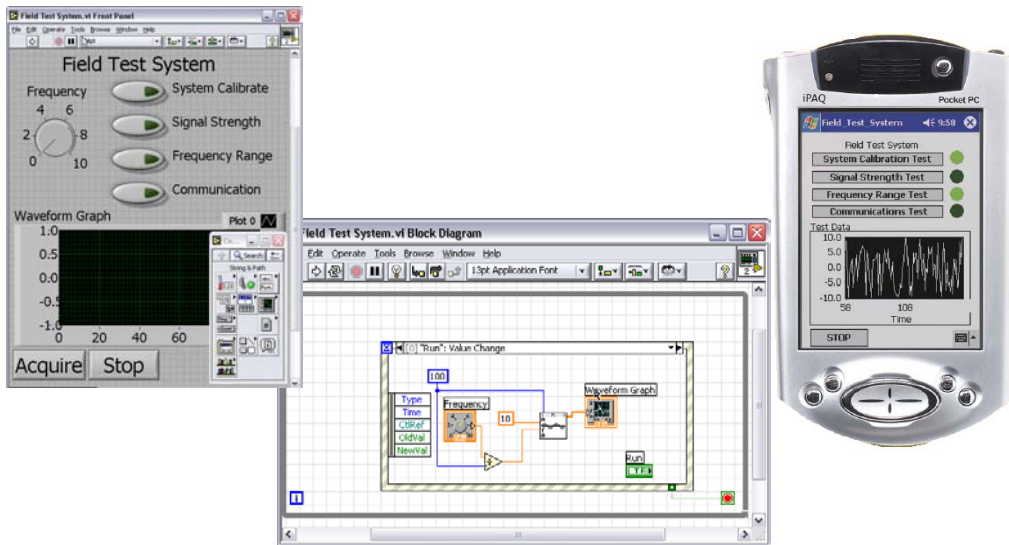
Die einzige reale Beschränkung ist die ausschließliche Verwendung von Integerarithmetik, d.h. eine Division ergibt stets ein Ergebnis und einen Rest aber keine Dezimalzahl.

Technisch betrachtet erzeugt LabVIEW automatisch den VHDL-Code, der dann vom Xilinx-Compiler in den Bitstream umgewandelt wird. Praktisch betrachtet freut sich der LabVIEW-Entwickler, dass er mit all diesen Schritten nichts zu tun hat.

Besonders spannend ist die Tatsache, dass parallele Schleifen aus dem LabVIEW-Diagramm auf dem FPGA tatsächlich auch parallel ablaufen und nicht, wie auf den üblichen Ein-Prozessorsystemen, in Scheiben zerlegt nacheinander.



# LabVIEW auf dem PDA



ni.com

NATIONAL INSTRUMENTS

Neben den Echtzeit- und FPGA-Lösungen laufen LabVIEW-Applikationen seit LabVIEW 7 Express auch auf PDA's.

Es gibt sowohl für den Pocket-PC als auch für Palm OS ein entsprechendes LabVIEW Modul. Mit diesen Geräten sind eine Vielzahl an mobilen Applikationen möglich. Es wird standardmäßig die Kommunikation über IR oder Bluetooth angeboten. Die Pocket PC's bieten teilweise noch ein Carrier-Modul an, womit sich ein oder zwei PCMCIA-Karten betreiben lassen. Hier können die Datenerfassungs- oder CAN-Karten von National Instruments eingesetzt werden.

Diese gezeigten Beispiele illustrieren sehr deutlich die oberste Maxime der LabVIEW Entwicklung, die Wiederverwendbarkeit von Code. Es ist stets die gleiche LabVIEW Entwicklungsumgebung und es sind die gleichen VI's.

# Datenverarbeitung mit LabVIEW

- Online Verarbeitung der erfassten Daten
- Unzählige Analysefunktionen
  - Statistik
  - Bestimmung von messtechnischen Größen (RMS, THD...)
  - Frequenzanalysen
  - Digitale Filterfunktionen
  - Mathematische Funktionen (Differentialgleichungen...)

ni.com



Gerade in der Datenanalyse kann LabVIEW seine Vorteile als Compiler ausspielen. Da der LabVIEW-Code kompiliert wird, können auch alle Analysefunktionen „online“ betrieben werden. Im Bereich der Datenanalyse profitiert der Anwender von der ständig steigenden Leistungsfähigkeit der Prozessoren. War es vor zehn Jahren, auf einem 386er Prozessor, gerade mal möglich Daten mit 50KS/s kontinuierlich zu erfassen und gleichzeitig eine FFT über eine Blockgröße von 1024 Punkten zu berechnen, so kann man mit aktuellen Prozessoren die Daten mit 800 KS/s erfassen und über eine Blockgröße von 16.384 eine FFT kontinuierlich berechnen. Grundsätzlich kann die Blockgröße für die FFT beliebig groß werden, nur reicht dann die Zeit für die Berechnung nicht mehr bevor ein neuer Datenblock von der Datenerfassungskarte geliefert wird. Beim obigen Beispiel wird 49 mal pro Sekunde eine FFT über 16.384 Punkte gerechnet.

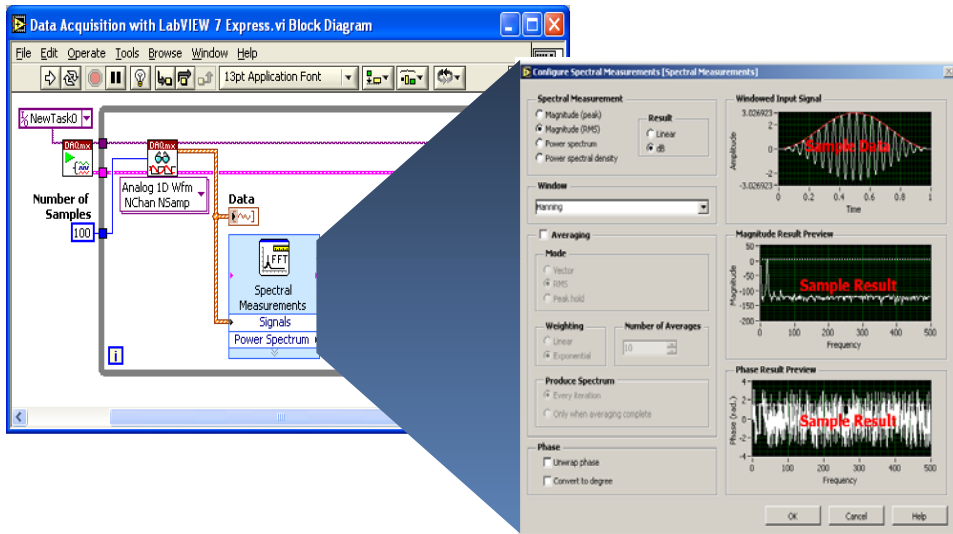
Das Spektrum der Analysefunktionen ist dabei nahezu unerschöpflich. Neben sehr einfachen Funktionen wie den statistischen Berechnungen wie Mittelwert, Standardabweichung und Histogrammfunktionen spielt die Bestimmung messtechnischer Größen eine zentrale Rolle. Es gibt hier Funktionen zur Bestimmung des Effektivwertes, Klirrfaktors oder es können beispielsweise die Pulsparameter wie Anstiegsgeschwindigkeit, Überschwingen, usw ermittelt werden.

Auch bei den Frequenzanalysen bleiben keine Wünsche offen. Neben der klassischen Fouriertransformation gibt es auch Hilbert- und Hartleytransformationen. Spezialitäten aus der Signalanalyse wie bspw. die Short-Time-FFT oder das Garborspektrum sind in zusätzlichen Toolkits enthalten.

Die digitalen Filterfunktionen beinhalten neben den Standard-Filtern wie Butterworth oder Chebyshev auch alle Möglichkeiten der FIR- und IIR-Filter. Auch hier gibt es über ein zusätzliches Toolkit die Möglichkeit der Filterauslegung.

Der Umfang der Mathematischen Funktionen reicht von der allgemeinen Algebra über spezielle Algorithmen zum Auffinden von Nullstellen bis hin zu Differentialgleichungen.

# Datenverarbeitung mit Express VI's



ni.com

NATIONAL INSTRUMENTS

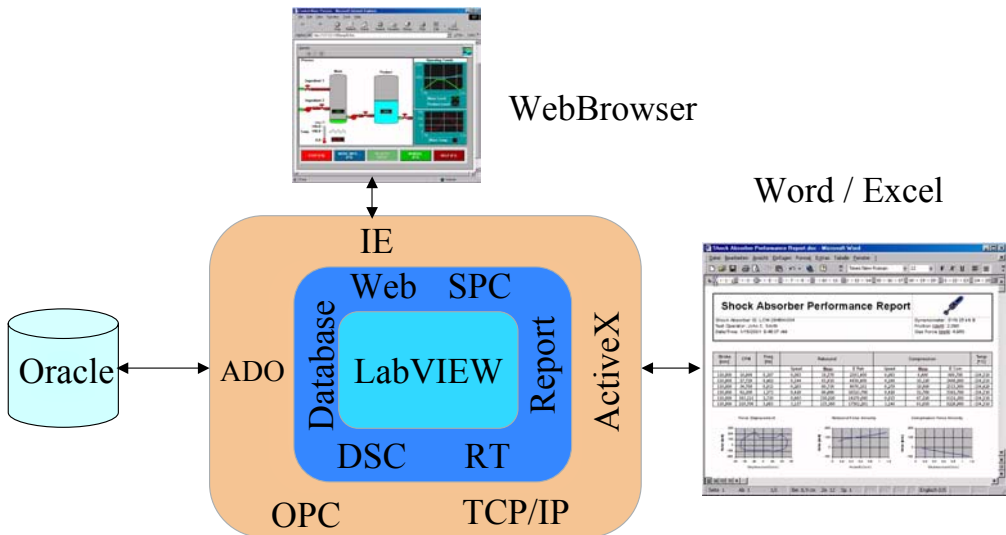
Die neuen Express-VI's die ab der LabVIEW Version 7.0 enthalten sind, erweitern die Skalierbarkeit um eine neue Dimension. Bislang war die Skalierbarkeit der Analysefunktionen auf die funktionale Ebene beschränkt, während nun mit der Skalierbarkeit der Anwenderfreundlichkeit eine neue Ebene eingeführt wurde.

Bei den neuen Express-VI's braucht nur noch das Eingangssignal verdrahtet zu werden, während die gesamten Parameter der Analyse im Express-VI selbst konfiguriert werden. Besonders hilfreich ist dabei, dass im Express-VI bereits das tatsächliche Messsignal zu sehen ist, und somit alle Einstellungen der Parameter sofort Einfluss auf das reale Messsignal haben.

Ein weiterer Vorteil der Express-VI's ist, dass häufig ein Express-VI viele unterschiedliche Analysen beinhaltet, die mit den herkömmlichen VI's durch viele unterschiedliche VI's abgebildet sind.

Letztendlich besteht jedes Express-VI aus ganz normalem LabVIEW-Code, der sich öffnen lässt und umgekehrt bietet das Express-VI-Development-Toolkit die Möglichkeit eigene Express-VI's zu erzeugen.

# Datenpräsentation mit LabVIEW



ni.com

NATIONAL  
INSTRUMENTS

Zur Datenpräsentation gehört in LabVIEW neben der eigentlichen Darstellung der Benutzeroberfläche auf dem Monitor auch die Möglichkeit die Daten in einer Datenbank abzulegen, über ActiveX in ein Word- oder Excel-Dokument zu übertragen oder über einen Web-Server zur Verfügung zu stellen.

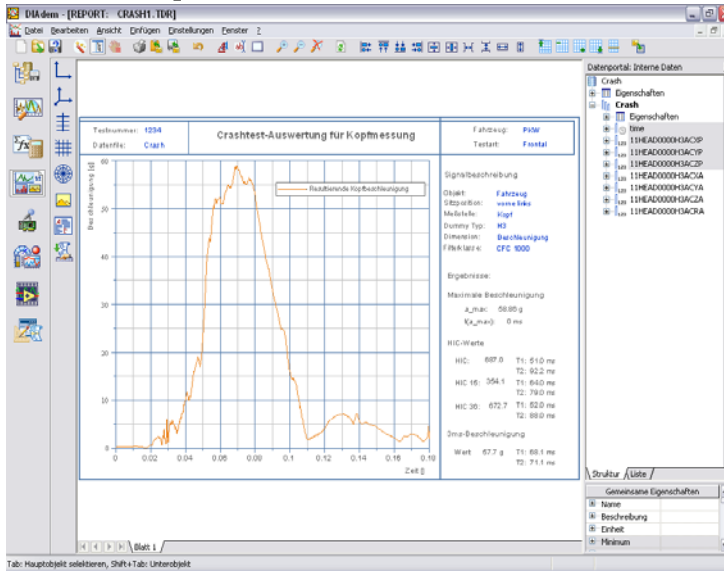
Dabei bedient sich LabVIEW stets den vom Betriebssystem bereitgestellten Standards. So nutzt das LabVIEW Database-Connectivity-Toolkit die standard ADO-Schnittstelle in Windows, um mit allen üblichen Datenbanken kommunizieren zu können.

Für den Datenaustausch mit Word oder Excel nutzt das Report-Generation-Toolkit von LabVIEW die ActiveX-Schnittstelle.

Da heutzutage immer mehr Anwendungen nach Web-Clients verlangen, hat LabVIEW hier mit der Remote-Panel-Funktion eine Möglichkeit geschaffen, um LabVIEW VI's in einem Webbrowser zu bedienen.

Weiterführende Datenpräsentationsfunktionen, wie bspw. skalierte Ausdrücke, werden mit dem Dokumentenbasierten System DIAdem realisiert.

# Datenpräsentation mit DIAdem



Durch den Erwerb der Fa. GfS im Jahre 1999 konnte National Instruments sein Angebot im Bereich der Offline-Datenauswertung sowie Reportgenerierung mit dem DIAdem massiv erweitern.

DIAdem ist nicht nur ein sehr umfangreiches Offline-Datenanalyse-Werkzeug, sondern bietet auch sehr leistungsfähige Funktionen zur Reportgenerierung.

Gerade bei der Reportgenerierung kommt es neben einem Unterschriftenfeld häufig zu der Forderung nach skalierten Ausdrucken. Da DIAdem hier Papierseitenorientiert arbeitet ist diese Möglichkeit gegeben.

Die aktuelle Version 9.0 ist mit einem Datennavigator versehen, der das Auffinden der Daten in den unterschiedlichsten Quellen, wie Datenbank oder Filesystem, ermöglicht.

Der entscheidende Vorteil der DIAdem Datenverwaltung ist das Hinzufügen von Metainformationen, die eindeutige Aussagen über die Daten beinhalten.

Wer kennt nicht das Problem, dass kostspielig gewonnene Messdaten unbrauchbar herumliegen, da sich niemand mehr an die Versuchsbedingungen, Versuchsdurchführung, Datenformate, usw. erinnern kann.

Bei den Darstellungsformaten der Messdaten, läßt DIAdem keine Wünsche offen. Das schier unerschöpfliche Angebot reicht hier von zwei- oder dreidimensionalen Darstellungen, horizontalen und vertikalen Balkendiagrammen, über Polardiagrammen bis hin zu Höhenliniendarstellungen.

Alle Funktionen aus DIAdem lassen sich mit VB-Script automatisieren.

Das DIAdem ist eine sinnvolle Ergänzung für jeden Messtechniker und sollte bei keinem Anwender fehlen.

Seit DIAdem zu National Instruments gehört, wurden viele Verknüpfungen zwischen LabVIEW und DIAdem geschaffen, so daß bspw. der Report aus einem LabVIEW Programm im Hintergrund mit DIAdem erstellt werden kann.

# Zusammenfassung

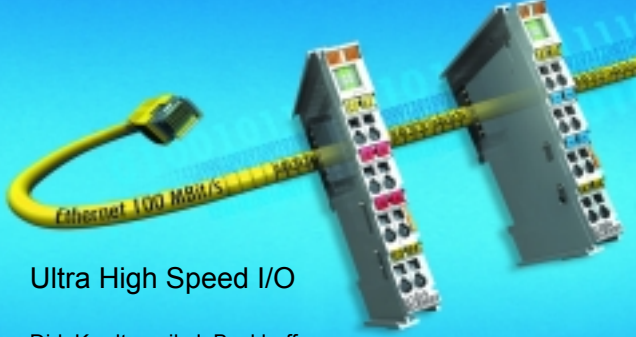
- LabVIEW bietet Möglichkeiten von der Simulation bis hin zur Datenpräsentation.
- Bei Datenerfassungsapplikationen gibt es Lösungen von Desktopanwendungen über RT bis hin zu FPGA und PDA
- Die Datenanalyse wird durch die neuen Express-VI's komfortabler
- Die Auswertung und Reporterstellung wird durch DIAdem sinnvoll ergänzt.

[ni.com](http://ni.com)





**EtherCAT**  
Ethernet for Control and Automation Technology



Ultra High Speed I/O

Dirk Kordtomeikel, Beckhoff

**EtherCAT**

### Ethernet für E/A?

**Feldbus Systeme:** Profibus, CANopen, SERCOS, etc. vorhanden

- erprobt
- Zugeschnitten für Bits und Bytes
- Einfache Konfiguration
- Viele Tools verfügbar
- Adressierung mit Knotenadresse
- Große Anzahl von Geräten verfügbar
- preiswert
- Ausreichende Performance
- Eingeführt seit Jahren, erfahrene Mitarbeiter vorhanden
- trotzdem: viele Installationen erfolgen "the old fashioned way" (Parallelverkabelung)


**EtherCAT**

Aus der "guten alten Zeit":



**EtherCAT**

### Also: wieso Ethernet auf der I/O Ebene?



### Wieso Ethernet in der I/O Ebene?

Argument Nr. 1:

- **Ethernet ist schnell: 100 Mbaud!**

Aber:

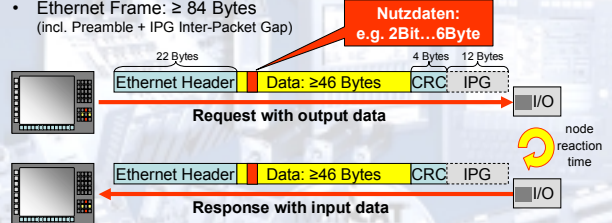
- Ethernet wurde für Filetransfer entwickelt
- Selbst Industrial Ethernet Technologien wie Profinet, Powerlink oder Ethernet/IP nutzen die Bandbreite sehr schlecht

→ Feldbus Systeme sind daher meist schneller

e.g.:	Sercos:	typische Zykluszeit von 0,5...2 ms
	Profibus:	typische Zykluszeit von 1...3 ms
	ControlNet:	typische Zykluszeit von 2...4 ms
	Ethernet/IP:	typische Zykluszeit von 5...10 ms
	ProfiNet (V2):	typische Zykluszeit von 5...10 ms
	ProfiNet (V3):	typische Zykluszeit von 1...2 ms
	Powerlink:	typische Zykluszeit von 1...3 ms

### Bandbreitenausnutzung auf Ethernet für I/Os + Drives

- Ethernet Frame: ≥ 84 Bytes (incl. Preamble + IPG Inter-Packet Gap)



Für 4 Byte Input + 4 Byte Output pro Knoten:  
 4,65% Nutzdatenrate bei 0µs Reaktionszeit per Knoten  
 1,9% Nutzdatenrate bei 10µs Reaktionszeit per Knoten

### Wieso Ethernet in der I/O Ebene?

Argument Nr. 2:

- **Jeder kennt Ethernet: es ist so einfach zu nutzen!**

Aber:

- Selbst Ingenieure kennen meist nur das User Interface (e.g. in Windows)
- Konfiguration von Real Time Ethernet kann sehr komplex sein und hat im allgemeinen wenig Gemeinsamkeiten mit LAN / Internet Installationen
- Beispiel: Ethernet/IP benötigt eine high-end Switch und Router Konfiguration (VLAN Einstellungen, IGMP snooping) zur Broadcast Kontrolle

### Wieso Ethernet in der I/O Ebene?

Argument Nr. 3:

- **Nur ein einheitliches Netzwerk von der Feldebene zum Corporate Netzwerk**

Aber:

- Werksweite IP-Adressvergabe entwickelt sich zum Albtraum.
- IT Spezialisten und Automationsmitarbeiter: Kulturen und Verantwortlichkeiten reiben sich!

## Wieso Ethernet in der I/O Ebene?

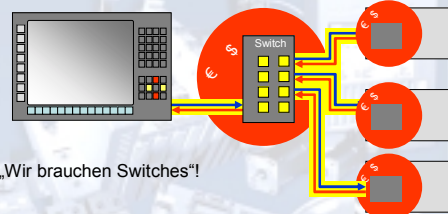
Argument Nr. 4:

- **Ethernet ist Mainstream Technologie, daher preiswert!**

Aber:

- Real time Ethernet: Leistungsfähige Prozessoren in den Knoten erforderlich
- Knoten-Interfacekosten sind deutlich höher als mit Feldbus Technologie
- Standard Ethernet Topologie erfordert Switches
- Switches für Industrieumgebungen sind teuer: Managed Switch: > 70 € pro Port (oder Knoten)
- Infrastrukturkosten sind höher als bei Feldbus Technologie

## Standard Ethernet Topologie: mit Switches



„Wir brauchen Switches“!

Nachteile:

- Infrastrukturkosten, komplexe Anschaltung im Teilnehmer mit hohen Kosten
- MAC ID hinderlich bei Gerätetausch, evtl. IP Adressverteilung erforderlich

## Wieso Ethernet in der I/O Ebene?

Argument Nr. 5:

- **Internet Technologien werden auf der I/O Ebene verfügbar**

- Firmware Download per FTP
- per Web-Browser auf die Geräte-Konfiguration zugreifen

Das ist "nice to have", aber:

- Ist das ausreichend für Anwender, Ethernet auf der I/O Ebene bei höheren Kosten und komplexerer Technologie einzuführen?

Oder: Ethernet statt Feldbus muss mehr sein als

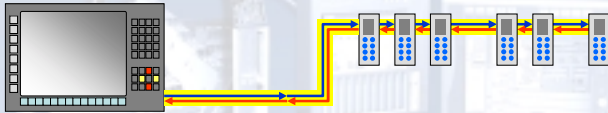
„das gleiche anders“

## Der EtherCAT Ansatz

- EtherCAT ist einfachst nutzbare, ultra high speed Ethernet Technologie bis hinunter zur I/O Ebene
- Nicht nur: "Wie ein Feldbus, nur Ethernet basierend"
- (sehr viel) mehr Performance bei niedrigeren Kosten und einfacherer Anwendung

**Wie erreichen wir das?**

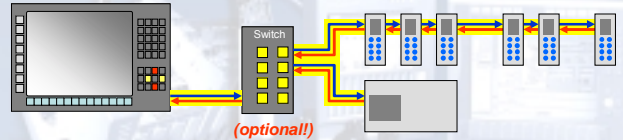
### Die EtherCAT Lösung: Ethernet „on the Fly“!



Vorteile:

- Geringster Protokoll-Overhead durch implizite Adressierung
- Optimierte Telegrammstruktur für dezentrales I/O
- Kommunikation vollständig in Hardware: maximale Performance
- Wenn nur EtherCAT Teilnehmer: kein Switch erforderlich
- Hervorragende Diagnose-Eigenschaften
- Ethernet-Kompatibilität bleibt erhalten

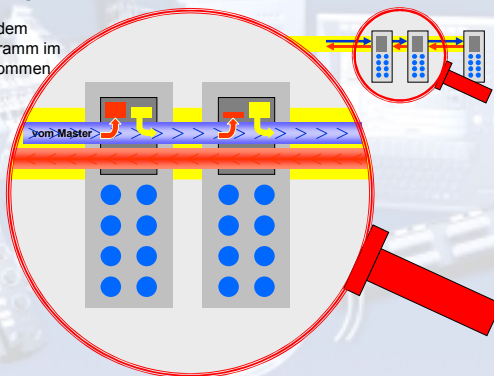
### Die Ethernet Busklemmen



- Standard Switch kann eingesetzt werden
- Mit Switch: nur eine MAC ID für bis zu 65535 Teilnehmer

### Bearbeitung im Durchlauf spart Zeit

- Daten werden dem Ethernet Telegramm im Durchlauf entnommen und/oder eingefügt.
- Kein Zwischen speichern des Telegramms
- Durchlauf Verzögerung nur: 60 ns
- optimale Performance



### Performance-Daten

Übertragungsrate: 100 Mbaud  
Update Zeiten:

- 256 digitale E/A in 11  $\mu$ s
- 1000 digitale E/A in **30  $\mu$ s = 0.03 ms**
- 200 analoge E/A (16 bit) in 50  $\mu$ s, entspricht 20 kHz Sampling Rate
- 100 Servo-Achsen in **100  $\mu$ s = 0.1 ms**
- 12000 digital E/A in 350  $\mu$ s

Durchlaufverzögerung:

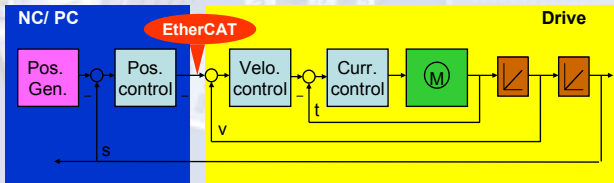
- je Teilnehmer: 60 ns
- je Umsetzer Ethernet/E-Bus: 1  $\mu$ s

Bandbreitenausnutzung: **ca. 80% (von 2x100 MBit), volle Nutzung der Bandbreite**  
unabhängig von Datengröße und Reaktionszeit je Teilnehmer

### Neue Anwendungen mit EtherCAT Beispiel Drive Control:

Die aussergewöhnliche Performance erlaubt:

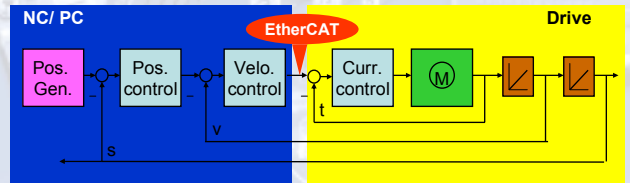
- Schließen der Positionsregelung über den Bus



### Neue Anwendungen mit EtherCAT Beispiel Drive Control:

Die aussergewöhnliche Performance erlaubt:

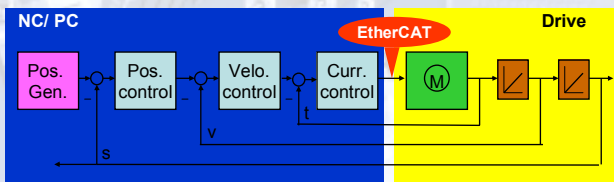
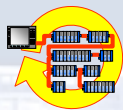
- Schließen der Positionsregelung über den Bus
- Schließen der Geschwindigkeitsregelschleife über den Bus



### Neue Anwendungen mit EtherCAT Beispiel Drive Control:

Die aussergewöhnliche Performance erlaubt:

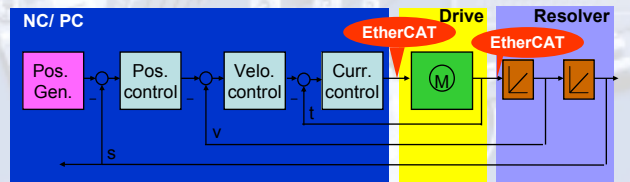
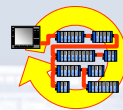
- Schließen der Positionsregelung über den Bus
- Schließen der Geschwindigkeitsregelschleife über den Bus
- Sogar Schließen der Stromregelschleife über den Bus



### Neue Anwendungen mit EtherCAT Beispiel Drive Control:

Die aussergewöhnliche Performance erlaubt:

- Schließen der Positionsregelung über den Bus
- Schließen der Geschwindigkeitsregelschleife über den Bus
- Sogar Schließen der Stromregelschleife über den Bus
- Trennung von Drive and Positions-Feedback (Encoder, Resolver)





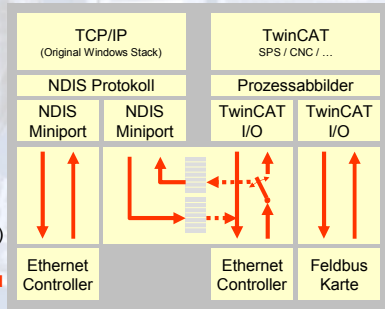
### EtherCAT Master Anschaltung: z.B. TwinCAT

Real-Time Scheduling für Standard NIC Hardware

TwinCAT „Y-Treiber“:

- Kommuniziert in harter Echtzeit
- Erlaubt allgemeine IP-Verkehr, wenn Zeit dafür verfügbar
- EtherCAT Pakete arbeiten innerhalb eines Subnetzes
- EtherCAT / UDP Pakete arbeiten weltweit (Routing!)

→ **harte Echtzeit auf Standard NIC Hardware**



### EtherCAT Master Anschaltung

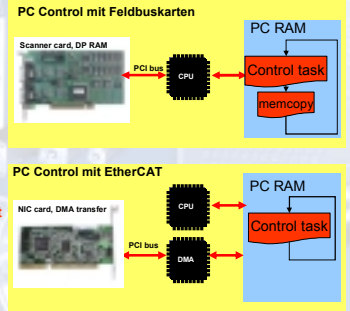
Real-Time Scheduling für Standard NIC Hardware

Herkömmliche Feldbus Anschaltung

- IO Prozessdaten werden über Scanner DPRAM kopiert
- PCI Slave Karten kopieren Daten per CPU
- Konsumiert bis zu 30% der CPU Performance (!!)
- Standard NIC Karten nutzen DMA zum Datentransfer

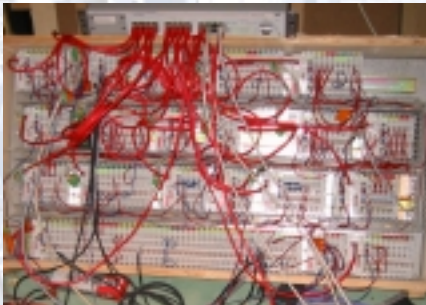
→ CPU wird vom Datenkopieren befreit

→ **Mehr Leistung für Steuerung verfügbar**

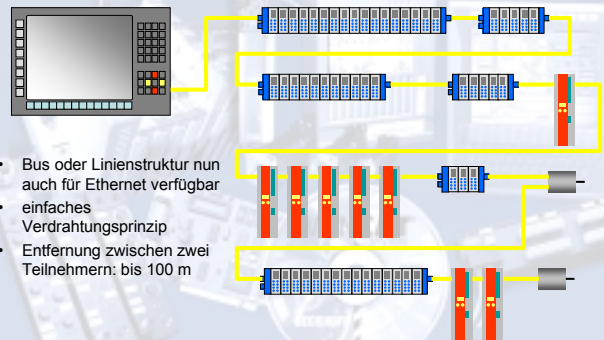


### Standard Ethernet Topologie: Stern

Nicht optimal.... ein kleiner Testaufbau zur Demonstration



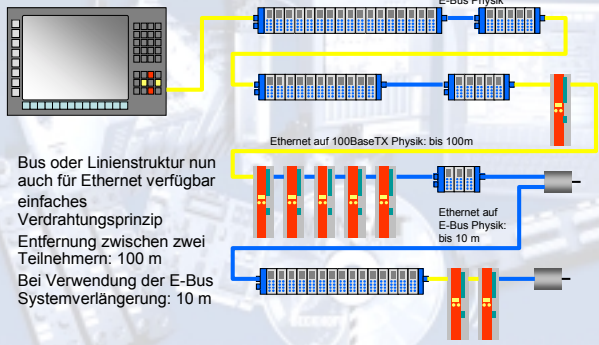
### Topologievarianten: Linienstruktur



- Bus oder Linienstruktur nun auch für Ethernet verfügbar
- einfaches Verdrahtungsprinzip
- Entfernung zwischen zwei Teilnehmern: bis 100 m

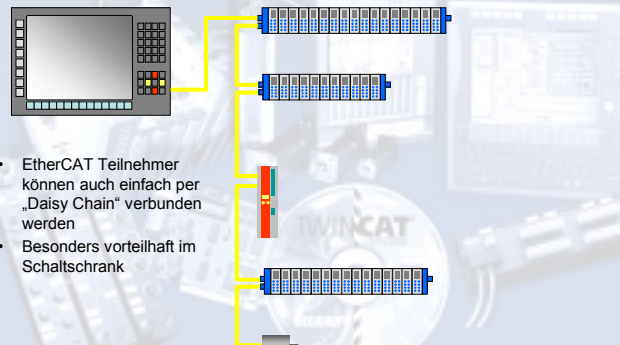


### Topologievarianten: Linienstruktur



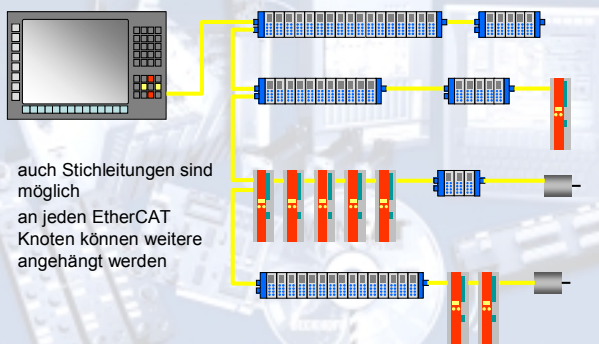
- Bus oder Linienstruktur nun auch für Ethernet verfügbar
- einfaches Verdrahtungsprinzip
- Entfernung zwischen zwei Teilnehmern: 100 m
- Bei Verwendung der E-Bus Systemverlängerung: 10 m

### Topologievarianten: Daisy Chain



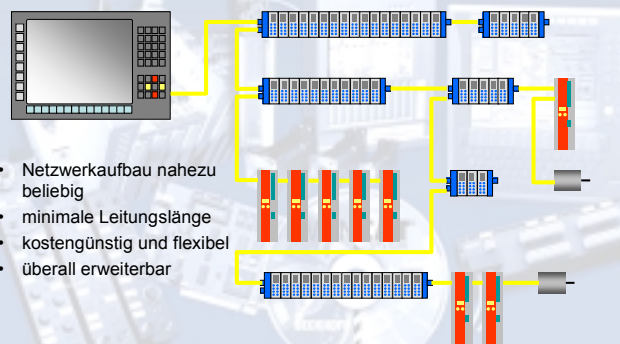
- EtherCAT Teilnehmer können auch einfach per „Daisy Chain“ verbunden werden
- Besonders vorteilhaft im Schaltschrank

### Topologie: Daisy Chain mit Stichleitung



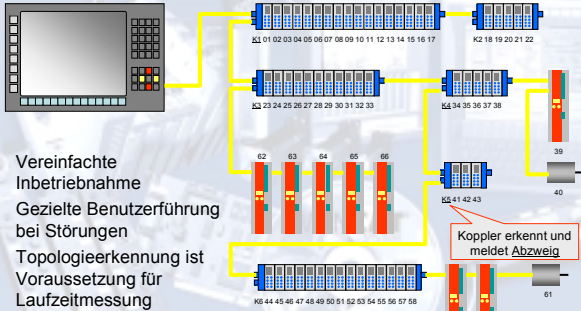
- auch Stichleitungen sind möglich
- an jeden EtherCAT Knoten können weitere angehängt werden

### Topologievarianten: flexible Baumstrukturen



- Netzwerkaufbau nahezu beliebig
- minimale Leitungslänge
- kostengünstig und flexibel
- überall erweiterbar

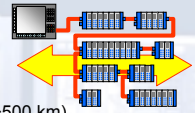
### Protokoll erlaubt Topologieerkennung



- Vereinfachte Inbetriebnahme
- Gezielte Benutzerführung bei Störungen
- Topologieerkennung ist Voraussetzung für Laufzeitmessung

### Topologie-Daten

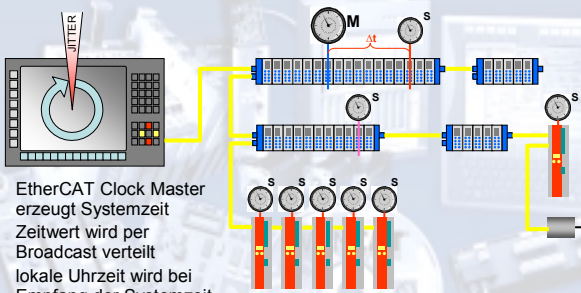
- Linien-, Baum- oder Sterntopologie
- Bis zu 65535 Teilnehmer
- Betrieb mit und ohne Switches
- Netzwerkausdehnung: nahezu unbeschränkt (>500 km)
- Kostengünstige Verkabelung: Standard Ethernet Patch Kabel (CAT5)
- Übertragungsphysik twisted Pair:
  - Ethernet 100BASE TX, bis 100m zwischen 2 Teilnehmern
  - E Bus, bis 10m zwischen 2 Teilnehmern
- Alternativ: Lichtwellenleiter-Varianten 50 bis 2000m
- Hot Connect / Disconnect von Bussegmenten



### Diagnose

- Bruchstellenerkennung
- Ständige Quality of Line Messung ermöglicht exakte Lokalisierung von Übertragungs-Störungen

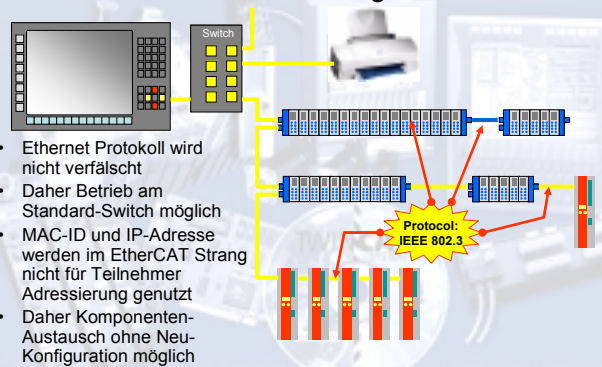
### EtherCAT Distributed Clocks



- EtherCAT Clock Master erzeugt Systemzeit
- Zeitwert wird per Broadcast verteilt
- lokale Uhrzeit wird bei Empfang der Systemzeit gelatcht
- Slave Uhren werden entsprechend nachgestellt

**Ermöglicht Synchronisation im Nanosekunden Bereich!**

### Ethernet Protokoll vollständig erhalten



- Ethernet Protokoll wird nicht verfälscht
- Daher Betrieb am Standard-Switch möglich
- MAC-ID und IP-Adresse werden im EtherCAT Strang nicht für Teilnehmer Adressierung genutzt
- Daher Komponenten-Austausch ohne Neu-Konfiguration möglich

**Protocol: IEEE 802.3**

**EtherCAT** BECKHOFF

### EtherCAT: freies Adress-Mapping dank FMMU

logisches Prozessabbild: bis 4 GByte

Telegrammstruktur

Ethernet HDR HDR 1 Data 1 HDR 2 Data 2 ... HDR n Data n CRC

Sub-Telegramm 1 Sub-Telegramm 2 Sub-Telegramm n

FMMU: Fieldbus Memory Management Unit

- Prozessdaten der EtherCAT Geräte können den Sub-Telegrammen beliebig zugeordnet werden
- Daten der Subtelegramme können logischem Prozessabbild beliebig zugeordnet werden

**EtherCAT** BECKHOFF

### EtherCAT: freies Adress-Mapping dank FMMU

Vorteile:

- Mapping in die Slaves verlagert, Steuerung entlastet
- Master wird sehr einfach, direkter Zugriff auf Prozessabbild per DMA
- Daten werden je nach Applikationsanforderung übertragen
- extrem schnell, flexibel und effizient

**EtherCAT** BECKHOFF

### Protokollaufbau

- **EtherCAT**: Standard ISO/IEC 8802.3 Frame Format
- Ether-Type: 88A4, zugewiesen durch IEEE

Ethernet Header		ECAT Frame HDR		EtherCAT HDR		EtherCAT Telegram Data		EtherCAT Telegram Data		Enet FCS	
Pre	DA	SA	Type	HDR	HDR	Data	Data	HDR	Data		
(8)	(6)	(6)	(2)	(2)	(10)	(34...1488)	(10)	(34...1444)	(4)		

- **EtherCAT/UDP**: mit Routing und für Socket Interface Implementierung
- UDP Port: 34980 = 0x88A4, bei IANA registriert

Ethernet Header		IP HDR		UDP HDR		ECAT Frame HDR		EtherCAT HDR		EtherCAT Telegram Data		EtherCAT Telegram Data		Enet FCS	
Pre	DA	SA	Type	HDR	HDR	HDR	HDR	Data	Data						
(8)	(6)	(6)	(2)	(20)	(8)	(2)	(10)	(34...1488)	(10)	(34...1444)	(4)				

**EtherCAT** BECKHOFF

### Protokollaufbau mit nur einem Prozessabbild

- typisch z.B. für Kleinststeuerungen mit einer Steuerungstask
- bis 1488 Byte Prozessdatengröße
- **Header für Prozessdatenkommunikation bleibt konstant**

Ethernet Header		ECAT Frame HDR		EtherCAT HDR		EtherCAT Telegram Data		Enet FCS	
Pre	DA	SA	Type	HDR	HDR	Data	Data		
(8)	(6)	(6)	(2)	(2)	(10)	(34...1488)	(4)		

konstanter Header      fertig sortierte (gemaapte) Prozessdaten      CRC wird vom Ethernet Controller (MAC) erzeugt

- Master mit minimalem Aufwand realisierbar
- kein separater Kommunikationsprozessor (z.B. auf Einsteckkarte) erforderlich
- **viel einfacher als herkömmliche Feldbussysteme**
- **sehr viel einfacher als andere Industrial Ethernet Lösungen...**

**EtherCAT** BECKHOFF

### Wie „langsame“ Steuerungen von EtherCAT profitieren (I)

- Reaktionszeit von herkömmlichen Steuerungen mit Feldbus-E/A

$T_{mpd}$ : Master Processing Delay  
 $T_{io}$ : Local I/O Update Time (Firmware)

**EtherCAT** BECKHOFF

### Wie „langsame“ Steuerungen von EtherCAT profitieren (II)

- Reaktionszeit mit EtherCAT

- extrem kurze Buszykluszeit erlaubt E/A Update zwischen den Tasks

**EtherCAT** BECKHOFF

### Wie „langsame“ Steuerungen von EtherCAT profitieren (II)

- Reaktionszeit mit EtherCAT

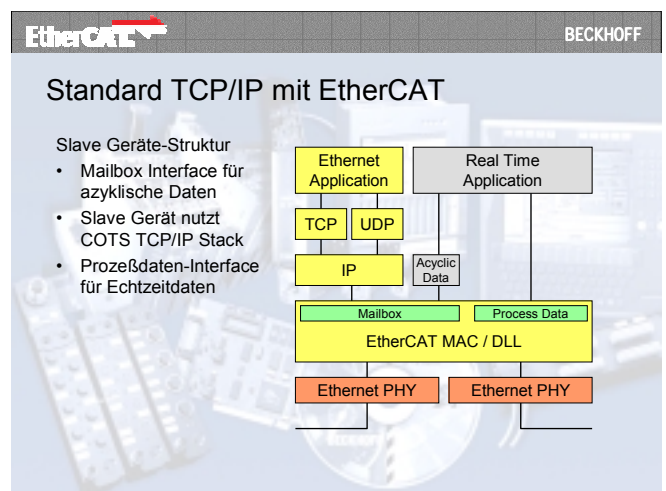
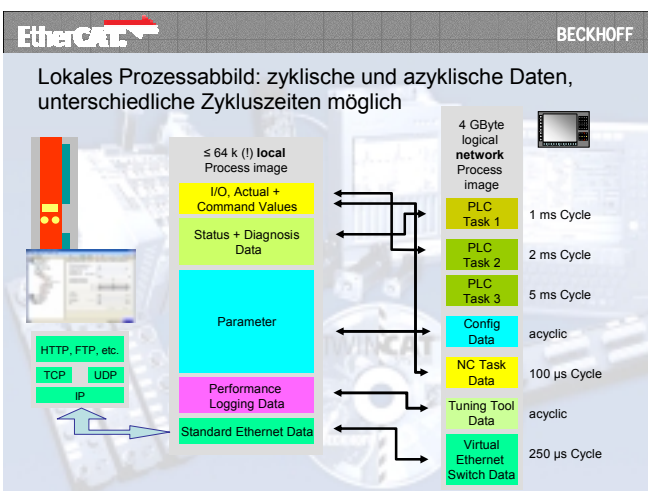
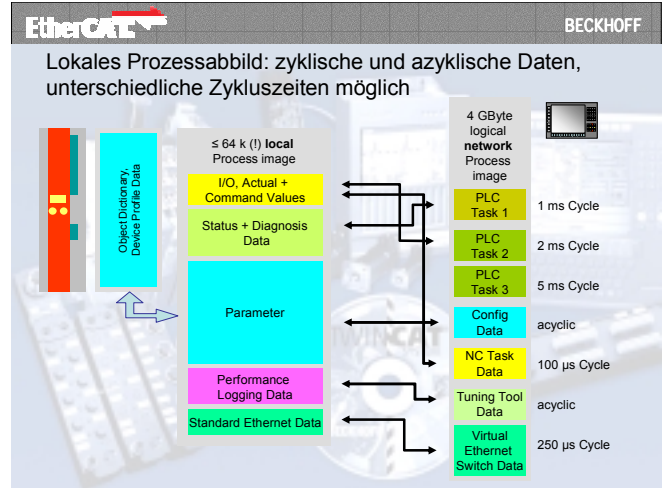
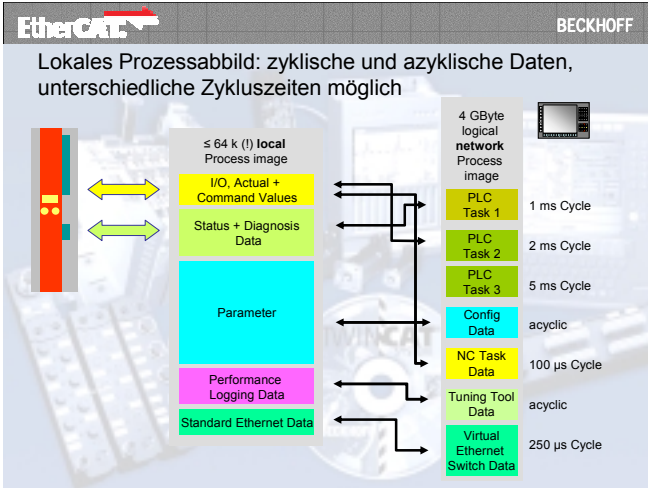
- Reaktionszeit deutlich verkürzt – mit der gleichen Steuerungsleistung
- keine unterlagerten lokalen E/A Zyklen oder Erweiterungsbusse erforderlich
- Wegen des sehr einfachen Protokolls keine speziellen Master Systeme (z.B. Einsteckkarten) erforderlich

**EtherCAT** BECKHOFF

### Lokales Prozessabbild: zyklische und azyklische Daten, unterschiedliche Zykluszeiten möglich

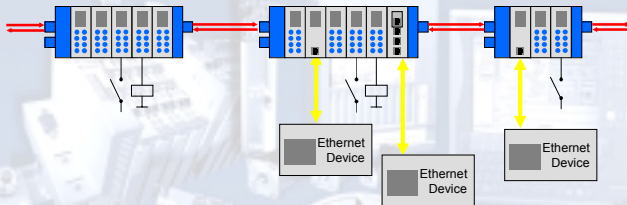
Local Process Image Data	Network Image Data	Cycle Time
I/O, Actual + Command Values	PLC Task 1	1 ms Cycle
Status + Diagnosis Data	PLC Task 2	2 ms Cycle
Parameter	PLC Task 3	5 ms Cycle
Performance Logging Data	Config Data	acyclic
Standard Ethernet Data	NC Task Data	100 $\mu$ s Cycle
	Tuning Tool Data	acyclic
	Virtual Ethernet Switch Data	250 $\mu$ s Cycle

4 GByte logical network image



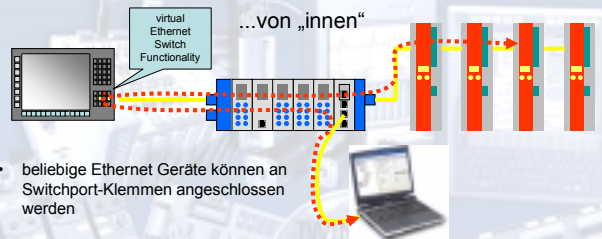


Switchport-Klemmen: Standard Ethernet Anschluss



- EL6501: 1 Port Ethernet Switchport Klemme
- EL6614: 4 Port Ethernet Switchport Klemme
- Standard Ethernet Port 100BaseTx im I/O System !
- Anschluss von Standard Ethernetgeräten
- „Beliebige“ Anzahl von Switchportklemmen möglich

Virtual Ethernet Switch routet allgemeine Ethernet Frames...



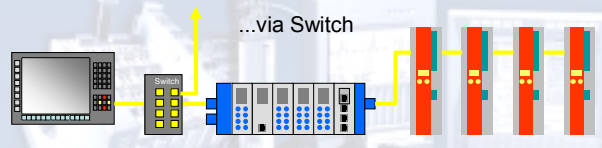
- beliebige Ethernet Geräte können an Switchport-Klemmen angeschlossen werden
- Daten werden durch EtherCAT Master geroutet (Virtual Ethernet Switch), ohne die Echtzeitfähigkeit des EtherCAT Strangs zu beeinträchtigen

Virtual Ethernet Switch routet allgemeine Ethernet Frames...



- Virtual Ethernet Switch im EtherCAT Master ermöglicht auch allgemeine Ethernet Daten in den EtherCAT Strang weiterzuleiten
- allgemeine Ethernet Daten werden im EtherCAT Protokoll getunnelt – ähnlich wie VPN oder PPPoE (DSL)

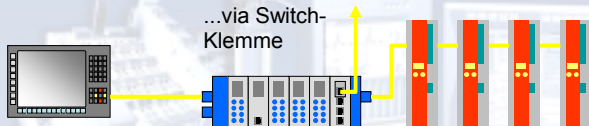
Anbindung an die Leitebene (I):



- beliebige Ethernet Protokolle können verwendet werden
- nur ein Ethernet Port auf Steuerung erforderlich
- aber: eingeschränkte Performance durch Switch-Verzögerung

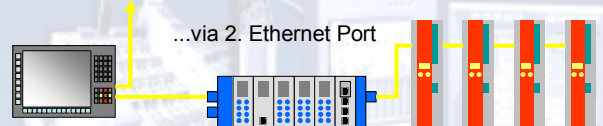


## Anbindung an die Leitebene (II):



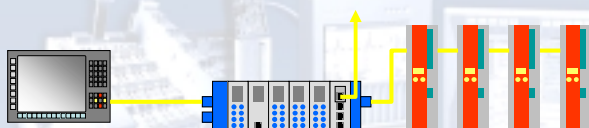
- beliebige Ethernet Protokolle können verwendet werden
- nur ein Ethernet Port auf Steuerung erforderlich
- EtherCAT Performance **wird nicht eingeschränkt**

## Anbindung an die Leitebene (III):



- beliebige Ethernet Protokolle können verwendet werden
- erfordert zweiten Ethernet Port auf Steuerung (z.B. FC9002)
- EtherCAT Performance **wird nicht eingeschränkt**

## Externe Uhren-Synchronisation: IEEE 1588



- Switchport Klemme mit integrierter IEEE 1588 Boundary Clock
- externe Synchronisation mit anlagen- oder firmenweiter Master-Uhr

## Protokoll-Highlights

- Netzwerkweites Prozessabbild: 4 Gigabyte
- Teilnehmer-Prozessabbild: 2 Bit bis 64 kByte
- Adresszuordnung: frei konfigurierbar
- Adresseinstellung Teilnehmer: automatisch per Software
- Optimiertes Protokoll direkt im Ethernet Frame
- Protokoll vollständig in Hardware implementiert
- Für Routing und Socket Interface: UDP Datagramm
- Verarbeitung im Durchlauf
- **Distributed Clock** für präzise Synchronisation
- **Time Stamp Data Types** für Auflösung im Nanosekundenbereich
- **Oversampling Data Types** für hochauflösende Messungen



**EtherCAT** BECKHOFF

### Hot Connect: An/Abschaltung von Bussegmenten

- **EL6301: Aktive Busverzweigung**
- Aktive An/Abschaltung von Bussegmenten
- Kontrollierte Umschaltung in Echtzeit ohne Kommunikations- und Datenverlust

**EtherCAT** BECKHOFF

### Feldbus Master Klemmen: EtherCAT statt PCI

- Profibus Master Klemme
- CANopen Master Klemme
- DeviceNet Master Klemme
- Integration von Feldbusgeräten verschiedener Hersteller
- Hochleistungs-Feldbusanschaltung auf Basis der Beckhoff FC-Masterkartentechnologie

**EtherCAT** BECKHOFF

### Nahtlose Integration der K-Bus Klemmen

- EtherCAT ergänzt das bestehende Busklemmen-Programm
- K-Bus Klemmen können nahtlos integriert werden

**EtherCAT** BECKHOFF

### EtherCAT und TwinSAFE

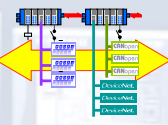
- TwinSAFE: feldbusunabhängige Sicherheitstechnik
- zunächst auf K-Bus Basis
- später auch direkt auf EtherCAT

TwinSAFE Busklemmen

**EtherCAT** BECKHOFF

### Schnittstellen

- Switchport-Klemme für Standard Ethernet Geräte
- Feldbus Master Klemmen für Feldbus Geräte
- Dezentrale serielle Schnittstellen
- Kommunikations-Gateways



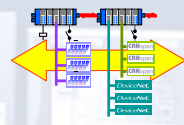
### Offenheit

- vollständig Ethernet kompatibel
- Betrieb an Switches und Router möglich
- Auch Mischbetrieb mit anderen Protokollen
- Internet Technologien (Webserver, FTP, etc.)
- Kompatibel zum bestehenden Busklemmen-Programm
- **Offenlegung in Vorbereitung**

**EtherCAT** BECKHOFF

### EtherCAT-Offenlegung

- Protokoll wird vollständig offengelegt
- ASIC für jedermann verfügbar
  - ASIC gewährleistet Interoperabilität
- EtherCAT ist Teil des IAONA Technologie-Portfolio
- EtherCAT wird in die Internationale Normung eingebracht (ISO, IEC)
- EtherCAT Technology Group: Start zur SPS/IPC/Drives 2003
  - Anwender
  - Komponenten und Systemanbieter



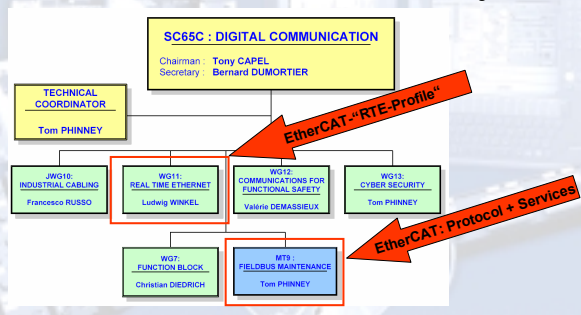
**EtherCAT** Technology Group [www.ethercat.org](http://www.ethercat.org)



**EtherCAT** BECKHOFF

### Internationale Normung (I) IEC

- EtherCAT wird in IEC/SC65C/WG11 + IEC/SC65C/MT9 eingebracht



SC65C : DIGITAL COMMUNICATION  
Chairman : Tony CAPEL  
Secretary : Bernard DUMORTIER

TECHNICAL COORDINATOR  
Tom PHINNEY

JWG10: INDUSTRIAL CABLING  
Francesco RUSSO

WG11: REAL TIME ETHERNET  
Ludwig WINKEL

WG12: COMMUNICATIONS FOR FUNCTIONAL SAFETY  
Vahid DEMASSEIEUX

WG13: CYBER SECURITY  
Tom PHINNEY

WG7: FUNCTION BLOCK  
Christian DIEDRICH

MT9: FIELDBUS MAINTENANCE  
Tom PHINNEY

**EtherCAT- "RTE-Profile"**

**EtherCAT- "Protocol + Services"**

### Internationale Normung (II)

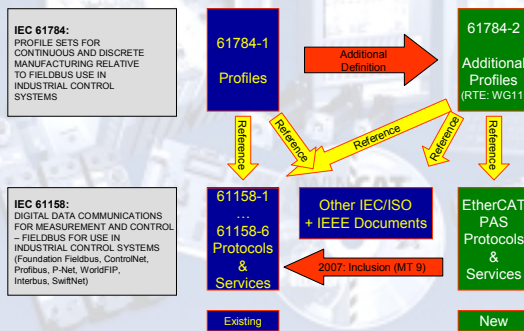


- EtherCAT wird in IEC/SC65C WG11 + MT9 eingebracht
- Vereinbarer Verfahrensweg: Veröffentlichung als **Publicly Available Specification (PAS)**
- Vorteile:
  - kurzfristige Abstimmung (3 Monate)
  - nur 51% der Stimmen erforderlich
  - Dokument muss (noch) nicht allen formalen IEC-Regeln entsprechen
- „Lebensdauer“ PAS: 3 Jahre, danach geplant: Überführung in IS (International Standard) im Maintenance Team (SC65C MT9)
- Ziel: 2007 (nach Ablauf Maintenance Cycle) soll EtherCAT Teil von
  - IEC 61158 (die Feldbus-Norm: DIGITAL DATA COMMUNICATIONS FOR MEASUREMENT AND CONTROL – FIELDBUS FOR USE IN INDUSTRIAL CONTROL SYSTEMS) +
  - IEC 61784 (PROFILE SETS FOR CONTINUOUS AND DISCRETE MANUFACTURING RELATIVE TO FIELDBUS USE IN INDUSTRIAL CONTROL SYSTEMS) werden
- Zeitfenster für Submission of PAS: bis Oktober 2004

### Internationale Normung (III)



#### Existierende und neue Normen und deren Zusammenhang



### Internationale Normung (IV)



- ISO/TC184/SC5/WG5 erarbeitet ISO 15745
- ISO 15745: Open systems application integration framework
- Schwerpunkt der Norm: Geräte- und Systembeschreibungssystematik in XML
- Martin Rostan als German Expert vom **NAM** Normenausschuss Maschinenbau in DIN Deutsches Institut für Normung e.V. Fachbereich Industrielle Automation und Integration **DIN** NAM/DIN entsandt
- EtherCAT wurde in ISO/TC184/SC5/WG5 vorgestellt
- Auch hier hat man sich auf einen vereinfachten Verfahrensweg eingelassen: Einreichung im „Fast Track Procedure“ als DIS (Draft International Standard)
- Vorteile:
  - kurzfristige Abstimmung (5 Monate)
  - nur > 50% der Stimmen erforderlich
  - Dokument muss (noch) nicht allen formalen ISO-Regeln entsprechen
- „Lebensdauer“ DIS: 3 Jahre, danach geplant: Integration in ISO 15745-4
- Zeitfenster für Submission of PAS: bis Oktober 2004

### ETG und IAONA



- IAONA versteht sich als Dachorganisation für Industrial Ethernet
- IAONA hat D-Type Liaison mit IEC/SC65C und hat Martin Rostan als Technical Expert für IEC/SC65C/WG11 benannt
- Februar 2004: Erarbeitung eines MoU zwischen
  - IAONA
  - ETG
  - ODVA (Ethernet/IP)
  - EPSSG (Powerlink)
  - IGS (SERCOS)
  - Modbus-IDA (ModbusTCP)
 zur Zusammenarbeit unter dem Dach der IAONA. Unterzeichnung des MoU auf HMI 2004
- Themenbereiche:
  - Security,
  - Wiring and installation,
  - Usage of IEEE 1588, and
  - System aspects, such as IP addressing, frame prioritisation, industrial MIBs.

Memorandum of Understanding between the organizations IAONA, ETG, ODVA, EPSSG, IGS, Modbus-IDA and ODVA

IAONA, ETG, ODVA, EPSSG, IGS, Modbus-IDA and ODVA (hereinafter referred to as "the Parties") have entered into this Memorandum of Understanding (MoU) for the purpose of establishing a framework for cooperation and collaboration in the field of Industrial Ethernet (IE) technologies.

The Parties, recognizing the need for a common framework for the development and promotion of IE technologies, have agreed to cooperate in the following areas:

1. Technical cooperation in the field of IE technologies, including the development of standards and specifications.

2. Marketing cooperation in the field of IE technologies, including the promotion of IE technologies and the development of marketing materials.

3. Information cooperation in the field of IE technologies, including the exchange of information and the development of a common database.

4. Other cooperation in the field of IE technologies, as may be agreed upon by the Parties.

The Parties agree that this MoU shall be subject to the following conditions:

1. This MoU shall be in full force and effect from the date of its signing.

2. This MoU shall remain in full force and effect for a period of three (3) years, unless terminated or renewed by the Parties.

3. This MoU shall be subject to the following conditions:

a. The Parties shall cooperate in the development and promotion of IE technologies.

b. The Parties shall cooperate in the development and promotion of standards and specifications.

c. The Parties shall cooperate in the development and promotion of marketing materials.

d. The Parties shall cooperate in the development and promotion of a common database.

This MoU is signed in a true and correct copy by the following Parties:

IAONA

ETG

ODVA

EPSSG

IGS

Modbus-IDA

**EtherCAT** BECKHOFF

## ETG und CAN in Automation (CiA)

**CiA**

- CiA hält die CANopen Spezifikationen
- Kommunikationsprofil für CAN + Geräteprofile
- Geräteprofile sollen auch für andere Kommunikationssysteme nutzbar werden
- Hierzu Gründung einer neuen Organisation (Arbeitstitel: „ProOpen“), die sich um die Geräteprofile kümmert
- Gründungstreffen: 11.5.2004
- ETG wird Mitglied bei „ProOpen“

Device Profile A	Device Profile B	Device Profile C	Device Profile X
OSI Layer 7: CANopen Communication Profile CiA Draft Standard 30X			
OSI Layer 2: CAN Data Link Layer (ISO 11898)			
OSI Layer 1: CAN Physical Layer (ISO 11898)			
Bus-Line			

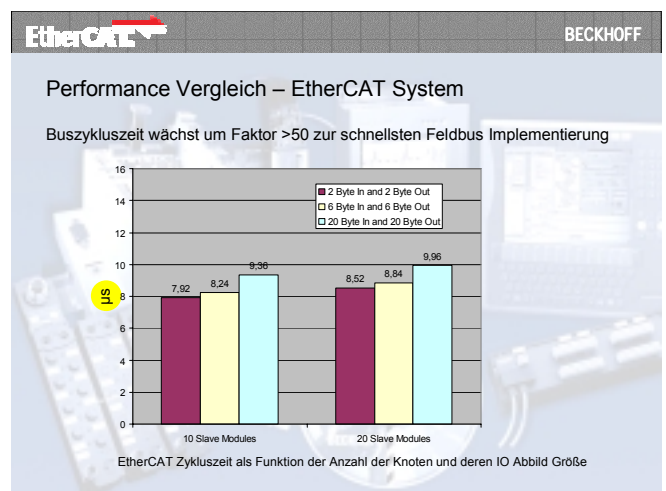
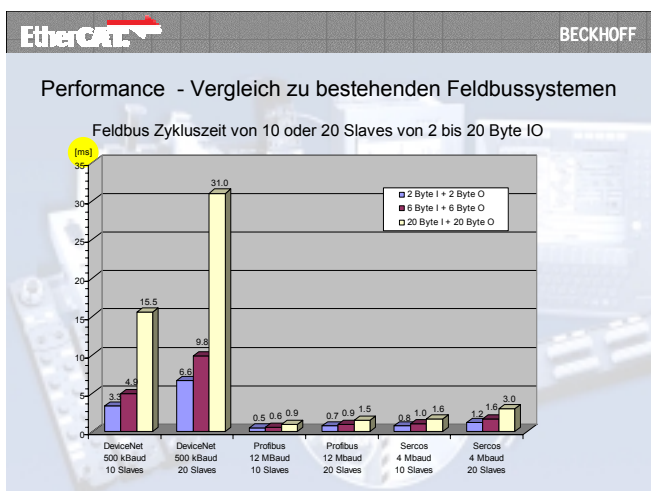
**EtherCAT** BECKHOFF

## ETG und CAN in Automation (CiA)

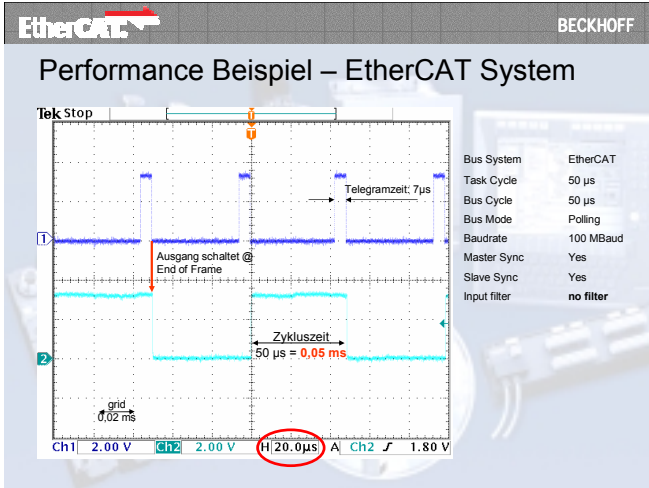
**CiA**

- CiA hält die CANopen Spezifikationen
- Kommunikationsprofil für CAN + Geräteprofile
- Geräteprofile sollen auch für andere Kommunikationssysteme nutzbar werden
- Hierzu Gründung einer neuen Organisation (Arbeitstitel: „ProOpen“), die sich um die Geräteprofile kümmert
- Gründungstreffen: 11.5.2004
- ETG wird Mitglied bei „ProOpen“

Device Profile A	Device Profile B	Device Profile C	Device Profile X
OSI Layer 7: EtherCAT Spec „Communication Profile“			
OSI Layer 2: EtherCAT Data Link Layer			
OSI Layer 1: Ethernet Physical Layer (ISO/IEC 8803-3)			
Bus-Line			



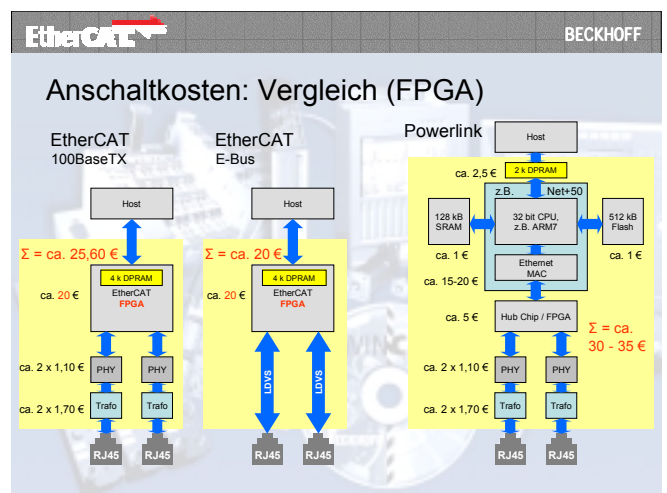
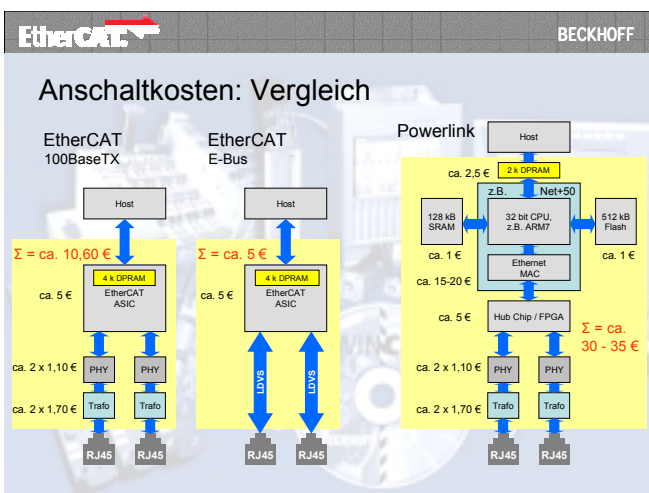




**EtherCAT** BECKHOFF

### EtherCAT Antriebs-Anschaltung ist hochintegriert

- Master: Standard NIC Card oder on-board Ethernet Port
- Drive: einfachste Netzwerk-Anschaltung





## EtherCAT Roadmap



- Mid of 2001: start of development
- April 2003: first presentation at Hanover Fair
- July 2003: first pre-series devices at pilot customer
- November 2003: EtherCAT Technology Group started
- March 2004: Evaluation board and starter kit
- April/May 2004: Spec closed, ASIC development starts
- May 2004: Protocol publication
- October 2004: ASIC available
- End of 2004: Start of series production

## EtherCAT Applikationsfelder

Schnelle Applikationen, e.g.

- Verpackungsmaschinen
- Schnelle Pressen
- Spritzgußmaschinen
- Holzverarbeitungsmaschinen
- Werkzeugmaschinen (CNC)

...

Verteilte Applikationen

- Fördertechnik, Logistik, Meßdatenerfassung

...



80 µs Zykluszeit

## EtherCAT Applikationsfelder

Wegen preiswertester Masteranschaltung und einfacher Verdrahtung ebenso:

- Kleine embedded Controller
- Kleine SPS
- Jede PC basierende Steuerungsapplikation – mit oder ohne Echtzeitanforderung

EtherCAT ermöglicht Feldbus Anwendungen, wo heute aus wirtschaftlichen Gründen nur direkt verkabelt wird.

## Fazit: Der EtherCAT Ansatz

- Herausragende Performance dank voller Nutzung der Ethernet Bandbreite
- Einfach nutzbar dank Autokonfiguration
- Eine Netzwerk Technologie auf allen Ebenen, ohne Installationsprobleme
- Preiswert:
  - keine Switches etc.,
  - Master nutzt on-board Ethernet Controller
- Internet Technologien werden ohne Gateways (preiswert) verfügbar

**EtherCAT macht einen Schritt vorwärts in der Feldbus Technologie!**

## **ETHERNET Powerlink SEI 30.03.2004**

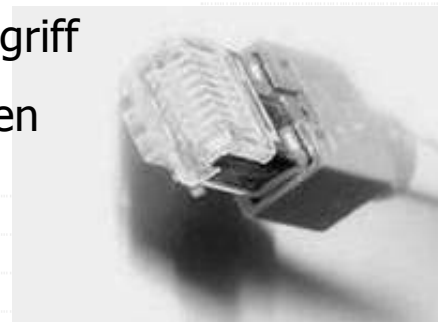


Wolfgang Schnurbusch, Lenze Drive Systems  
Leiter Automatisierungskomponenten und Industrielle Kommunikation



### **Warum Ethernet?**

- ▶ Einfacher Informationszugriff von Steuer- und Leitsystemen auf Automatisierungskomponenten
- ▶ Aufhebung der Trennung zwischen Office und Automatisierungsbereich
- ▶ Fernwartungsfähig für weltweiten Zugriff
- ▶ Einheitliche Kommunikationsstrukturen
- ▶ Einheitliche Verkabelungstechnik
- ▶ Weltweit akzeptierter Standard
- ▶ Nutzung der vielfach vorhandener Tools und Werkzeuge
- ▶ Zukunftssicher



## ... aber in der Automation muss gewährleistet sein:

- ▶ die industrielle notwendige Robustheit
- ▶ die Echtzeitanforderungen
- ▶ die einfache Handhabung bei der Projektierung und im Servicefall
- ▶ die einfache Integration von Systemen in die IT-Struktur des Endkunden
- ▶ der Zugriffsschutz auf Daten

## ... und

- ▶ modulare autonome Module
- ▶ Zentrale- oder dezentrale Steuerungssysteme
- ▶ Flexibilität in der Systemfiguration

## gelöst mit Ethernet Powerlink

- ▶ Bereits erfolgreich im weltweiten Einsatz
- ▶ Hart Echtzeitfähig
- ▶ Einfache Handhabung
- ▶ Unterstützt Internet-Protokollsuite
- ▶ Integration von Basis-Zugriffsfunktion



## Historie

- ▶ Nov 2001 ETHERNET Powerlink von B&R eingeführt
- ▶ Apr 2002 Technologie geöffnet
- ▶ Nov 2002 EPSG Konsortium etabliert  
Hirschmann, Kuka Roboter, Lenze, B&R, ZHW
- ▶ Jun 2003 EPSG Verein gegründet  
Zusammenarbeit mit der CiA bzgl. CANopen vereinbart
- ▶ Nov. 2003 Verabschiedung des ETHERNET Powerlink Kommunikationsprofil V2.0 als Draft Standard Proposal
- ▶ Apr. 2004 Multivendoranlage auf der Hannover Messe Industrie

- ▶ EPSG Verein mit derzeit ca. 30 Mitgliedsfirmen  
Stark wachsend
- ▶ Unabhängige Dienstleister (Stack/Hardware)  
IXXAT, SND, Hilscher, ZHW
- ▶ Kommunikationsprofil EPL V2.0 fertiggestellt.  
Basiert auf CANopen-Standards DS301 und DS302.  
Übernahme der Geräteprofilen von CiA (CANopen)
- ▶ EPL V2.0 ist zur internationalen Normung eingereicht  
(IEC SC65C WG1)



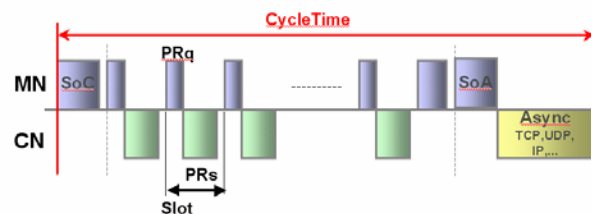
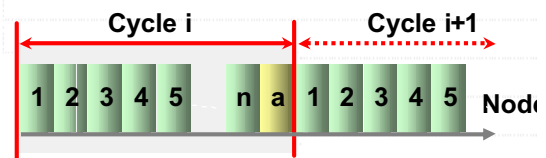
# Strategische Kooperationen



- ▶ CiA/CANopen:
  - ▶ EPL V2.0-Kommunikationsprofil basiert auf DS301; DS302
  - ▶ Gemeinsame Joint Task Force
  - ▶ Geräteprofile werden übernommen
- ▶ IAONA
  - ▶ Ethernet Harmonisierung
  - ▶ IEC Standardisierung
- ▶ ZHW
  - ▶ Geschäftsstelle
  - ▶ Dienstleistungen
  - ▶ Zertifizierung

# Verfahren

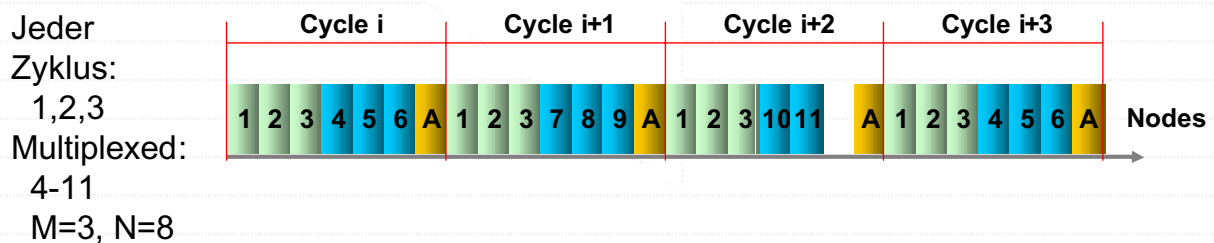
- ▶ „Slot Communication Network Management“ gesteuert durch zentralen Busmaster (Managing Node)
- ▶ Direkter Querverkehr zwischen den Teilnehmern durch Multicast
- ▶ Synchronisierung per SoC
- ▶ Slot für asynchronen Kanal mit beliebigen Ethernet-Telegrammen (u.a. Internet-Protokoll Suite)
- ▶ Standard-Parametrierkanal auf Basis UDP/IP
- ▶ **Basiert auf Standard-Ethernet (Komponenten, Werkzeuge usw.)**





## EPL Verfahren Multiplexed Slots

- ▶ Bandweitenoptimierung
  - ▶ Daten jeden Zyklus (z.B. Masterachse)
  - ▶ Multiplexed Daten (z.B. Slave-Achse)
    - N Datentelegramme in M slots ( $N > M$ )
  - ▶ Ermöglicht eine verbesserte Lastverteilung



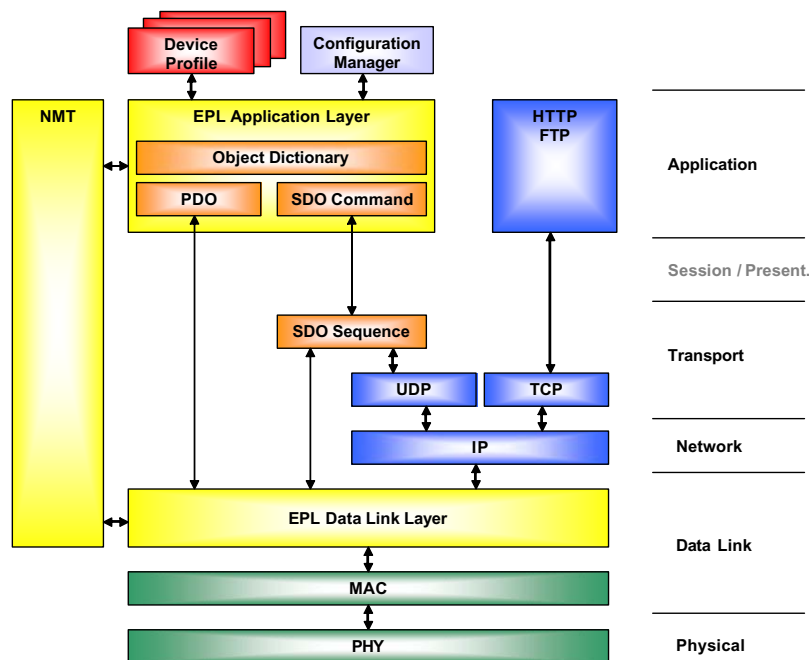
## Adressierung

- ▶ EPL-Adressierung in V2:
  - EPL Node ID in EPL-Frames
  - EPL Node ID als IP-Adresse  
(192.168.100.EPL Node ID)
- ▶ Sehr einfache Adresseinstellung per Schalter möglich

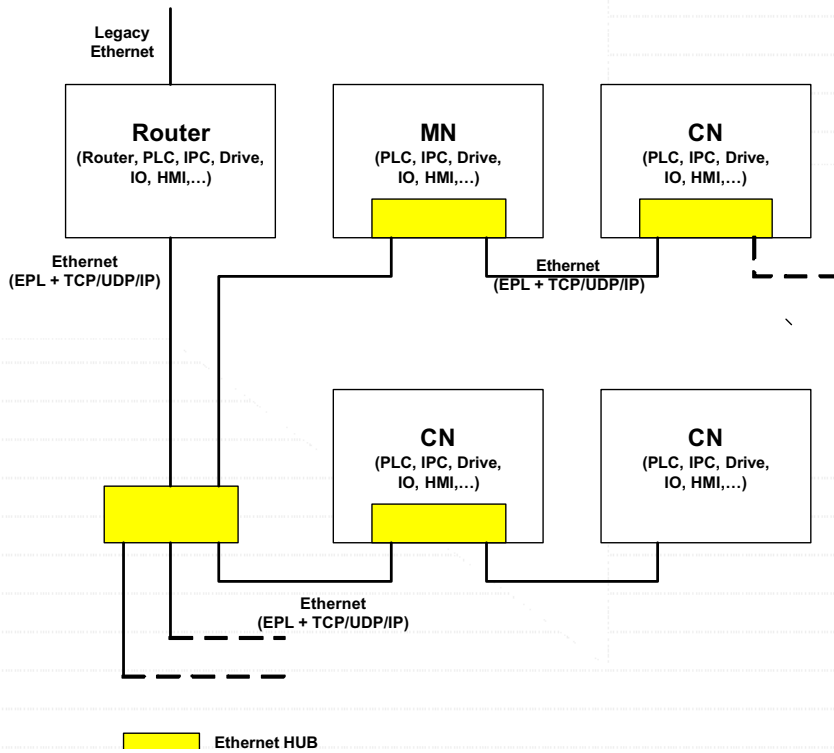
# Harte Echtzeit

- ▶ Basiert auf Fast Ethernet
- ▶ Streng deterministisches System
- ▶ Zykluszeiten bis hinunter zu 200  $\mu$ s
- ▶ Ultra Low Jitter bis hinunter zu  $< 1 \mu$ s

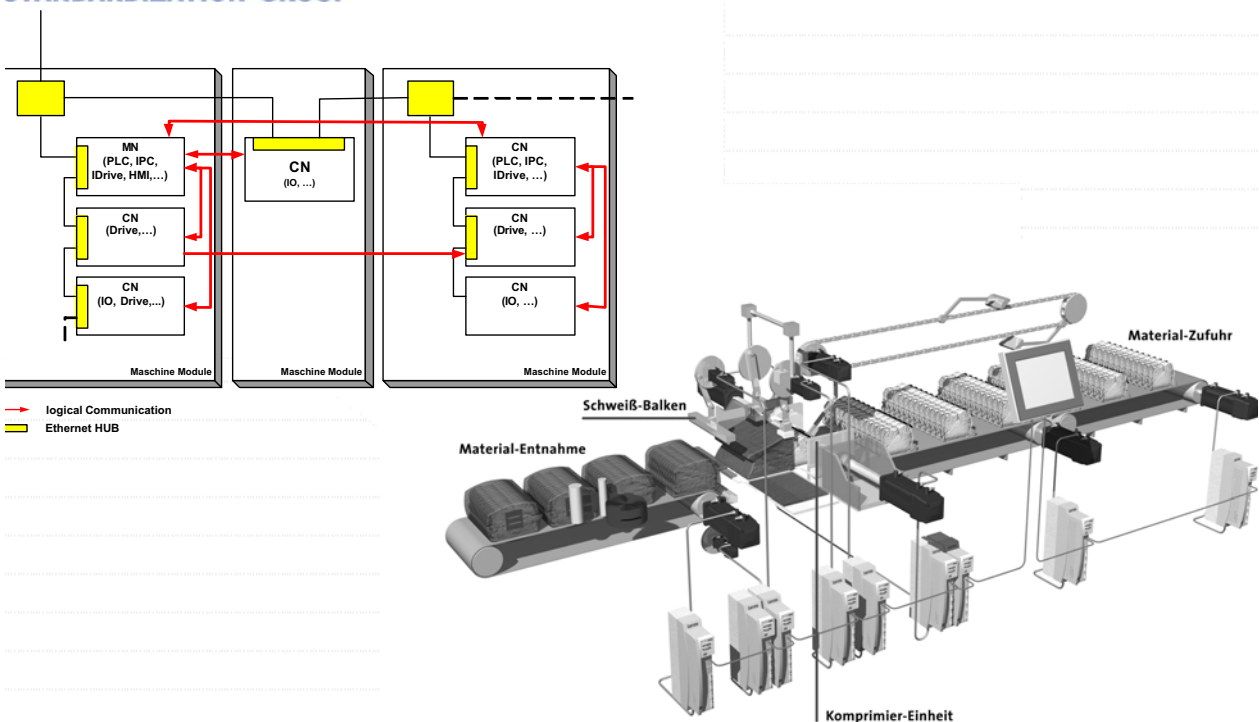
# Stack-Architektur

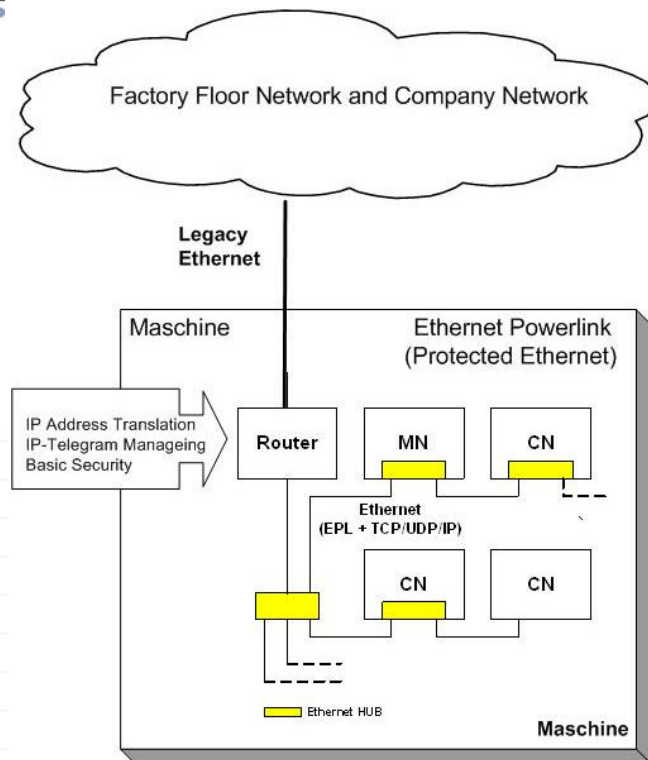


# Einfache Topologie



# Ethernet Powerlink Modulare Systemkonzepte





- ▶ **Trennung/Verbindung:**  
Trennung von geschützten und ungeschützten Ethernet.  
Verbindung durch IP-Routing
- ▶ **Adressumsetzung:**  
Anpassung der Maschinen IP-Adressierung an die IP-Adressierung des Endkunden (IT-Integration)
- ▶ **Security:**  
Basis-Schutz gegen unbefugten Zugriff in einer geschützten Umgebung

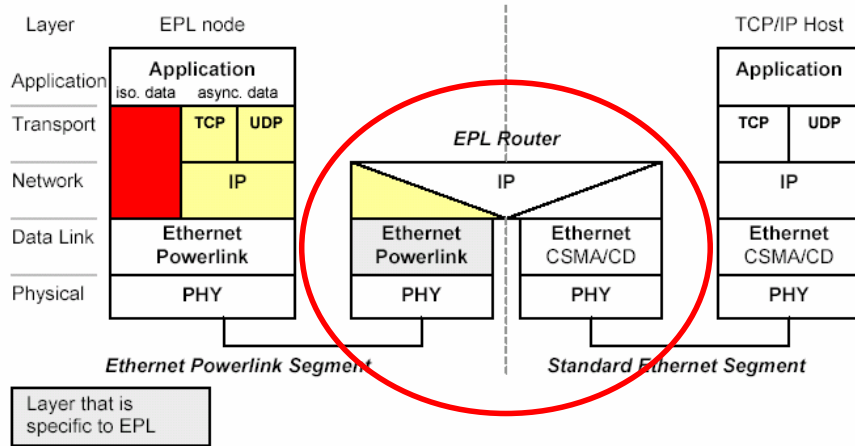
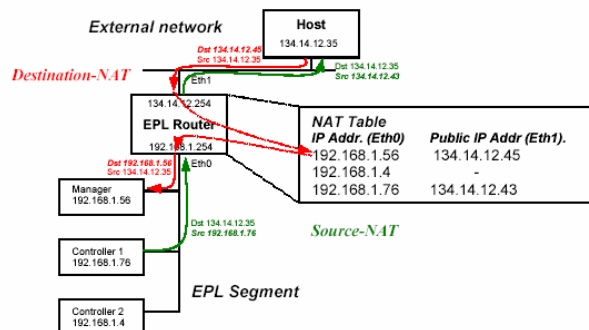


Fig. 96. EPL Router Reference Model

► IP Adressumsetzung nach dem NAT-Verfahren.



Vorteile:

- Systemhersteller ist unabhängig von der IT-Infrastruktur des Endkunden (IP-Adressbereiche)
- Anpassung nur an einer Stelle

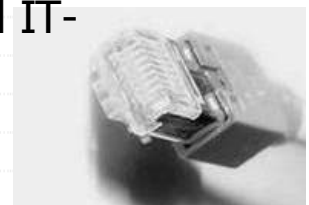
## EPL Router Security

- ▶ Basis-Security in der EPL-Spezifikation enthalten.  
Ansatz: Maschine befindet sich in einem relativ geschützten Umfeld z.B. in einem Fertigungsumfeld.
- ▶ Basis Security durch Paketfilter

Data Link Layer	Source MAC-Address
Network Layer	Source/Destination IP-Address Protocol
Transport Layer	Source/Destination Port
- ▶ Weitergehende Sicherheitsmechanismen können durch Routerhersteller implementiert werden.

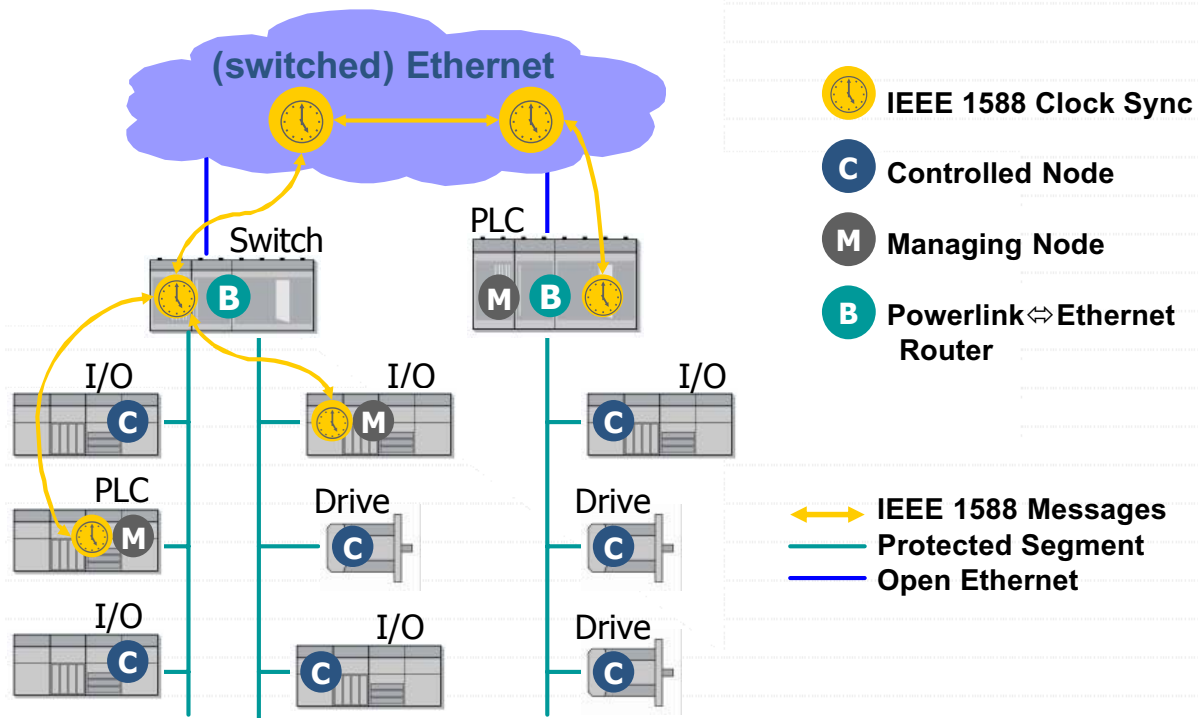
## Einfachheit

- ▶ Bekannte industrielle Infrastrukturkomponenten
- ▶ Einfache Adresseinstellung per Schalter
- ▶ Einfacher Gerätetausch (HotPlugfähig, Adresseinstellung)
- ▶ Einfache und klare Netzwerkd Diagnose
- ▶ Einfache Projektierung und Vorinbetriebnahme von Modulen und Systemen
- ▶ Entkopplung zwischen Systemhersteller und IT-Abteilung des Endkunden





# Ausblick: IEEE 1588 Segment Synchronisation



## Zusammenfassung Warum ETHERNET Powerlink

- ▶ weil es auf IT-Standards basiert
- ▶ weil es „Hart-Realtime“-Anforderungen erfüllt
- ▶ weil es erprobt und zukunftssicher ist
- ▶ weil es einfach in der Handhabung ist
- ▶ weil es optimiert für modulare Systemarchitekturen ist
- ▶ weil es Basis-Zugriffsschutzfunktionen integriert
- ▶ weil es die Integration des Automatisierungssystems in die IT-Infrastruktur des Endkunden stark vereinfacht.



# Herzlichen Dank

**Weitere Informationen unter**

**[www.ETHERNET-Powerlink.org](http://www.ETHERNET-Powerlink.org)**



## Neue Busstandards

# PCI-X, InfiniBand, 2eSST

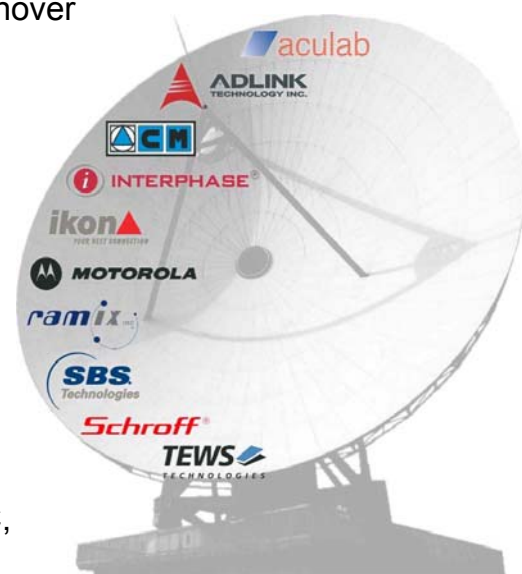
Stephan Hering

Thomas Holzapfel

**powerBridge**  
Computer

## powerBridge Computer

- Gegründet 1993, Sitz in Burgwedel/Hannover
- Boards und Systemintegration für Applikationen in Luft- und Raumfahrt, Forschung, Industrieautomation, Telekommunikation und Telematik
- Führende Hersteller: Aculab, ADLINK, Interphase, Motorola Computer Group, RAMiX, SBS, Schroff, TEWS
- Produkte: Boards, Systeme, Systemintegration, Treiber, Protokolle, Betriebssysteme und OEM-Lösungen
- Standards: VMEbus, CompactPCI, PMC, IndustryPack und EBC

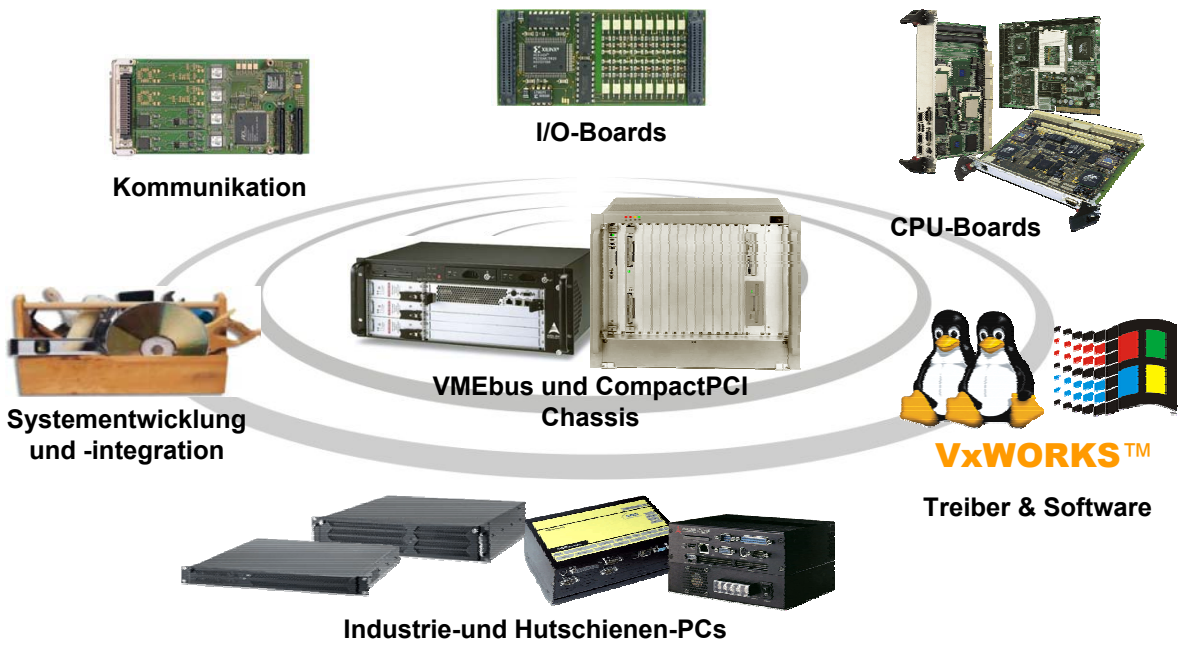


**Neue Busstandards**  
PCI-X, InfiniBand, 2eSST

**powerBridge**  
Computer



# Boards & Systeme für Industrie und Forschung



**Neue Busstandards**  
PCI-X, InfiniBand, 2eSST



**Neue Standards  
für Bussysteme**



# Neue Standards für Bussysteme

## ■ PCI-X & PCI-Express

- Bandbreite heute bis 8 GB/s
- Abwärtskompatibel zu PCI
- Höhere Ausnutzung der PCI Brutto-Bandbreite
- Einheitliches System für Chip-zu-Chip Kommunikation

## ■ InfiniBand

- Bandbreite skalierbar von 2.5 bis 60 Gbit/s
- Geringe Latenzzeit (typ. 8µs)
- Anzahl der Nodes unbegrenzt
- Nicht blockierende Punkt-zu-Punkt Verbindungen

## ■ VME 2eSST

- Bandbreite 320 MB/s
- Abwärtskompatibel zu VMEbus und bestehenden Boards
- Kein SW-Protokoll-Overhead

**Neue Busstandards**  
PCI-X, InfiniBand, 2eSST



# Einsatzgebiete für Bussysteme

	InfiniBand		
	Ethernet		
	2eSST		
PCI, PCI-X & PCI-Express			
Chip-zu-Chip Verbindung	Backplane-zu-Board Verbindung	Chassis-zu-Chassis Verbindung	System-zu-System Verbindung

**Neue Busstandards**  
PCI-X, InfiniBand, 2eSST





# PCI-X

# PCI-Express

powerBridge  
Computer

## PCI-Express



- PCI-Express ist paket-orientiert und verwendet 1 bis 32 serielle Verbindungen mit jeweils 2.5 Gb/s Datenrate je Richtung
- Für 8 Bit Nutzdaten werden 10 Bit übertragen
- PCI-Express vereinheitlicht die I/O-Architektur für Grafik, Netzwerk, Massenspeicher..
- Erste Produkte in 2004 erwartet

PCI-Express Bandbreite		
PCI Express Lines	Bandbreite pro Stream	Bandbreite duplex
1	256 MB/s	512 MB/s
2	512 MB/s	1 GB/s
4	1 GB/s	2 GB/s
8	2 GB/s	4 GB/s
16	4 GB/s	8 GB/s
32	8 GB/s	16 GB/s

PCI 32-bit Bus



PCI-Express x16



PCI-Express x1



Neue Busstandards  
PCI-X, InfiniBand, 2eSST

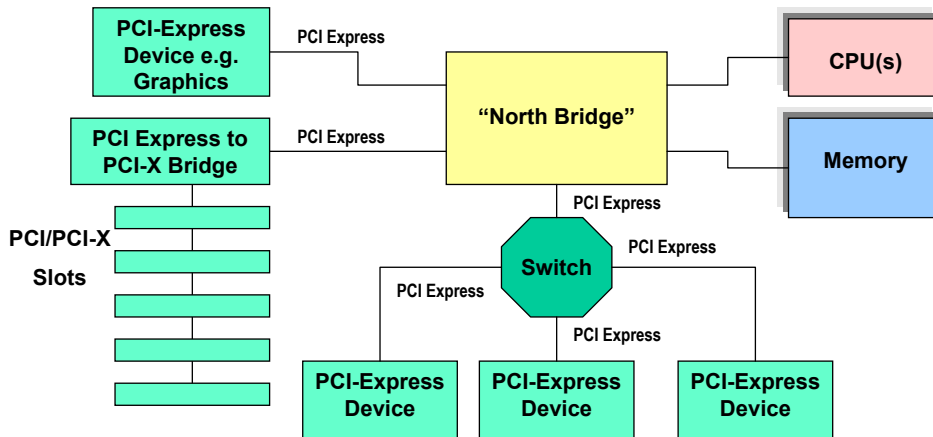
powerBridge  
Computer



# PCI-X Standard



- PCI-X bietet bei 64-bit 33..133 MHz Bustakt - zukünftig auch 266, 533, ...
- PCI-X 133 entspricht 1 GB/s Brutto-Übertragungsrate
- PCI-X wird bei neuen Board-Designs als On-Board Bus verwendet
- PMCX-Steckplätze (PMC-Modul + PCI-X) bringen hohe I/O-Performance

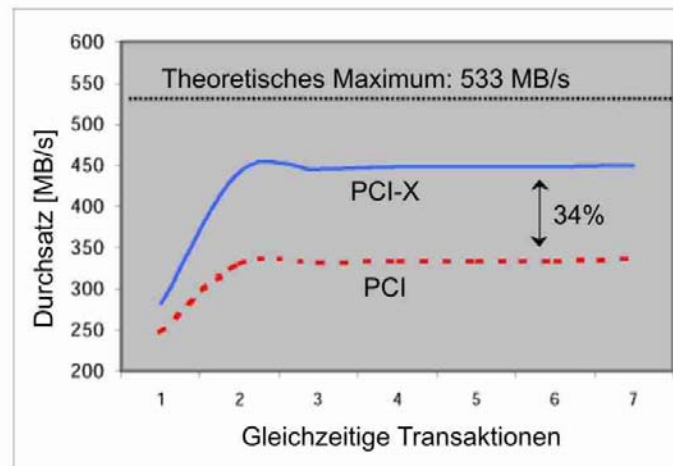


**Neue Busstandards**  
PCI-X, InfiniBand, 2eSST



## PCI-X versus PCI

- PCI-X erlaubt Bus-Transaktionen zu Splitten - wartende Prozesse blockieren nicht mehr den Bus – großer Vorteil für Multiprozessor-Systeme
- PCI-X hat eine optimierte Fehlerbehandlung - ein „fehlerhaftes“ I/O-Device kann nicht mehr das ganze System ausbremsen



Quelle Compaq Computer

Vergleich zwischen PCI und PCI-X Bus bei 4 kB Lesezugriffen und 64-bit/66MHz Bus

**Neue Busstandards**  
PCI-X, InfiniBand, 2eSST



# PCI Übersicht

- Die aktuellen PCI und PCI-X Standards in der Übersicht

PCI-Versionen im Überblick							
PCI-Version	PCI 2.0	PCI 2.1	PCI 2.2	PCI 2.3	PCI-X-1.0	PCI-X-2.0	PCI-X-3.0
Max. Busbreite [Bit]	32	64	64	64	64	64	64
Max. Taktrate [MHz]	33	66	66	66	133	533	1066
Max. Bandbreite [GByte/s]	0,12	0,5	0,5	0,5	1	4	8
Slots pro Bridge	4	2	2	2	1	1	1
I/O Spannung	5 V	5 V/3.3 V	5 V/3.3 V	3.3 V	3.3 V	3.3 V/1.5 V	3.3 V/1.5 V
Einführung	1993	1994	1999	2002	1999	2002	2004

**Neue Busstandards**  
PCI-X, InfiniBand, 2eSST



## PCI-X CPU-Boards



### cPCI-6840

- 6HE/4TE High-Performance Blade CPU-Board
- 1.6 GHz Pentium M, 2 GB ECC DDR
- VGA Grafik
- Zwei/vier serielle Ports, USB 2.0
- Zwei Gigabit Ethernet Ports
- Zwei 64-bit/100 MHz PMCX-Steckplätze
- PICMG 2.16 und 2.9 kompatibel



### cPCI-6860A

- 6HE/8TE Dual-Prozessor System-Slot CPU-Board
- Zwei 2.4 GHz Low-Voltage Xeon® CPUs, 4 GB ECC DDR
- U320-SCSI, VGA Grafik
- Vier Gigabit und ein Fast Ethernet Port, 2.16 kompatibel
- Zwei serielle Ports USB 2.0
- PICMG 2.16 und 2.9 kompatibel



**Neue Busstandards**  
PCI-X, InfiniBand, 2eSST





# InfiniBand

## $\infty$ + Bandbreite

powerBridge  
Computer

## Was ist InfiniBand



- InfiniBand ist ein “geschaltetes” Hochgeschwindigkeits-Netzwerk zur Kopplung von Rechnern und Massenspeichern
- Kapazität pro IB-Link 2.5..30 Gb/s Halb-Duplex und 5..60 Gb/s Voll-Duplex
- Aufbau als Switched-Fabric
  - Punkt zu Punkt Verbindungen
  - Nicht Bus-basiert – Bandbreite muß nicht mit anderen Teilnehmern geteilt werden
  - “Unbegrenzte” Anzahl an Nodes (nur durch Größe des VC-Speichers begrenzt)
- InfiniBand Switches
  - Sehr geringe Latenzzeiten
  - Kein “Hub”
- InfiniBand Router
  - Verbindet IB-Subnetze
  - Lasttrennung
  - Schafft Übergänge in andere Netzwerke

Neue Busstandards  
PCI-X, InfiniBand, 2eSST

powerBridge  
Computer

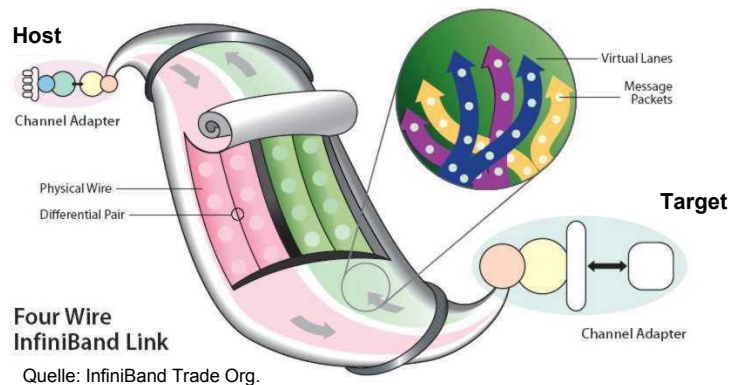
# Was ist InfiniBand

## ■ Infiniband Adapter

- HCA (Host Channel Adapter) = IB-Adapter am Hosts
- TCA (Target Channel Adapter) = IB-Adapter an Massenspeichern, I/Os...

## ■ Aufbau der Kupfer-basierten IB-Links

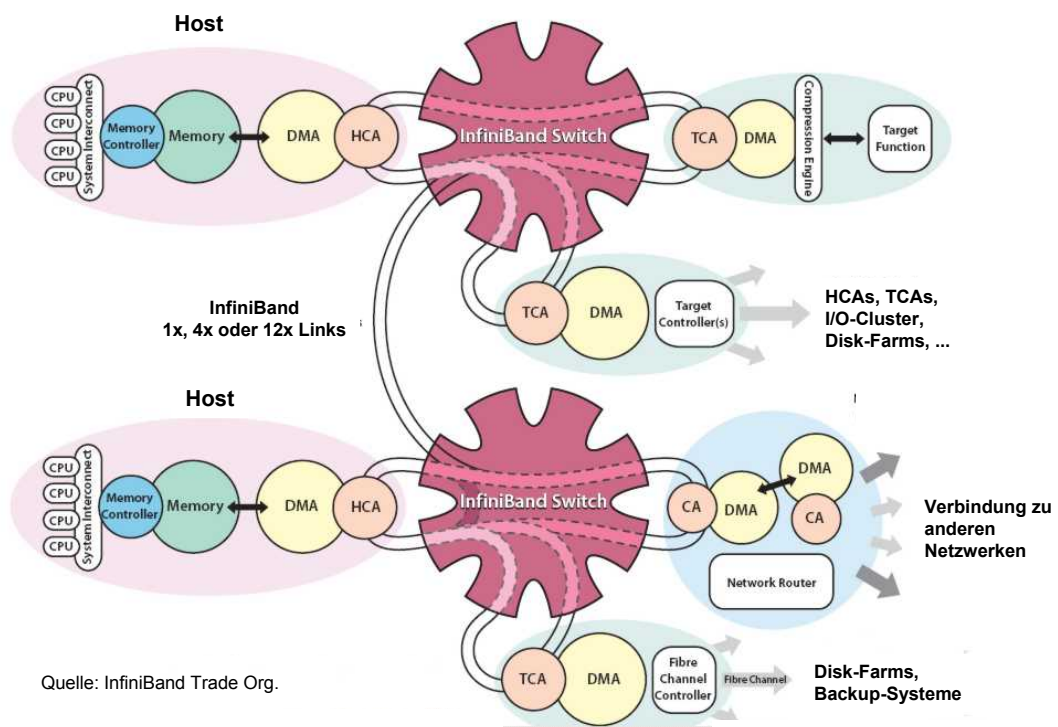
- 100 Ohm Twisted-Pair Kabel mit doppelter Schirmung
- 1..12 Aderpaare pro Übertragungsrichtung
- Bis zu 16 virtuelle Verbindungen pro Aderpaar (davon 2 reserviert)



**Neue Busstandards**  
PCI-X, InfiniBand, 2eSST



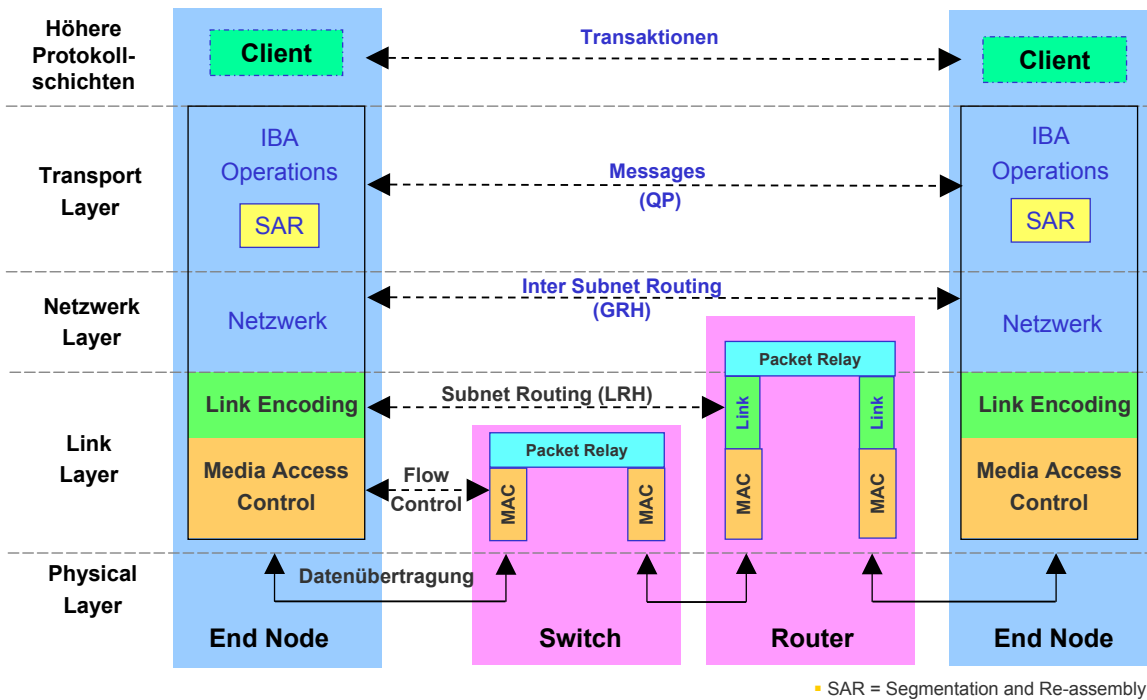
# InfiniBand Topologie



**Neue Busstandards**  
PCI-X, InfiniBand, 2eSST



# InfiniBand Layer-Modell

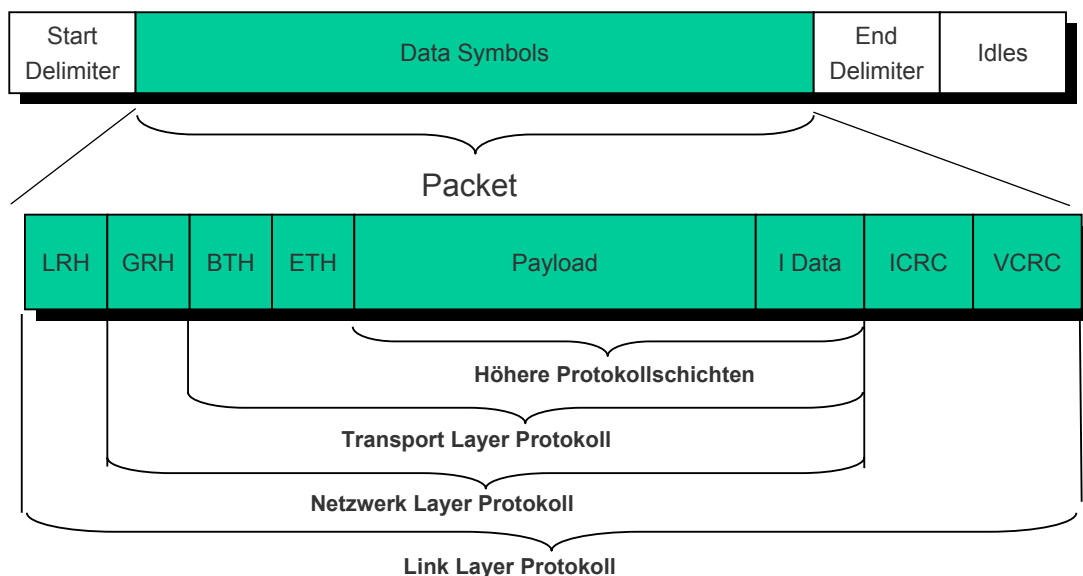


**Neue Busstandards**  
PCI-X, InfiniBand, 2eSST



# InfiniBand Datenpakete

- LRH = Local Route Header, GRH = Global Route Header, BTH = Base Transport Header, ETH = Extended Transport Header
- Payload = Bis zu 4096 Bytes, I Data = Immediate Data, ICRC = Invariant CRC, VCRC = Variant CRC



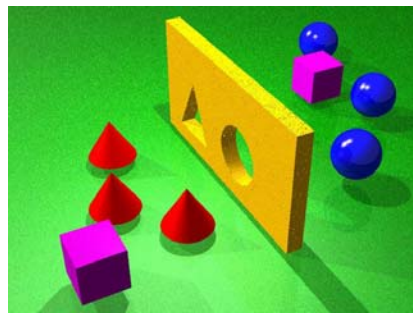
**Neue Busstandards**  
PCI-X, InfiniBand, 2eSST





## InfiniBand höhere Protokollschichten

- TCP/IP over InfiniBand (IPoIB) mit IPv6 Adressierung
- Sockets Direct Protocol (SDP) – Geringer Overhead und damit geringe CPU-Belastung
- SCSI Remote Protocol (SRP) – TCA mit SCSI-Anschluss
- Message Passing Interface (MPI) – Clustering Protokoll
- HIPPI Framing Protocol (FP) – Bestandsschutz für bestehende HIPPI User



**Neue Busstandards**  
PCI-X, InfiniBand, 2eSST



## InfiniBand Bandbreite und Kabel

### ■ IB-Bandbreite

InfiniBand Typ	Datenrate Halb-Duplex		Datenrate Voll-Duplex	
	Brutto	Netto	Brutto	Netto
IB 1x	2.5 Gb/s	250 MB/s	5 Gb/s	500 MB/s
IB 4x	10 Gb/s	1 GB/s	20 Gb/s	2 GB/s
IB 12x	30 Gb/s	6 GB/s	60 Gb/s	12 GB/s

- Aktuell werden mit 4x InfiniBand ~ 800 MB/s erreicht - der limitierende Faktor ist dabei der PCI-X Bus und nicht InfiniBand - IB-Adapter mit PCI-Express Interface sind in Entwicklung
- Im Vergleich bieten 10GigE ~500 MB/s (bedingt durch Kommunikations-Overhead) und Myrinet 320 MB/s
- Kupfer-Verbindungen
  - 4x Steckverbinder entspricht 10GigE
  - Maximal 20 m Kabellänge
- Glasfaser -Verbindungen
  - Multi-Mode Faser mit MPO Stecker
  - Maximale Kabellänge 300 m bei InfiniBand 4x
  - Maximale Kabellänge bei Mono-Mode bis zu 10 km



**Neue Busstandards**  
PCI-X, InfiniBand, 2eSST





# InfiniBand Produkte



## ■ Switches

- 8 InfiniBand 4x Ports in 1HE Chassis
- 24 InfiniBand 4x Ports in 1HE Chassis
- 12..96 InfiniBand 4x Ports in 9HE Chassis



## ■ PCI-X HCA 64-bit/66..133 MHz

- Zwei 4x InfiniBand Ports
- Verbindungsspeicher austauschbar (256 MB default)



## ■ PMC HCA 32/64-bit/66..133 MHz

- Zwei 4x InfiniBand Ports
- 5..13 W Verlustleistung (Abhängig vom Durchsatz)



## ■ Treiber

- RedHat LINUX 7.3 verfügbar
- Ab Q1/Q2 2004 : RedHat LINUX 9.0, VxWorks und IRIX

**Neue Busstandards**  
PCI-X, InfiniBand, 2eSST



# InfiniBand Produkte



## ■ PCI-to-PCI Bridge over IB Fiber-Link

- Voll transparente Kopplung von PCI-Bussegmenten über IB-Link
- 2.5 Gb/s 1x InfiniBand LWL-Verbindung
- 64-bit/66Mhz Businterface
- Kein CPU-Overhead
- Verbindung zu Remote PCI, cPCI- oder VMEbus-Systemen



## ■ cPCI-to-cPCI/PCI Bridge over IB Fiber-Link

- Voll transparente Kopplung von PCI-Bussegmenten über IB-Link
- 2.5 Gb/s 1x InfiniBand LWL-Verbindung
- 64-bit/66Mhz Businterface
- Kein CPU-Overhead
- Verbindung zu Remote PCI, cPCI- oder VMEbus-Systemen



## ■ Infiniband Media Konverter

- 1x Kupfer-Infiniband zu Fiber-InfiniBand Konverter
- Multi-Mode und Single-Mode Version verfügbar
- ST LWL-Stecker
- 8..36 VDC Betriebsspannung



**Neue Busstandards**  
PCI-X, InfiniBand, 2eSST



# InfiniBand Anschlussstechnik



## ■ InfiniBand 1x

- 2.5 Gb/s
- 2 Twisted-Pair Aderpaare



## ■ InfiniBand 4x

- 10 Gb/s
- 4 Twisted-Pair Aderpaare
- Stecker wie 10GbE



## ■ InfiniBand 12x

- 30 Gb/s
- 12 Twisted-Pair Aderpaare



**Neue Busstandards**  
PCI-X, InfiniBand, 2eSST

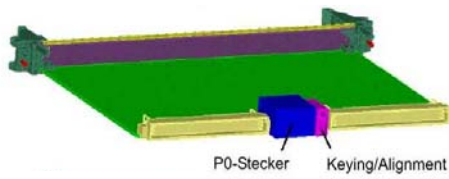


# VXS

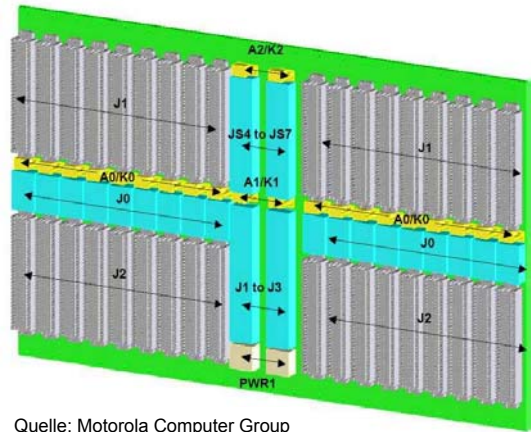
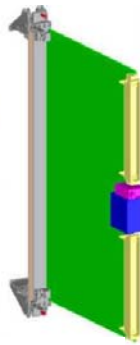
## VMEbus Switched Backplane



# VXS Hardware Implementierung

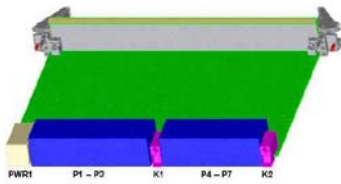


**Payload Board**



Quelle: Motorola Computer Group

**VXS Backplane**

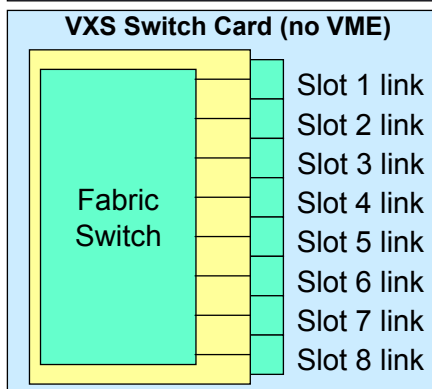
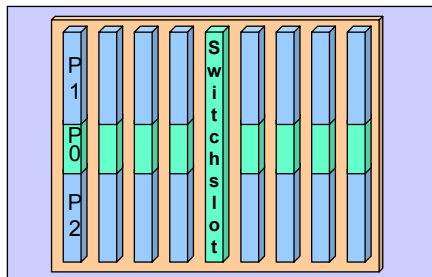


**Switch Board**

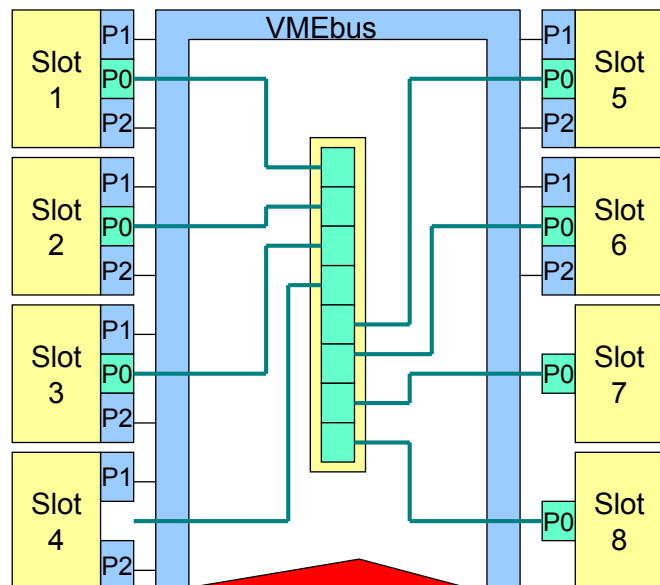
**Neue Busstandards**  
PCI-X, InfiniBand, 2eSST



# VXS VMEbus Switched Backplane



**Logische Verbindungen zur Switch-Karte**



**Neue Busstandards**  
PCI-X, InfiniBand, 2eSST





# VMEbus 2eSST

## 320 MB/s

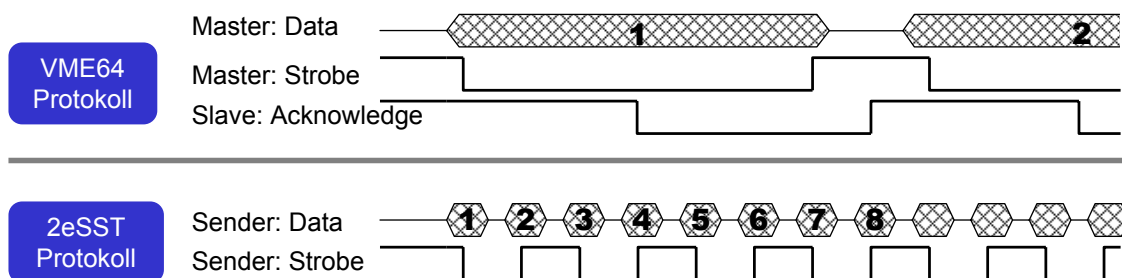


powerBridge  
Computer

## 2eSST Eigenschaften



- VMEbus 2eSST (Two edge Source Synchronous Transfer)
  - Bis zu 320 MB/s über bestehende Busplatinen - real gemessen 305 MB/s
  - Mit angepassten Busplatinen werden höhere Datenraten möglich sein
  - 2eSST ist kompatibel zu existierenden VMEbus CPU und I/O-Boards
  - 2eSST ist multimasterfähig und erlaubt weiterhin 21 VMEbus Steckplätze (ohne Bridges)
  - 2eSST Technologie und Chipsätze sind für alle Hersteller frei verfügbar



Neue Busstandards  
PCI-X, InfiniBand, 2eSST



# MVME6100 VMEbus 2eSST CPU



## ■ Key Features

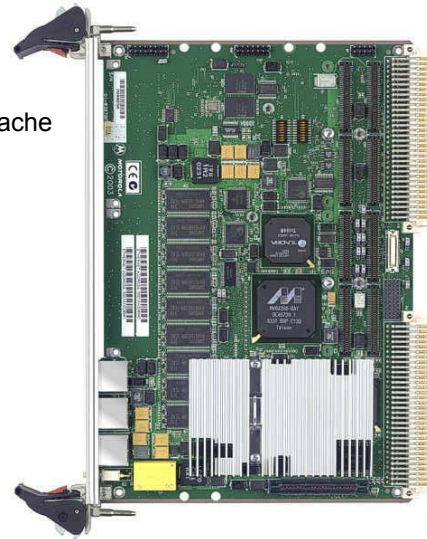
- 6HE/4TE High-Performance CPU-Board
- 1.3 GHz MPC7457 PowerPC Prozessor
- 32K/32K L1-Cache, 256K/256K L2-Cache, 2 MB L3-Cache
- Bis 2 GB ECC DDR RAM
- Zwei/vier serielle Ports
- Zwei Gigabit Ethernet Ports
- Zwei 64-bit/100 MHz PMCX-Steckplätze
- Tempe 2eSST PCI-zu-VMEbus Bridge

## ■ Software Support

- LINUX
- VxWorks

## ■ Verfügbarkeit

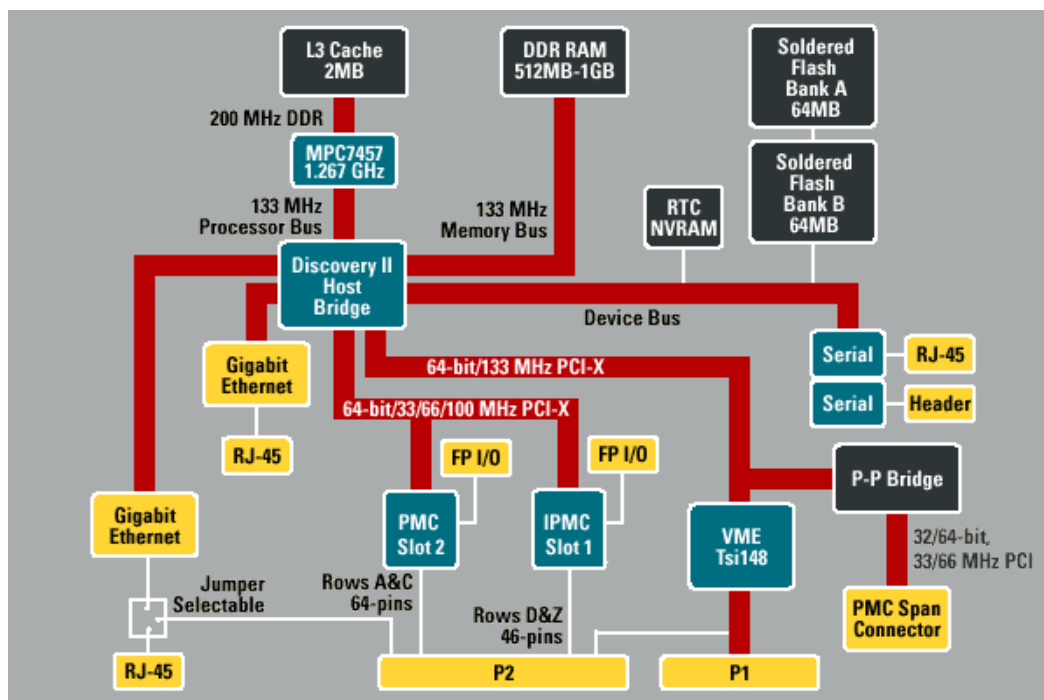
- Ab Mai 2004



**Neue Busstandards**  
PCI-X, InfiniBand, 2eSST



# MVME6100 VMEbus 2eSST CPU



**Neue Busstandards**  
PCI-X, InfiniBand, 2eSST

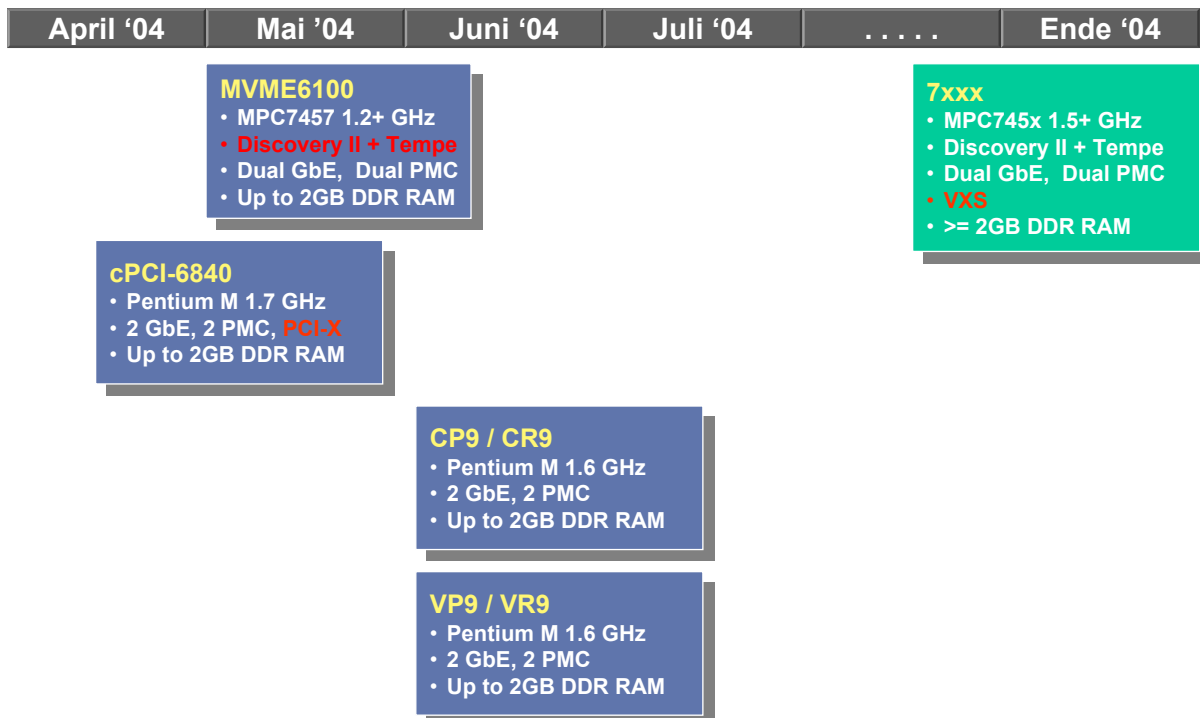




# Kommende Produkte

powerBridge  
Computer

## cPCI & VMEbus Roadmap



**Neue Busstandards**  
PCI-X, InfiniBand, 2eSST

powerBridge  
Computer



## Quellen und Links

[www.powerbridge.de](http://www.powerbridge.de)

[www.adlinktechnology.com](http://www.adlinktechnology.com)

[www.interphase.com](http://www.interphase.com)

[www.infinibandta.org](http://www.infinibandta.org)

[e-www.motorola.com](http://e-www.motorola.com)

[www.marvell.com](http://www.marvell.com)

[www.mcg.mot.com](http://www.mcg.mot.com)

[www.pcisig.com](http://www.pcisig.com)

[www.picmg.com](http://www.picmg.com)

[www.schroff.de](http://www.schroff.de)

[www.sbs.com](http://www.sbs.com)

[www.tews.com](http://www.tews.com)

[www.vita.com](http://www.vita.com)

Datenblätter & Manuals zu cPCI und VMEbus Produkten

ADLINK CompactPCI und PCI CPUs, I/O-Boards und Chassis

Interphase Inc., PMC-Module, PCI und cPCI I/O-Boards, cPCI Netzwerk Prozessor Boards

Infiniband Trade Organisation, InfiniBand Standards

Motorola Semiconductors, PowerPC CPUs

PowerPC Memory Controller Chipsätze

Motorola Embedded Computer Homepage

PCI Special Interest Group, PCI-Bus Weiterentwicklung

PCI Industrial Computer Manufacturers Group, PCI-Bus Standards

VMEbus und cPCI Chassis und Backplanes, Spezifikationen

SBS Technologies VMEbus und cPCI CPUs und I/O-Boards

TEWS Technologies, VMEbus CPUs, PMC und IP-Module, VMEbus, cPCI und PCI Trägerkarten und I/O-Boards

VMEbus International Trade Association, VMEbus Standards

**Stephan Hering**  
Marketing & Business Development  
[stephan.hering@powerbridge.de](mailto:stephan.hering@powerbridge.de)

**Thomas Holzapfel**  
Vertriebsleiter Telekommunikation  
[thomas.holzapfel@powerbridge.de](mailto:thomas.holzapfel@powerbridge.de)

**powerBridge Computer**  
Ehlbeek 15a • 30938 Burgwedel  
Tel: 05139 9980-0 • Fax: 05139 9980-49

**Neue Busstandards**  
**PCI-X, InfiniBand, 2eSST**



# Anhang

# powerBridge Computer Übersicht

**powerBridge**  
Computer

# Chassis



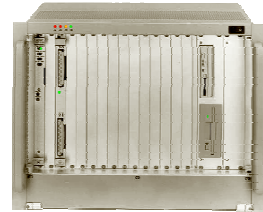
## ■ Standard Chassis

- RackPak VMEbus Chassis mit 5..20 Slots und Rear-I/O
- CompactPCI Chassis mit 2..21 Slots und Rear-I/O
- High-Available cPCI Chassis mit 12..16 Slots und Rear-I/O
- AC/DC Stromversorgungen 150..1500 W



## ■ Industrie-PCs

- Robuste Industriegehäuse mit PCI oder PCI-X passive Backplanes mit 2..15 Slots
- AC/DC Stromversorgungen 200..500 W, auch redundant



## ■ Kundenspezifische Chassis

- VMEbus Chassis mit 2..21 Slots
- CompactPCI Chassis mit 2..42 Slots
- CompactTCA und AdvancedTCA Chassis
- OEM-Chassis mit Single-Board Controllern
- Für erhöhte Anforderungen bei Schock- und Vibrationsfestigkeit, Betriebstemperaturbereich, EMC/EMV, ...



**Neue Busstandards**  
PCI-X, InfiniBand, 2eSST



# CPU-Boards



## ■ Architekturen:

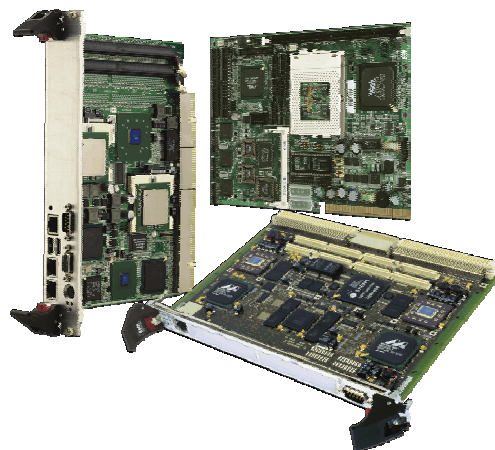
Intel X86, VIA-C3, PowerPC, 68K, MIPS, StrongARM, TMS320, Shark, Winpath, C-5, ...

## ■ Standards:

CompactPCI, CTCA, VMEbus, PCI-Bus, ProzessorPMC, EBC, ...

## ■ Ausführungen:

Standard, industrieller oder erweiterter Temperaturbereich, Conformal Coating, Wedge-Locks, ...



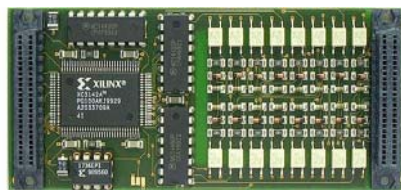
**Neue Busstandards**  
PCI-X, InfiniBand, 2eSST



## I/O-Boards



- Standards: VMEbus, CompactPCI, PCI, PMC- und IndustryPack-Module
- Ausführungen: Commercial, Industrial, Ruggedized
- I/O-Funktionen: Über 300 verschiedene Module
  - Analog-I/O, Digital-I/O, DRAM, EIDE, Flashdisk, Flash-Speicher, IP-Trägerkarten, Grafik & Video, Motorcontroller, PC-Card, PCMCIA, PMC-Trägerkarten, Prozessor PMCs, Quadraturdecoder, RAID, SCSI, RS170, RS343, SERCOS, Signalprozessoren, SDRAM-Speicher, Synchro/Resolver, Test- und Display, Video Frame-Grabber, Zähler
- Kundenspezifische I/O-Lösungen: Anpassung/Entwicklung



**Neue Busstandards**  
PCI-X, InfiniBand, 2eSST



## Kommunikations-Boards



- Standards: VMEbus, CompactPCI, PCI, PMC- und IndustryPack-Module
- Ausführungen: Commercial, Industrial, Ruggedized
- Über 200 verschiedene Module:
  - ARCNET, ARINC, ATM, CAN Bus, E1/T1, E3/T3, EIDE, Fibre Channel, FireWire, Fast und Gigabit Ethernet Adapter und Switches, GPIB IEEE488, Infiniband, Interbus, LON, MIL-STD-1553, Profibus-DP, Prozessor-PMCs, RAID, SCSI, SERCOS, serielle Ports, Switches
- Kundenspezifische I/O-Lösungen: Anpassung/Entwicklung



**Neue Busstandards**  
PCI-X, InfiniBand, 2eSST





## Industrie-PCs



- Slot-CPU Karten mit VIA-C3, Pentium III, Pentium 4, Banias, Xeon CPUs  
...
- Einbaumöglichkeit für Floppy, CD/DVD und Festplatten
- AC/DC Stromversorgungen 200..400W (optional redundant)
- 1HE, 2HE oder 4HE Chassis mit 2..15 Steckplätzen
- Passive Backplane mit PCI- oder PCIX-Bus
- Optimierte Luftführung



**Neue Busstandards**  
PCI-X, InfiniBand, 2eSST



## DIN-Rail PCs



- Low-Power AMD Geode, VIA-C3 oder Pentium-III CPUs
- Einbaumöglichkeit für Floppy, CD/DVD und Festplatten
- AC/DC Stromversorgungen
- PMC/PC104 Steckplätze



**Neue Busstandards**  
PCI-X, InfiniBand, 2eSST



# Software/Dokumentation

## ■ Unterstützte Betriebssysteme

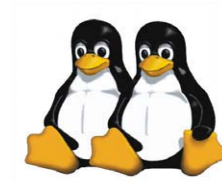
- LINUX, embedded LINUX
- OSE
- Microware OS-9
- VxWorks
- Windows NT/2000/XP, Embedded NT/XP

## ■ Treiber/Support

- BSPs
- Treiber, Source Code

## ■ Dokumentation

- Datenblätter / Handbücher
- Literatur
- Schaltungs- und Wartungsunterlagen



**WIND RIVER**  
**VxWorks™**



**Windows2000/XP**  
**EmbeddedXP**

**Neue Busstandards**  
**PCI-X, InfiniBand, 2eSST**

**powerBridge**  
**Computer**





Spirit of Acqiris

# SEI

DESY-Hamburg march 29 to 31rst,2004

acqiris



Spirit of Acqiris

## Acqiris market today

- ❏ **Single/Dual channel applications**
  - Served with PCI digitizer cards
- ❏ **Large multi-channel systems**
  - Up to several hundreds of channels
  - Covered with Compact-PCI digitizers
- ❏ **Digitizers with Real Time Data processing (FPGA's)**
  - Averagers, Pak Detectors in PCI
  - Analysers and Data Streamers in cPCI



Spirit of Acqiris

## DPxxx Serie

### DP235

- 2ch, 500MHz, 0.5-1 GS/s, 128-256K, 2-4 Mpoint opt.

### DP240

- 2ch, 1GHz, 1-2 GS/s, 128-256K, 8-16 Mpoint opt.



acqiris



Spirit of Acqiris

## Highly Integrated Technology



Integration



Reliability

Mezzanine Front-end

3 GHz SiGe BiCMOS Amplifier/Trigger Circuit

Cross point switch for 4 channels

1 GS/s ADC

Mezzanine Trigger

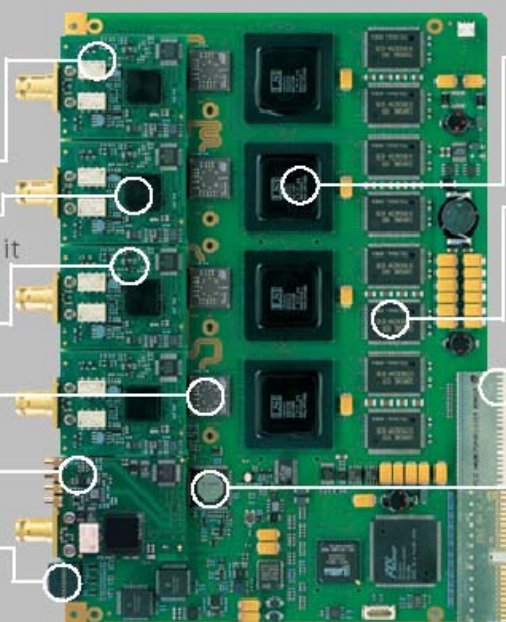
ASBus Trigger, and Clock Distribution

128 kpoint memory and demux

Up to 32 Mpoint Memory

PXI Controller

Precision Time Base



DC271



## V-Class product family features

- Highest BW and SR in cPCI/PXI using SiGe technology
- Most compact design thanks to proprietary ASICs
- Lowest Power rating (<45 W) vs. Performance in modular platform
- 1 GHz Auto-Synchronous Bus (ASBus) for synchronizing clocks and triggers over multiple cards
- Unique "Control I/O" in/outputs for trigger in/out, clock in/out, many other functions



## DPU Technology and Next Generation

- Increase measurement throughput
- Help capturing rare events
- [1.5, 2] GHz bandwidth
- 8-bit low power or 10-bit ADC with SR of 2 GS/s
- MAC200
- COS201
- Optional memory mezzanine up to 256 MS/ch
- Data transfer up to 64 bit and 66 MHz





Spirit of Acqiris

## One size does not fit all...



acqiris



Spirit of Acqiris

## Remote Control with the Instrument Server Remote Control Over LAN

- Control multiple systems from the same computer
- Easy to go over long distances







Spirit of Acqiris

## A new Stand Alone Multichannel Acquisition System

### Its aim:

- Bring a useful solution to multichannel data acquisition applications not well served by digital oscilloscopes
- Cover applications requiring from 8 to 16 channels
- No need to write software to use Acqiris digitizers
- Remote Operation
- Multiclient

acqiris



Spirit of Acqiris

## A Bench Top, Stand Alone Multichannel Acquisition System that brings:

- Unprecedented flexibility**
  - Modular concept permits the mixing of digitizers with sample rates from 500MS/s to 4GS/s, and resolutions from 8 bits to 12 bits
  - With ASBus, all modules in the system are grouped in a single instrument with all channels synchronized (instruments of identical sample rates and resolution)
  - A client server mode permits the remote control and display of the system from any PC on the network.
  - Multiple user capability
  - An Ethernet connection to your lap top can be used for portable applications





Spirit of Acqiris

## A Bench Top, Stand Alone Multichannel Acquisition System that brings:

### Small Size and low Power

- 5 slots cPCI crate housing up to 16 channels
- Typically less than 60 watts per 4-channels module

### Ease of setting up multi-channel systems

- An EXCEL table facilitates the setting of all data acquisition parameters
- A tune mode is provided to troubleshoot unknown signals and facilitate the entry of acquisition parameters
- A system configuration graphic provides for an accurate identification of displayed channels versus instrument-channel-cable.

acqiris



Spirit of Acqiris

## A Bench Top, Stand Alone Multichannel Acquisition System that brings:

### Centralized control, comparison and analysis of multiple traces on a single display

- All traces can be displayed on a single, large and high resolution display
- Easy drag and drop selection of traces to be displayed and compared
- Bridge toward MATLAB® for data analysis

### Eases budget constrains

- Scalable with time (system size and types of digitizers)
- Permits acquisition of sub-systems over budget periods
- Start small and end up with a large multipurpose system



Spirit of Acqiris

# acqirisMAQS

The screenshot displays the acqirisMAQS Multichannel Acquisition System interface. The main window shows a channel configuration for 'localhost:DC271\_2' with a waveform display showing a signal. A 'Setup Manager' dialog is open, showing a table of instrument setups:

Instruments	Channels	Timebases	Trigger Sources
DC271_2_ext1	DC271_1_tr src ext1 2004-03-16		DC271_1_tr src ext1 2004-03-16 13:42:36
DC271_2_ext2	DC271_1_tr src ext2 2004-03-16		
DC271_2_ch1	DC271_1_tr src ch1 2004-03-16		
DC271_2_ch2	DC271_1_tr src ext2 2004-03-16		
DC271_2_ch3	DC271_1_tr src ext2 2004-03-16		
DC271_2_ch4	DC271_1_tr src ext2 2004-03-16		

A log window at the bottom shows system messages:

Type	Date-Time	Message	Sender
i	[2004-03-16 13:42:36.208]	Connecting to localhost...	SC_SystemConfiguration
i	[2004-03-16 13:42:36.228]	Connected to localhost	SC_SystemConfiguration
i	[2004-03-16 13:42:36.238]	3 instruments instantiated	SC_SystemConfiguration
i	[2004-03-16 13:42:36.239]	[DC271_2] Running (Auto)	SC_SystemConfiguration
i	[2004-03-16 13:42:32.534]	[DC271_2] Run mode changed (Auto)	SC_SystemConfiguration
i	[2004-03-16 13:44:08.426]	[DC271_2] Stopped	SC_SystemConfiguration

acqiris



Spirit of Acqiris

# Client Server

The screenshot displays the Acqiris Instrument Server interface. The 'Server Ready' status is shown. The 'Instruments' section shows a crate with instrument 3:DC271 15965, which is calibrated and in single mode. The 'Clients' section shows a client at IP 192.168.1.32 with 11490 requests processed and 1.96632 MB bytes sent. A log window at the bottom shows system messages:

Type	Date-Time	Message	Sender
i	[2004-02-09 16:23:36.734]	DMA Activated	IS_Server...
i	[2004-02-09 16:23:36.734]	Multi-instrument Activated	IS_Server...
i	[2004-02-09 16:23:36.734]	No Calibration	IS_Server...
i	[2004-02-09 16:23:36.734]	Perf. options: Polling Mode Activated	IS_Server...
i	[2004-02-09 16:23:36.734]	Perf. options: Sleep Call disabled	IS_Server...
i	[2004-02-09 16:23:36.734]	Simulation Mode Activated if no Instrument Found	IS_Server...
i	[2004-02-09 16:23:37.046]	TCP Server Started	IS_Server...
i	[2004-02-09 16:23:37.421]	UDP Server Started	IS_Server...



Spirit of Acqiris

## Instruments settings

- ☞ Tabular (intuitive, best for large number of channels)
- ☞ Convenient value edition
- ☞ Fully customizable

	Full Scale	Offset	Sampling Rate	Samples	Segments	TRG Source
DC271:ch1	5.000 V	0.000 V	1.000 GS/s	10.00 kS	1	<input checked="" type="checkbox"/> On
DC271:ch2	5.000 V	0.000 V	20.00 MS/s	10.00 kS	1	<input type="checkbox"/> Off
DC271:ch3	5.000 V	0.000 V	25.00 MS/s	10.00 kS	1	<input type="checkbox"/> Off
DC271:ch4	5.000 V	0.000 V	40.00 MS/s	10.00 kS	1	<input type="checkbox"/> Off
DC271:ext1	5.000 V	0.000 V	50.00 MS/s	--	--	<input type="checkbox"/> Off
DC271:ext2	--	--	100.0 MS/s	--	--	<input type="checkbox"/> Off
			200.0 MS/s			
			250.0 MS/s			
			400.0 MS/s			
			500.0 MS/s			
			1.000 GS/s			

Summary | Input | Timebase | Trigger | **Advanced** | Physical units

acqiris



Spirit of Acqiris

## Run Control

**Channels**

- localhost
  - DC271
    - ch1
    - ch2
    - ch3
    - ch4
    - ext1
    - ext2

Single Mode: 0

Live mode | **Auto** | **Normal** | **Single** | **Read** | **STOP**



Spirit of Acqiris

# Setup Manager

Channels	Settings	Setup name
DC271:ch1	0:0:0:1:1:1:V:0:50:DC:0:0:1:A	<input checked="" type="checkbox"/> High sensitivity
DC271:ch2	0:0:0:0:1:1:1:V:0:50:DC:0:5:A	<input checked="" type="checkbox"/> Low sensitivity
DC271:ch3	0:0:0:0:1:1:1:V:0:50:DC:0:5:A	<input checked="" type="checkbox"/> Low sensitivity
DC271:ch4	0:0:0:0:1:1:1:V:0:50:DC:0:5:A	<input checked="" type="checkbox"/> Low sensitivity

```

Number of setups = 2
 High sensitivity
chComment = -
chTime3rdOffset = 0
chTime2ndOffset = 0
chTimeOffset = 0
chScaleOffset = 0
chScale2ndFactor = 1
chScaleFactor = 1
chAttenuation = 1
chUnits = V
chBandwidthLimit = 0
chImpedance = 50
chCoupling = DC
chOffset = 0
chFullScale = 0.1
chInput = A
  
```

- Save and recall of instrument configurations
- Hierarchical organization of Setups for highest flexibility
- Simple "drag & drop" functionality

acqiris



Spirit of Acqiris

# Display Ctrl

Configurables	Unit	Unit	sourcePattern	Coupling	IRange	validatePattern	ISkip	IClass	Impedance	IBand
4:12 DC240:channel	0V	10V	ch1	DC	n/s	none	-	Edge	n/s	n/s
8:12 DC240:channel 2	0V	0V	ch1	DC	n/s	none	+	Edge	n/s	n/s
8:12 DC240:ext1	0V	0V	ext1	DC	n/s	none	+	Edge	1MΩ	n/s

Run Control: AUTO | NORMAL | SINGLE | STOP

Traces: Trace 1 (red), Trace 2 (green)

Setup Manager: Instruments | Channels | Timebases | Triggers | Trigger Sources



# **Messung des Echtzeitverhaltens von Simatic S7 Steuerungen im Kontext physikalischer Experimente**

*H. Kleines<sup>1</sup>, J. Sarkadi<sup>2</sup>, F. Suxdorf<sup>1</sup>, K. Zwoll<sup>1</sup>*

*<sup>1</sup>Zentrallabor für Elektronik (ZEL), Forschungszentrum Jülich*

*<sup>2</sup>Institut für Kernphysik (IKP), Forschungszentrum Jülich*

- Einsatz von SPSen in Experiment-Kontrollsystemen im FZJ*
- Programmiermodell für Siemens S7 Steuerungen*
- Messungen des Echtzeitverhaltens von S7 Steuerungen*





# ***SPSen in Experiment-Kontrollsystemen***

- *SPS-Technik etabliert in Infrastruktur-Systemen*
  - *niedriger Preis (Massenmarkt!)*
  - *Robustheit*
  - *langfristige Verfügbarkeit und Support vom Hersteller*
- *Zunehmende Verwendung in Experiment-Kontrollsystemen*
  - *Sicherheitsanforderungen*
  - *Leistungsfähige Entwicklungswerkzeuge*
  - *Kommunikationsfähigkeit => dezentrale Architektur*
  - *Echtzeit-Fähigkeit*
- *Weltmarkt wird durch wenige Anbieter dominiert:*
  - *Siemens (Marktführer, > 30 %)*
  - *Rockwell Automation (Allen Bradley)*
  - *Mitsubishi/Omron, GE Fanuc*
  - *Schneider Group (Modicon, Telemecanique)*
- *Standardisierung: IEC1131*



# SPS-Familie Simatic S7

**Ethernet, MPI, PROFIBUS**

**high end: S7-400**



**mid range: S7-300**



**OP + S7-300: C7**



**SoftSPS: WinAC**

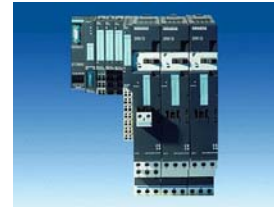


**PROFIBUS + AS-Interface**

**mini: S7-200**



**Dezentrale Pheripherie: ET200L, ET200S,.....**



**mini: IM151/CPU**



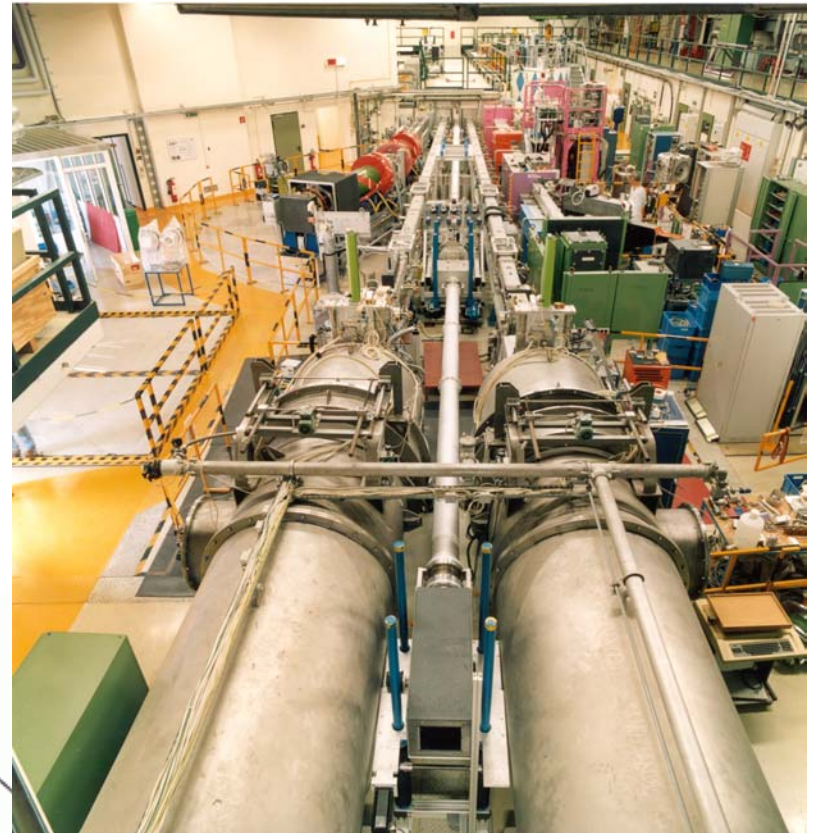
**AS-Interface**

- *Homogene, leistungsfähige Programmierung.: Step7 (AWL, KOP,FP, SCL...)*
- *Modularität, Skalierbarkeit, Ausbaufähigkeit*
- *Leistungsfähige Kommunikation => Verteilte Systeme*



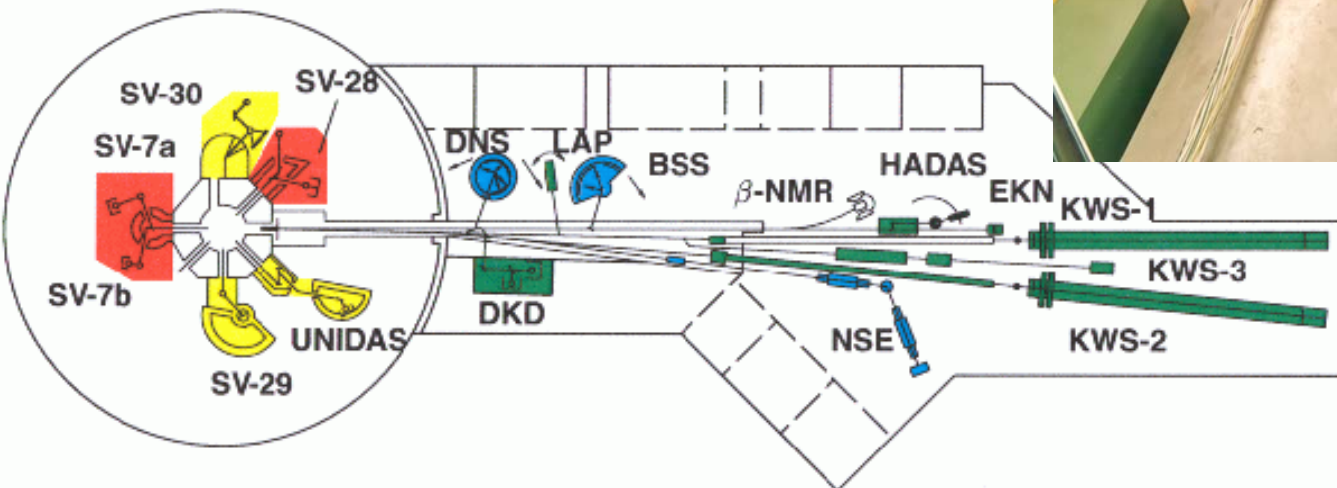
## Beispiel 1: KWS1 (Neutronenstreuung)

- Kleinwinkelstreuanlage am FRJII
- Jülich-Münchener Standard:
  - Middleware: TACO (Linux)
  - Anwendungsschicht: Scripting + GUI
- Front-End: vollst. SPS-gesteuert
  - Ca. 25 mechanische Achsen
  - Vakuum System
  - Interlocks (beam shutter,.....)



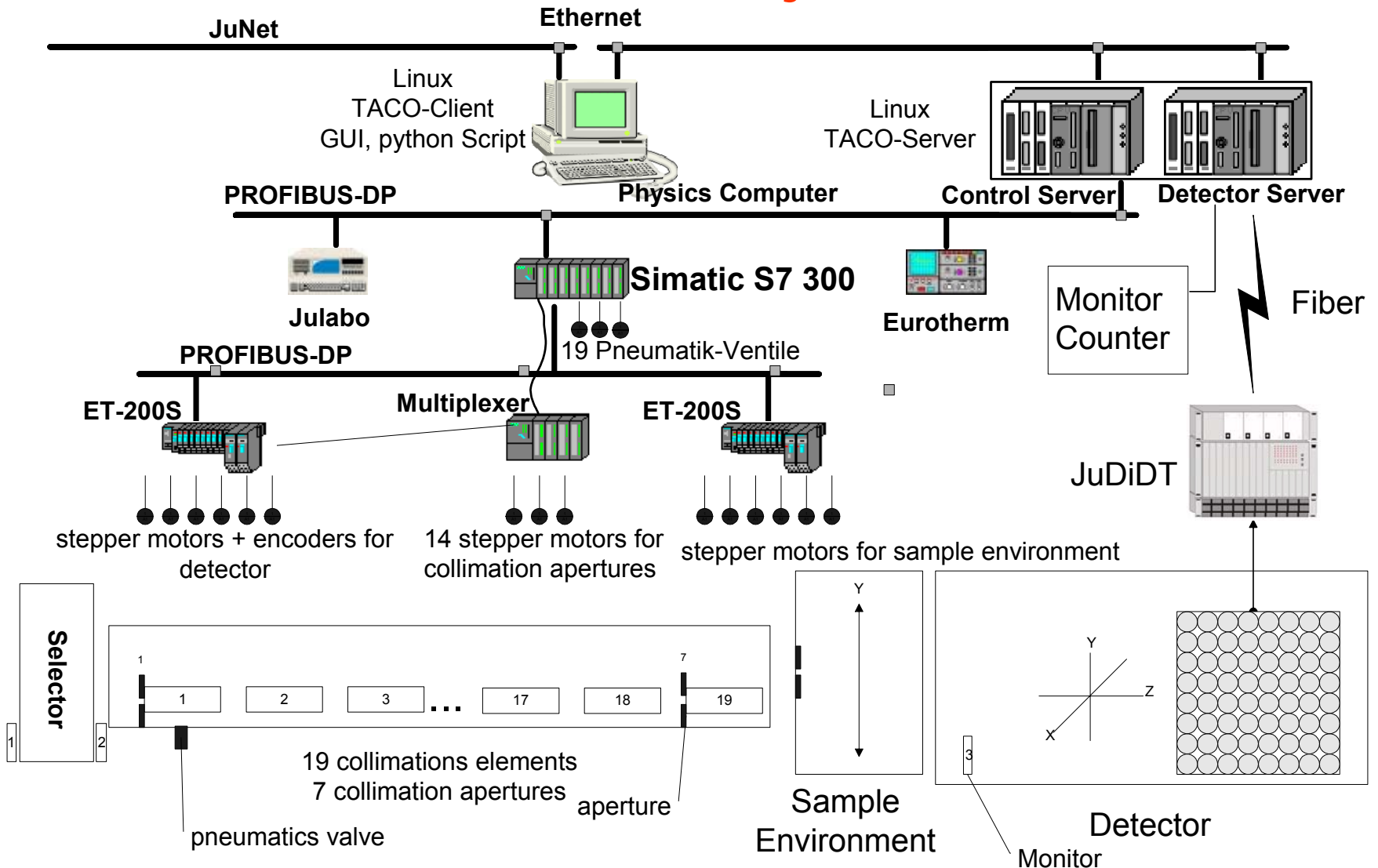
DIDO

ELLA



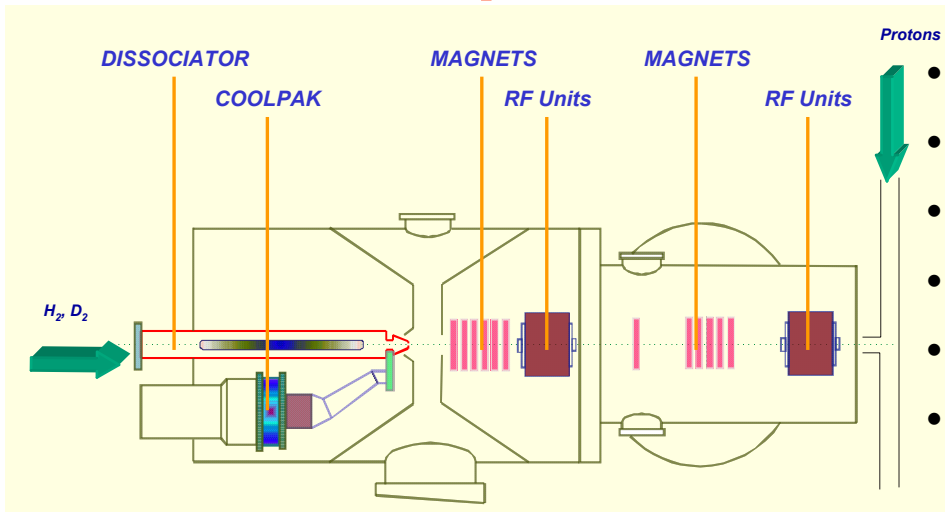


# Architektur des Kontrollsystems der KWS1





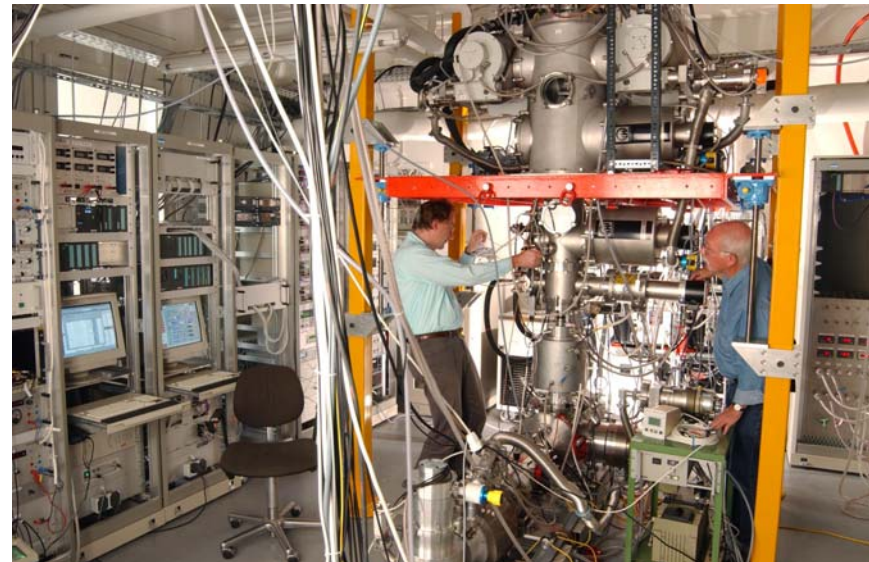
## Example 2: Atomic Beam Source



- *internes Gas-Target an ANKE (COSY)*
- *polarisierter Atom-Strahl(H oder D)*
- *Dissoziation durch Plasma-Entladung*
- *Polarisation durch inhomogene Felder*
- *Integrierte Diagnostiken (Polarimeter,..)*
- *~ 10000 Prozess-Signale*

### Architektur

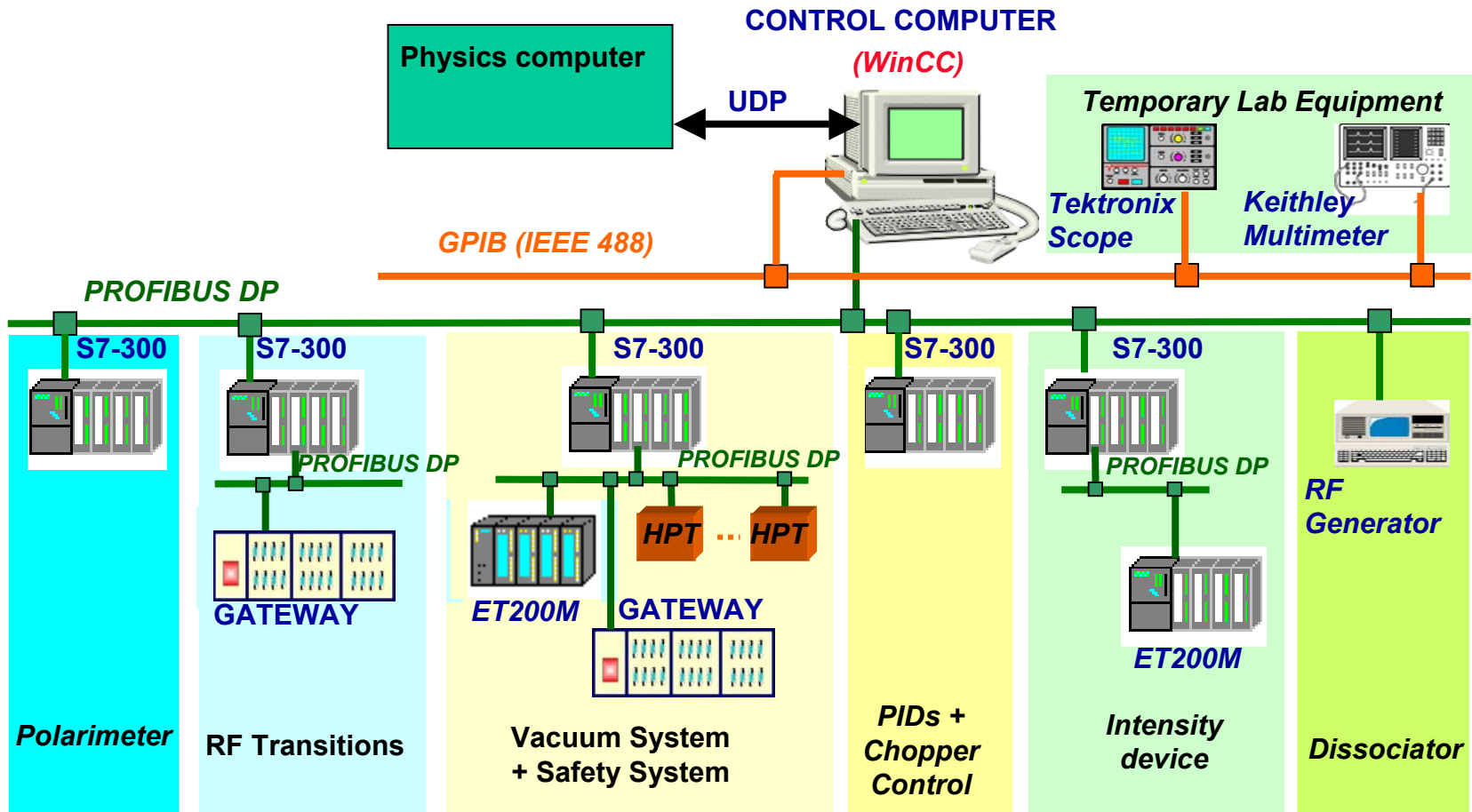
- *Leitrechner: PC mit Windows 2000*
- *SCADA: WinCC*
- *SPS-basiertes Frontend*
- *Kommunikation: PROFIBUS DP*







# Architektur des Kontrollsystems der ABS





## **RT Programmier-Modelle**

### **Asynchrone (parallele) Programmierung (POSIX)**

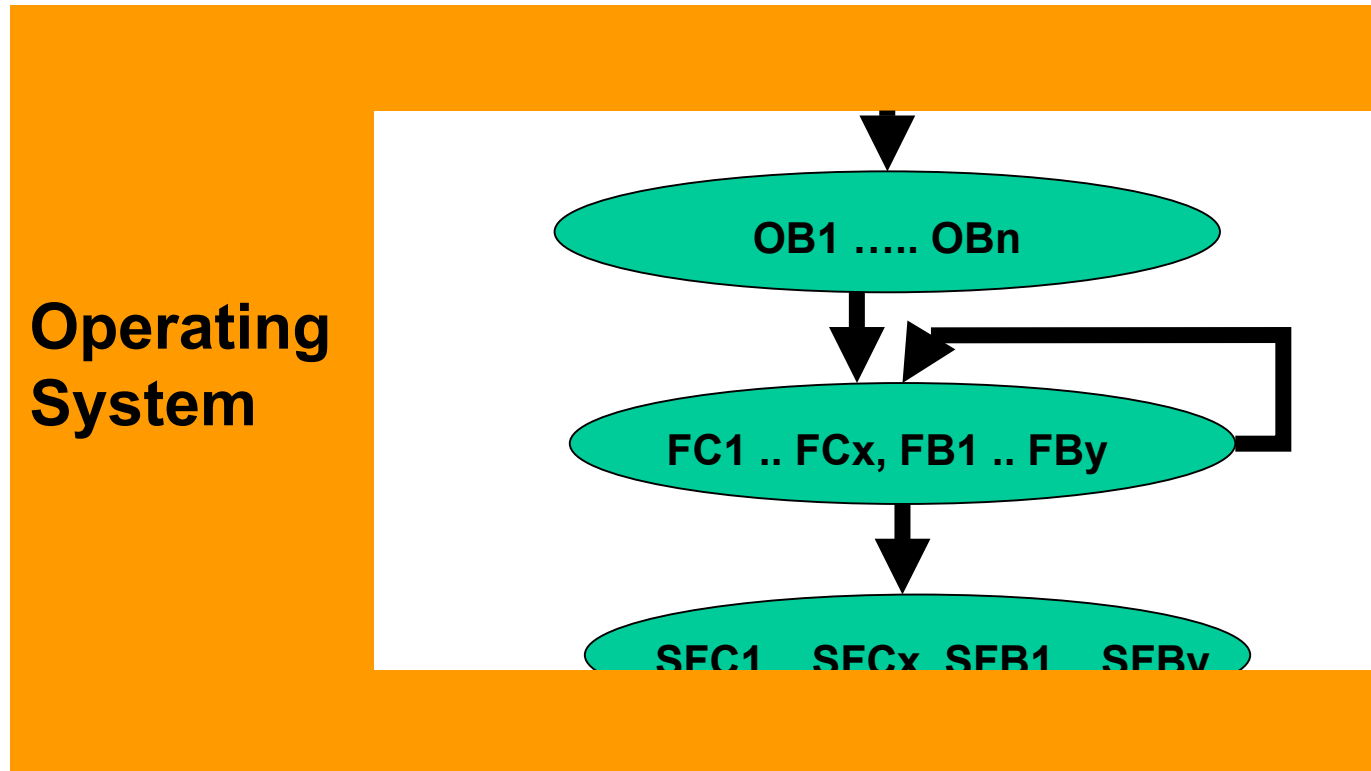
- Scheduling von Tasks **während** der Ausführung („Marktwirtschaft“)
  - Ereignis-getriggert
  - Quasi-parallele Ausführung von Tasks auf der Basis von Prioritäten
- ➔ Zeitlicher Ablauf der Programm-Ausführung intransparent  
Determinismus kann durch niederprioritäre Tasks verletzt werden

### **Synchrone Programmierung (SPSen)**

- Scheduling von zyklischen Tasks **vor** der Ausführung („Planwirtschaft“)
  - Zeit-getriggert
  - Tasks werden auf der Basis ihrer Scheduling-Zeit definiert
- ➔ Programmstruktur ist nicht konsistent mit der logischen Struktur  
Erhöhter Planungs-Aufwand



## Simatic S7 Programmier-Modell,

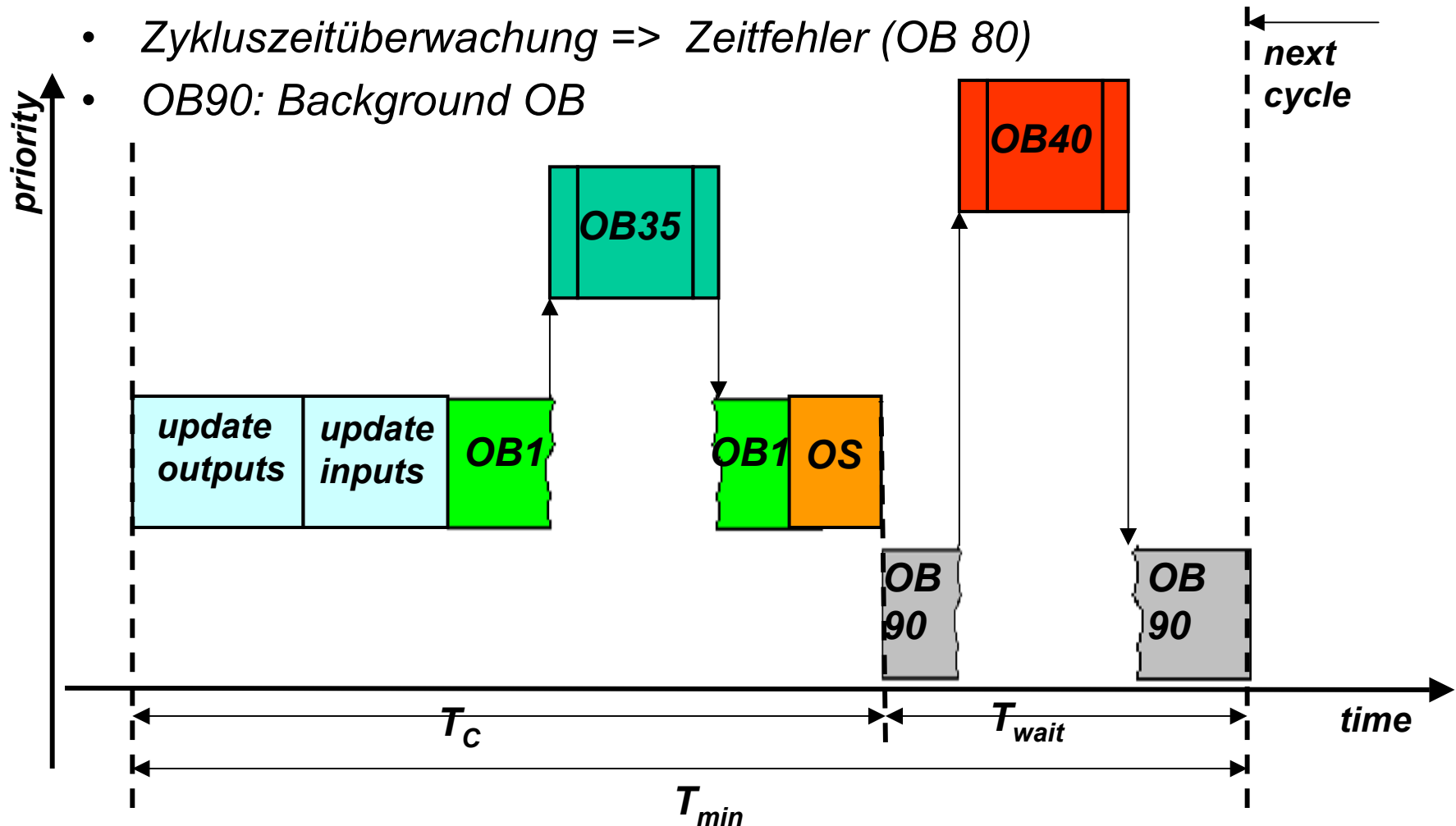


- *OB: Organisations-Block (Scheduling-Objekt)*
- *FC: Funktion (vom Programmierer definiert)*
- *SFC: Systemfunktion („system call“)*
- *FB/SFB: FC/SFC mit statischen Daten („instance data block“)*



## Freilaufender Zyklus

- „Standard“ SPS-Programm in OB1 (zyklischer OB)
- Zykluszeitüberwachung => Zeitfehler (OB 80)
- OB90: Background OB





## OB-Typen

Uhrzeitalarme	OB10,..,OB17
Verzögerungsalarme	OB20,..,OB23
Weckalarme (zyklisch)	OB30,..,OB38
Prozessalarme	OB40,..,OB47
Multicomputing Alarm	OB60
Asynchron-Fehler	OB80,..,OB87
Anlauf	OB100, OB101
Synchron-Fehler	OB121,OB122

- *Priorität steigt mit der Nummer des OB*
- *Prioritäten änderbar nur in WinAC und S7-400*
- *Verfügbarkeit von OBs abhängig vom CPU-Typ*





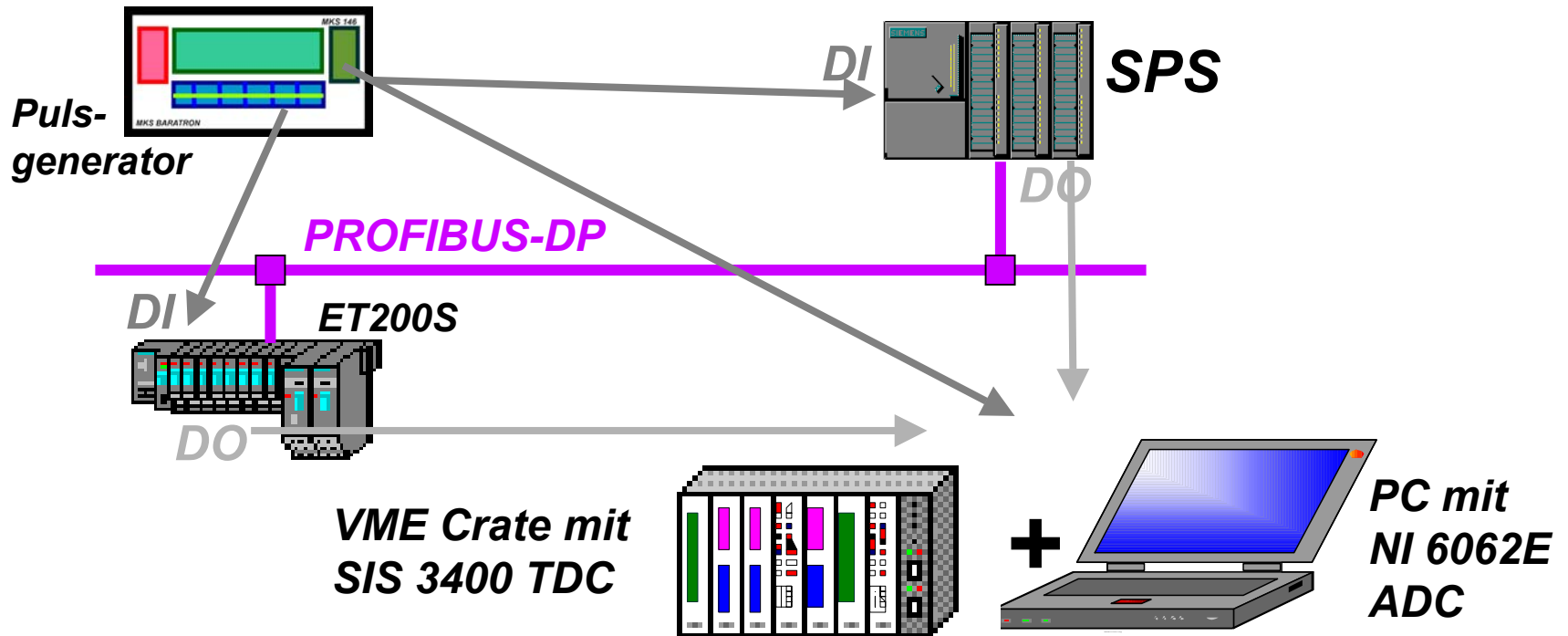
## Ziele der Leistungsbewertung

- **“Rechtzeitigkeit”:**
  - $T_C$ : Zykluszeiten: *frei laufender Zyklus OB1*  
*konstanter Zyklus OB35*
  - $T_R$ : Reaktionszeit auf externe Ereignisse => OB40 (HW)
- **Determinismus**
  - *Jitter der obigen Metriken*
- **Verteilte Struktur von SPS-Systemen**
  - *zusätzliche Kommunikations-induzierte Delays (PROFIBUS)*
  - *zusätzlicher Kommunikations-induzierter Jitter*
- **Skalierbare SPS-Familie**
  - *Analyse unterschiedlicher SPS-Typen*
- **Externe Last: nicht relevant für SPS-Systeme**



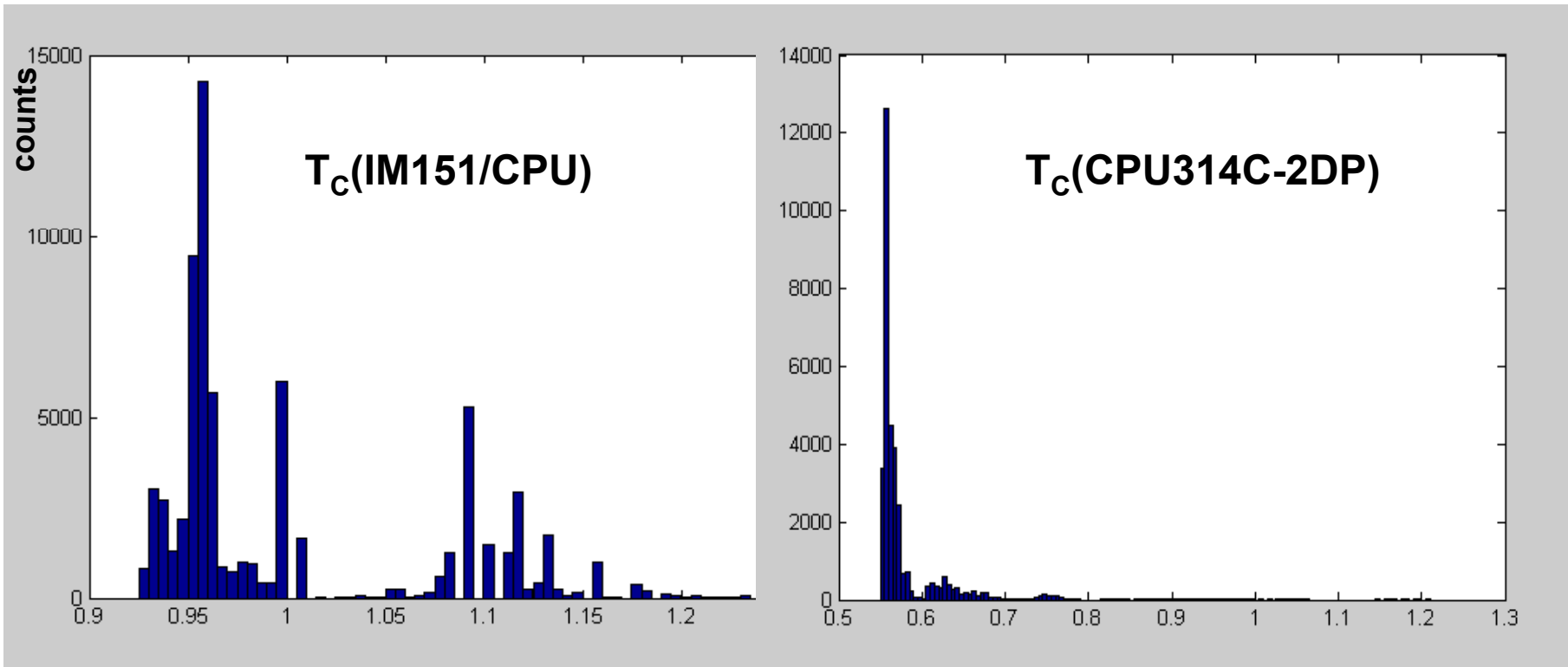
# Mess-Szenario

SPS	IM151/CPU	CPU314C-DP	CPU412-2	CPU 414-1
T(float addition)	~42 $\mu$ S	~4 $\mu$ S	~0,6 $\mu$ S	~0,7 $\mu$ S
Cyclic Interrupts	OB35	OB35	OB32,OB35	OB32,33,34,35
HW Interrupts	OB40	OB40	OB40,OB41	OB40,41,42,43





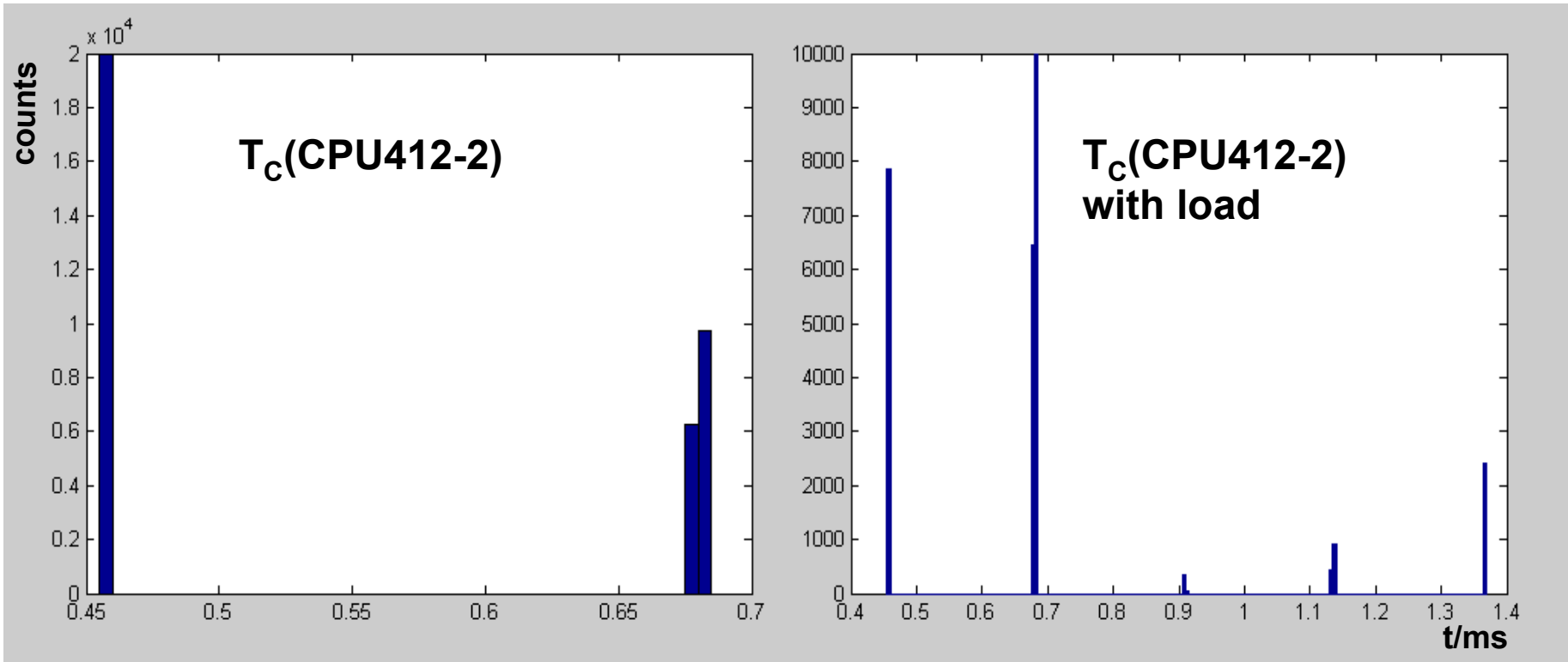
## Freilaufender Zyklus OB1 (1)



- *Zykluszeit-Histogramm des „leeren“ OB1 (nur Code zum Toggeln eines digitalen Ausgangs) ohne andere Aktivität  
=> Minimale Zykluszeit + Jitter durch Betriebssystem*



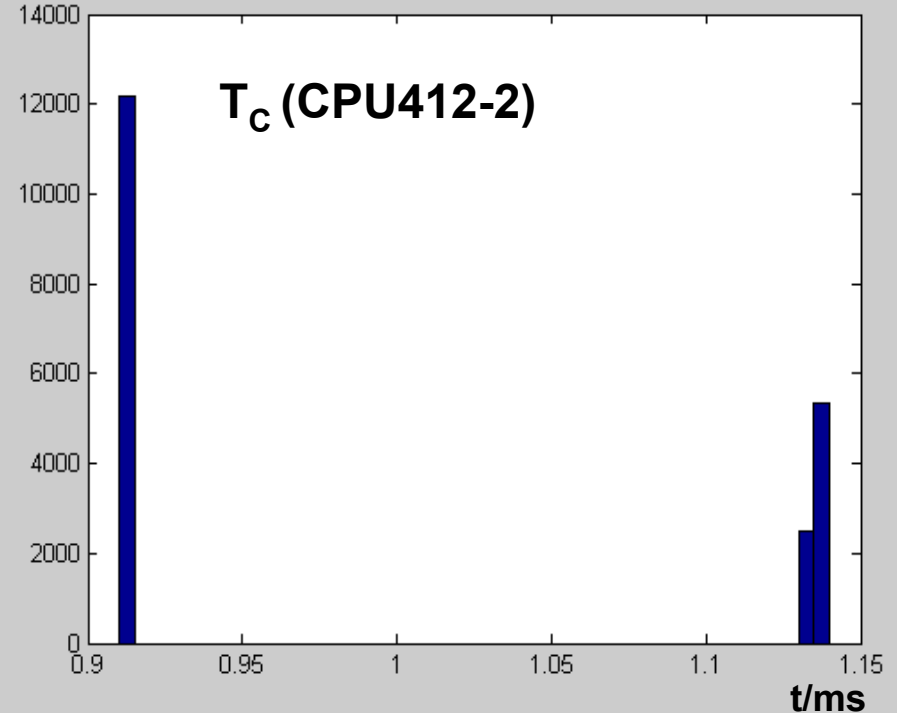
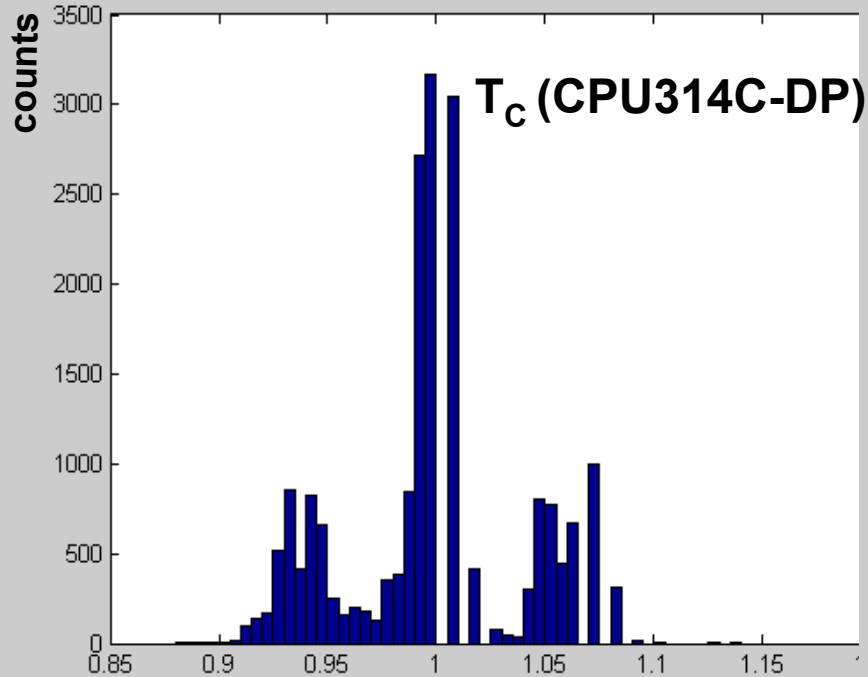
## Freilaufender Zyklus OB1 (2)



- *Geschwindigkeit der I/Os ist limitierender Faktor => Artefakte*
- *CPU414-1: ~0.2 ms*



## Konstanter Zyklus OB35

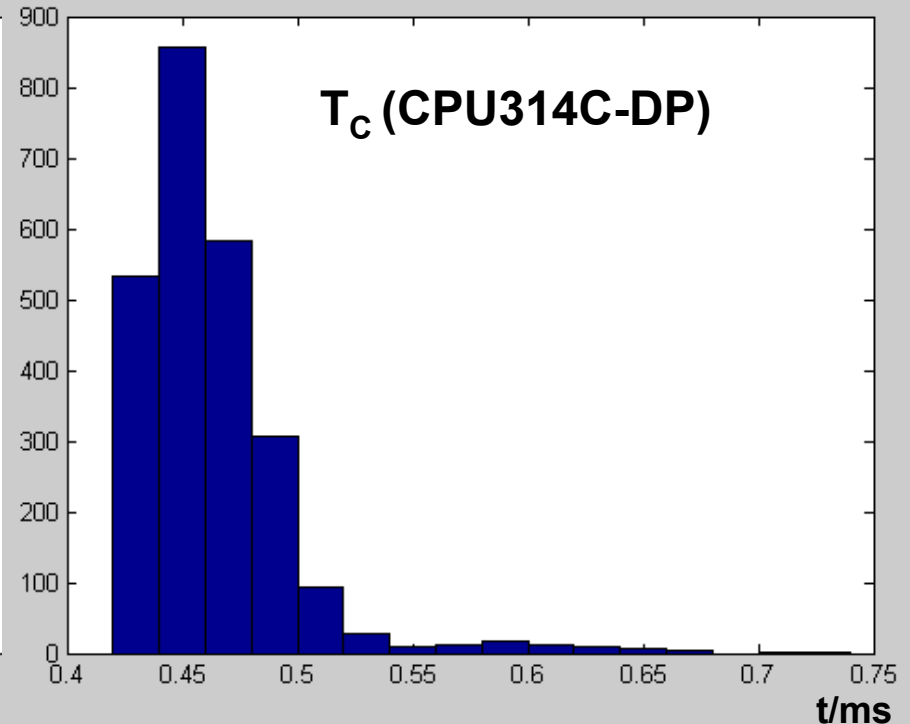
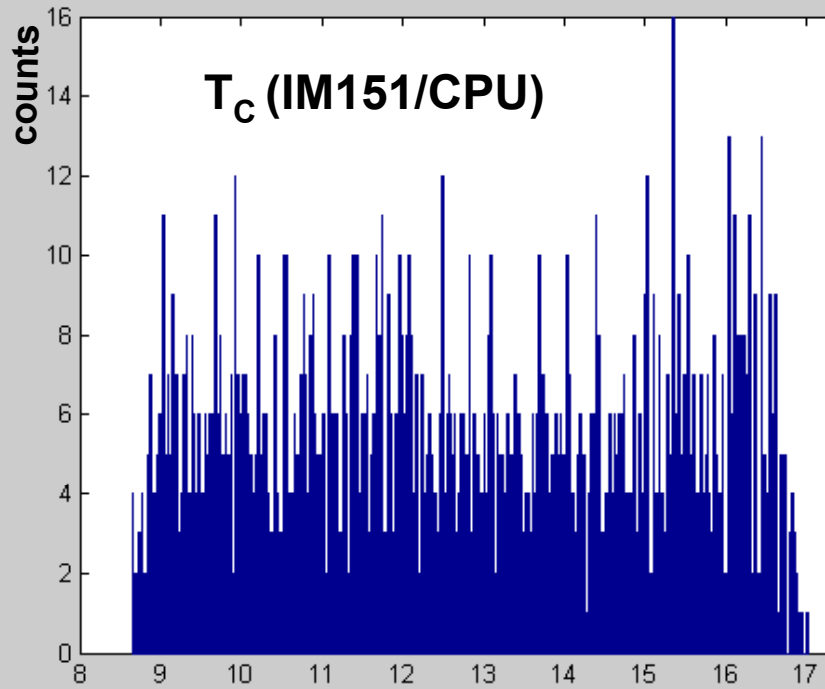


- *Granularität der Zykluszeit: 1ms,*  
*Genauigkeit:  $\sim 100 \mu\text{s}$*
- *Spezifisches Merkmal von SPSen*





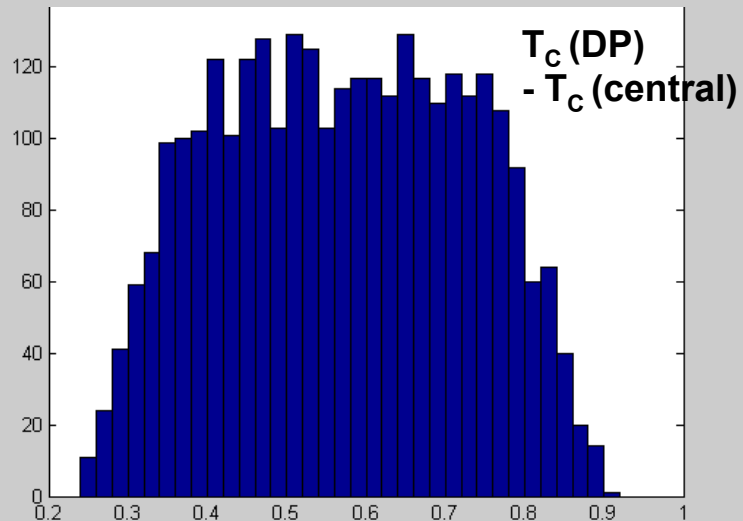
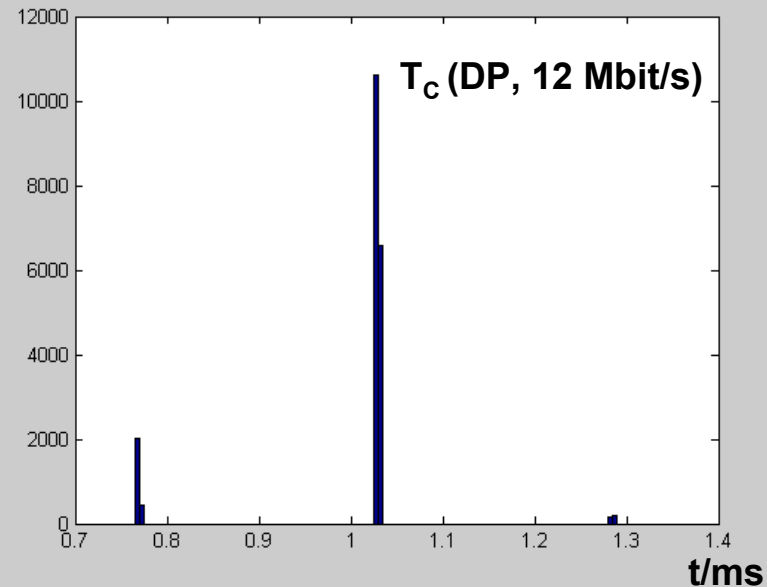
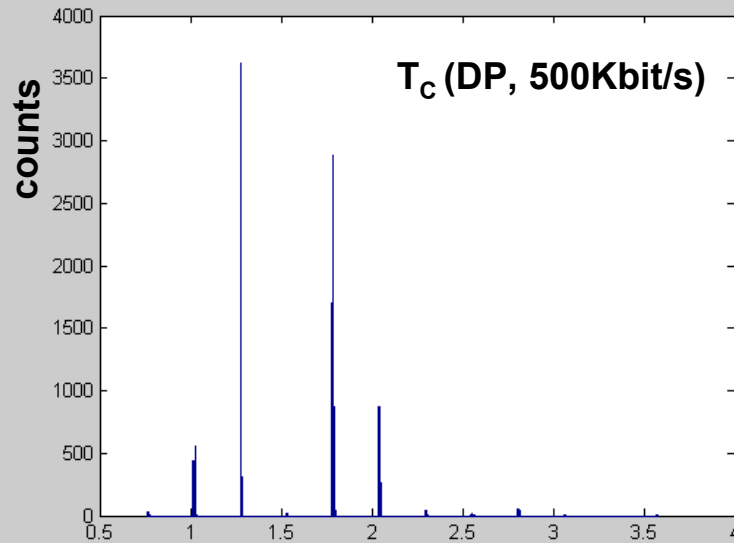
# Asynchronous Reaktionszeit (OB40)



- *IM151/CPU: „low end“*
- *S7-300 ca 5mal langsamer als ein Pentium II basiertes POSIX system*



# ET200S dezentrale Peripherie

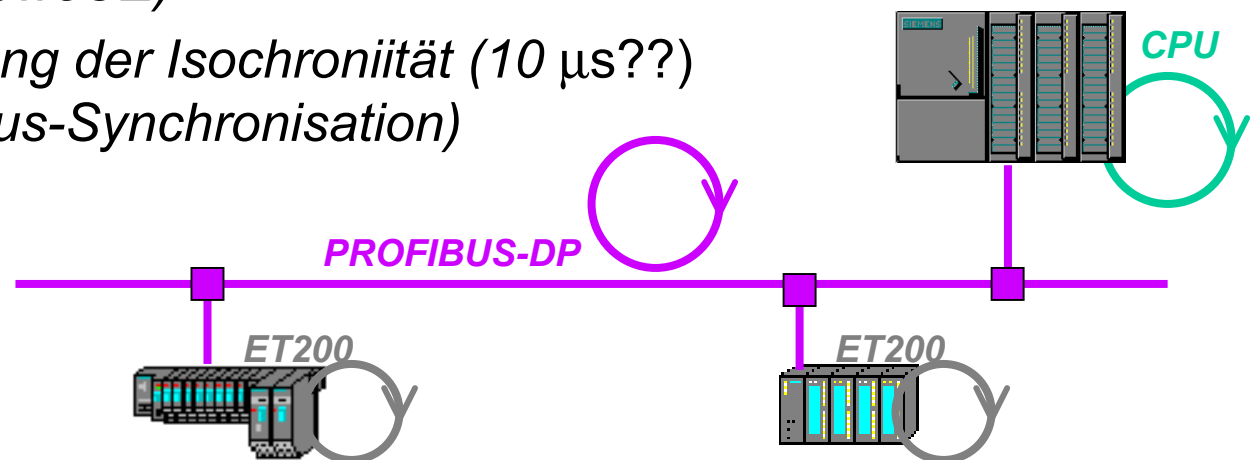


- *OB35 mit 1 ms, output auf ET200S*
- *500 kBit/s => DP Zyklus 1.2ms*
- *12 MBit/s => DP Zyklus 0.1ms*
- *Äquidistanz ohne Auswirkung*
- *ET200S Zyklus: ~0,3ms*
- *Jitter vergrößert: ~2 \* (DP + ET200S Zykluszeiten)*



## Zusammenfassung und Ausblick

- *SPS: Synchroner zyklischer Ablauf mit hoher Deterministik*
- *Deterministische Reaktion in einigen ms notwendig: PLCs sind geeignet, sogar mit dezentraler Peripherie*
- *Deterministische Reaktion in  $< 1\text{ms}$ : möglich mit speziellen I/O-Moduln and "High-End" CPUs*
- *Zukünftige Arbeit:*
  - *Untersuchung der SoftSPS WinAC (WindowsNT, Venturecom RTX, WindowsCE)*
  - *Untersuchung der Isochroniität ( $10\ \mu\text{s}??$ ) (durch Zyklus-Synchronisation)*



# Roadmap und Grenzen der Halbleitertechnik?

Moore's Law und die Zukunft der Halbleiterentwicklung  
Brauchen wir diese Entwicklung?

Prozess-Technologie

Was bringt "Nano"?

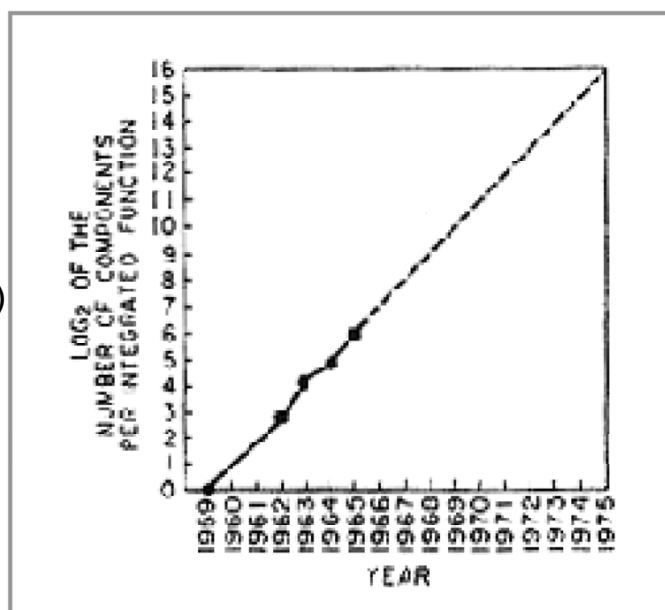
Design-Technologie

Resümee

## Die Geburt des "Moore'schen Gesetzes"

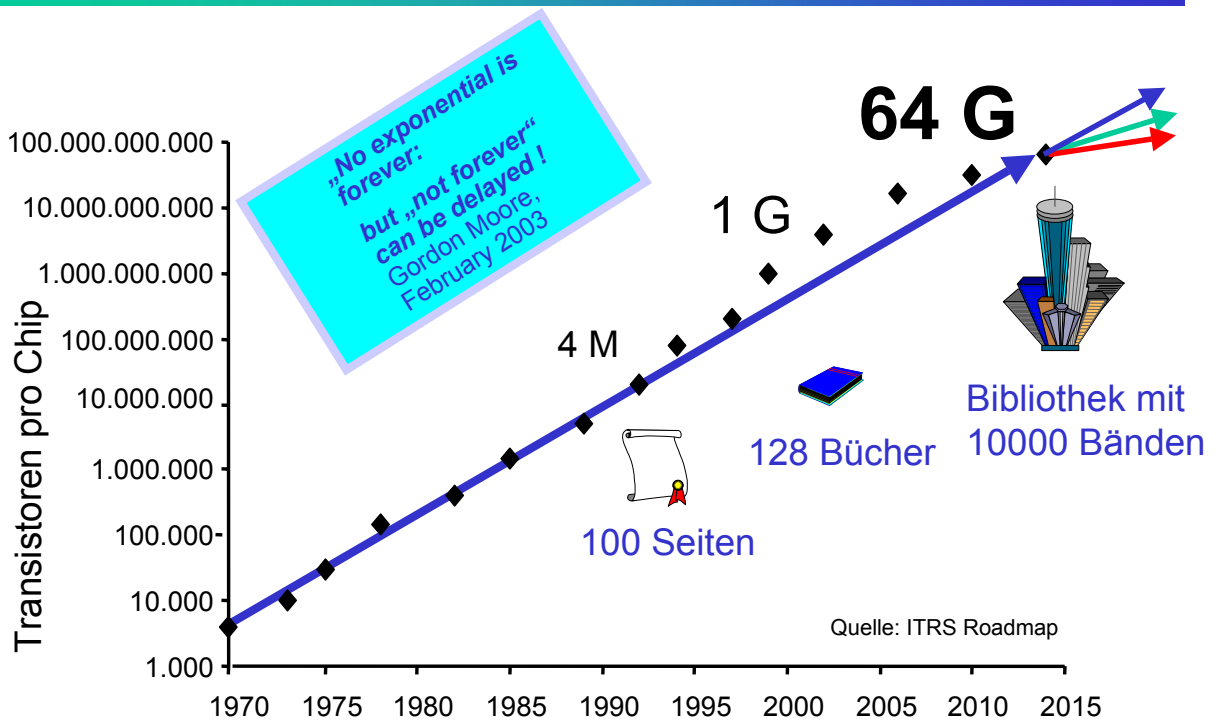


- 1965 Gordon Moore (Fairchild)
- alle 12 Monate verdoppelt sich Anzahl der Komponenten pro Chip (zumindest bis 1975)
- ♥ **Moore'sches Gesetz**



"Cramming more components onto integrated circuits"  
Quelle : Electronics, Vol. 38, No. 8, 1965

## 40 Jahre danach, kommen die Grenzen der Halbleitertechnologie ins Blickfeld ?



07.04.2004

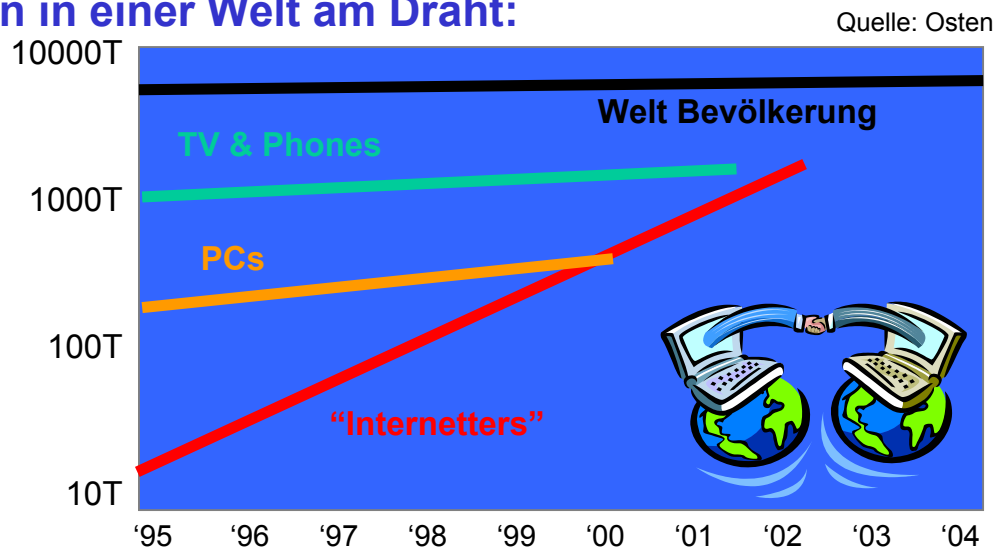
Hartmut Gemmeke, Roadmap\_Halbleitertechnologie

3

## Brauchen wir das ?

- In geographisch limitierten Märkten gibt es zwar **Sättigung**, aber
  - die Zahl neuer Applikationen ist ungesättigt.

- **Wir leben in einer Welt am Draht:**



07.04.2004

Hartmut Gemmeke, Roadmap\_Halbleitertechnologie

4



## Fundamentale Grenzen der Halbleitertechnik I

- **Unschärferelation:**  $E > \frac{h}{\tau}$       ♥  $P = \frac{E}{\tau} > \frac{h}{\tau^2}$ ,  $f = \frac{1}{\tau} = 10^{11} \text{ Hz}$       ♥  $P > 10^{-12} \text{ W}$

$$\text{für MOSFET } \frac{U_v^2}{R} = \frac{0,7V^2}{10^{13} \Omega} > 5 \cdot 10^{-12} \text{ W} \quad \text{keine Limitierung}$$

- **Si-Gate-Dicke: Tunneleffekt  $\approx \text{nm}$**

- **kritische Feldstärke:**  $E_{krit} = \frac{\Delta U}{\Delta z} \approx 5 \cdot 10^5 \text{ V/cm}$

$$\Delta U = 0,7 \text{ V} \quad \heartsuit \quad \Delta z > 14 \text{ nm}$$

- **minimale Schaltzeit:**  $\tau = \frac{\Delta x}{v_{sat}}$ ,  $v_{sat} \approx 10^7 \text{ cm/s}$  in Si

$$\Delta x > \Delta U / E_{krit}, \quad \Delta U > 0,7 \text{ V}$$

$$\tau_{min} > \frac{\Delta U}{E_{krit} \cdot v_{sat}} = \frac{0,7 \text{ V}}{5 \cdot 10^5 \text{ V/cm} \cdot 10^7 \text{ cm/s}} \approx 1,4 \cdot 10^{-13} \text{ s} \quad \text{kein Limit}$$

07.04.2004

Hartmut Gemmeke, Roadmap\_Halbleitertechnologie

5

## Fundamentale Grenzen der Halbleitertechnik II

- **Widerstand:**  $\rho_{Al} \approx 2,9 \cdot 10^{-8} \Omega m$ ,  $\rho_{Cu} \approx 1,8 \cdot 10^{-8} \Omega m$

$$50 \text{ nm} \times 50 \text{ nm} \quad \frac{R}{l} = 1,2 \cdot 10^4 \Omega / \text{mm} \approx 0,72 \cdot 10^4 \Omega / \text{mm}$$

♥ RC – Verzögerung, Leistungsverluste (km Leitungen!)

♥ Nano – Tubes

- **Kapazität:**  $C \approx 1 - 5 \text{ fF}$  ♥  $RC \approx 10 \text{ ps/mm}$   
♥ Aufbaumaterialien mit niedrigem  $\epsilon$

- **Induktivität:**  $L \propto -\ln r$

- **Leistungsverbrauch:**  $P_{schalten} \approx \frac{1}{2} C \cdot U^2 \cdot n \cdot f \leq 40 \text{ W}$

$$\rightarrow U \approx 1 \text{ V}$$

$$\rightarrow C \approx 4 \text{ fF}$$

$$\rightarrow f = 1 \text{ GHz}$$

$$\rightarrow n \approx 10^8, \text{ aber nur } 20\% \text{ der Transistoren sind aktiv}$$

- **Schwelle (Abschnürspannung):**  $U_P < 0,15 \text{ V} \downarrow ?$  ♥ *Leistungsverbrauch*  $\uparrow$

07.04.2004

Hartmut Gemmeke, Roadmap\_Halbleitertechnologie

6

# Barrieren auf der ITRS Roadmap 2003

Jahr der Fertigung	2001	2004	2007	2010	2013	2016
DRAM Half-Pitch [nm]	130	90	65	45	32	22
Lagegenauigkeit [nm]	46	35	28	23	18	9
FET Kanallänge [nm]	90	53	35	25	18	13
Clock-Frequenz [GHz]	1,9	4,2	9	15	20	40
Junction Tiefe [nm]	48-95	33-66	24-47	18-37	13-26	7-13
V <sub>dd</sub> [V]	1,3	1,2	1,1	1,0	0,9	0,8
Inter-Metal Dielektrizitätskonstante $\epsilon$	3,0-3,6	3,0-3,6	2,6-3,1	2,3-2,7	2,1	1,8

Lösung bekannt

F&E notwendig

Lösung unbekannt

07.04.2004

Hartmut Gemmeke, Roadmap\_Halbleitertechnologie

7

## Wie geht es weiter?

Potenzial der Mikroelektronik bestimmt durch Fortschritte in der:

**Prozess-** sowie  
**Design-Technologie**

- Bis 2013 wird CMOS auf Si-Basis die dominierende Technologie bleiben
- Einfache Skalierung wird nicht mehr funktionieren
- Neue Bauteile- und Integrations-Konzepte sind notwendig
- Grundlegende Innovationen in Lithographie und Materialien sind notwendig.

07.04.2004

Hartmut Gemmeke, Roadmap\_Halbleitertechnologie

8

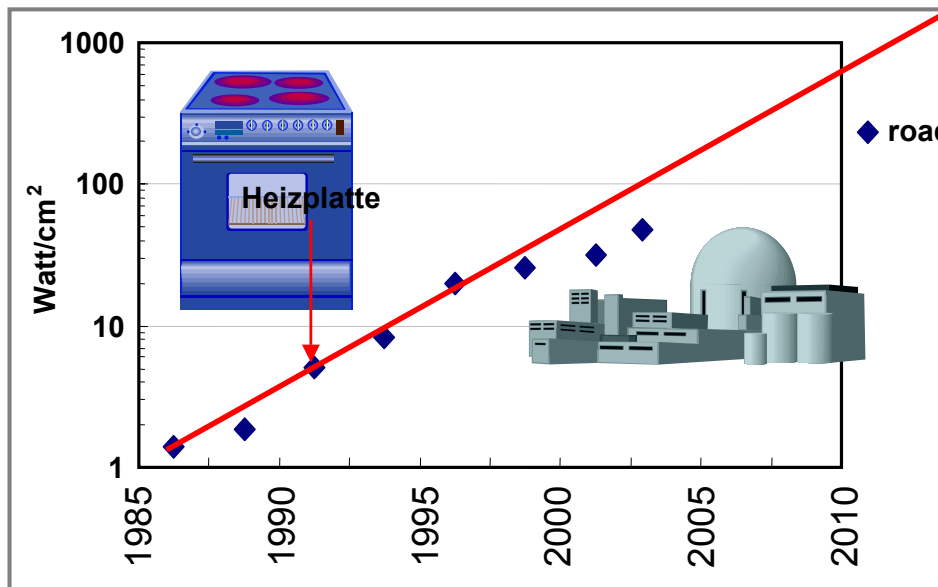
# Neues Problem: Gate Leckströme

Produktions-jahr	Technologie [nm]	Gate Dicke [nm]	Gate Bias [V]	Leckstrom [A/cm <sup>2</sup> ]
2001	130	1,3 - 1,6	1,1	>0,1
2004	90	0,9 - 1,4	1,0	>1
2007	65	0,6 - 1,1	0,9	>10
2010	45	0,5 - 0,8	0,8	>100
2013	32	0,4 - 0,6	0,7	?
2016	22	0,4 - 0,5	0,6	??

Dazu kommen noch die Leistungsverluste in der wachsenden Zahl von Leitungen (km) auf dem Chip

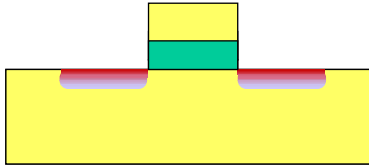
Source : ITRS Roadmap 2001

# Leistungsdichte für Transistorschaltungen



Quelle : Intel

# Lässt sich das Leckstrom-Problem lösen?



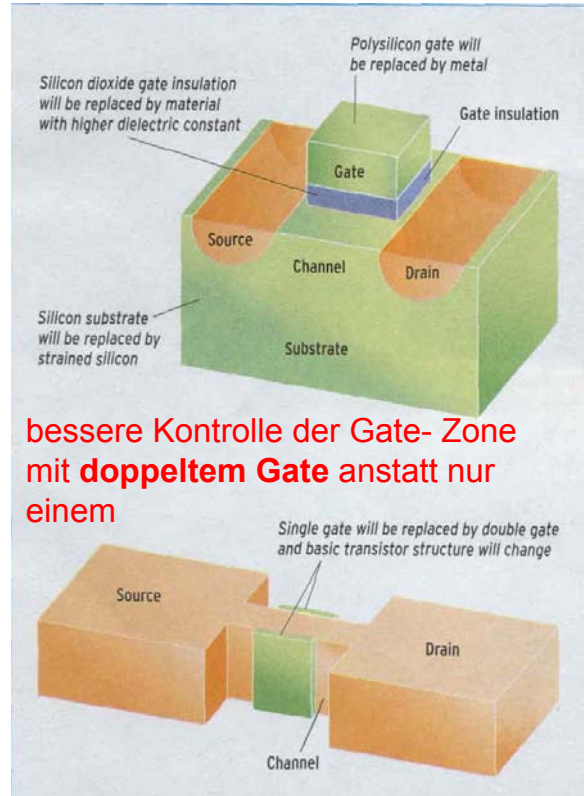
Um die **Leckströme zu reduzieren** muss die Isolationsdicke der Gates vergrößert werden.

Die Kapazität, darf nicht reduziert werden!

Sonst wird das Feld zu klein um das Gate zu steuern

$$C \sim \epsilon A / d$$

Lösung: Materialien mit großem  $\epsilon$



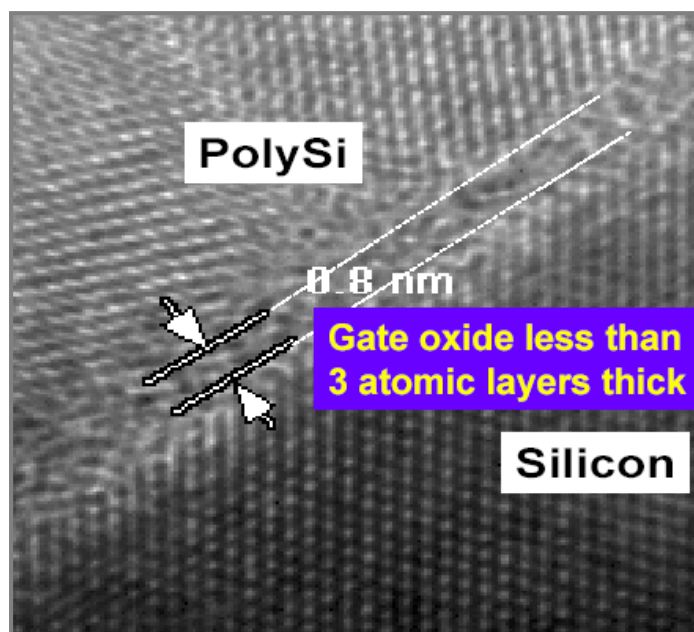
07.04.2004

Hartmut Gemmeke, Roadmap\_Halbleitertechnologie

11

# Das Ende der Skalierung?

30 nm FET



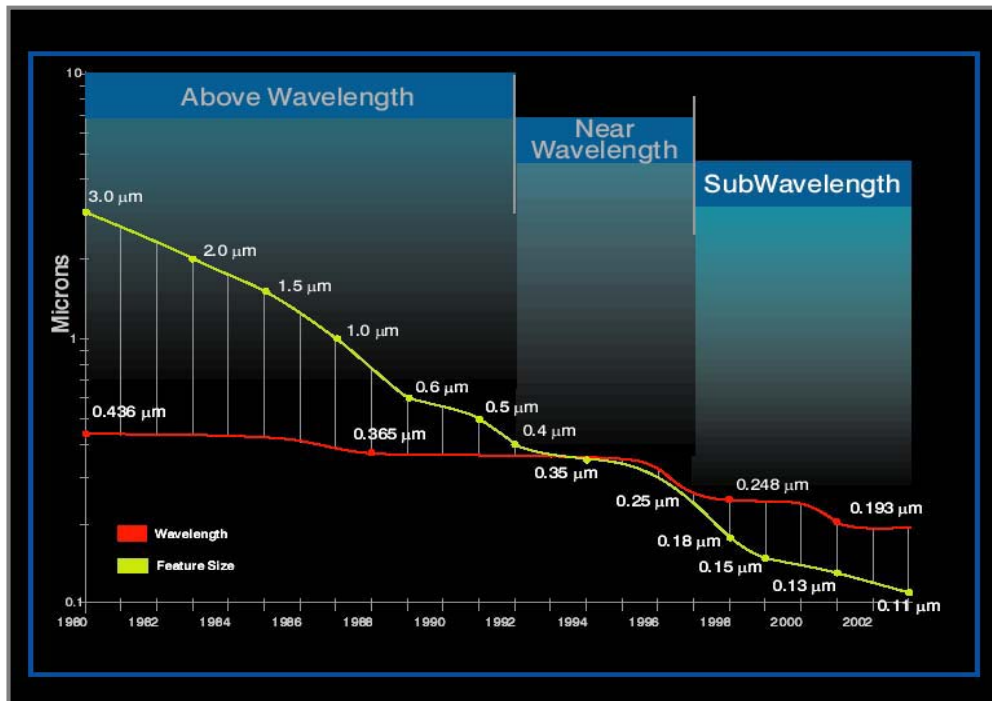
Quelle: Intel

07.04.2004

Hartmut Gemmeke, Roadmap\_Halbleitertechnologie

12

# Lithographie : Was ist möglich ?



Quelle : Osten

07.04.2004

Hartmut Gemmeke, Roadmap\_Halbleitertechnologie

13

## Die Nano-Hypothese

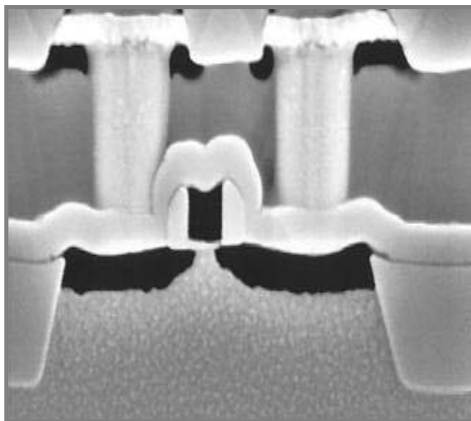
- **Eines Tages**  
- vielleicht nach 2013 -  
wird das Zeitalter der CMOS Transistoren dahinschwenden....
- Das wird das Ende des "Moore's Law" und der traditionellen Mikroelektronik sein?
- Die Ära der Nanoelektronik wird beginnen .... ???
- Es könnte auch ein Märchen sein, - das ein Märchen bleibt. Tot geglaubte leben länger.

07.04.2004

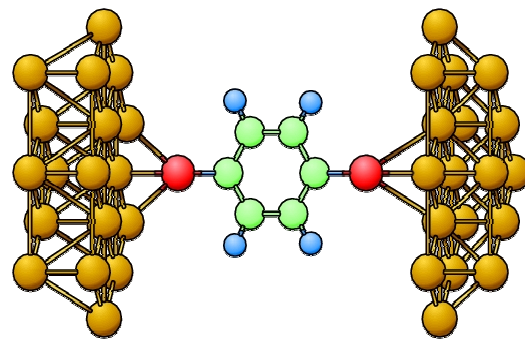
Hartmut Gemmeke, Roadmap\_Halbleitertechnologie

14

# Skalierung erreicht seine physikalischen Grenzen



10 nm MOSFET



vs. Moleküle

Quelle : Osten

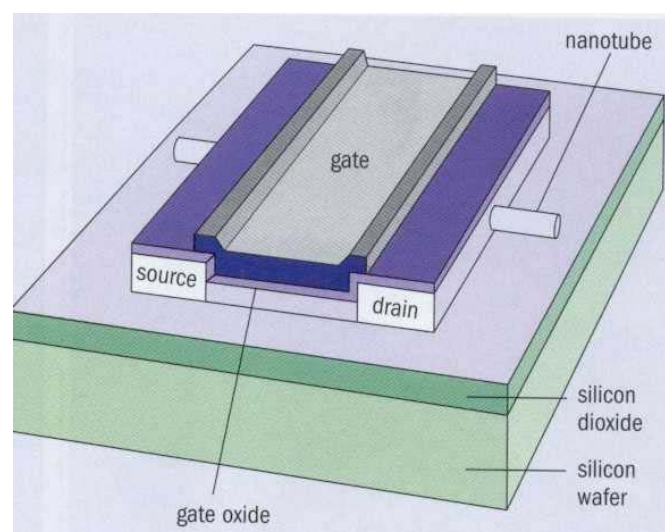
07.04.2004

Hartmut Gemmeke, Roadmap\_Halbleitertechnologie

15

## Nanotube Transistoren (IBM, ...)

- Logische Schaltkreise aus halbleitenden Kohlenstoff-Nanoröhrchen
- Herstellung noch mühsam
- Selbstorganisierte Anordnung der Nanostrukturen?
- Technische Reife in 10 Jahren?
- Dann ist Halbleitertechnik auch schon „NANO“ - Komplexitätsvorsprung so nicht einholbar
- Aber Nanotubes als vertikale Leiter für 3D-Strukturen



07.04.2004

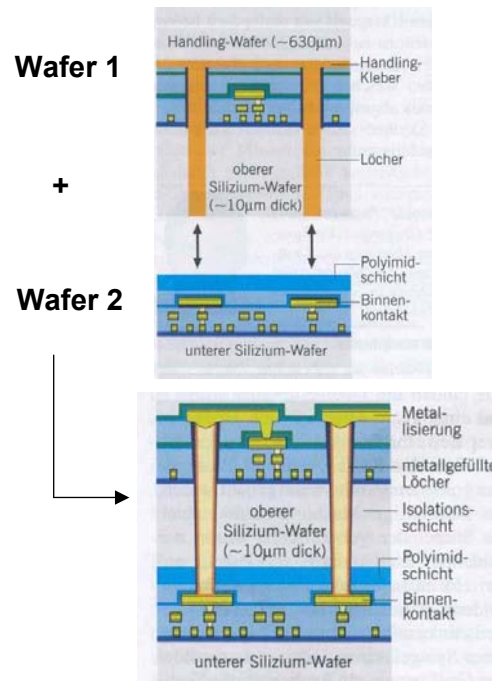
Hartmut Gemmeke, Roadmap\_Halbleitertechnologie

16



## 3D-Chips in Stapeltechnik (Infineon, ...)

- Wafers werden zusammengeklebt und über Leitkleberdurchkontaktierungen oder Nanotubes verbunden:

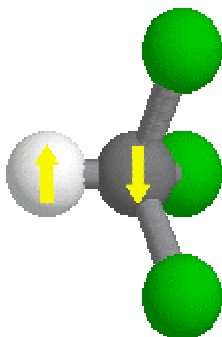


07.04.2004

Hartmut Gemmeke, Roadmap\_Halbleitertechnologie

17

## Quanten-Computer ?



Kern-Spins von Chloroform Molekülen wurden als Bausteine für einen Quanten-Computer ( $^1\text{H}$  bzw.  $^{13}\text{C}$ ) genutzt.

**Noch sehr weit weg von einer regulären NANO-Anwendung im technischen Großeinsatz - wenn überhaupt in 30 Jahren?**

Quelle : Osten

07.04.2004

Hartmut Gemmeke, Roadmap\_Halbleitertechnologie

18

# Fehlertoleranz

## Neues Paradigma:

- Nicht mehr 100 % fehlerfreie Fertigung für Bauteile und Verbindungen kann dramatisch die Kosten der Fertigung, Verifikation und Tests senken
- Bisher gilt und ist noch gültig:
  - Ein- oder zweistufiges Design mit nicht fehlerfreier Software
- Die Herausforderungen des neuen Chip-Designs
  - Robustes Design mit “fuzzy” Randbedingungen

## Wie kann das funktionieren?

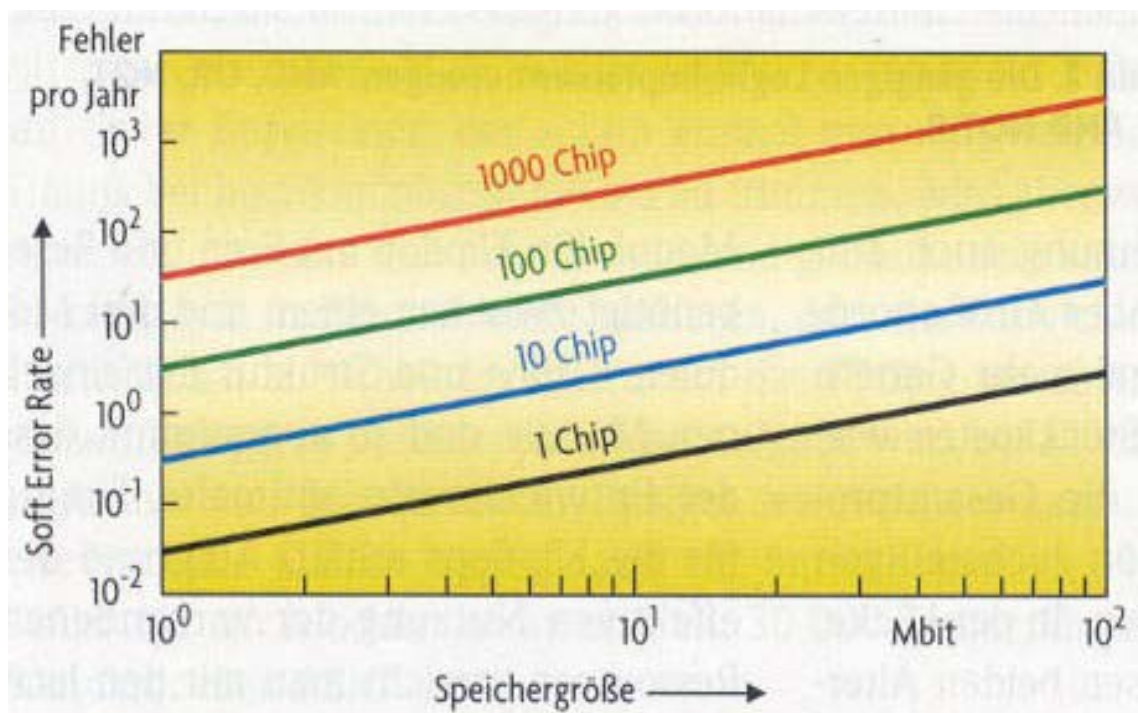
- Reprogrammierbare Logik mit vielen Sektionen (redundant), die sich z.T. im Falle eines Defektes abschalten und durch andere ersetzen lassen.

07.04.2004

Hartmut Gemmeke, Roadmap\_Halbleitertechnologie

19

## Soft-Error-Rate in Speicher-Bausteinen



1 GByte Speicher = 8 Gbit ♥  $\approx$  1 Fehler / 24 h ♥ 1 Bit Fehlerkorrektur hilfreich (Hamming Code)

07.04.2004

Hartmut Gemmeke, Roadmap\_Halbleitertechnologie

20

# Von der Prozess- ... zur Design Technologie

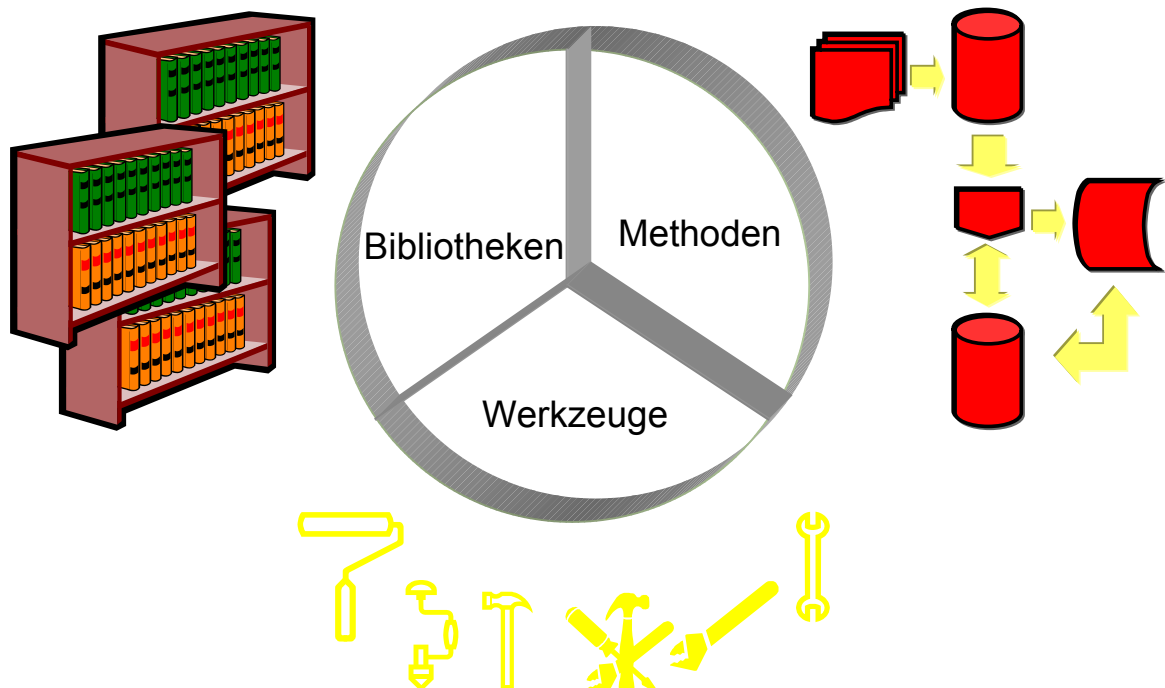
The screenshot displays a complex digital design environment. On the left, a 'Virtuoso Editing: Ampel.ampel Layout' window shows a dense grid of colored lines representing a circuit layout. Below it, a 'Generated VHDL' window shows code for a meter core. In the center, a 'Synopsys Design Analyzer' window shows a logic circuit with gates (AND, OR, NOT) and flip-flops. On the right, a 'State Diagram' window shows a state machine with states 'Clear', 'Count', and 'Hold'. Below the logic circuit, a 'Report Output' window displays statistics for an 'adder' design, including the number of ports, nets, cells, and area.

07.04.2004

Hartmut Gemmeke, Roadmap\_Halbleitertechnologie

21

# Was ist die Design-Technologie ?

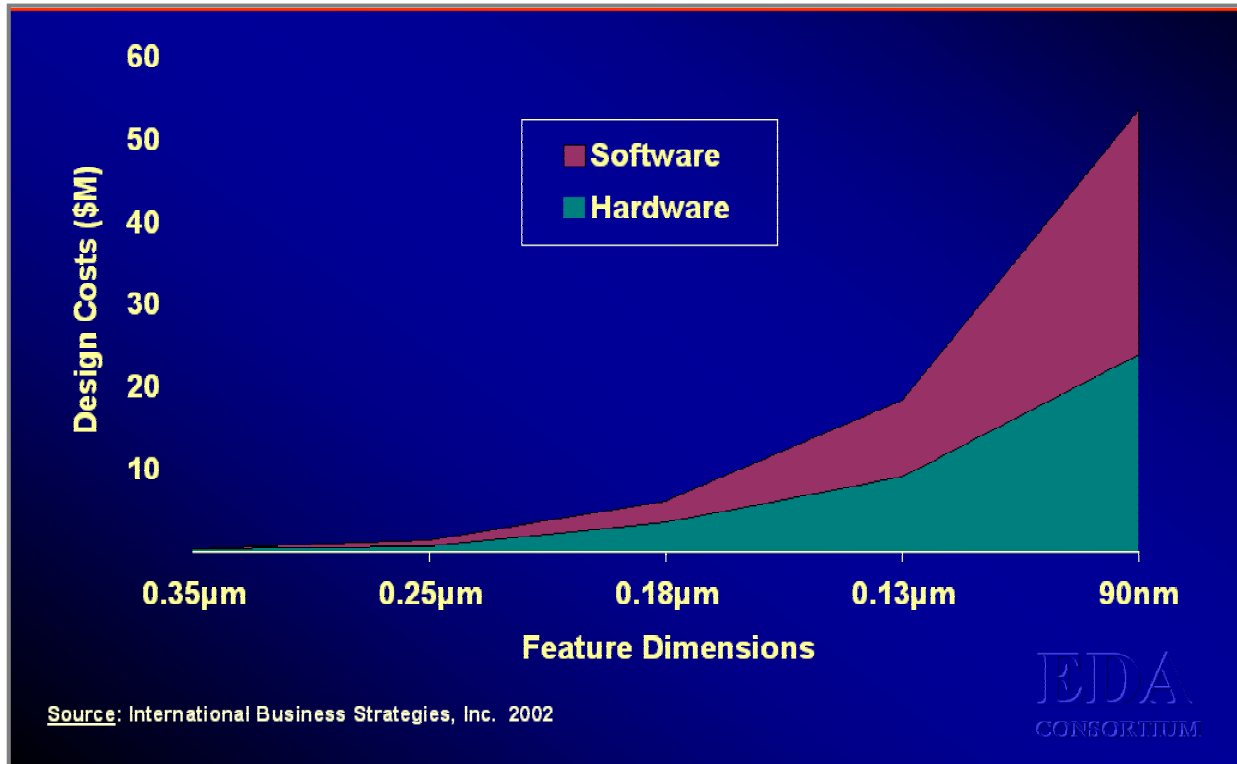


07.04.2004

Hartmut Gemmeke, Roadmap\_Halbleitertechnologie

22

# Schnell steigende Designkosten



07.04.2004

Hartmut Gemmeke, Roadmap\_Halbleitertechnologie

23

## Was brauchen wir?

- **Unser Problem 2013,**
  - wir wollen in einem Jahr (200 Arbeitstage) einen neuen 8 GTr. Chip entwickeln,
  - wir haben ein Team von 500 Ingenieuren,
- **Dann,**
  - Brauchen wir eine Produktivität von 80 kTr. pro Ingenieur und Tag.
- **D.h., da heutige Produktivität 0,4 kTr. pro Ingenieur und Tag,**
  - ♥ Produktivität muss um ca. **80 % jährlich** steigern,
  - ♥ Oder wir brauchen mehr und mehr Ingenieure !!!
- **Kostenfalle**

das größte Damoklesschwert



über der weiteren Halbleiterentwicklung oder Roadmap

07.04.2004

Hartmut Gemmeke, Roadmap\_Halbleitertechnologie

24

# Drastische Steigerung der Design-Produktivität

---

Hauptsächlich durch neue Designmethoden

- nicht durch neue Werkzeuge:

- **Höheren Abstraktionslevel** für das Design
- **Wiederverwendung** von Designs (Intellectual Properties (IP))
- **Bessere und schnellere** Optimierungs und Analyse-**Algorithmen**
- **Bessere Schätzer** für Verluste und Verhalten der Schaltung
- **Formale Methoden**, damit Design automatisch durch Konstruktion richtig ist
- **Bauteile, Verbindungen, Schaltungen und Systeme** müssen **fehlertolerant** werden

## ENDE: 4 Thesen zu Mikro-Nano

---

- Die **Si-Mikroelektronik** wird in den nächsten 20 Jahren ein **fast unerschöpfliches Innovationspotenzial** bieten
  - Problem: Effektive Nutzung
- **NANO hat schon längst begonnen - eben auch in der Standard-Halbleiterindustrie**
- **Neue Nano-Transistorstrukturen** (z.B. auf Basis von Nano-Röhrchen) sind zur Zeit zu wirtschaftlichen Bedingungen überhaupt nicht absehbar
- Die **Aufbau und Verbindungstechnik** wird in den nächsten **5 - 10 Jahren** von der Nano-Technologie großen Nutzen haben:
  - **Elektrische Verbindungen mit C-Nano-Röhrchen haben kleinere Widerstände als Cu-Verbindungsleitungen**

# Dank an:

---

- **Prof. Erich Barke, Institut für Mikro-Elektronische Systeme, UNI Hannover,**
  - **Prof. Siegmur Roth, MPI für Festkörperphysik Stuttgart,**
  - **Altera,**
  - **EDA Consortium,**
  - **IBM,**
  - **Infineon,**
  - **Intel,**
  - **International Technology Roadmap for Semiconductors 2003 (ITRS 2003) ...**
  - **Motorola**
  - **Texas Instruments,**
  - **Xilinx,**
- für ihre Daten und Bilder**

IMS  
Institute of Microelectronic Systems  
University of Hannover





## Ein Messplatz für laserinduzierte HF-Leitfähigkeit

G. Richter, Abt DH, Hahn-Meitner-Institut Berlin

Zweck: Charakterisierung von Halbleitereigenschaften durch nichtdestruktive Analyse (keine Materialveränderungen durch zerstörende Prüfungen, z.B. wegen Kontaktierung der Prüflinge, keine Änderungen der Materialeigenschaften durch das Prüfverfahren).

Verfahren: Generierung von Elektronen-Löcher-Paaren in Halbleiter-Gittern durch Laser-Pulse hoher Energie und sehr kleiner Zeitdauer, Messung der Rekombination der Paare durch Aufzeichnung des darauf folgenden zeitlichen Verlaufes der Leitfähigkeit im HF-Frequenzbereich.

Einsatz: In der Forschung zur Analyse von Eigenschaften von verschiedenen Halbleitermaterialien (auch Mischformen), in der Produktion bei der Qualitätskontrolle, überwiegend an Si (Fotovoltaik-Elemente), allgemein zur Feststellung von Verunreinigungen.

### 1. Verschiedene aktuell verwendete Verfahren

Anregung durch elektrische Pulse, Blitzlampen, Laser verschiedener Wellenlänge  
Messung des Kapazitätsverlaufs durch schnelle C-Meter [1], Messung der Reflexion von Mikrowellen, Analyse der HF-Eigenschaften im Volumen der Prüflinge in verschiedenen Frequenzbereichen (Mhz...GHz) [2]

Prüflingsgestaltung: Ganze Wafer, Zuchtkristalle, Schichten auf anderen Trägern

### 2. Forderungen an den behandelten Messplatz

Hohe zeitliche Auflösung (Laser-Anregungspuls  $\ll 1$  ns), Zeitauflösung des Messergebnisses  $< 3$  ns, Zeitmessbereich bis Unendlich (DC-fähiger Detektor).

Ein Probensortiment mit großem Leitfähigkeitsumfang sollte bearbeitet werden können.

Entwicklung einer geeigneten Aufnahme für die Proben. Funktionsfähigkeit auch an kleinen Probenstücken  $< 1$  cm<sup>2</sup>. Hohe Empfindlichkeit, da bei frequenzvariablen Lasern die Anregungsenergien niedrig sind.

### 3. Messtechnische Grundlagen

Die zeitabhängige Leitfähigkeitsänderung im Sample wird ausgewertet, indem die Phasenverschiebung zwischen anregender Frequenz (Referenzweig) und im Resonator angeregter Schwingung (Messweig) in einem Phasendetektor (hier ein Ringmischer) ermittelt wird.

Für einen Schwingkreis, der ungedämpft ist oder verschwindend geringe Dämpfung hat, ist die Resonanz-Kreisfrequenz

$$\omega_0 = \frac{1}{\sqrt{L * C}}$$

Ein gedämpfter Schwingkreis, der alle seine Verluste in R konzentriert hat, hat eine nach unten abweichende Resonanz mit

$$\omega = \sqrt{\left(\frac{1}{L \cdot C} - \frac{R^2}{4 \cdot L^2}\right)}$$

R sind die Gesamt-Verluste, die hier als  $R=R_0+R(t)$  aufzufassen sind , wobei t die Zeit nach der Anregung des Samples ist, während R(t) die freien Ladungsträger repräsentiert, die HF-technisch die Verluste des Samples während der Rekombinationszeit beschreiben und damit die Güte des Gesamt-Resonator-Gebildes ausmachen. Ist die Güte des Resonators und des Samples im Falle der Nichtanregung von Ladungsträgern hoch, so gilt mit damit kleinem Verlust-  $R_0$  eine andere Phase  $\varphi_0$  als während in der Zeit t nach der Anregung, wenn die Phase durch das zusätzliche R(t) einen anderen Verlauf nimmt und damit am Mischerausgang das Differenzsignal liefert.

Für die Phase bei so erzwungenen Schwingungen folgt

$$\tan \varphi = \frac{R \cdot \omega}{L(\omega_0^2 - \omega^2)},$$

was für das Messverfahren wie folgt ausgenutzt wird.

#### 4. Blockschaltung

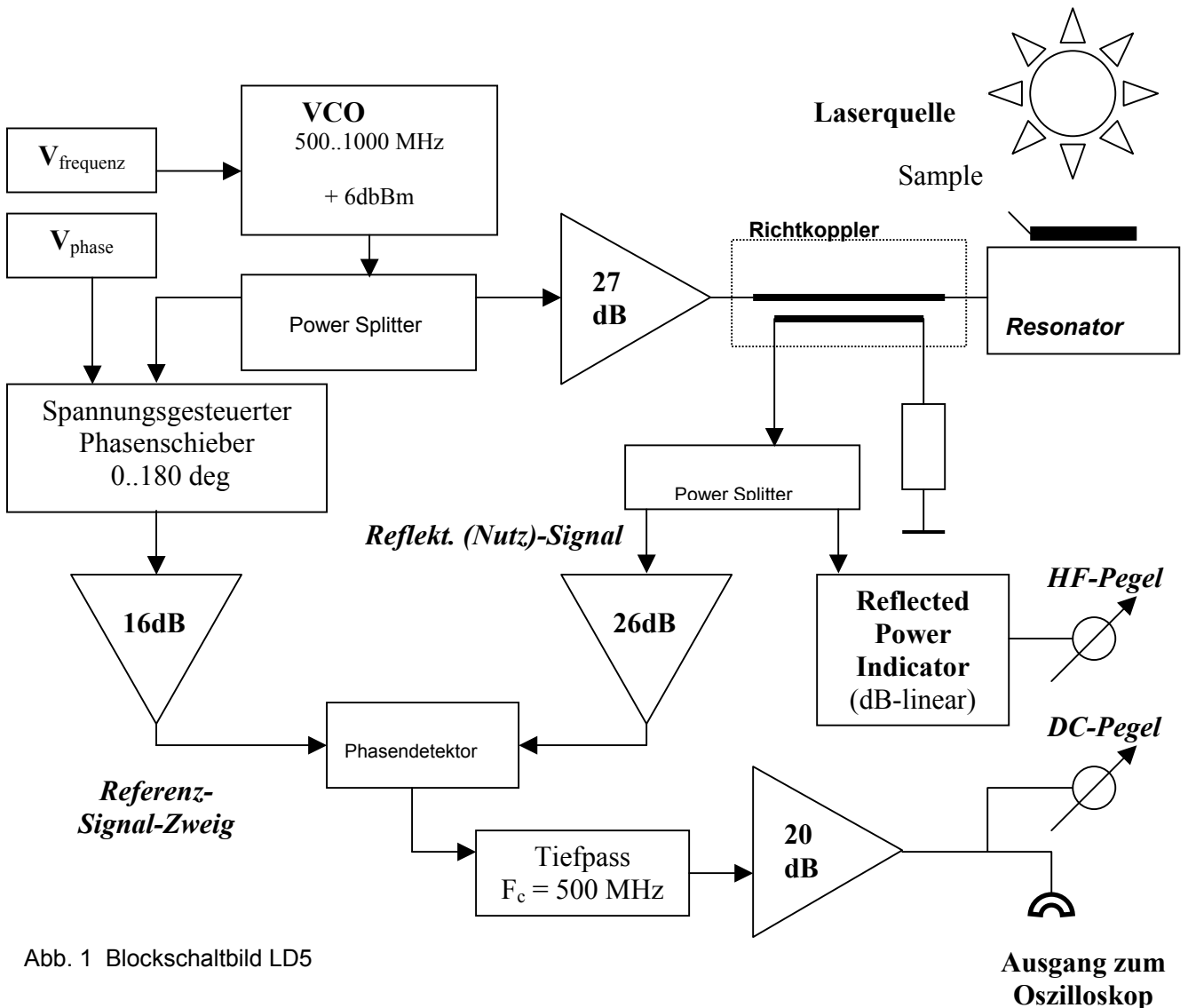


Abb. 1 Blockschaltbild LD5

Im Blockschaltbild erkennt man links den Referenzsignalzweig und rechts den Resonator mit dem zu charakterisierenden Sample. Im Leerlauf, also bei Nichtanregung des Samples, ist durch Wahl der Frequenz der Resonator an den Treiberverstärker ideal angepasst und die Rücklaufleistung am Richtkoppler ist nahe Null. In diesem Falle werden die Leerlaufverluste des Resonators durch die reaktiven Anpassglieder genau auf die Quellimpedanz des Treiberverstärkers (hier 50 Ohm reel) transformiert. Am Richtkoppler ergibt sich ein Signal nahe Null. Die Referenzphase wird vom Experimentator über den Phasenschieber im Referenzzweig so eingestellt, dass am Phasendetektor die beiden Signale um 180 Grad verschoben erscheinen und das Ausgangssignal folglich Null wird

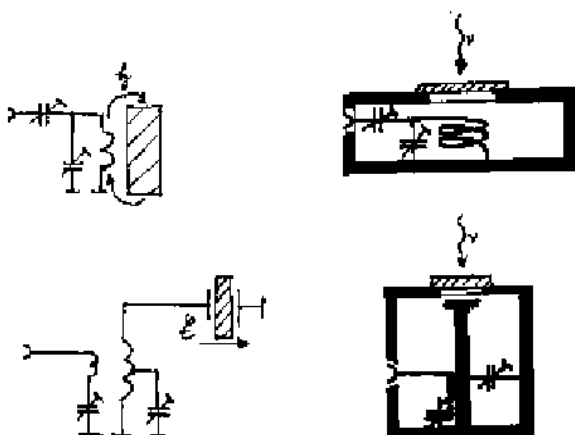
Die Messphase wird aus dem rücklaufenden Signal über einen Richtkoppler entnommen, wenn der Resonator durch die Anregung und das dadurch stärker verlustbehaftete Sample verstimmt wird, da in diesem Falle die genaue Anpassung nicht mehr gegeben ist. Die Spannung am Rücklaufweig des Richtkopplers ist jetzt entsprechend höher und diese Messphase entsprechend verschoben, so dass der Phasendetektor ein Ausgangssignal liefern kann.

Im praktischen Betrieb wird das Sample auf den Resonator gelegt, die Frequenz von Hand so eingestellt, dass der Resonator ideal angepasst ist (die sehr unterschiedlichen Sample-Größen und –Eigenschaften verstimmen den Resonator unterschiedlich stark, z.T. bis zu 50 MHz), indem die rücklaufende Leistung an einem Instrument beobachtet wird und anschließend die Referenzphase so eingestellt, dass der Ausgang den DC-Pegel Null zeigt. Da die Abklingzeiten z.T. in den ms-Bereich gehen und bei Photoleitung sogar gegen  $\mu$ s, ist eine DC-Ausgang-Kopplung erforderlich.

Der ideale Double-Balanced-Mixer als Phasendetektor liefert theoretisch nur Summen- und Differenzfrequenz (als Ableitung der Summen- und Differenzphasen an seinen Eingängen) am Ausgang, wobei uns hier auch nur die Differenzphase interessiert. Wegen der nur endlichen (i.A. nur  $>25$  dB) Unterdrückung der Messfrequenz und ihrer Oberwellen sowie des Summensignales ist hinter dem Phasendetektor ein Tiefpass erforderlich, um den Eingang des Oszilloskopes nicht mit diesen Störsignalen zuzustopfen resp. zu überlasten. Dieser Tiefpass ist als 10-poliger Bessel-Tiefpass entworfen, um Phasenreinheit auch bei hohen Signalkomponenten des Leitfähigkeitssignal zu erreichen, also den zeitlichen Verlauf der Leitfähigkeit nicht zu verfälschen. Er bestimmt wesentlich die erreichbare Zeitaufösung im Ausgangssignal.

Der Laser, der zur Anregung benutzt wird, liefert eine Master-Clock (etwa 108 kHz), die zur Triggerung des Oszilloskopes benutzt wird. Wegen der Kleinheit der Signale und zur Rauschbeseitigung wird im Betrieb meist über 500 Samples integriert.

Die Ankopplung der Samples an die Resonator-Schwingkreise kann induktiv (Wirbelstrom-Prinzip über magnetische Verkopplung mit H-Komponente der Spule) oder kapazitiv (Sample als Teil der E-Komponente in der Schwingkreiskapazität) erfolgen.



Basis-Resonatortypen

Während bei großen Wafern und Einkristallen das induktive Verfahren dominiert, hat sich bei den kleinen und sehr kleinen (z.T. nur Bruchstücken von Wafern) bei uns das kapazitive Verfahren

bewährt, das einen möglichst großen Anteil der Schwingkreis Kapazität aus dem Dielektrikum des Samples gewinnt.

## 5. Störeinflüsse

Externe Störeinflüsse (Fernsehfunk, Bündelfunk, GSM900, andere Funk-Dienste) sind wegen der hohen Empfindlichkeit der Anordnung nur dadurch zu vermeiden, dass man im Spektrum eine geeignete Messfrequenz dazwischen wählt. Ebenso kann bei photoempfindlichen Samples das Fremdlicht der Raumbeleuchtung stören.

Interne Störeinflüsse (Versorgungsspannungen, Felder von Netzteilen, Fremdeinstreuungen, Schaltnetzteiljitter, mechanische Schwingungen) machten eine Umkonstruktion der Netzversorgung (konsequenter Einsatz analog geregelter Netzteile, aufwendige HF-Verdrosselung bei Lüftermotoren) notwendig. Da schon geringe mechanische Lageänderungen des Samples Störsignale produzieren, wird in praxi der Resonator vom Gerät über ein flexibles Koax-Kabel abgekoppelt.

Verfahrensbedingte Fehler entstehen sowohl bei den Samples als auch bei den Resonatoren durch HF-Erwärmung im Betrieb, da rund 100 bis 200 mW an den Ruheverlusten in Wärme umgesetzt wird, so dass sich mechanische Ausdehnung beim Resonator und thermische Effekte auch am Sample selbst bemerkbar machen.

[1] Sinton Consulting, WCT-100 Silicone Lifetime Tester

[2] Ahrenkiel and Jonston; Contactless Measurement of Recombination Lifetime in Photovoltaic Materials; National Renewable Energy Laboratory (NREL), Golden CO, USA

# Parallelkursregelung schneller mobiler Roboter

**Gerd Nowack**

Labor für Präzisions- und Datenmesstechnik,  
c/o Lehrstuhl für Netz- und Datensicherheit, Fakultät für Elektrotechnik und Informationstechnik  
Ruhr-Universität Bochum, IC 4/146, D-44780 Bochum [Gerd.Nowack@rub.de](mailto:Gerd.Nowack@rub.de)

## Abstracts

Ein mobiler Roboter muss sich kontrolliert fortbewegen können. Die Steuerung der Lenkung ist das Ergebnis einer Bahnplanung, die die Kenntnis der Start- und Zielposition sowie der frei verfügbaren Flächen im Raum voraussetzt. Zusätzliche Sensorik ist erforderlich, um die aktuelle Verfügbarkeit eines Weges festzustellen. Abgestellte Gegenstände und natürlich der Mensch müssen vor einer Kollision geschützt werden.

Der gegenwärtiger Stand der Technik ist der, dass mobile Roboter sehr langsam fahren: 10 bis 40cm/s. Diese Geschwindigkeit ist meist konstant und auf das kritischste Wegstück abgestimmt: die engste Kurve und die erforderliche schnellste Reaktion auf unerwartete Ereignisse. Eine ca. zehnmal höhere Robotergeschwindigkeit könnte bei Geradeausfahrt erreicht werden, z.B. entlang langer Gänge oder zwischen zwei Werkshallen. Dabei tritt vor allem das Problem auf, den geraden Kurs genau zu halten. Lösungen sind hier z.B. eine schnelle Parallelfahrt zu einer Wand mit Hilfe einer berührungslosen Abstandsmessung oder auch der Einsatz eines Kreiselkompasses.

In diesem Beitrag wird eine berührungslose Abstandsmessung vorgestellt. Eine Videokamera wird an den vier Seiten zusätzlich mit Lasern ausgerüstet. Die Justierung erfolgt so, dass das Punktmuster bei dem kleinsten vorgesehenen Abstand dem Bildrand möglichst nahe liegt. Bei Vergrößerung des Abstandes von Messsystem und Wand verkleinert sich das Punktmuster. Dabei wird die Auflösung immer geringer, da auch die Leuchtpunkte immer kleiner werden und das Intensitätsmaximum nur noch über eine geringe Pixelanzahl gemittelt werden kann. Zur seitlichen Abstandsbestimmung zwischen Roboter und Wand hätten zwei Leuchtpunkte gereicht. Mit Hilfe des dritten Leuchtpunktes kann festgestellt werden, ob die Wand zur Laufrichtung des Roboters schräg steht. Dies ist für die schnelle Parallelfahrt des Roboters wichtig zu wissen. Mit dem vierten Leuchtpunkt könnte sogar die Krümmung der Wand bestimmt werden. Aus den vier Signalen lassen sich folgende Ergebnisse ableiten: Nachweis, dass eine ebene Wand seitlich vorhanden ist, Nachweis, dass diese Wand zur Roboterrichtung parallel steht und last not least, dass diese Wand einen messbaren, also regelbaren Abstand hat.

## 1. Einleitung/Historischer Überblick

1950: Dr. Grey Walter baut die „kybernetische Schildkröte“ (ähnlich einem Dreirad), Vorläufer der heutigen Roboter, „Steuerung“ durch einen 1-Röhren-„Computer“, Sensorik: Lichtempfänger, Besonderheit: kehrte wieder an den Startpunkt (Lichtquelle) zurück, wenn Batterien leer waren.

1954: Patentanmeldung von George C. Devol für: „Programmiertes Umsetzen von Teilen“. Hierbei wird Manipulatorarmen das Montieren mit visueller Sensorik beigebracht.

1955: Omnivac-Roboter mit visuellem System, Funksteuerung, rotatorische Kinematik und Wirkorgane, stabiler Rumpfteil, aber geringe Belastbarkeit des „Wirkteils“ (Roboterarme)

1958: Jack Kilby (Texas Instruments) erfindet die integrierte Schaltung

≈1965: KHG, Deutschland, baut einen fahrbaren Manipulator für Wartungsarbeiten in Kernenergieanlagen

1960: Unimate mit hydraulischem Antrieb von Unimation Corp.

1967: Das Atomforschungszentrum in Harwell baut „Rivet“

1970: UdSSR, Lunochod: Einsatz auf dem Mond, Betrieb 10 Monate Erkundungsfahrten

1979: Roboter „Hermann“: Einsatz in Three Mile Island  
 1986: Braitenberg-Vehikel mit NN: Eingangsinformationen sind Sensorsignale, z.B. Helligkeit und Abstand, sie werden gewichtet ( $w_{i+}$  oder  $w_{i-}$ ) und addiert. Zwei Motoren ergeben einen gelenkten mobilen Roboter, der auf verschiedene Reaktionen trainiert werden kann: Zu/Wegfahrt auf/von einer Lichtquelle (Geschwindigkeit helligkeitsgesteuert) und Bremsung über Abstandssensoren. Man interpretiert menschliche Reaktionen: Aggression, Feigheit, ...  
 1993: Robotereinsatz im Weltraum durch das Deutsche Zentrum für Luft- und Raumfahrt-technik (DLR)  
 1995: Kuka-Roboter mit PC-Programmierung  
 1997: Sojourner, der erste mobile Roboter auf dem Mars 6-rädrig  
 2004: Mars Exploration Rover (MER), Nasa, 6-rädrig  
 2004: Asimo, der Android der Fa. Honda

## 2. Aussichten für zukünftige Roboteranwendungen

Roboter-Unterseeboote, Roboter-Landmaschinen: Waldarbeit durch 6-beinige Schreitroboter, Roboteraffe zum Pflücken hoch hängender Früchte, z.B. Früchte der Macauba-Palme mit stacheligem Stamm

Bauroboter: Roboter bauen Hochhäuser, sukzessiv Etage um Etage

Bohrroboter: bohrt dünne programmierbare Löcher durch die Erde zur Leitungsverlegung, Vermeidung von Schäden an vorhandenen Einrichtungen wie Gas-/Wasserleitungen

Putzroboter: Bahnhöfe, Flughäfen ... Skywash für Flugzeuge, Schiffsrumpfreinigung

Büroroboter: automatische Bodenreinigung, Papierkorbentleerung und Botendienste

Werkschutzroboter: fährt gezielt bestimmte Positionen an und überträgt Videoaufnahmen

Aufklärungsroboter: Roboterflugzeuge, Miniflugzeuge, Spannweite 7,5 cm, Videokamera in Größe eines Zuckerwürfels, mit Übertragungshardware: 6 g Gewicht

Feuerwehrroboter: ziehen den Wasserschlauch in gefährliche Positionen, Ausrichtung der Düse wird fern- oder Infrarot gesteuert

Roboterschafe zum Rasenmähen, Roboterballjunge beim Tennis

Tankroboter (Wasserstoff kann nicht mehr manuell getankt werden.)

Minenräumroboter, Fernreisen durch den Weltraum mit Roboterbesatzung

Androiden als Modelle z.B. erkrankter Menschen: Diagnosetraining für Ärzte

## 3. Grundprobleme der Roboter

Orientierung des Roboters:

Wo bin ich? Ortung der Position, GPS

Wo will ich hin? Koordinaten des Zielpunktes, Vorgabe

Wie komme ich dahin? Wegeplan aus dem Raummodell, Korrekturen on Board

Kollisionsfreie Wege nach dem Potentialfeldverfahren (spezielle Expansionsmethode):

Weg über die Linie minimalen Potentials

Intelligente Funktionen für die Orientierung des Roboters:

(1) Umgebungserfassung mit Sensorik: Abstandsmessung: Alternativen US, 2D-/3D-Laserscanner oder CCD-Kamera. Daraus: Warnabstand (mögliche Reaktion planen) und Schutzabstand (Reaktion notwendig)

(2) Raummodell, aus dem Start- und Zielpunkt, sowie Wegeplanung bestimmt werden

Gesetze der Robotik von Isaac Asimov, Science Fiction Autor

(1) Der Roboter darf kein menschliches Wesen verletzen oder durch Untätigkeit zulassen, dass einem menschlichen Wesen Schaden zugefügt wird.

(2) Ein Roboter muss dem ihm von einem Menschen gegebenen Befehlen gehorchen, es sei denn, ein solcher Befehl würde mit dem ersten Gesetz in Konflikt geraten.





Angenommen der Laserstrahl läge in der Horizontalebene mit 30mm Abstand von der optischen Achse und sein Reflexionspunkt würde auf Pixel 100 gemessen, dann ist die Entfernung:

$$z_1 = \frac{30 \text{ mm}}{0,095} \cdot \frac{320 \text{ pixel}}{100 \text{ pixel}} = 1010,53 \text{ mm}$$

Die Entfernung bei Messung auf Pixel 90 ist entsprechend größer:

$$z_2 = \frac{x_{\text{laser}}}{\tan \omega_h} \cdot \frac{x_{2,\text{px}}}{x_{\text{laser,px}}} = \frac{30 \text{ mm}}{0,095} \cdot \frac{320 \text{ pixel}}{90 \text{ pixel}} = 1122,81 \text{ mm}$$

## 5. Justierung der Laser bzw. Kalibrierung des Abstandes

Eine mechanische Justierung der Laser hat sich als unmöglich herausgestellt, weil die Laserstrahlen nicht einmal parallel zur Gehäusewand austreten. Da Justierungsfehler mit dem Abstand zunehmen, war es notwendig, für den Abstand einen Berechnungsweg zu finden, der keine parallelen Laserstrahlen zur optischen Achse voraussetzt. Die Laserstrahlen werden als allgemeine Geraden im Raum betrachtet. Projiziert man die allgemeine Gerade auf die (x,z) bzw. (y,z)-Ebenen erhält man:

$$\begin{aligned} x &= m_h \cdot z + b_h \\ y &= m_v \cdot z + b_v \end{aligned}$$

Aus beiden Gleichungen kann der Abstand z bestimmt werden, wenn die Geradensteigungen ( $m_h, m_v$ ) bzw. die Achsenabschnitte ( $b_h, b_v$ ) bekannt sind. Damit folgt:

$$z = \frac{b_h}{k_h \cdot x_{\text{px}} - m_h}$$

mit:

$$k_h = \frac{\tan \omega_h}{320}$$

bzw.:

$$z = \frac{b_v}{k_v \cdot y_{\text{px}} - m_v}$$

mit den Pixelkoordinaten für  $x_{\text{px}}$  und  $y_{\text{px}}$ . Das sind ganzzahlige Größen für die Pixelnummer des Lichtschwerpunktes der Laserpunkte. Die Bestimmung der Geradensteigungen ( $m_h, m_v$ ) bzw. der Achsenabschnitte ( $b_h, b_v$ ) erfolgt über zwei bekannte Punkte  $P_{1,2}(x_{1,2}, y_{1,2}, z_{1,2})$  der Raumgeraden. Es ergeben sich folgende Lösungen:

$$m_h = k_h \left( \frac{\Delta x_{\text{px}}}{\Delta Z} z_1 + x_{2,\text{px}} \right) \qquad b_h = -k_h z_1 \Delta x_{\text{px}} \left( 1 + \frac{z_1}{\Delta Z} \right)$$

und abgekürzt:

$$m_h = k_h m'_h \qquad b_h = k_h b'_h$$

Das Ergebnis ist:

$$z = \frac{b'_h}{x_{\text{px}} - m'_h}$$

Analog gilt natürlich auch:

$$z = \frac{b'_v}{y_{px} - m'_v} \quad m'_v = \frac{\Delta y_{px}}{\Delta z} z_1 + y_{2,px} \quad b'_v = -z_1 \Delta y_{px} \left( 1 + \frac{z_1}{\Delta z} \right)$$

Dieses Ergebnis wäre für Kalibrierung des Abstandes geeignet, wenn denn die z-Koordinaten der beiden Punkte bekannt (also messbar) wären. Die Lage der Hauptebene des Objektivs ist aber tatsächlich nicht bekannt. Die fehlende Information kann ersetzt werden, wenn man drei Punkte der Raumgeraden betrachtet. Nun erhält man zwei messbare Differenzen zwischen den Punkten  $P_1$  und  $P_2$  bzw.  $P_2$  und  $P_3$ .

Die z-Koordinaten der drei Punkte können wie folgt berechnet werden:

$$z_1 = \frac{-\Delta x'_{px} \Delta z (\Delta z' + \Delta z)}{\Delta z \Delta x_{px} - \Delta z' \Delta x'_{px}} \quad z_2 = z_1 + \Delta z \quad z_3 = z_1 + \Delta z + \Delta z'$$

mit:

$$\Delta x_{px} = x_{2,px} - x_{1,px} \quad \Delta x'_{px} = x_{3,px} - x_{2,px}$$

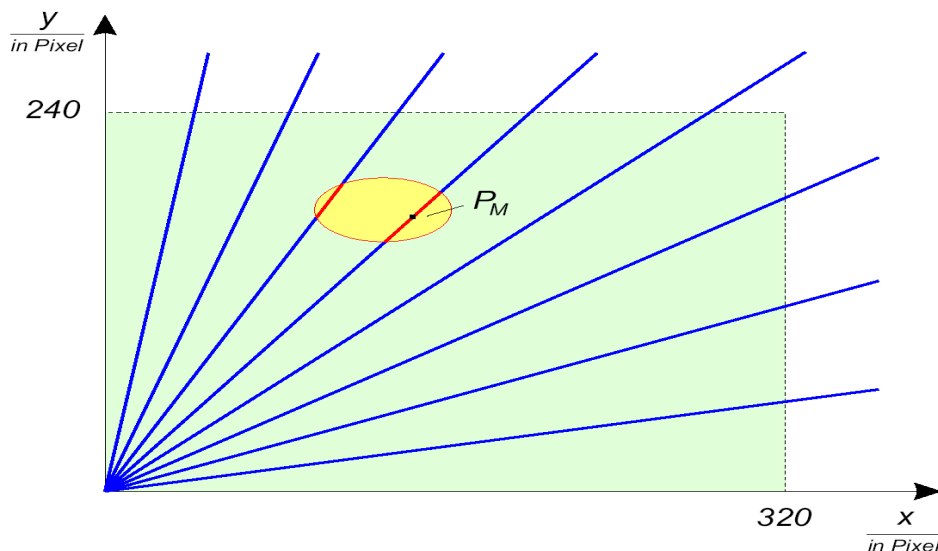
Die Kalibrierung des Abstandes kann noch weiter verbessert werden durch Verwendung vieler Punkte (also mehr als drei) auf der Raumgeraden. Durch Mittelung und Regression kann der Fehler genügend genau reduziert werden.

## 6. Messaufbau und Kalibrierung

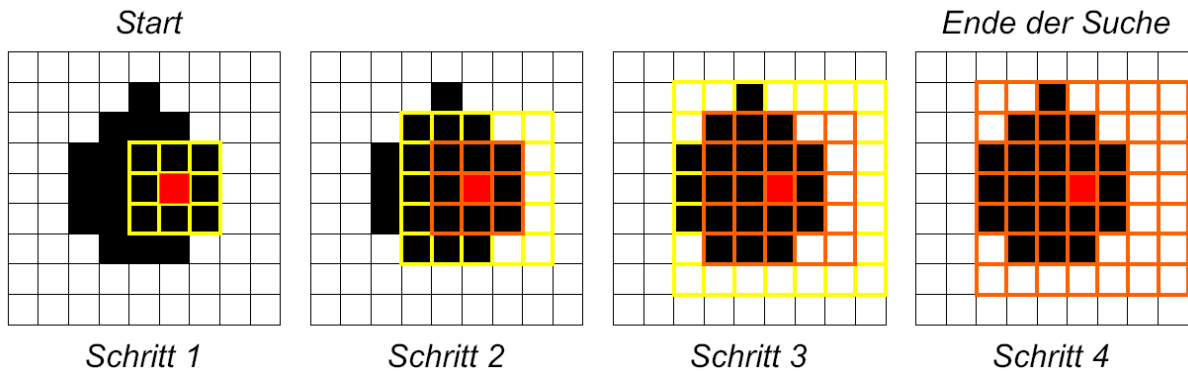
Der Messaufbau besteht aus einer optischen Bank mit einem fest montierten, aber um die x- und z-Achse drehbaren Schirm. Die Kamera, zusammen mit ihren vier Laserstrahlern, ist auf einem Wagen montiert, der längst der optischen Bank verschoben werden kann, um verschiedene Abstände zum Schirm einstellen zu können. Zunächst wird die Kamera auf den kürzesten Abstand gestellt. Die Laserpunkte haben dann im Bild den größten sinnvollen Abstand voneinander. Danach wird die Entfernung in 100 mm Schritten vergrößert. Außerdem werden in jeder Position 100 Abstandsmessungen durchgeführt, über die gemittelt wird.

Die Auswertung des Kamerabildes erfolgt wie folgt:

1. Der Bildraum wird in 4 Segmente aufgeteilt, also für jeden Laserpunkt eins.
2. Zur schnellen Suche des Pixelbildes wird nicht abgescannt, sondern auf Zentralstrahlen gesucht, ob die Helligkeit über einem vorgegebenen Grenzwert liegt. Das ist sinnvoll, weil bei großen Abständen die Abbildung des Laserpunktes immer kleiner wird und auf die Mitte zurückt.



Jetzt werden alle weiteren Pixel des Pixelbildes gesucht. Dazu wird die Nachbarschaft in einer 9-er, 16-er, 25-er usw. Matrix untersucht, bis alle Pixel über dem Schwellwert gefunden sind.



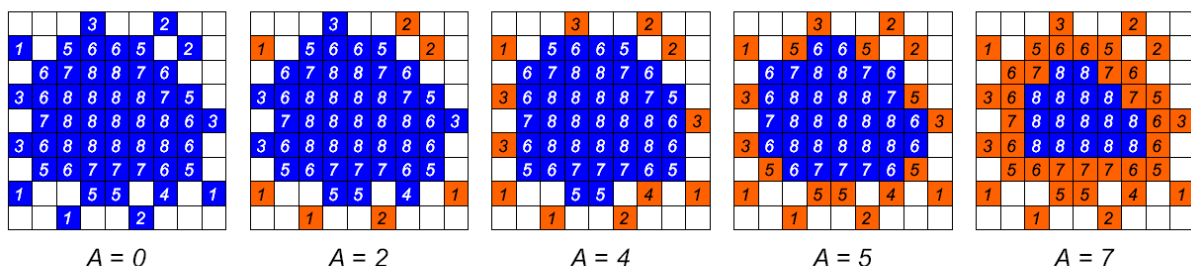
■ - Ausgangspixel      □ (gelb) - zu prüfende Pixel      □ (orange) - bereits geprüfte Pixel

Der mit der Helligkeit  $\omega$  gewichtete Mittelpunkt des Pixelbildes ergibt sich zu:

$$P_{\text{mittel}} = (x_m, y_m) \quad \text{mit:} \quad x_m = \frac{\sum_i \omega_i x_i}{\sum_i \omega_i} \quad \text{und} \quad y_m = \frac{\sum_i \omega_i y_i}{\sum_i \omega_i}$$

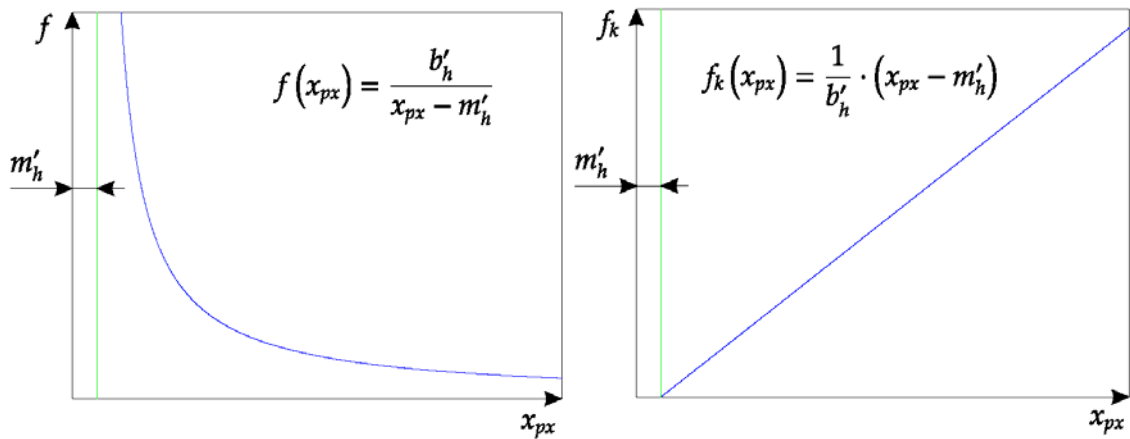
Eine besondere Schwierigkeit tritt im Randbereich auf. Dort haben die Helligkeitswerte der Pixel in etwa die Größe des vorgegebenen Schwellwertes. Da nun die Kamera automatisch einen Helligkeitsabgleich durchführt, bilden sich keine stabilen Randpixel. Dieser stochastische Fehler wird nicht sinnvoll durch Mittelung ausgeglichen. Erfolgreich wird durch Auswertung gesetzter bzw. nicht gesetzter Pixel per Software festgestellt, wie viel Nachbarn ein Pixel hat. Verwendet man nur Pixel mit 8-er Umgebung, so sind die stochastischen Fehler ausreichend stark unterdrückt.

Die Zahl in den einzelnen Pixeln steht für die Anzahl ihrer "schwarzen" Nachbarpixel



■ (blau) - berücksichtigte Pixel      ■ (orange) - nicht berücksichtigte Pixel

Mit Hilfe der aufgenommenen Daten aus 20 Abständen können die Parameter:  $m'_h$ ,  $b'_h$  bzw.  $m'_v$ ,  $b'_v$  nach Ausgleichung der Messwerte mit einer linearen Umkehrfunktion bestimmt werden.



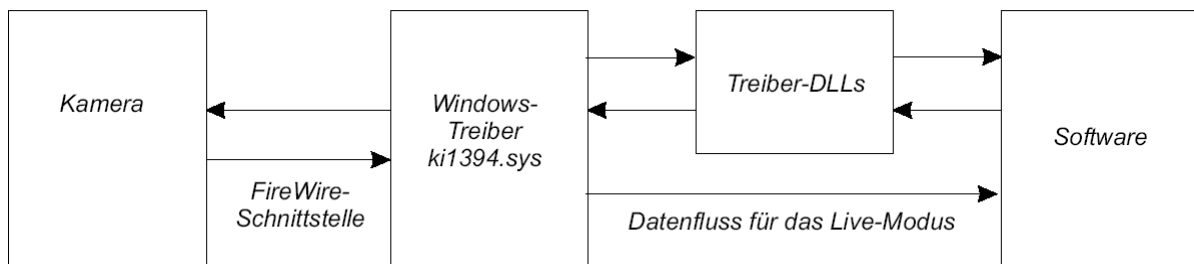
Aus den Werten der Ausgleichsgeraden:  $m_a$  und  $b_a$  folgen die Parameter des betrachteten Laserstrahls:

$$b'_h = \frac{1}{m_a} \qquad m'_h = -\frac{b_a}{m_a}$$

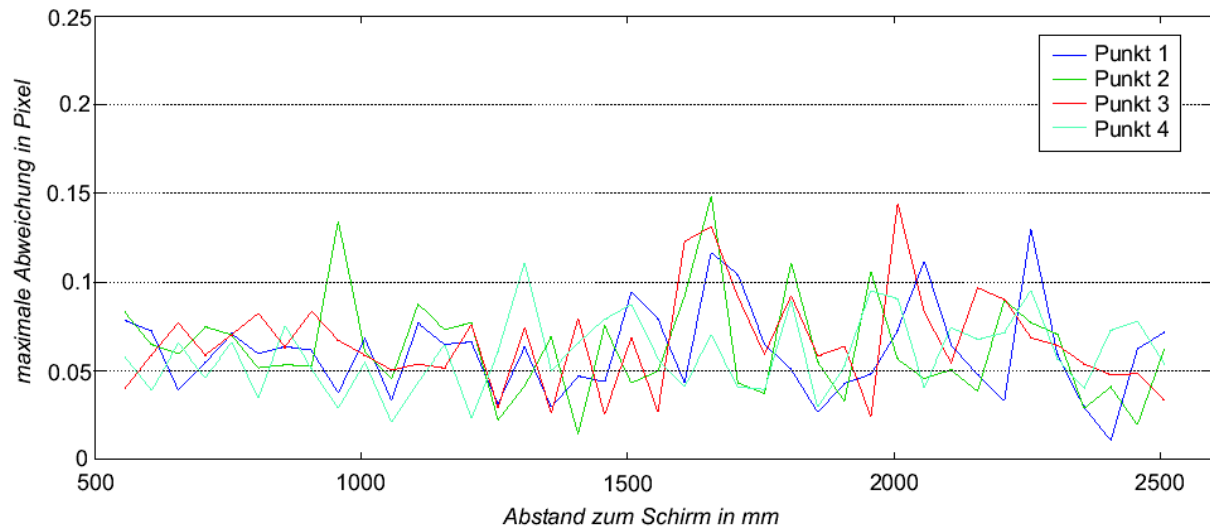
Entsprechende Formeln gelten für die  $m'_v$ ,  $b'_v$ . Wie man leicht sieht, kann die Entfernung entweder aus der x- oder der y-Koordinate des Pixelschwerpunktes bestimmt werden. Sinnvoll ist die Verwendung der x-Koordinate, da sie eine größere Pixelauflösung hat.

## 8. Ergebnisse der Abstandsmessung

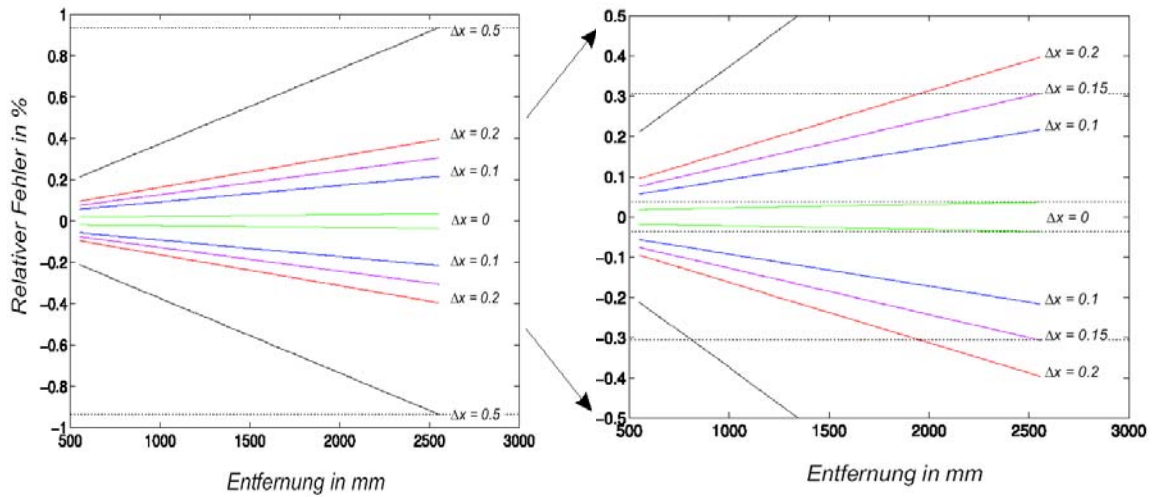
Die folgende Abbildung zeigt die Verbindung von Kamera und Bediensoftware:



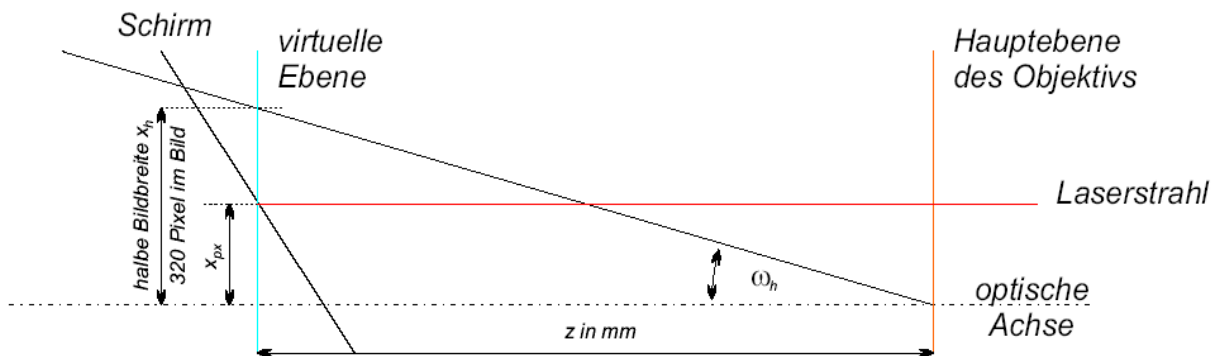
Aufgrund von stochastischen Schwankungen tritt eine maximale Abweichung in Pixel auf:



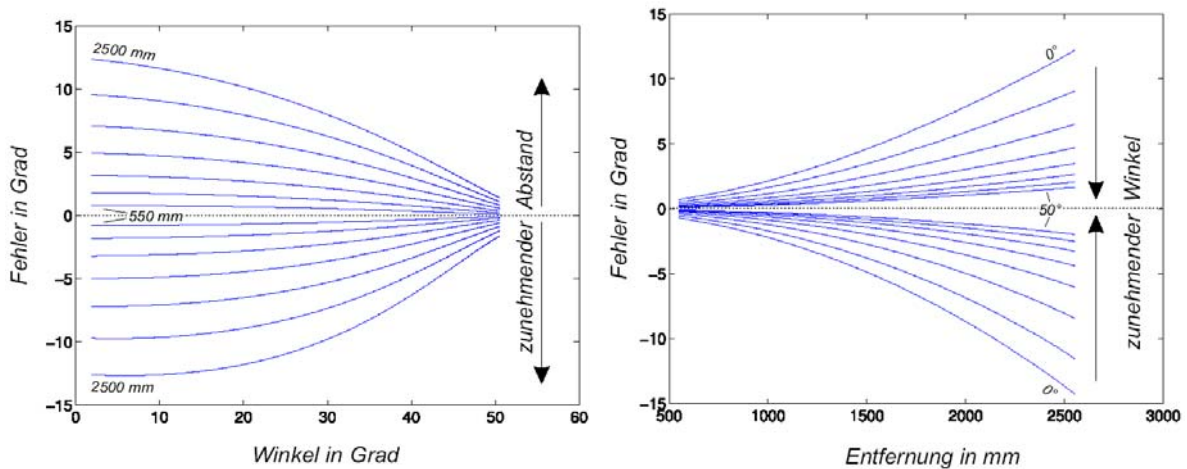
Der maximale Fehler beträgt  $\Delta x = 0,15$  Pixel. Für den relativen Fehler der Entfernungsmessung folgt in Abhängigkeit vom Abstand und dem stochastischen Fehler  $\Delta x$ :



Last not least sollten auch die Neigungswinkel der Projektionsebene bestimmt werden. Der Fehler der Abstandsmessung überträgt sich sehr effektiv in einen Fehler der Winkelmessung. Die betrachtete Anordnung zeigt folgende Abbildung:



Der Fehler des horizontalen Neigungswinkels ergibt sich zu (Annahme:  $\Delta x = 0,2$  Pixel):





## 9. Danksagung

Mein besonderer Dank gilt Herrn Arpad Krakovszki, der im Rahmen seiner Diplomarbeit dieses Thema bearbeitet hat. Wir standen in einem ständigen, produktiven Dialog, so dass die gestellte Aufgabe mit großer Zufriedenheit gelöst werden konnte.

Verglichen mit den neuen Arbeitsgebieten der Universität im Bereich der Elektrotechnik nimmt die Bedeutung der Präzisionsmesstechnik leider rapide ab. Weltweit kann man einen solchen Trend allerdings nicht feststellen.

## 10. Literatur

- /1/ Worst, Rainer und Kirchner, Frank: KURT2, eine mobile Plattform für die Robotikforschung, Robotik 2002, VDI-Bericht 1679, S. 389 - 394
- /2/ Braitenberg, V.: Künstliche Wesen, Verhalten kybernetischer Vehikel, Vieweg 1986
- /3/ Arkin, R.: Behavior-Based Robotics, MIT Press 1998
- /4/ Veerbeck, Christian: Reaktive Steuerung autonomer mobiler Roboter, Dissertation  
[Gerd.Nowack@rub.de](mailto:Gerd.Nowack@rub.de)

# Datentransfer für Multidetektor

## DE147 / DE148

Entwicklung & Aufbau einer 16 Bit  
Datenübertragungsstrecke mit mind.  
8 MHz Abtastgeschwindigkeit

Ersatz für DE118- DE129

**Autor:** Waldemar Przybilla

**Mitwirkender :** Winfried Altmann

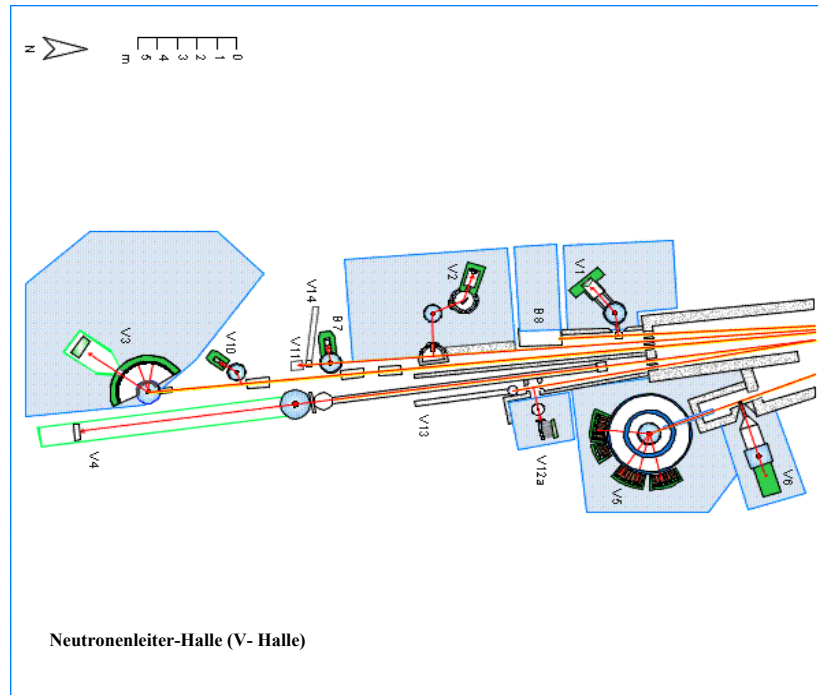


## Gliederung

- Übersicht Experiment V5
- Probleme
- Entwicklungsziel
- LASER- Übertragungsstrecke
- Übertragungseigenschaften
- Zusammenfassung

## Übersicht Experiment V5

- Übersicht Experiment V5
- Probleme
- Entwicklungsziel
- LASER-Übertragungsstrecke
- Übertragungseigenschaften
- Zusammenfassung

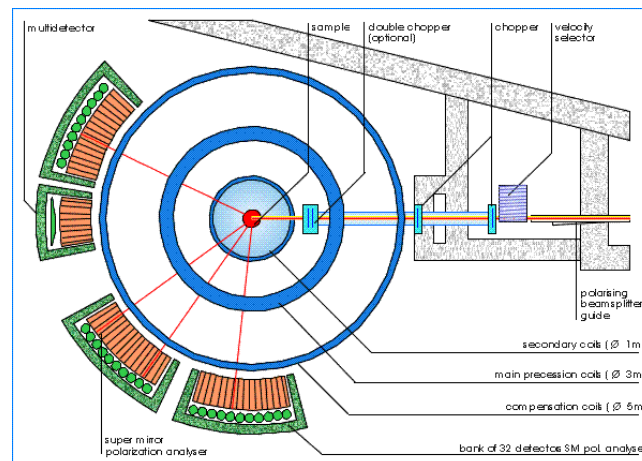


Waldemar Przybilla

## Übersicht Experiment V5

- Übersicht Experiment V5
- Probleme
- Entwicklungsziel
- LASER-Übertragungsstrecke
- Übertragungseigenschaften
- Zusammenfassung

The Neutron Spin Echo (NSE) precession field, is created by three pairs of coils with diameters 1, 3 and 4.8 m respectively. Each pair is mounted in a Helmholtz like fashion with one coil above and one coil below the horizontal scattering plane. The centers of all coils are placed on the same vertical axis, which crosses the sample position. In each pair of coils the electric currents are oriented oppositely to each other. In the NSE configuration the double chopper is removed and the other two discs are blocked in open position.



### Time of Flight

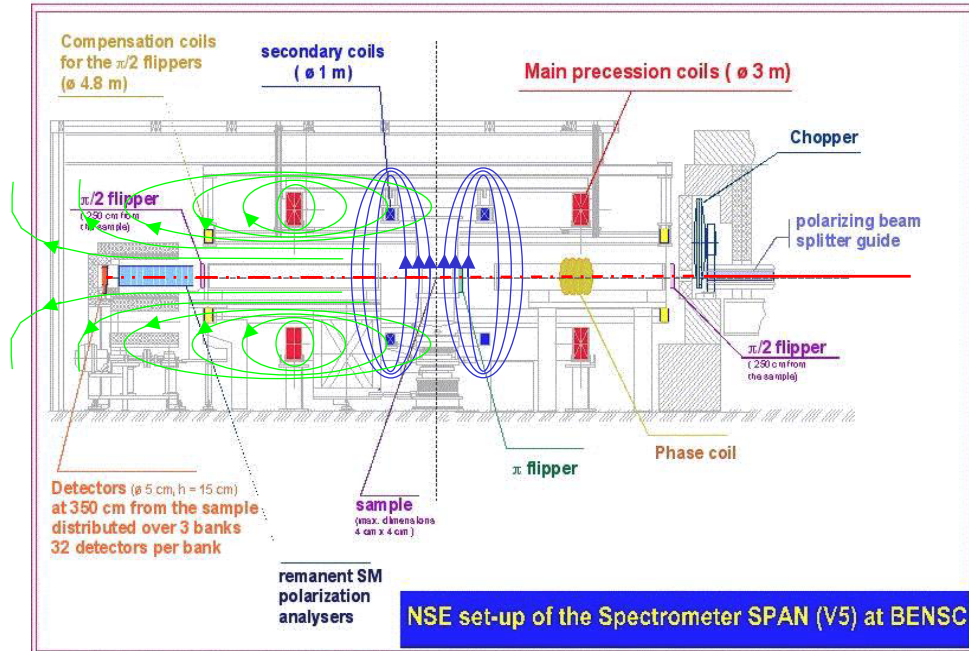
In the TOF configuration, after the velocity selector, the neutrons pass through 2 single and one double chopper. The discs have a diameter of 700 mm and rotate at a maximum speed of 10 000 rpm. The double chopper is located just before the sample and is made up of two counter rotating discs, which offers the possibility to choose between two different sets of windows. The resulting TOF resolution is typically 0.1 meV at 0.7 nm.

Waldemar Przybilla

## Übersicht Experiment V5

- Übersicht Experiment V5

- Probleme
- Entwicklungsziel
- LASER-Übertragungsstrecke
- Übertragungseigenschaften
- Zusammenfassung



Waldemar Przybilla

## Übersicht Experiment V5

- Übersicht Experiment V5

- Probleme
- Entwicklungsziel
- LASER-Übertragungsstrecke
- Übertragungseigenschaften
- Zusammenfassung



The coils in an aluminum housing have  $\varnothing$  4.8 m and the brownish coils are the main precession coils with  $\varnothing$  3 m

The phase coil around the incoming beam and the flipper coils



Waldemar Przybilla

## Übersicht Experiment V5

### • Übersicht Experiment V5

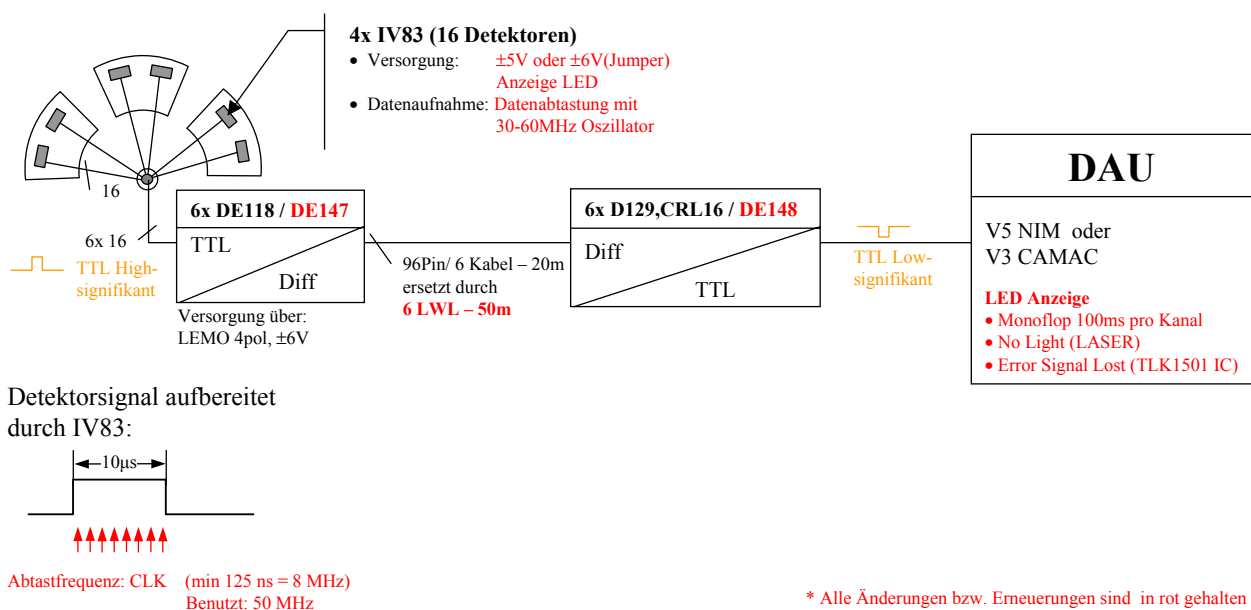
- Probleme
- Entwicklungsziel
- LASER-Übertragungsstrecke
- Übertragungseigenschaften
- Zusammenfassung

- An dem Experiment V5 werden jeweils vier Zählrohre in einem IV83 Verstärker/Diskriminator Modul zusammengefaßt.
- IV83 übernehmen das Puls-shaping und die Pegelwandlung auf TTL
- Je vier IV83-Module werden an einem Leitungstreiber DE118 (insgesamt also 16 Kanäle) zusammengefaßt und die Daten über ein 50-adriges Datenkabel als differentielle Stromsignale an das Empfängermodul CRL16 bzw. DE129 übertragen.
- Am Empfängermodul CRL16 werden die Level wieder in TTL konvertiert und die Signale über ein 34-poliges Flachbandkabel an die X11 Module der DAU weitergereicht. An den DE129 stehen außerdem Testbuchsen und LED's zur Kontrolle der Signale zur Verfügung.
- An V5 werden 96 Zählrohre betrieben.

Waldemar Przybilla



## Übersicht Experiment V5



## Probleme

- Übersicht Experiment V5
- **Probleme**
- Entwicklungsziel
- LASER-Übertragungsstrecke
- Übertragungseigenschaften
- Zusammenfassung

- Die **DE118 Module** am V5 sind vor einigen Jahren im HMI gründlich überarbeitet worden (Masseverbindungen anders gelegt und verstärkt, ca. ein Dutzend Entkopplungs-C's eingelötet), da sie sehr **störanfällig** waren
- An den DE118 Module die noch im Urzustand sind, so wie sie aus Frankreich (ILL) geliefert wurden traten in letzter Zeit vermehrt **Störungen der Art** auf, das **einzelne Kanäle** für weniger als eine Sekunde mit **extrem hoher Zählrate gefeuert** haben und das **Spektrum verfälschten**.
- Da dieser Effekt nur sehr selten (alle paar Stunden) und nicht reproduzierbar auftritt, ist der Fehler nur sehr schwer zu analysieren
- Das **Experiment muß** nach Fertigstellung in die Neutronenleithalle II **umziehen** und sollte dort modernisiert wieder aufgebaut werden
- Eine **Verlängerung der Übertragungsstrecke** würde **zusätzliche Störungen** einbringen
- Die **50-poligen Steckverbindungen** an den 25 CAMAC Modulen (analog zu DE129) ist sehr **schlecht zu handhaben** und zudem **unzuverlässig**.

Waldemar Przybilla



## Entwicklungsziel

- Übersicht Experiment V5
- Probleme
- **Entwicklungsziel**
- LASER-Übertragungsstrecke
- Übertragungseigenschaften
- Zusammenfassung

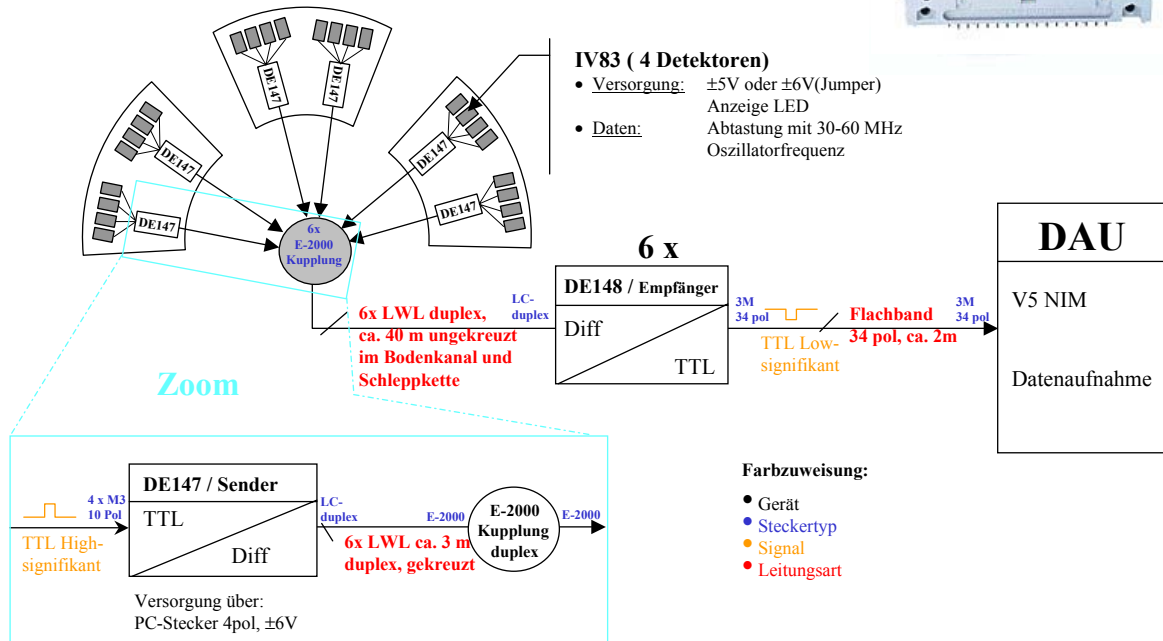
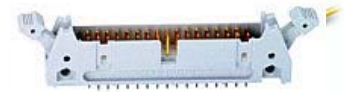
- **elektromagnetische Störungen** von Außen werden durch den Einsatz einer Glasfaser **unterbunden**.
- **Handhabbarkeit** des Verbindungskabels wird **verbessert**. Eine Glasfaser (serieller Datentransfer) ersetzt ein unflexibles, schweres 50-adriges Kupferkabel (paralleler Datentransfer)
- **Kompatibilität** mit der restlichen Elektronik (**IV83** bzw. Modul **X11** der DAU) ist durch den Ersatz der Strecke **DE118- DE129** mit pin-kompatiblen Eingängen am DE118 und Ausgängen am DE129 **gewährleistet**
- **unterbrechungsfreie Signale** aus dem Empfänger im „High“-Level Zustand (Ausgang nicht durch Glitches unterbrochen, da dies von der DAU als neues Ereignis gewertet wird)

Waldemar Przybilla



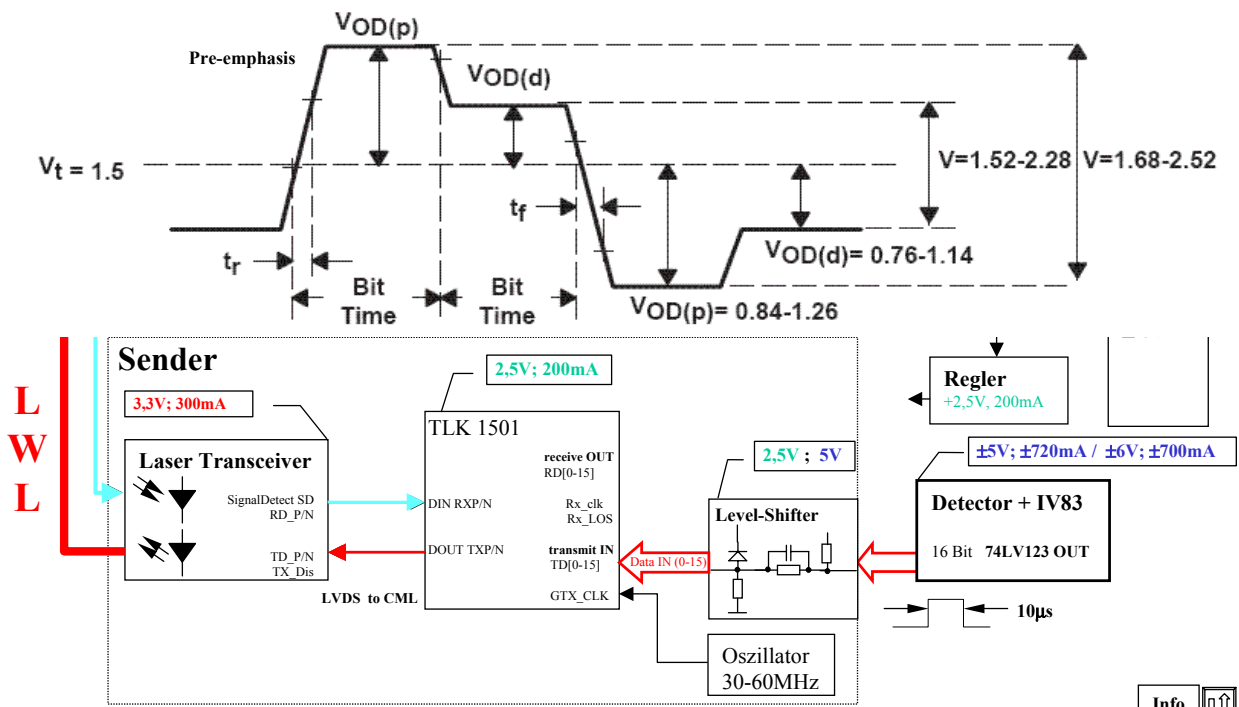


## Entwicklungsziel



Info

## LASER- Übertragung



Info

## Funktionsweise

- Übersicht Experiment V5
- Probleme
- Entwicklungsziel
- **LASER-Übertragung**
- Übertragungseigenschaften
- Zusammenfassung

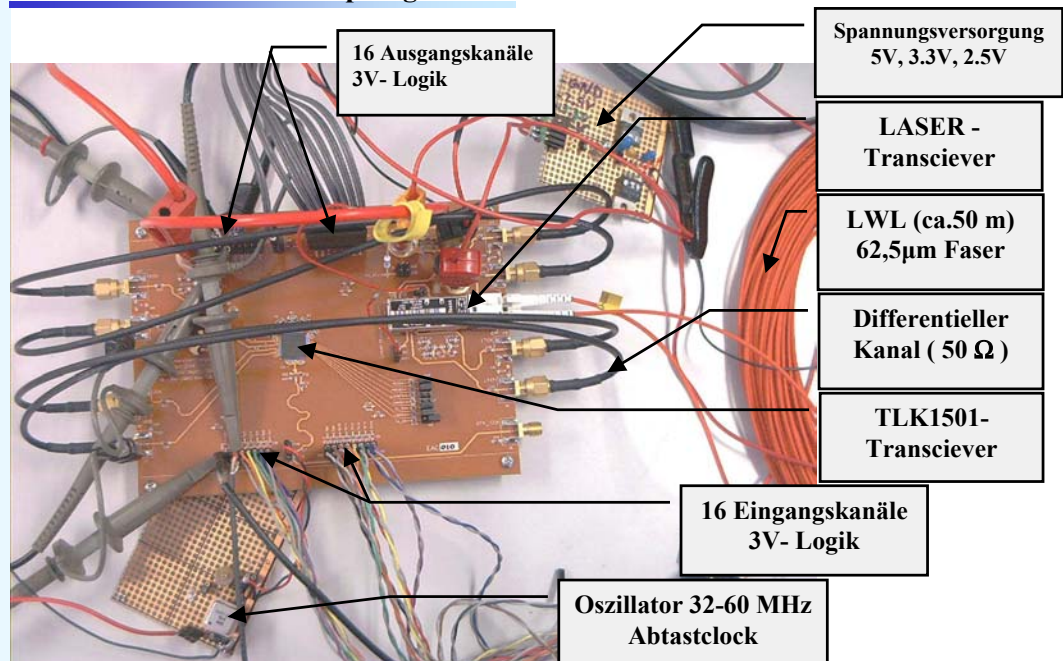
- Die 16 Detektorsignale aus den Zählrohren werden über 4 *IV83 Verstärker/Diskriminator* zusammengefasst und in TTL- Pegel (5 V Logik) gewandelt.
- Das *Sendemodul DE147* (Ersatz für *Leitungstreiber DE118*) wandelt diese 5V-TTL in 3V –TTL, tastet diese 16 Kanäle mit mind. 8 MHz (hier 50 MHz) ab, codiert diese mit 8B/10B-Fehlerkorrekturcode auf ein 20bit Wort und sendet dieses mit der 20-fachen Geschwindigkeit seriell über einen differenziellen Kanal zum LASER.
  - \* *Stellt zusätzlich die Spannungsversorgung der IV83 her*
- Das *Empfängermodul DE148* (Ersatz für *CRL16/DE116*) empfängt diese Signale per LWL, deserialisiert und decodiert sie und sendet sie negiert und in 5V TTL-Logic auf die Ausgangsseite zur *DAU*
  - \* *Fehler bei der Decodierung sowie Leitungsbruch der Glasfaser werden mittels LED angezeigt*
  - \* *Alle Kanäle haben eine LED zur Anzeige des ankommenden Signals*

Waldemar Przybilla



## Testaufbau: Sende- & Empfangsmodul

- Übersicht Experiment V5
- Probleme
- Entwicklungsziel
- **LASER-Übertragung**
- Übertragungseigenschaften
- Zusammenfassung



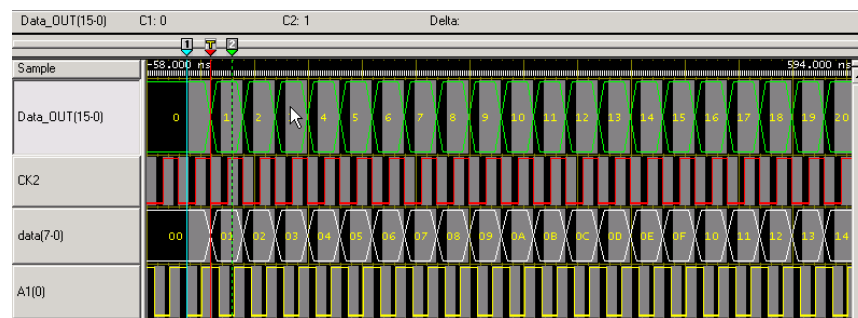
Waldemar Przybilla



## Übertragungseigenschaften

- Übersicht Experiment V5
- Probleme
- Entwicklungsziel
- LASER-Übertragung
- **Übertragungseigenschaften**
- Zusammenfassung

- Nach anlegen eines „Counter- Patterns“ an die 16 Eingangskanäle zeigt der 16 Bit-Ausgang der Übertragungsstrecke ebenfalls ein Hochzählen ( hier im Dezimal-Format Dargestellt)
- Das rote Signal CK2 ist die aus der am Eingang angelegten Abtastfrequenz generierte Clock, die mittig zum Datensignal die pos. Flanke besitzt.



=> die generelle Funktion ist gegeben.

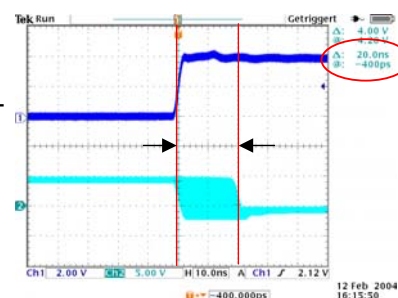
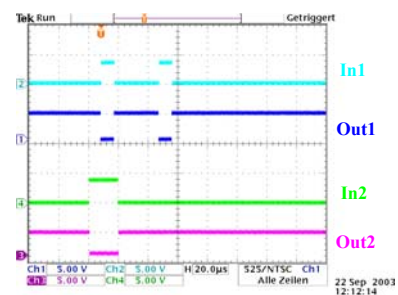


## Ein und Ausgangssignale

- Übersicht Experiment V5
- Probleme
- Entwicklungsziel
- LASER-Übertragung
- **Übertragungseigenschaften**
- Zusammenfassung

Messung der Ein- und Ausgangssignale zweier Kanäle mit erwarteten Eingangsimpulsen der Pulsbreite  $10\mu\text{s}$ :

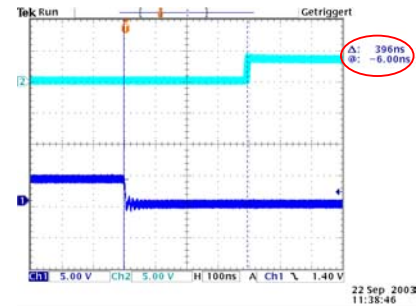
- Die gegenseitige Verschiebung benachbarter Signale mittels Pulsgenerator hatte keinen negativen Einfluss auf die Ausgangssignale
- Der Jitter des Ausgangsimpulses, hier um  $395\text{ ns}$  verschoben, beträgt  $\Delta t \approx 20\text{ ns}$  bei einer Abtastfrequenz von  $f_t = 50\text{ MHz}$  ( $\Delta t \approx 40\text{ ns}$  bei  $f_t = 32\text{ MHz}$ )  
Der Jitter hat eine rechteckige Verteilungsfunktion mit leicht ansteigenden Flanken (Labormessung mit statistischen unabhängigen Signalen an einem Zählrohr)
- Da die DAU nur  $125\text{ ns}$  genau abtastet ist dieser Jitter ohne Bedeutung



## Delay Messung und Berechnung

- Übersicht Experiment V5
- Probleme
- Entwicklungsziel
- LASER-Übertragung
- **Übertragungseigenschaften**
- Zusammenfassung

- Messung der Zeitdifferenz zwischen den Ein- und Ausgangssignalen ergibt im Mittel ca. 396 ns



Diese Zeit entspricht ca. der Summe aus:

$$t_1 = \text{Wandel- und Codierzeit Sender} = 34..38 \text{ Bit times}$$

$$t_{1_{\max}} = 38 / (20 * 50 \text{ MHz}) = 38 \text{ ns}$$

$$t_2 = \text{Decodierzeit} = 76 .. 107 \text{ Bit times}$$

$$t_{2_{\max}} = 107 / (20 * 50 \text{ MHz}) = 107 \text{ ns}$$

$$t_3 = \text{Laufzeit des Lichts im Medium Glas}$$

$$= s / c_1 = 50 \text{ m} / 199,9 * 10^6 = 250,17 \text{ ns}$$

$$t_{\text{ges}} = t_{1_{\max}} + t_{2_{\max}} + t_3 = 395,17 \text{ ns}$$

n.b.

- Brechzahl von Glas eines LWL entspricht ca.  $n_1 = 1,5$
- Brechzahl für das Vakuum (bzw. Luft)  $n_0 = 1$ .
- Für zwei verschiedene Stoffe mit den Brechzahlen  $n_1$  und  $n_2$  gilt:  
 $c_0 / c_1 = n_0 / n_1$
- ♥  $c_1 = c_0 / n_1 = 299.792.000 \text{ m/s} / 1,5 = 199.861.333 \text{ m/s}$

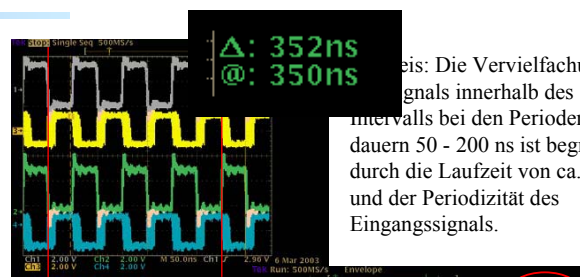


## Messung: CLK auf allen 16 Kanälen

- Übersicht Experiment V5
- Probleme
- Entwicklungsziel
- LASER-Übertragung
- **Übertragungseigenschaften**
- Zusammenfassung

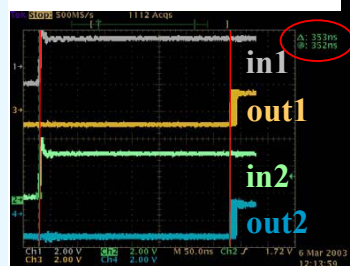
In dieser Messung wird die CLK ( $f_{\text{CLK}} = 2 - 20 \text{ MHz}$ ) auf alle 16 Eingangskanäle gelegt. Hier sind zwei Kanäle jeweils Ein- und Ausgang dargestellt:

- Das Delay zwischen ein und Ausgangssignal sowie der Jitter am Ausgang sind hier unabhängig von Breite der Eingangsimpulse und dessen Taktfrequenz.

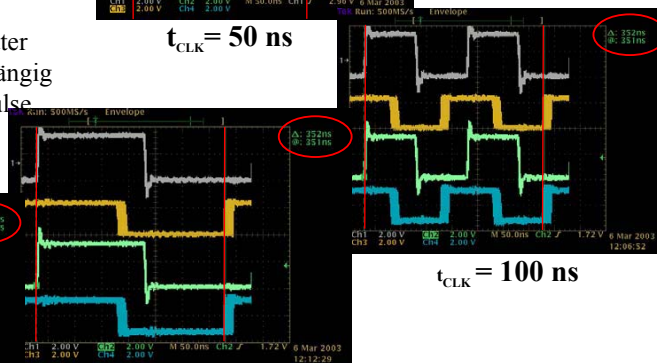


Die Vervielfachung des Signals innerhalb des Intervalls bei den Periodendauern 50 - 200 ns ist begründet durch die Laufzeit von ca. 350 ns und der Periodizität des Eingangssignals.

$$t_{\text{CLK}} = 50 \text{ ns}$$



$$t_{\text{CLK}} = 500 \text{ ns}$$



$$t_{\text{CLK}} = 200 \text{ ns}$$

$$t_{\text{CLK}} = 100 \text{ ns}$$

$$(f_T = 60 \text{ MHz})$$

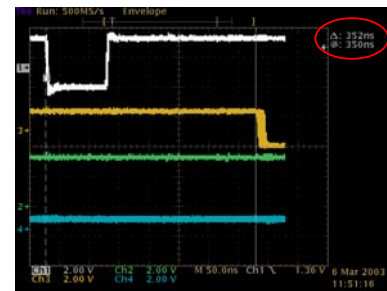


## Messung: Walking zeros

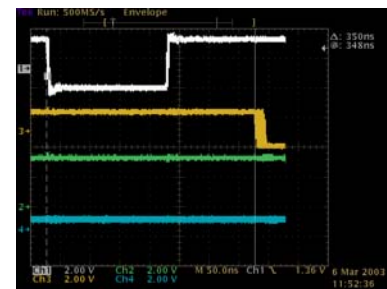
- Übersicht Experiment V5
- Probleme
- Entwicklungsziel
- LASER-Übertragung
- **Übertragungseigenschaften**
- Zusammenfassung

Das Verhalten der Schaltung wird zusätzlich bei unterschiedlichen Eingangsbitmuster untersucht:

- Bei einem Null-Impuls der zeitversetzt über alle Kanäle geht (walking-zero) ist das Delay und der Jitter unabhängig von Breite der Eingangsimpulse, und dessen Taktfrequenz ( hier  $t_{\text{clk}}=100\text{ ns}$  und  $200\text{ ns}$  )
- Auch andere Eingangsbitmuster wie „Johnson Counter“, „Greycode Counter“, und „Walking ones“ auf den 16 Kanälen beeinflussen die Messung des Delays sowie des Jitters nicht.



$t_{\text{CLK}} = 100\text{ ns}$



$t_{\text{CLK}} = 200\text{ ns}$



## Zusammenfassung

- Übersicht Experiment V5
- Probleme
- Entwicklungsziel
- LASER-Übertragungsstrecke
- Übertragungseigenschaften
- **Zusammenfassung**

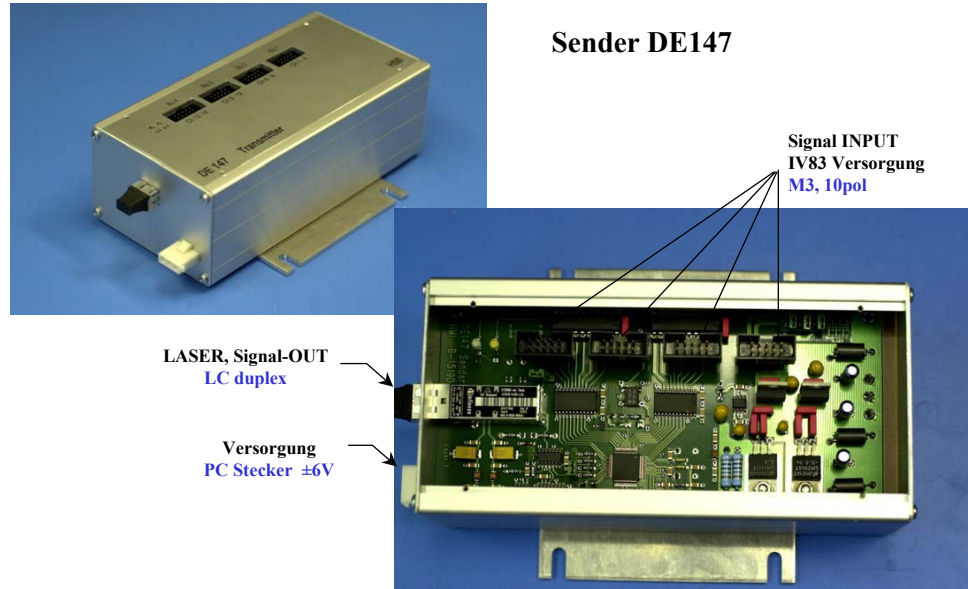
- Die **Wandelzeit** von insgesamt 110- 145 Bit Times im Datenblatt ist Bauteilspezifisch und **unabhängig vom Codierungsaufwand** bei unterschiedlichen Eingangsbitmustern
- Die **8B/10B Codierung** im Baustein TLK1501 **gewährleistet eine ausreichend sichere Übertragung** ( BER= $10^{-10}$  ) ohne Glitches im Signal
- **Störung von Außen** auf der Übertragungsstrecke durch elektrische oder magnetische Felder werden **durch die Übertragung per LWL ausgeschlossen**
- **Handhabbarkeit** der 6 Glasfaser (3cm Biegeradius) ist gegenüber den 96-poligen Kupferadern **deutlich verbessert**





## Ansicht von Sender und Empfänger

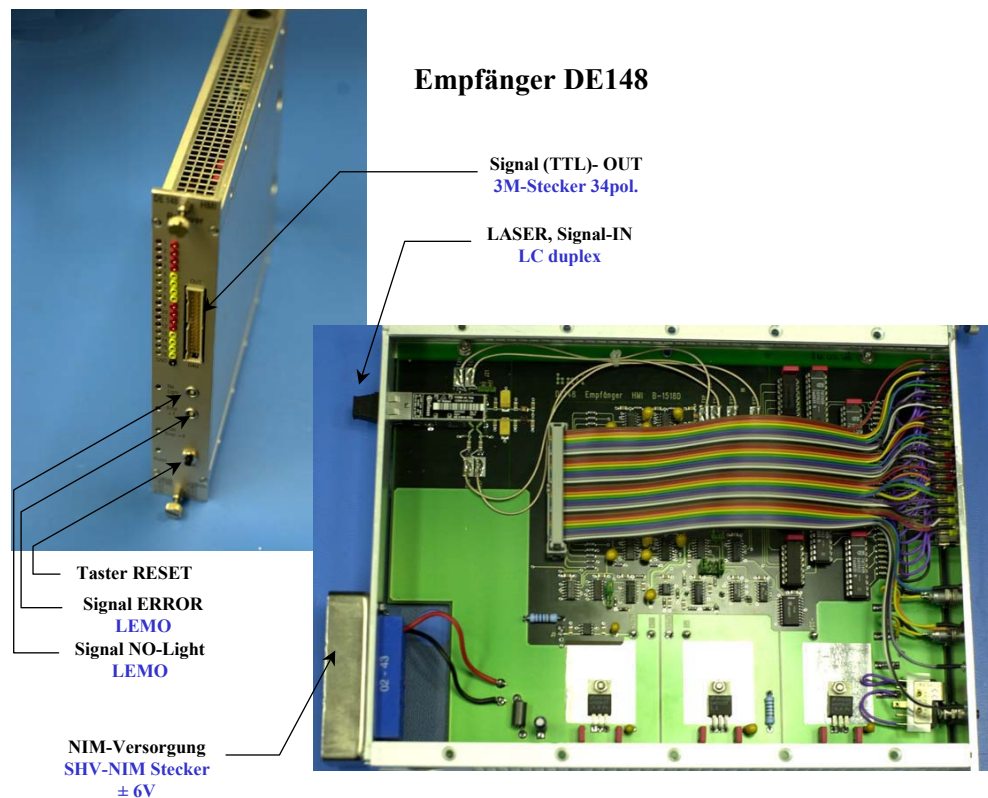
- Übersicht Experiment V5
- Probleme
- Entwicklungsziel
- LASER-Übertragungsstrecke
- Übertragungseigenschaften
- **Zusammenfassung**



Waldemar Przybilla



- Übersicht Experiment V5
- Probleme
- Entwicklungsziel
- LASER-Übertragungsstrecke
- Übertragungseigenschaften
- **Zusammenfassung**



Waldemar Przybilla





## Fragen und Anregungen ?



Waldemar Przybilla

